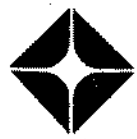


T.P.J.D BÜLTENİ TAPG BULLETIN



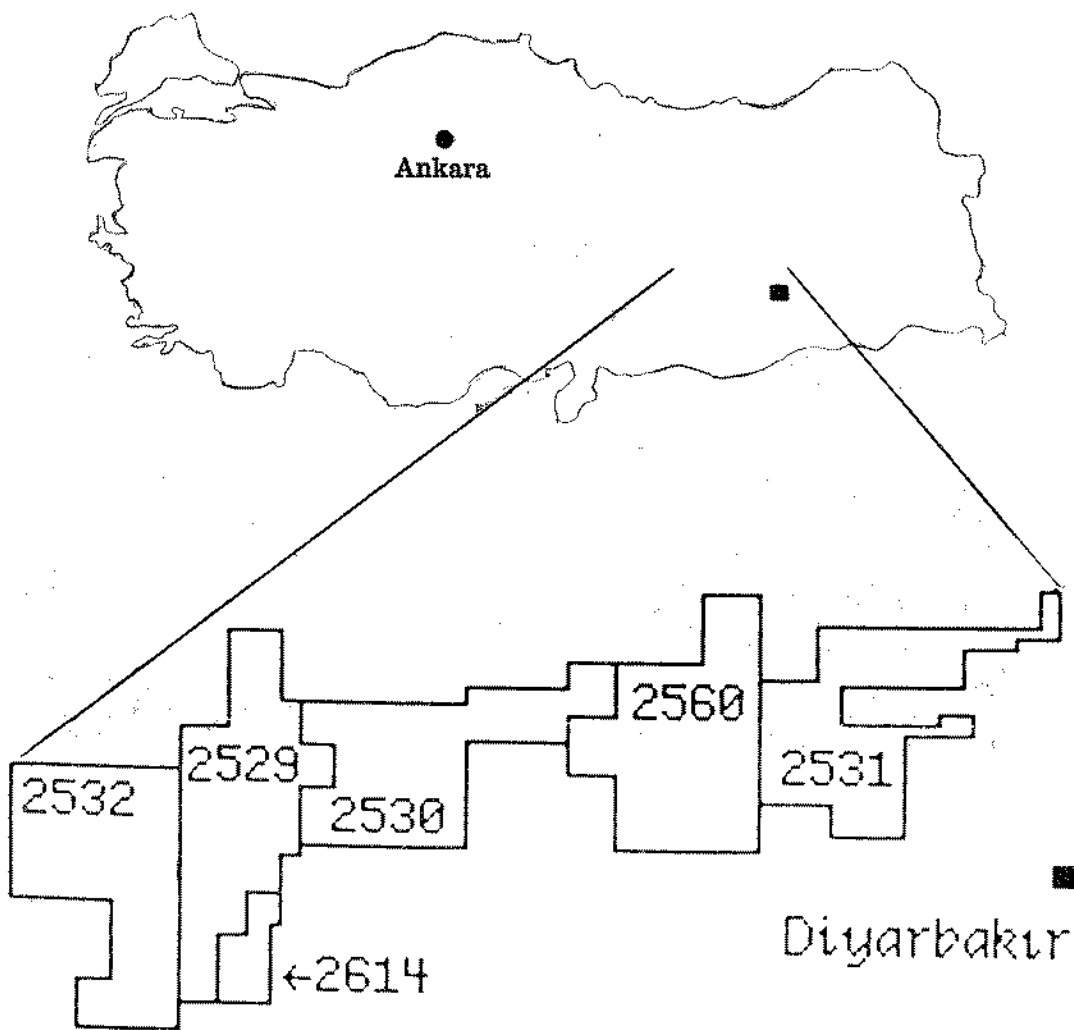
TÜRKİYE PETROL JEOLOGLARI DERNEĞİ. CİLT1/1.OCAK 1988

TURKISH ASSOCIATION OF PETROLEUM GEOLOGISTS. VOLUME1/1.JANUARY 1988



ARCO TURKEY INC.,

WISHES MUCH SUCCESS TO
THE TURKISH ASSOCIATION OF PETROLEUM GEOLOGISTS
AND CONGRATULATES THE ASSOCIATION
ON THE PUBLICATION OF THIS BULLETIN



TPJD BÜLTENİ

İÇİNDEKİLER / CONTENTS

TAPG BULLETIN

CİLT 1, SAYI, 1, OCAK 1988 — VOLUME 1, NO. 1, JANUARY 1988

Başlarken

1918'de Zürih'de İstanbul'lu Bir Jeoloji Doktora Öğrencisi.

A Geology Doctoral Student From Istanbul In Zurich In 1918

A.M.C. Şengör 1

The Thermal Evolution of Sedimentary Basins and Significance for Hydrocarbon Generation.

M. Namık Yalçın and Dietrich H. Welte 12

Ege Denizi'nin Hidrokarbon Aramaları Yönünden İrdelenmesi

Observations in the Aegean Sea from the Point of View Hydrocarbon Exploration.

Süleyman Turgut 27

Meso-scale Cycles in Lacustrine Mudrocks of the Triassic-(?) Jurassic Richmond Group and the Cause of Cyclicity in the Newark Supergroup.

Volkan S. Ediger 39

Amanos Dağları ve Maraş Dolaylarında Miyosen Havzalarının Tektonik Evrimi

Tectonic Evolution of the Miocene Basins at the Amanos Mountains and the Maraş Region.

Yücel Yılmaz, Okay Gürpınar ve Erdinç Yiğitbaş 52

Kargı Masifi ve Dolaylarında Mesozoyik Tektonik Birliklerinin Düzenlenmeleri Sorununa Bir Yaklaşım

An Approach to the Problem of Reconstructing the Mesozoic Tectonic units in the Kargı Massif and Its Surroundings.

Yücel Yılmaz ve Okan Tüysüz 73

Onur Kösesi	87
Yayın Tanıtımı	89
Bilimsel Etkinlikler	92
TPJD Bülteni Yazım Kuralları	97
Instructions to TAPG Bulletin Authors	98

KAPAK RESMİ — Korudağ Antiklinali, Çermik İlçesi, Güneydoğu Anadolu, Türkiye. Resim Güneydoğu Anadolu biniç yapı kuşağından çekilmişdir. Bındırmeleş nedeniyle Mardin Grubu üç kez tekrarlanmaktadır. Antiklinalin içindeki karbonat, Mardin Grubunun en alt birimidir. Karbonat etrafındaki şeyl-kumtaşı Geç Siluriyen-Erken Devoniyen yaşı Dadaş Formasyonu olsa dökünlük ilişkisi tektoniktir. Bu dilimlerin üzerinde Geç Kretase'de bölgeye napp oluşturacak şekilde yerleşmiş Koçalı Karmasığı bulunur. Koçalı Karmasığı üzerine de diskordansla Eosen-Miyosen yaşı karbonat istifi gelmektedir. Foto : Doğan Perinçek

ON COVER — The Korudağ Anticline, west of the town of Çermik, the southeastern Anatolia, Turkey. The picture was taken from overthrusted structural belt of the southeastern Anatolia. The Mardin Group was repeated three times because of the overthrusting. Carbonates in the center of the Anticline is the lowest unit of Mardin Group. The carbonate unit was surrounded by shale and sandstone belonging to the Dadaş Formation (Late Silurian-Early Devonian). The contact between the carbonate unit and the Dadaş Formation is tectonic. These units were overlain by the Koçalı Complex which formed nappes in the Late Cretaceous. The Koçalı Complex in turn was overlain by another carbonate unit (Eocene - Miocene) with a discordance. Photo : Doğan Perinçek

B A S L A R K E N

Türkiye Petrol Jeologları Derneği 30 yıllık geçmişi boyunca değişik türde yayınlar yaparak üyelerini son bilimsel ve teknolojik gelişmelerden bilgili kilmaya çalışmıştır. Bu yayınların en sonuncusu "Petrol ve Aramacı" adı altında çıkmıştır. Yayın hayatına 1981 yılında başlayan "Petrol ve Aramacı" 20 sayı çıkarılmış, daha sonra ekonomik nedenlerle yayımlanması sürdürülememiştir. İşte, doğan bu boşluğu bir derecede doldurabilmek ve yeterli sayıda üretebilen yerbilimcilerimize kaynak gösterebilmek amacıyla Dernek Yönetim Kurulumuz "TPJD BÜLTENİ" adı altında teknik içerikli bir yayını hayatı geçirmeyi kararlaştırmıştır. "TPJD BÜLTENİ" özellikle petrol ve doğal gaz arama konularındakiler ile genelde yerbiliminin tüm disiplinlerindeki bildirilere açık olacaktır. Simdilik ylda bir kez çıkarılması düşünülen "TPJD BÜLTENİ" derneğimizin yeterli ekonomik güce ulaşmasıyla ylda iki veya daha fazla da çıkarabilecektir.

"TPJD BÜLTENİ" içerik itibariyle üç ana bölümden oluşacaktır : bildiriler, yayın tanıtımı ve yurt içi ile dışı bilimsel etkinliklerin özetleri. Yerbilimciler "TPJD BÜLTENİ" ne bildiri göndererek katkıda bulunabilecekleri gibi yeni çıkmış kitap, dergi v.b. yayınlar ile katıldıkları toplantı, seminer ve kongrelerin özetleri ile de katkıda bulunabilirler. Bu yayın Dernek Yönetimi ve Yayın Kurulu'nun özerili çalışmalarının yanı sıra, tüm üyelerin katkıları ve desteği ile yayın hayatını sürdüribilecektir.

Türkiye Petrol Jeologları Derneği 1958 yılında kurulmuş olup bu yıl 30. yıldönümünü kutlamaktadır. Büylesine bir Bülteni yayın hayatına katmakla TPJD, 30. yılında daha güçlü olacak ve geleceğe umutla bakacaktır.

Daha iyi ve güzel birlikte paylaşabilmek umuduyla bu Bülten'e makale gönderen yazarlara ve Bülten'in yayımlanmasında emeği geçen tüm kişi ve kuruluşlara teşekkür ederiz.

Türkiye Petrol Jeologları Derneği
Yönetim Kurulu

TPJD YÖNETİM KURULU
TAPG EXECUTIVE COMMITTEE

M. Zihni Aksoy	Başkan
	President
Atilla Karabulut	2. Başkan
	Vice President
Oğuz Ertürk	Yazman
	Secretary
Erdal Ahiska	Sayman
	Treasurer
Metin Yazman	Üye
	Member

YAYIN KURULU
EDITORIAL BOARD

Ahmet Güven
Volkan S. Ediger
Süleyman Turgut

SAHİBİ
EXECUTIVE DIRECTOR

M. Zihni Aksoy

YAYIN SORUMLUSU
MANAGING EDITOR

Erdal Ahiska

YAZIŞMA ADRESİ
CORRESPONDENCE ADDRESS

Müdafaa Cad. No : 22
06420 Bakanlıklar - Ankara - TURKEY
Tel : 117 91 60 / 374 - 285

1918'de Zürih'de İstanbul'lu Bir Jeoloji Doktora Öğrencisi

A Geology Doctoral Student From Istanbul
In Zurich In 1918

A.M.C. ŞENGÖR*

ÖZ

Türkiye kökenli bir araştırcının jeoloji dâhında yapmış olduğu bilinen ilk doktora çalışması İstanbul doğunu Anastaç Georgiadès Bey'in 1918 yılında Zürih Üniversitesi'nde yaptığı "Moluk Takımalarında Halmahera Adasının (Djilolo) Püskürük Kayaçları Üzerinde İncelemeler" adını taşıyan, şöhretli petrograf Prof. U. Grubenmann'ın yönetiminde yapılmış olan tezdir. E. Gogarten'in Halmahera'dan topladığı bazalt, diyorit, traktidolerit, andezit ve tüflerden oluşan bir koleksiyonun petrografik bir incelemesinden ibaret olan tez, koleksiyondaki malzemenin sistematik bir şekilde toplanamamış olmasından ötürü önemli sonuçlara varamamış ve hatta nedenle de kendisine daha sonraki literatürde sık atıf yapılmamıştır. Georgiadès'in doktorasını aldıktan sonraki yaşamı hakkında herhangi bir belge bulunamamıştır. Tezin önemi, Türkiye kökenli bir araştırcının kaleminde çıkan ilk jeoloji doktorası olması ve gene Türkiye kökenli başka bir araştırcının ürettığı ikinci tezden 20 yıl önce yapılmış olmasıdır.

ABSTRACT

The first doctoral thesis completed by a researcher from the present - day Turkey was the "Investigations on the Eruptive Rocks of the Island of Halmahera (Djilolo) in the Moluccan Archipelago" by Anastaç Georgiadès Bey of Istanbul. The research had been done under the supervision of the famous petrographer

Prof. U. Grubenmann and the thesis was accepted in 1918 by the University of Zurich. Its topic was a petrographic study of a suite of rocks including basalts, diorites, trachy-dolerites, andesites, and tuffs that had been collected previously by E. Gogarten in Halmahera. Owing mainly to the unsystematic nature of the collection, the study could reach no significant results and consequently few references have been made to it in the subsequent literature. No documents could be found to illuminate Georgiadès' life following his graduation. The importance of his thesis lies in the fact that it was the first doctoral thesis in geology ever to be completed by someone from Turkey and that the next oldest thesis was 20 years younger.

GİRİŞ

Vogelsang, Jeoloji'nin Felsefesi adlı, kendi çağdaşı jeoloji hakkında yazdığı (Vogelsang, 1867, s. 51) eserinde "bir bilim tarihi, bizzat bilimin kendisiidir" sözünü hatırlatarak felsefesini anlatmayı amaçladığı jeolojinin detaylıca bir tarihini sunmakla işe başlamaktadır. Semper'in (1914) Goethe'nin jeolojik çalışmalarını anlatan bilim tarihi eseri, aynı zamanda jeoloji bilimin felsefesini de yansitan, tarihçiler kadar bugün jeoloji ile uğraşan bilim adamlarını da ilgilendiren bir kitaptır. Bunlara benzer daha pek çok örueği burada sıralamak mümkündür. Bu örneklerle vurgulamak istedigim, bilim tarihinin tarihçiler kadar faal bilimcileri de ilgilendirdiği (veya ilgilendirmesi gerektiği), bilimin geçtiği yolları bilmeyenlerin yeni yol arama da herhalde bunları bilenler kadar başarılı olamayacakları gerçekleridir. Ben, kısa meslek ha-

(*) A.M.C. ŞENGÖR, İ.T.U. Maden Fakültesi, Jeoloji Bölümü, 80394 İstanbul,
I.T.U. Faculty of Mines, Department of Geology,
80394 İstanbul.

yatım esnasında yerbilimlerinin tarihinden biraz haberdar olmanın pek çok faydasını gördüğüm için, **Türkiye Petrol Jeologları Derneği'nin** yeni bülteninin ilk sayısı için dactet edilen makaleme ülkemizin jeoloji tarihinden unutulmuş bir yaprağı konu olarak seçmeye karar verdim. Bu ay ni zamanda Türkiye'de gerçek anlamda doğa bilimleri ile uğraşının başlamasının genelde sannıldığı kadar da yeni bir olay olmadığını, sosyal şartlar ne derece olumsuz olurlarsa olsunlar, içinde yaşadığı doğayı merak edecek zekâ ve tahsil seviyesine sahip kişilerin ne yapıp ne edip bu meraklılarını tatmin yollarını aramış olduklarını özellikle genç jeoglular gösterir, onlarda ülkemizde zor zamanlarda yeşermiş bir bilim zevkine saygı uyandırırsa en önemli amacına ulaşmış olacaktır.

Türkiye'de özelde jeolojinin, genelde de yerbilimlerinin tarihi ile ilgili çalışmalar ne yazık ki pek azdır. İçerisinde yerbilimlerinden coğrafyanın da gelişme tarihine yer verilen ilk ciddi bilim tarihi ile ilgili eser Adnan-Adıvar'ın Paris'de kaleme aldığı *Science chez les Turcs Ottomans* adlı küçük kitabıdır (Adnan (Adıvar), 1934), Sürgünden Türkiye'ye döndükten sonra Adıvar eserini gözden geçirerek bugün klâsik olmuş olan meşhur ikinci baskısını Türkçe olarak **Osmanlı Türklerinde İlim** başlığı altında neşretmiş, bu ikinci baskıya üç adet de harita ilâve etmiştir (Adnan-Adıvar, 1943)¹. Ancak Adnan-Adıvar'ın eserinde doğrudan jeolojinin Türkiye'deki gelişmesi ile ilgili bilgiler yoktur.

Türkiye'de jeoloji tarihi ile ilgili en geniş ve en ciddi çalışma hâlâ Akyol'un 1949 yılında yayınladığı **Tanzimatta bizde Coğrafya ve Jeoloji** adlı makalesidir. Bundan sonra Akyol (1943 a, b, c) Türkiye'de yirminci yüzyılın ilk yarısı içindeki Coğrafya tarihini anlatan makalelerinde ve Ering de 1973 yılında yayınlanan Türkiye'de Cumhuriyet döneminde Coğrafyanın gelişmesi ile ilgili kitabında bir miktar jeolojinin tarihine de dokunuşlar, Kettin de 1973, 1975 ve 1981 yıllarında sırasıyla Cumhuriyet'in kuruluşun 50. ve Atatürk'ün doğumunun 100. yıldönümü nedeniyle **Bilim ve Teknik** dergisinde ve Cumhuriyet'in 50. Yılı Amâsına yapılan Yerbilimleri Kongresinde yayınlanan üç kısa makalesiyle Türkiye'de 1923'den bu yana yer-

bilimlerinin, özellikle jeolojinin, geçirdiği gelişmeyi özetlemiştir. Özellikle Erguvanlı ve Kettin 1950'lerden beri düzensiz aralıklarla yayımladıkları kısa makalelerde Türkiye'de Osmanlı döneminde bu yana jeolojinin gelişmesinin ve bu gelişmede rol oynamış kişilerin çeşitli cephelerini tanıtmışlardır (Erguvanlı, 1952, 1954, 1975, 1979 ve Kettin, 1979). Kettin ayrıca **Türkiye Jeolojisine Genel Bir Bakış** adlı ders kitabında gene pek kısa olarak Türkiye'de jeolojinin gelişmesini özetlemiştir (Kettin, 1983, s. 7-12). Yukarıda ki kısa izahattan da görüleceği gibi ülkemizde özelde jeolojinin genelde de yerbilimlerinin gelişmesi ile ilgili mufassal ve sistematik bir çalışma yoktur.

Herhangi bir ülkede bir bilimin gelişmesi incelenirken o bilimin mensupları tarafından yapılmış olan doktora tezlerinin etüdü ayrı bir önem taşır. Hele bu bilim başka ülkelerde geliştiğinden sonra, oralarда tâhsillerini yapan kişilerce bir ülkeye 'ithal edilmiş' bir bilimse, bu kişilerin mesleğe başlangıç çalışması niteliğinde olan ve pek çok halde kişinin meslek yaşamının yolunu çizen doktora çalışmaları, bahiskonusu bilimin ülkedeki tarihi açısından büyük önem kazanır.

Ülkemizde 1923 - 1966 yılları arasında Fizik, Matematik ve Kimya dallarında yapılan çalışmaları İnönü (1971, 1973, 1982) tarafından yayınlanan bibliyografyalarda tenkidî bir analize de tâbi tutulmuş, bu bibliyografyalarda ayrıca bu dallarda sırasıyla 1923-1966, 1919-1966 ve 1885-1966 yılları arasında yapılan doktora çalışmaları da listeler halinde verilmiştir. Ülkemizin bilim tarihi açısından son derece zengin belgeler oluşturan bu çalışmalarında İnönü eserleri yazarlarının köken ve çalışma mahalleri açısından şu gruplarda toplamıştır: a) Türkiye'de çalışan Türk uyruklu araştırcılar, b) Türkiye'de çalışan yabancı uyruklu araştırcılar, c) Dış ülkelerde çalışan Türkiye kökenli

(1) Adnan . Adıvar'ın eseri 1970'de Hayrullah Örs tarafından Türkçe sadeleştirilerek Remzi Kitabevi tarafından tekrar basılmıştır (Adnan-Adıvar, 1970), 1982'de A. Kazancıgil ve Ş. Tekeli tarafından Türkiye'deki bilim tarihinde yapılan yeni gelişmeler de gözönüne alınarak bu eser zengin dîpnotlar ve referanslar eklenmek suretiyle dördüncü defa aynı kitabevi tarafından noşredilmiştir (Adnan-Adıvar, 1982)

araştırcılar. İnönü, bu son grubu da kendi içinde ikiye ayırmıştır. Böylece c1) Türkiye'de bir üniversite veya araştırma kurumundan kısa bir süre için izinle ayrılp dış ülkelerde çalışan bilim adamları ve c2) Türkiye'de doğup büyündükten ve öğrenimlerini bir ölçüde yaptıktan sonra bir dış ülkeye giderek araştırma yaşamına girmiş ve orada yerleşmiş görünen bilim adamlarından (hattâ uyruklarını değiştirmiş bile olsalar) oluşan iki alt grup oluşmuştur (Inönü, 1971, s. 1). Yazının konusunu oluşturan İstanbul'lu Anastase Georgiadès kesinlikle c grubuna girmekte ise de Zürih'de doktorasını aldiktan sonra ne yaptığı, nereye gittiği kesinlikle belli olmadığından c grubunun hangi alt grubuna alınması gerekiği bilinememektedir.

ANASTASE GEORGIADES BEY'İN BİLİNEN HAYAT HİKAYESİ

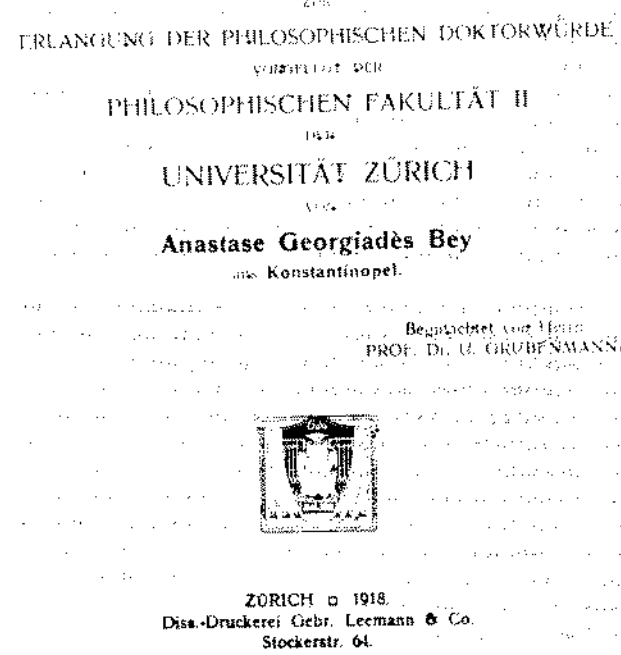
Türkiye kökenli ve uyruklu (daha doğrusu Türkiye kökenli ve Osmanlı uyruklu) olarak yerbilimlerinin herhangi bir dalında bilinen ilk doktoranın sahibi olan Georgiadès doktorasında (Şekil 1) bulunan öz geçmişinde (Georgiadès, 1918, s. 47) hayat hikâyесini şöyle özetlemektedir: Kendisi 1894'de İstanbul'da Haliç sahilinde (muhtemelen Fener'de) dünyaya gelmiş, 1902-1905 yılları arasında İstanbul Rum-Fransız Lisesinde (*Lycée Gréco-français de Constantinople*) okumuştur (herhalde ortaokul). 1905-1908 yıllarını Almanya'nın Münih şehrinde geçiren Anastase Georgiadès, burada Gisela-Kreis-Realschule'de lise tahsilinin bir kısmını yapmış, 1908'de İstanbul'a dönerken lise tahsiline doğduğu şehirde devam etmiştir. 1910 yılında hem Rumca ve hem de Fransızca olarak girdiği imtihanları başarıran Georgiadès bakalorya (olgunluk) diplomasını alarak Fransa'ya gitmiş, Paris'de, *Lycée St. Luis*'de, 1910-1914 yılları arasında "büyük mühendislik okullarından birine girebilmek için" kendisini bazılamıştır Georgiadès, 1918, s. 47). 1914 yılında kendi deyimiyle "zorlu imtihanlardan sonra" *Ecole Nationale Supérieure des Mines*'e (Millî Maden Yüksek Okulu), kabul edilen Georgiadès'in üniversite tahsili ne yazık ki Birinci Dünya Savaşı felâketi ile kesintiye uğramış, Fransa'dan İsviçre'nin Zürih şehrine geçen meslekdaşımız burada 1916 yılında Zürih Üniversitesi'ne önce yalnızca din-

leyici ("Zuhörer") daha sonra da kayıtlı öğrenci ("immatrikulierter Studierender") olarak kabul edilmiştir (Zürih Şebir Arşivi'ndeki üniversite kayıt no. 24938, Georgiadès Bey, Anastase).

Untersuchungen über Eruptivgesteine der Insel Halmahera (Djilolo) im Archipel der Molukken.



INAUGURAL-DISSERTATION



Şekil 1 : Anastase Georgiadès Bey'in doktora tezinin ilk sahifesi.
Figure 1 : First page of the thesis of Anastase Georgiadès Bey.

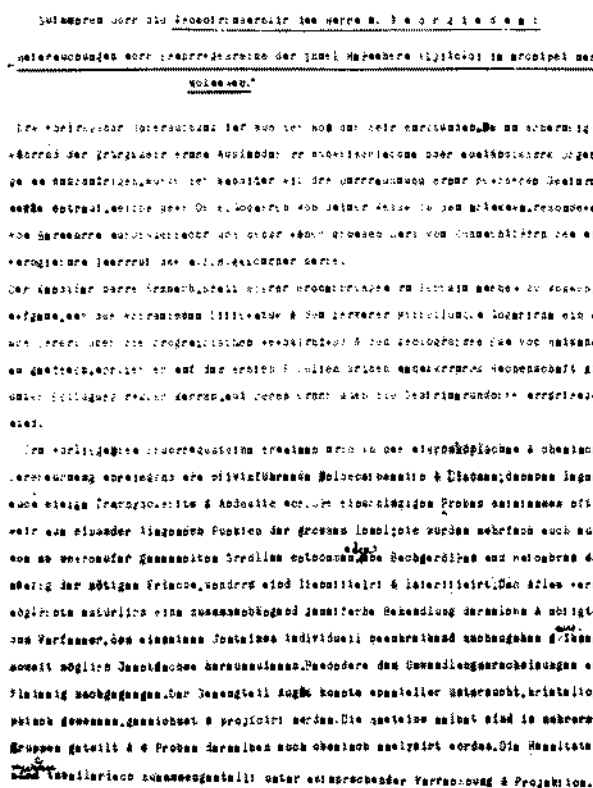
Georgiadès'in Zürih Üniversitesi ve Federal Teknik Üniversitesi'nin (Eidgenössische Technische Hochschule: ETH) ortak sahip oldukları Jeoloji ve Mineraloji-Petrografi enstitülerinden hangisine önce kabul edildiği açık olmamakla beraber, doktorasını ikincide yaptığı görülmektedir. Elde belge bulunmadığı için Georgiadès'in doktorasını aldicktan sonraki yaşamı hakkında ne yazık ki herhangi bir bilgimiz yoktur.

ANASTASE GEORGIADES BEY'İN DOKTORA ÇALIŞMASI

Georgiadès'in doktorandlık süresi talihsiz bir zamana işaret etmiştir. Doktorasını yanında yaptığı, "Die Kristallinen Schiefer" adlı eseri ile petrografide, özellikle metamorfik kayaçların petrografisinde kendine büyük bir şöhret yapmış olan Prof. Ulrich Grubenmann (1850 - 1924), bu durumu Georgiadès'in doktorası için kaleme almış olduğu raporda şöyle ifade etmek-

koleksiyonunun incelenmesi ile görevlendirilmiştir".

Bu nedenle Türkiye'den giderek Zürih'te doktora yapan Georgiadès'in doktora konusu, hem doğup büyüdüğü hem de doktorasını yaptığı topraklara çok uzaklarda olan Halmahera adasının kuzey kanadı olmuştur (Şekil 3). Şekil 1'de ilk sahifesinin bir kopyası verilmiş olan doktora tezinin adı "Moluk Takımadalarında Halmahera Adasının (Djilolo) Püskürük Kayaçları Üzerinde İncelemeler" dir. 1918'de Zü-



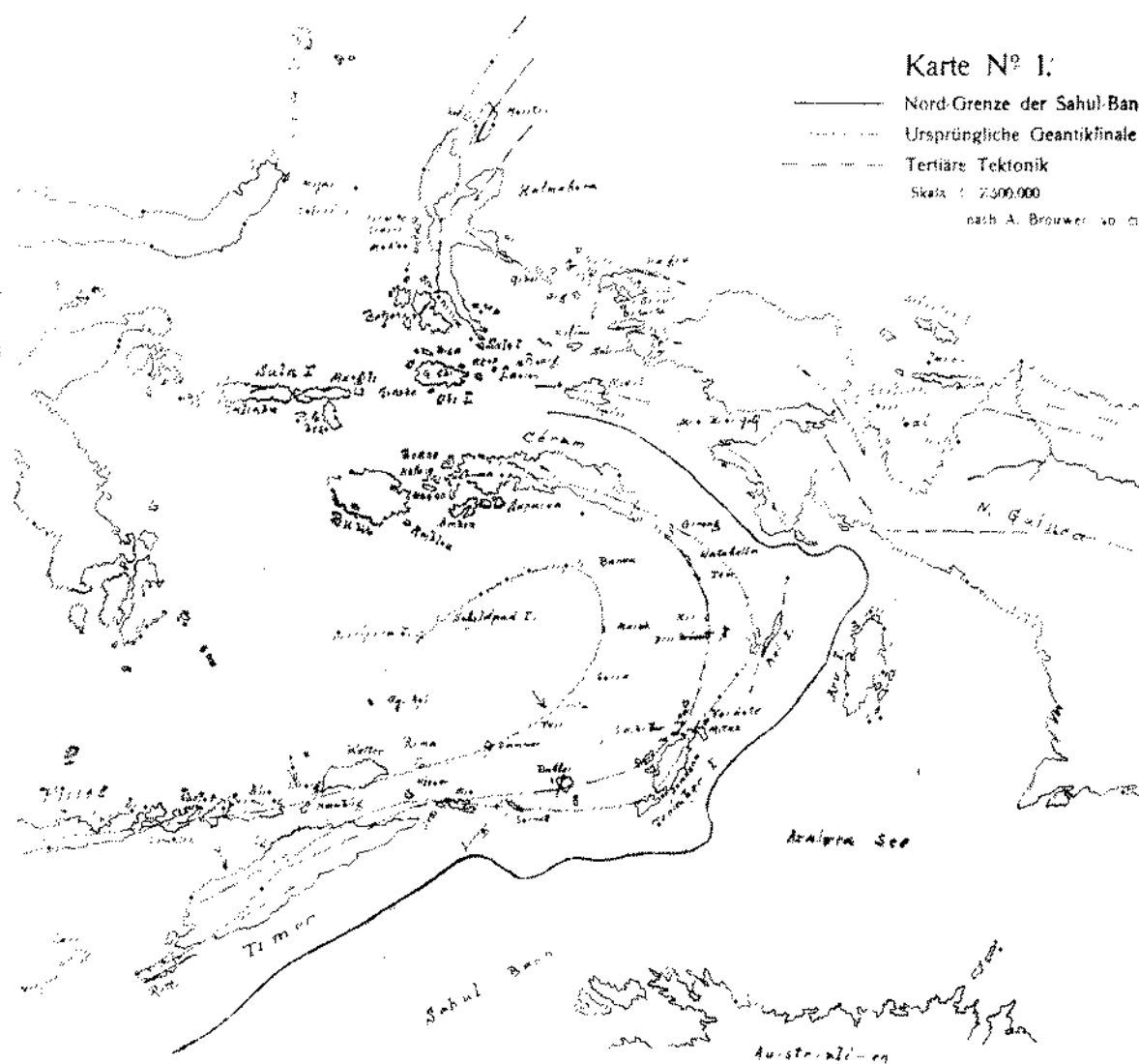
Sekil 2 : Anastase Georgiadès Bey'in doktora tezi hakkında hocası Prof. U. Grubenmann'ın yazdığı rapor (Zürih Şehir Arşivi, no. U 110 e.20).

Figure 2 : Report about Anastase Georgiadès Bey's thesis by his advisor Prof. U. Grubenmann (Zurich City Archive, no. U 110, e.20).

tedir (Şekil 2): "Bu çalışma son derece uygunlu bir zamanda yapılmıştır. Savaş zamaında bir yabancıyı İsviçre'de veya dışarıda metamorfik temel kayaçları üzerinde arazide çalıştmak güç olduğu için, aday, Dr. E. Gogarten tarafından Güneydoğu Asya adalarından, bilhassa Halmahera'dan getirilmiş ve büyük bir miktar incekesitle birlikte ETH'nin mineraloji enstitüsüne hediye edilmiş olan zengin bir taş

rih'te tamamlanıp yayınlanan bu tez (Georgiadès, 1918)larındaki raporuna Grubenmann söyle devam etmektedir :

"Buna göre adaya verilen görev arazide kendi gözlemlerini yapmak yerine mevcut literatürden ve Gogarten'in verdiği özel bilgilerden yararlanarak Halmahera'nın coğrafi şartları ve jeolojik yapısı hakkında bir fikir edinmek olmuştur. Aday bu konudaki sonuçlarını tezinin ilk 9 sahifesinde (basılı tezde s. 7-12 arası) iki



Şekil 3 : A - Halmahera'nın Avustralasya'daki yeri (Georgiadès, 1918, Harita no. 1)
Figure 3 : A - The location of Halmahera in Australasia (Georgiadès, 1918, Map no. 1).

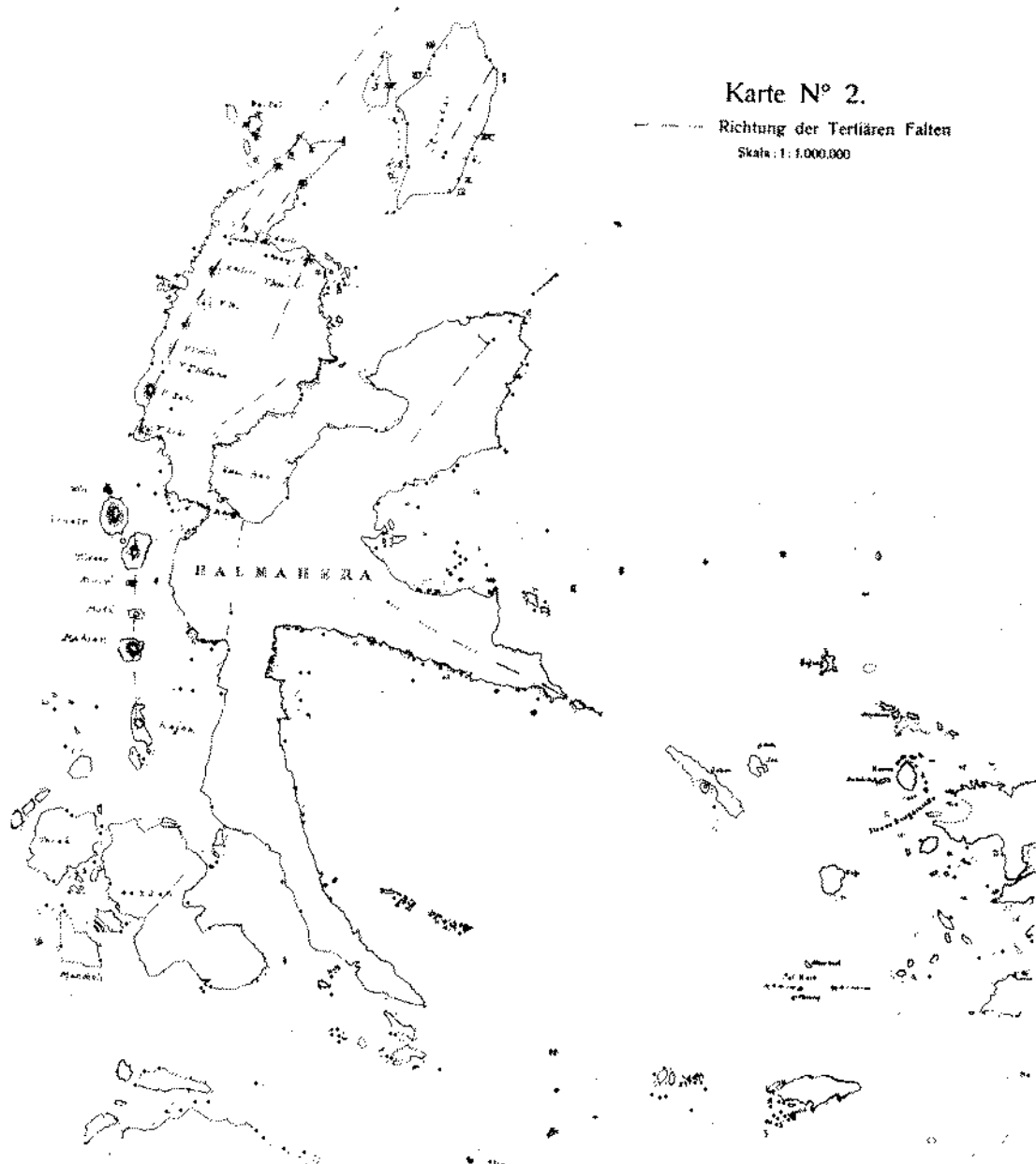
de harita yardımıyla anlatmaktadır (Şekil 3). Bu haritalardan birinde (Şekil 3B) ayrıca taş numune yerleri işaret edilmiştir”.

Georgiadès'in kendisi ise doktora tezinin basılmış versiyonuna yazdığı önsözde şöyle demektedir :

“Her petrografik incelemenin, bu inceleme yi yapan kişi tarafından arazide yapılan jeolojik gözlemleri izlemesi son derece doğal ve beklenen bir durumdur. Buna rağmen, artık aksiyom halini almış olan bu kural (Georgiadès 'Wahrheit = Gerçek' diyor) her zaman uygulanamamaktadır. Bu, özellikle henüz iyi incele-

memiş uzak diyarlar bahis konusu veya buralaraya yapılan ziyaretin ana amacı jeolojik açıdan tesbit edilmemiş olduğu zamanlarda görülmektedir. Bilhassa bu son halde petrograf, yerinde yapılması gereken incelemeleri başkalarına bırakmak zorundadır” (Georgiadès, 1918, s. 5).

Gogarten'in koleksiyonundan Georgiadès tarafından incelenen taşların çoğunu, Grubenmann'ın raporuna göre, olivinli feldspat bazaltlar ve diyoritler oluşturmaktadır, bunların yanında trakidoleritler ve andezitler de görülmektedir. Georgiadès (1918) eldeki materyalin püskürük ve dayk kayaları ile volkanik tuf ve küllelerden olduğunu belirtmektedir, derinlik ka-



Sekil 3 : B - Halmahera adasında volkanların, Tersiyer kıvrımlarının ve numunelerin konumları
(Georgiadès, 1918, Harita no. 2).

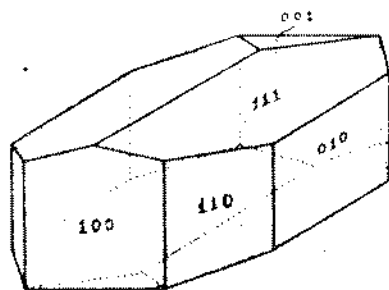
Figure 3 : B - The locations of volcanoes, Tertiary fold axes and rock samples in Halmahera (Georgiadès, 1918, Map no. 2).

yaçlarının olmadığını vurgulamaktadır. Gogarten'in koleksiyonundaki kayaç numuneleri çoğun Halmabera adasının birbirinden uzak noktalardan ve genellikle plaj ve dereelerdeki çakılardan toplanmışlardır ve bu nedenle belli aralarındaki arazi ilişkileri açık değildir ve hem de çoğu 'taze' olmayıp limonitizasyona ve lateritizasyona uğramışlardır.

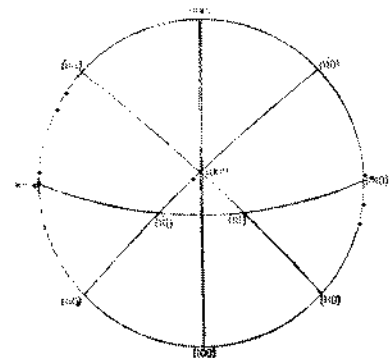
Tüm bu uygunsuz koşullar nedeniyle Georgiadès elindeki koleksiyondan toplu bir 'jeolojik tarihçe' ortaya çıkartmakta güçlük çekmiş, daha ziyade tek tek numunelerin incelenmesinden kökensel bazı sonuçlara gitmeye çalışmıştır. Grubenmann raporunda Georgiadés'in özellikle alterasyon ürünlerini detaylı olarak incelediğini vurgulamakta, ojit mineralinin bilhassa detaylı

bir şekilde incelendigini, kristalografik ölçümlerinin yapıldığını, şekillerinin çizilerek projeksiyonunun yapıldığını belirtmektedir (Şekil 4).

Augit nach der X-Achse gestreckt.



Stereographische Projektion.



Winkel (100) : (001) = 97° Winkel (110) : (111) = 55°
 „ (100) : (110) = 47° „ (010) : (111) = 60°
 „ (110) : (010) = 43° „ (111) : (111) = 60°

Şekil 4 : Ojit kristalinin şekli ve projeksiyonu (Georgiadès, 1918, s. 43).

Figure 4 : Sketch of an augite crystal and its projection (Georgiadès, 1918, p. 43).

Grubenmann'ın raporunun sonunda Georgiadès'in tezinin kalitesi hakkında söyledikleri takdir sözleri değildir. Sonuçların ne bol ne de önemli olduğunu kaydeden Grubenmann bu durumun nedenini Georgiadès'den çok kendisine verilen konuda ve malzemede görmektedir. Hatta Georgiadès'in kendisi hakkında, onun araştırma süresince takdire şayân bir çalışkanlıkla eldeki kötü malzemeden elde edilebilecek hemen tüm bilgiyi elde ettiğini özellikle vurgulamaktadır.

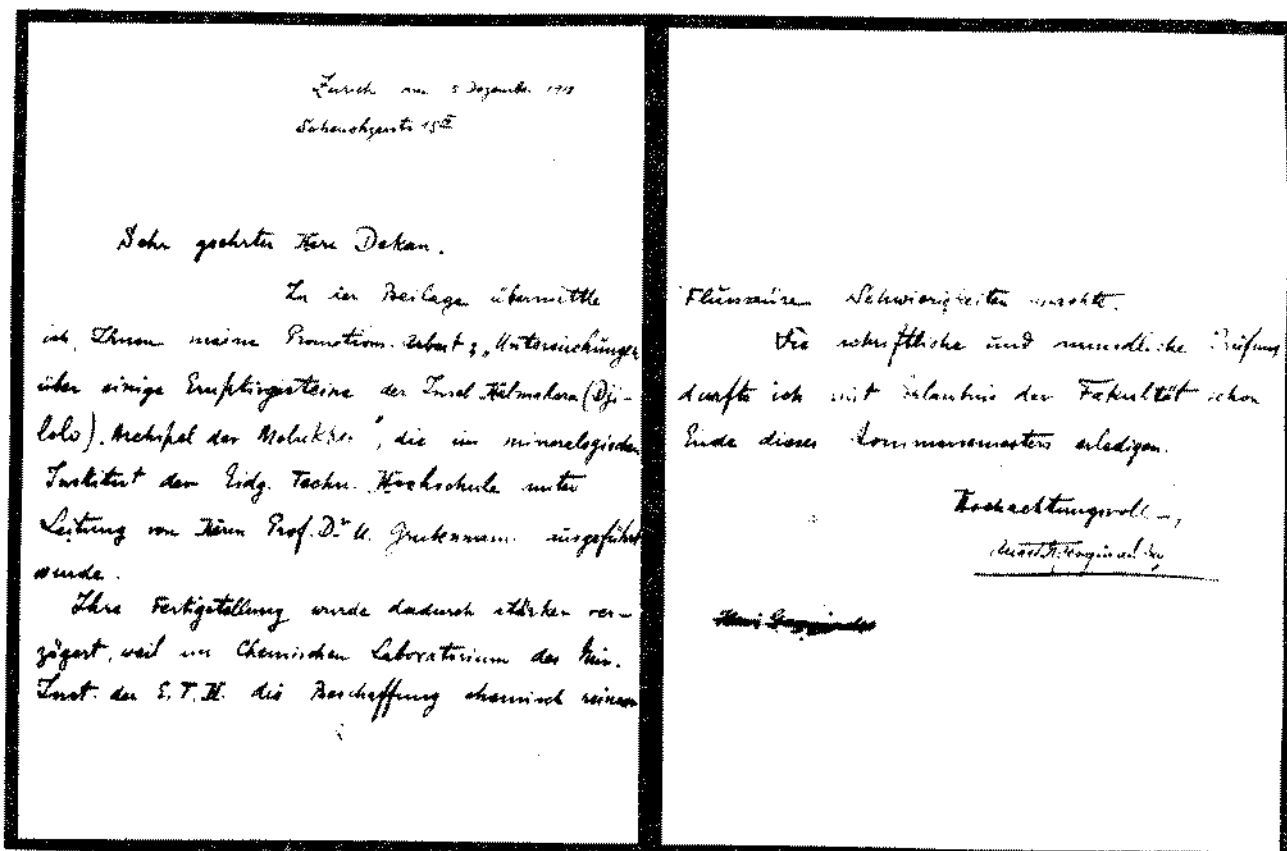
Anastase Georgiadès'in doktora tezinin öncemi hakkında tarih Grubenmann'a hak ver-

miştir. Güneydoğu Asya'daki (daha doğrusu 'Avustralasya') en az bilinen adalarдан biri olduğu halde, Halmahera hakkında seyrek literatüre bir göz attığımızda Georgiadès'in tezine yapılmış tek bir atifa dahi tesadüf edemiyotuz. Ben Halmahera'yı da içine alan Indonezya takımadaları hakkında yazılmış üç klâsik müfassal eserde (Rutten, 1927; van Bemmelen, 1949; Hamilton, 1979) Georgiadès'in adına rastlayamadığım gibi, Halmahera'nın 1980 yılında yayınlanmış olan 1/250.000 ölçekli jeolojik haritasının izahnamelerinde (Apandi ve Sudana, 1980; Supriatna, 1980; Yasin, 1980) de kendisine indirekt de olsa herhangi bir atif bulamadım. Halmahera hakkında literatürden bir tek Hollandalı şöhretli Jeolog H.A. Brouwer'in 1923 yılında yayınladığı "Halmahera adasında jeolojik etüdler" adlı makalesinde Georgiadès'e "Halmahera'nın Kayaçları GEORGIADES BEY tarafından tasvir edilmiştir" şeklinde bir atif vardır (Brouwer, 1921, s. 7). Bunun dışında B. Bessho 1944 yılında Japonya'da *Coğrafya Dergisi*'nde Halmahera'nın jeolojisini hakkında bir makale yayımlamışsa da, benim bu yazıyı görme imkânım olmadı.

Georgiadès'e atif yapılmamasının başlica iki nedeni var gibi görülmektedir. Bunlardan birincisi Georgiadès'e, doktora malzemesini oluşturan kolleksiyonu temin eden Gogarten, Georgiadès'in tezinin neşredildiği sene Halmahera'daki etüdlerini içeren iki makale yayınlamıştır. Bu makalelere tâ 1979'da dahî, mesela Hamilton'un kitabımda atif vardır. Georgiadès'in tezi adanın jeolojisinden ziyade bu adada bulunan volkanik kayaçların âdetâ rastgele bir tasviri olduğu için, bölgesel jeoloji ile ilgilenenler için adayı bizzat görmüş olan Gogarten'in raporları, şüphesiz incelediği taşların pek çögünün nereden alındığından bile emin olmayan Georgiadès'in petrografik tezinden daha faydalı olmuştur. İkinci neden de Georgiadès'in tezinin —şüphesiz şartlar gereği— alelâde bir petrografik tasvirden ve birkaç kimyasal analizden ileri gitmeyen bir belge olmasınadır. Ancak bu olumsuz durumun oluşmasında esas sorumluluk, İstanbul'dan kalkarak Münih, Paris ve Zürih gibi —o zamanlarda ve özellikle Birinci Dünya Savaşı esnasında —uzak ve yabancı diyarlarda bilim yapmak arzusuyla dolaşan

Georgiadès'den ziyade, ona devrin tâbirîyle 'bon pour l'orient' bir doktora yaptırarak âdetâ başından savmış olan Grubenmann'ın, belki de Georgiadès'e savaşan ülkelerden birinin vatanداşı olduğu için araziye gitme iznini vermemiş olmaları muhtemel olan İsviçre makamlarınındır.

Georgiadès, tezi hakkında Grubenmann'ın 4 Aralık 1918 tarihli raporunun yazılmasının ertesi günü Zürih Üniversitesi Philosophische Fakultät II Dekanlığına resmen bir mektup yazarak (Şekil 5) tezini takdim etmiştir. Bu takdim mektubunda güzel bir İtalyan stili el yazısına sahip olduğunu gördüğümüz meslektaşımızın Zürih'de, İsviçre'nin ilk büyük jeoloğu Johann Jakob Scheuchzer'in (1672-1733) adını taşıyan Scheuchzer sokağında, 15/III numara da oturduğunu da öğreniyoruz.



Sekil 5 : Anastase Georgiadès Bey'in tezini Zürih Üniversitesi, Philosophische Fakultät II Dekanlığı'na takdim mektubu (Zürih Şehir Arşivi, no. U 110 e. 20).

Figure 5 : Letter by Georgiadès addressed to the Dean of the Philosophische Fakultät II of the University of Zurich to submit his thesis (Zurich City Archive, no. U 110 e. 20).

Tezinin takdim mektubunun son paragrafında Georgiadès sözlü ve yazılı doktora imtihanlarına Fakültenin izni ile 1918 yılının yaz yarıyılı sonunda girerek bunları geçmiş olduğunu bildirmektedir. Kendisine sözlü imtihanlar esnasında hangi soruların sorulmuş olduğunu bilemiyoruz. Ancak yazılı imtihan soruları ile kendisinin cevap kâğıdı, yukarıda bahsi geçen diğer belgelerle birlikte Zürih Şehir Arşivi'nde (Stadtarchiv) saklanmıştır. Bu belgeden Georgiadès'e üç soru sorulduğunu ancak bunlardan yalnızca birine cevap istendiği görülmektedir. Sorulan sualler şunlardır :

1. Herhangi bir nesnenin optik özellikleri, bu nesnenin morfolojik karakterinin belirlenmesinde ne şekilde kullanılır?
2. Amfibol ailesini kimyasal, fiziksel, morfolojik kökensel ilişkileri açısından (tartışınız).
3. Taşların ufalanma ve ayırmalarını (fiziksel ve kimyasal olarak) tartışınız.

La mosaïque ^{quintal} n'est pas uniforme et présente à nous diverses sortes d'aspects
avec certaines caractéristiques qui nous permettent d'en déduire la nature
de l'apportement, mais encore de reconnaître les différences entre deux
substances voisines, de la rocheuse, dans un mosaïque de silex, le plus
fréquent.

l'exactement comme le ratio ne fait difference que dans le fait que l'un pourra etre en tout l'autre fait malgre que leur rapport soit le rapport de l'autre par deux, cependant, de la substance non nulle partie.

Dans ce processus l'humanité a su être au contact de quelques rares propriétés fondamentales pour assurer la survie, dont elle tient son être. Elle a su faire en effet une culture qui n'a pas de parvenir à maintenir

Il n'y a pas de recherche jusqu'à l'heure où il est parfait. Il est fini et immobile. Il l'aime bien et il le manipule pour le montrer à tous. Généralement il l'aime bien, parce qu'il aime la recherche plus que tout et alors il a toujours plaisir à le faire.

Si l'arc xy est rectiligne, le corps est porté à la moyenne par la force $\frac{F}{2}$ exercée par la rayon extérieur réfléchi dans le sens contraire de AB . Si le corps est alors d'un corps

(+) ou $y = \frac{1}{2}$, $\Rightarrow \frac{1}{2} = \frac{1}{2}$.
 Pour le cas (3) (4) (5) l'équation de la droite de section a un sens négatif suivant le sens de rotation du plan et la direction de la force de gravité. C'est pourquoi l'angle α est négatif.



Le rapport entre la longueur de l'arc et la largeur de la tête est constant et il dépend de la forme de la tête. La tête est étroite et la largeur de l'arc est grande. La tête est large et la largeur de l'arc est petite.

Suffisant comme la construction du siècle moyen pourtant ne pouvait le employer que pour des œuvres d'art à de hautes estampes.

Corps rotatif



Nous voyons le plan de l'axe faire un rayon orientant versant 22° à la direction de rotation, ce qui change par le temps et arrête par le corps rotatif étant corps mort.

On remarque que le fil de suspension est entier
sauf la partie qui est brisé.

Sekil 6 : Georgiadès'in yazılı doktora imtihanının ilk ve son sayfeleri (Zürih Şehir Arşivi, no. U 110 e.20).
Figure 6 : First and last pages of Georgiadès' Ph.D. qualifying examination (Zurich City Archive, no. 110 e.20).

Georgiadés bu üç sorudan birincisini cevaplandırmayı tercih ederek 5 sahifelik bir tahrir yazmıştır. Bunun ilk ve son sahifelerinin kopyaları Sekil 6'da görülmektedir.

SONUC :

Doktorasını aldıktan sonra Anastase Georgiadès Bey'in izini kaybediyoruz. Zürih Şehir Arşiv'indeki kayıttan mezun olduğu sıradaki adresinin, annesi J.B. Georgiadès Bey'in (!) Atina'daki Pbilhellenes sokagi 18/A'daki adresi olduğu görülmektedir. Adresinde niçin yalnızca annesinin adı geçmektedir? Acaba Anastase Georgiadès Bey yetim miydi? Birinci Dünya Savaşı esnasında mı, yoksa Osmanlı İmparatorluğu'nun savaşı kaybettiği belli olduktan sonra mı anne Georgiadès Atina'ya göç etmişti? Meslek davımız doktorasını bitirip annesinin yanına mı gitmişti? Acaba doktorasından sonra mesleğini icra etmiş miydi? Bu soruların bazlarına belki de Atina'da yapılacak araştırmalarla cevap bu-

labilmek kâbil olabilir. Ben diğer işlerimin ağırlığı nedeniyle Fener'deki Rum Lisesi'ne dahî gi-
dip Georgiadès'in hayat hikâyесinin detayları
hakkında ciddî bir araştırma yapamadım. Ama
hiç şüphesiz bugünkü Türkiye topraklarında
doğup büyüyen, tahsilinin de önemli bir kısmını
yapan ve nihayet dünyanın gözde üniversitelerinden
birinden —önesi ne olursa olsun—
jeoloji doktorası alan bir Osmanlı vatandaşının
—daha sonra bu vatandaşlığını belki de kaybet-
miş olsa dahi— hayat hikâyesi bilinmeye de-
ğer. Unutulmamalıdır ki, bugünkü Türkiye to-
praklarında doğup büyüyen ve aynen Georgiadès
gibi liseyi bitirdikten sonra yurtdışına giderek
jeoloji doktorası alan ikinci Osmanlı vatandaşısı
(1923'den itibaren Türkiye Cumhuriyeti vatan-
daşı) Kayseri doğumlu Ali oğlu İhsan'ın (Prof.
Dr. İhsan Ketin) doktorasını aldığı tarih 1938,
yâni İstanbul doğumlu Georgiadès'in doktora-
sında tam yirmi yıl sonradır (Ketin, 1940).
Türkiye dışında (Taşkent'de) doğup tahsilinin

tamamını Türkiye dışında tamamlayarak doktor olan ve daha sonra Türkiye'ye gelerek Türkiye Cumhuriyeti vatandaşlığına kabul edilen Dr. Ahmet Can İbrahim'in (Prof. Dr. Ahmet Can Okay) doktora tezi taribi 1933'dür (Berlin Teknik Üniversitesi'nden). Türkiye Cumhuriyeti'nde fiilen jeoloji mesleğini icrâ eden jeoloji doktoralı ilk jeolog olan Prof. Okay'ın da doktorası, dolayısıyla Georgiadès'inkinden onbeş yıl sonradır. Bu tariblerden Georgiadès'in 1918'de tamamladığı doktorasının Türkiye bilim tarihindeki yerinin önemi daha iyi anlaşılabılır.

Georgiadès'in hayat hikâyесinin bence en ilginç yanı kendisine yerbilimleri mesleğine intisap etme fikrinin nerede, ne sebeple geldiğidir? Kendi bayat hikâyесinden, üniversitede gitmeden önceki niyetinin 'büyük mühendis mekteplerinden birine girehilmek' olduğunu öğreniyoruz. Acaba *Ecole Nationale Supérieure des Mines*'e "zorlu imtihanlardan sonra" girmiş olması bir tesâdîf müdür? Birinci Dünya Savaşı çıktıktan sonra İsviçre'ye giderek jeolojide tahsiline devam etmesi ve hattâ doktora yapması, bende bunun bir rastlantı olmadığı intibâmi uyandırıyor. Eğer Georgiadès cidden yerbilimlerine gönül vermiş idiyse, bu sevgi nerede doğmuştu? Paris'de mi, von Zittel'in Münih'te mi, yoksa Ali Fetbilerin Abdullah Beylerin, Halil Edhemlerin, Damat Ali Kenanların İstanbulunda mı? Haliç sahillerinde doğup büyüyen Georgiadès, bu târihî suya acaba bir yerhılımının gözleriyle hiç bakmış mıydı? Binlerce yıllık taribinde, en acili zamanlarında dahî âlimlerde ilham kaynağı ve yuva olmuş olan İstanbul şehri acaba hağrında doğan Georgiadès'e de ilham kaynağı olmuş muydu?

Bu soruların cevaplarını biliin tarihçilerine bırakıyorum. benim buradaki amacım hem Türkiye kökenli bir araştırmacının 1918 yılında dünyanın saygın üniversitelerinden birinde şöhretli bir hocamın yanında jeoloji doktorası yaptığı saptayarak bu araştırmacıyı ve tezini kısaca tanıtmak, hem de bundan tam 69 yıl önce doktorasını almak olan ve bugün belki de artık hayatta olmayan meslektaşımızı (ve hemşehrimi) kalbden kutlamaktır.

TEŞEKKÜR

Georgiadès ve tezi hakkında bir yazı yazmak fikri bana Prof. Dr. Kâzım Çeçen ile bu konuda yaptığım bir sohbetten sonra geldi. Zürich Şehir Arşivi'nde Georgiadès'le ilgili belgeleerin bulunmasında ETH Jeoloji Enstitüsü Kütüphane memuresi Bayan Esther Chappuis'in büyük yardımını gördüm. Prof. Dr. Ahmet Can Okay'ın doktorasının bir nüshasını Doç. Dr. Aral İ. Okay bana hediye ederek bu tez ve merhum babasının ilginç hayat hikâyesi hakkında bilgi sahibi olmamı sağladı. Türkiye'de yerbilimlerinin tarihi hakkındaki bilgilerimin çoğu Prof. Dr. Kâzım Ergin, Prof. Dr. Kemâl Erguvanlı, Prof. Dr. İhsan Ketin ve Prof. Dr. Sürrî Ering'in bana karşı gösterdikleri bitip tükenmek bilmenen cömertlikleri (ve sabırları) sonucu elde edilmişlerdir. Beni TPJD Bülteni'nin ilk sayısına bir makale yazmağa davet ederek bu yazının hazırlanmasına önyak olan Başkanımız Zihni Aksoy'a teşekkür ederim.

KAYNAKÇALAR

- Adnan (Adıvar), Abdülhak, 1934, La Science chez les Turcs Ottomans: Librairie Orientale et Américaine, G. - P. Maisonneuve, Editeur, Paris, 1974 s
- Adnan-Adıvar, Abdülhak, 1943, Osmanlı Türklerinde İlim (İkinci Tabi): İstanbul Maarif Matbaası, 225 s.
- Adnan-Adıvar, Abdülhak, 1970, Osmanlı Türklerinde İlim (H. Örs tarafından kaynakları genişletil mis ve Türkgesi sadeleştirilmiş 3. Baskı): Remzi Kitabevi, İstanbul, 220 s. (2. Baskıdaki haritalar yoktur).
- Adnan-Adıvar, Abdülhak, 1982, Osmanlı Türklerinde İlim (Aykut Kazancıgil ve Sevim Tekeli tarafından zengin dîpnotlarla geliştirilmiş 4. Baskı): Remzi Kitabevi, İstanbul, 243 s. (2. Baskıdaki haritalar yoktur).
- Akyol, İ.H., 1940, Tanzimat devrinde bizde coğrafya ve jeoloji: Tanzimat İde: İstanbul Maarif Matbaası, s. 511-571.
- Akyol, İ.H., 1943a, Son yarım asırda Türkiye'de Coğrafya: Mutlakiyet devrinde Coğrafya: Türk Coğr. Der., no. 1, s. 3-15.
- Akyol, İ.H., 1943b, Son yarım asırda Türkiye'de Coğrafya: Meşrutiyet devrinde Coğrafya: Türk Coğr. Der., no. 2, s. 121-136.
- Akyol, İ.H., 1943c, Son yarım asırda Türkiye'de Coğrafya: Cumhuriyet devrinde Coğrafya: Türk Coğr. Der., no. 3/4, s. 247-276.

- Apandi, T. ve Sudana, D., 1980, Peta Geologi Lembar Ternate, Maluku Utara: Lembar: Ternate 2516-2616, sekala: 1/250.000: Pusat Penelitian Dan Pengembangan Geologi, Direktorat Jenderal Pertambangan Umum, Departemen Pertambangan Dan Energi, 9 s.
- van Bemmelen, R.W., 1949, The Geology of Indonesia, General Geology, v.IB (Portfolio): Government Printing Office, The Hague, 60 s.
- Brouwer, H.A., 1921, Geologische Onderzoeken op het eiland Halmahera: Yearboek van het Mijnwezen in Ned. Oost-Indie 1923, Verh., c. 2, s. 73-105.
- Erguvanlı, K., 1952, Türkiye'nin ilk maden mühendisi İbrahim Edhem Paşa: Türkiye Jeol. Kur. Bült., c. 3, s. 129-132.
- Erguvanlı, K., 1954, Doktor Abdullah Bey'in hayatı ve eserleri: Türkiye Jeol. Kur. Bült., c. 5, s. 269-272.
- Erguvanlı, K., 1975, Türkiye'de son 50 yilda mühendislik jeolojisi ve problemleri: Cumhuriyetin 50. Yılı Yerbilimleri Kongresi, 17-19 Aralık 1973, Tebliğler, M.T.A. Enstitüsü, Ankara Basım ve Ciltlevi, Ankara, s. 238-256.
- Erguvanlı, K., 1979, Türkiye'de jeoloji arastırmalarında jeoloji öğretiminde öncüler: Yeryuvarı ve İnsan, c. 4, s. 5-10.
- Ering, S., 1973, Cumhuriyet'in 50. Yılında Türkiye'de Coğrafya: Başbakanlık Kültür Müstesarılığı Cumhuriyetin 50. Yıldönümü Yayınları: 11, Başbakanlık Basımevi, Ankara, 62 s. (Aynı eser için ayrıca bkz. İstanbul Üniversitesi, Cumhuriyetin 50. Yılına Armağan Kitabı, 1973, s. 113-163).
- Georgiadès (Bey), A., 1918, Untersuchungen über Eruptivgesteine der Insel Halmahera (Djilolo) im Archipel der Molukken (Inaugural Dissertation): Diss.-Druckerei Gebr. Leemann & Co., Zürich, 47 s. + 2 Levha.
- Hamilton, W.B., 1979, Tectonics of the Indonesian Region: U.S. Geol. Surv. Prof. Pap. 1078, 345 s.
- Ibrahim, A.C. (Okay), 1933, Sporenformen des Aegir horizonts des Ruhr-Reviers (Dissertation): Buchdruckerei Konrad Tritsch, Würzburg 47 s. + 8 Levha.
- İnönü, E., 1971, 1923-1966 Döneminde Fizik Dalındaki Araştırmalara Türkiye'nin Katkısını Gösteren Bir Bibliyografya ve Bazı Gözlemler: Ortadoğu Teknik Üniversitesi Fen ve Edebiyat Fakültesi, Yay. no. 24, Mars Matbaası, Ankara, VIII + 112 s.
- İnönü, E., 1973, 1923-1966 Dönemi Türkiye Matematik Araştırmaları Bibliyografyası ve Bazı Gözlemler: Ortadoğu Teknik Üniversitesi Fen ve Edebiyat Fakültesi, Yay. no. 26, Ongun Kardeşler Matbaası, Ankara, VIII + 141 s.
- İnönü, E., 1982, 1923-1966 Dönemi Türkiye Kimya Araştırmaları Bibliyografyası ve Bazı Gözlemler: Boğaziçi Üniversitesi Yay. no. 313, Boğaziçi Üniversitesi Matbaası, İstanbul, X + 295 s.
- Ketin, İ., 1940, Über die Tektonik und den Vulkanismus des Gegend von Bad Bertrich (Inaugural - Dissertation): Jahrb. Bodenforsch., c. 60, s. 49-98.
- Ketin, İ., 1973, Yerbiliminin 50 yıllık Cumhuriyet dönemindeki gelişmesi: Bilim ve Teknik, c. 6, sayı 72 (Özel Sayı), s. 38-42.
- Ketin, İ., 1975, Yerbilimlerinin 50 yıllık Cumhuriyet dönemindeki gelişmesi: Bilim ve Teknik, c. 6, sayı 72 (Özel Sayı), s. 38-42.
- Ketin, İ., 1975, Yerbilimlerinin 50 yıllık Cumhuriyet dönemindeki gelişmesi: Cumhuriyetin 50. Yılı Yerbilimleri Kongresi, 17-19 Aralık 1973, Tebliğler, M.T.A. Enstitüsü, Ankara Basım ve Ciltlevi, Ankara, s. XV-XX.
- Ketin, İ., 1979, Türkiye'de jeoloji arastırmalarının ve jeoloji haritalarının kısa tarihçesi: Yeryuvarı ve İnsan, c. 4, s. 15-17.
- Ketin, İ., 1981, Yerbilimlerin Cumhuriyet dönemindeki gelişmesi: Bilim ve Teknik, c. 14, sayı 168, s. 13-16.
- Ketin, İ., 1983, Türkiye Jeolojisine Genel Bir Bakış: İ.T.U. Kütüphanesi, sayı: 1259, Teknik Üniversite Matbaası, Gümüşsuyu, İstanbul, 595 s.
- Rutten, L.M.R., 1927, Voordrachten over de Geologie van Nederlandsch Oost-Indië: Wolters U.M., Groningen-Den Haag, 839 s.
- Semper, M., 1914, Die Geologischen Studien Goethes. Beiträge zur Biographie Goethes und zur Geschichte und Methodenlehre der Geologie: Veit & Comp., Leipzig, 389 s.
- Supriatna, S., 1980, Peta Geologi Lembar Morotai, Maluku Utara: Lembar: Morotai: 2517-2617-2618, sekala 1/250.000: Pusat Penelitian Dan Pengembangan Geologi, Direktorat Jenderal Pertambangan Umum, Departemen Pertambangan Dan Enerji, 10 s.
- Vogelsang, H., 1867, Philosophie der Geologie und Mikroskopische Gesteinsstudien: Max Cohen- und Sohn, Bonn, 229 s. + 10 Levha.
- Yasin, A., 1980, Peta Geologi Lembar Bacan, Maluku Utara: Lembar 2515-2615, sekala: 1/250.000: Pusat Penelitian Dan Pengembangan Geologi, Direktorat Jenderal Pertambangan Umum, Departemen Pertambangan Dan Enerji, 9 s.

The Thermal Evolution of Sedimentary Basins and Significance for Hydrocarbon Generation

M. NAMIK YALÇIN* and DIETRICH H. WELTE**

ABSTRACT

The temperature history of source rocks is of special importance when kinetic aspects of hydrocarbon generation are considered.

A deterministic mathematical model based on an energy and mass balance approach is used to analyse the influence of various parameters on the thermal history of a basin. Consequently, the role of heat flow, sedimentation rates, different lithologies, surface and/or sediment/water interface temperatures, erosional and non-depositional periods and pressures are investigated in a comprehensive manner.

Examples from modeling studies in different basins clearly demonstrate that the temperature history of a certain source rock is determined by the combined effects of all these parameters. No single parameter can be identified as being the most important one. Certain parameters become dominant only during a certain period of the evolution of a sedimentary basin depending on the changing boundary conditions. Two different source rocks occupying different depth and age levels can be affected in very different ways by the same boundary conditions.

Modeling studies which emphasize single parameters, for example only heat flow generally lead to erroneous results and misleading conclusions. Therefore, in modeling

studies the geologic evolution of a basin as a whole has to be considered, and not only certain aspects of it. Computer-aided basin studies permit on the basis of a numerical simulation of all relevant geologic processes a more precise reconstruction of the temperature history throughout the basin.

INTRODUCTION

Basic research in the field of oil and gas generation has clearly shown that oil and gas are formed from kerogen in the source rocks when they are exposed to a thermal stress through time (Philippi, 1965; Welte, 1965, 1966; Tissot and Welte, 1978; 1984). Further research in organic geochemistry led to a so called "maturity concept" of immature, mature or overmature source rocks. Analytical methods and techniques have been developed in order to determine the maturity level of a source rocks. In this context a method developed in coal petrography, the measurement of vitrinite reflectance, has been applied to vitrinite particles in the kerogen. The combination of measurements on the hydrocarbon yield of a source rock (rock extracts, S_1 -values in Rock-Eval, etc.) and the vitrinite reflectance values resulted in an empirical concept of the so called "Oil Window" (Tissot, et al., 1974). The oil window concept considers more or less fixed values of vitrinite reflectance for the onset and peak of oil generation and for the commencement of gas generation in source rocks with different types of kerogen (Tissot and Welte, 1978). This empirical concept is still widely used for the determination of the hydrocarbon generation potential of source rocks. However,

(*) M. Namik Yalçın, Integrated Exploration Systems
IES Bastionstr. 11 - 19, D - 5170 Jülich.

(**) Dietrich H. Welte, Integrated Exploration Systems
IES and Institute for Organic Geochemistry
(ICH - 5), KFA Jülich P.O. Box 1913, D - 5170
Jülich.

more recent studies on the quantification of hydrocarbon generation indicate clearly that the reactions leading to an increase in vitrinite reflectance and to the generation of oil and gas from organic matter are controlled by different kinetics (Tissot and Espitalié, 1975; Yükler and Kokesh, 1984).

Therefore, depending on geologic heating rates, deviations from fixed vitrinite reflectance values defining different phases of hydrocarbon generation can occur, so that the onset and intensity of oil and gas generation is shifted on the maturity scale. The shift is towards higher vitrinite reflectance values in areas with low heating rates and towards lower values by higher heating rates (Fig. 1). Consequently, an accurate determination of the oil and gas generation potential of a given source rocks is not possible with vitrinite reflectance alone and necessitates the application of a different approach to determine the hydrocarbon generation in more detail.

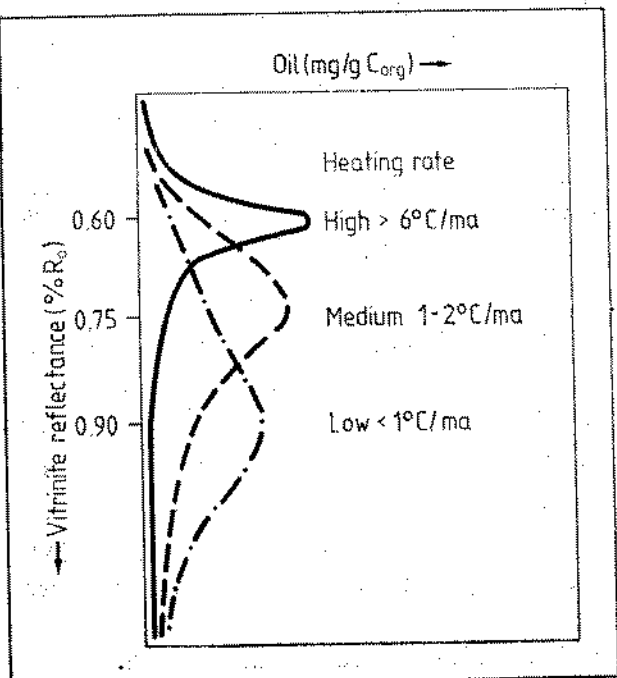


Figure 1 : Shift of the oil generation peak on the maturity (vitrinite reflectance) scale due to different heating rates.

It is generally accepted that the formation of oil and gas from kerogen can be described by a kinetic model based on first-order reaction

kinetics obeying an Arrhenius equation (Jüntgen and Klein, 1975; Tissot and Espitalié, 1975; Ungerer and Pelet, 1987). Hence the generation of oil and gas can be computed when kinetic parameters of the kerogen in this source rock and the relevant temperature history is known. Pyrolysis experiments on coal and kerogen were used for the definition of activation energies and frequency factors during the primary cracking of the organic matter into oil and/or gas (Jüntgen and Klein, 1975; Ungerer and Pelet, 1987). Even related parameters of the secondary cracking (conversion of generated oil into gas) have been determined by pyrolysis experiments (Ungerer et al., 1987), so that oil and gas generation in source rocks can be calculated, if the temperature history of the relevant source rocks is known.

To understand the temperature history of a source rocks one must consider it as an integral part of the evolution of a sedimentary basin. This can only be accomplished by a detailed analysis of the complicated interaction of such processes as deposition, burial, compaction, uplift and erosion of sediments under changing boundary conditions during geologic time. Since any source rock is part of a particular basin in each case the entire basin must be analysed. The concept of a three dimensional dynamic model of a source rock during basin evolution with the help of a computer model was introduced by Welte (1972) after Tissot (1969) had worked out the first kinetic model for the transformation of sedimentary kerogen into oil and gas. The idea was at this time to combine and consider geochemical and geological information together and to reconstruct the geothermal history of a source rock in order to compute the petroleum potential of a given basin.

HEAT TRANSFER IN SEDIMENTARY BASINS

Physical aspects of the heat transfer phenomena described in the heat transfer equation by Stallmann (1963) and given below indicate clearly that the thermal history of sedimentary basins is a time dependent energy balance problem. This is controlled on the one

$\frac{\delta}{\delta x} \kappa \frac{\delta T_m}{\delta x} + \frac{\delta}{\delta y} \kappa \frac{\delta T_m}{\delta y} + \frac{\delta}{\delta z} \kappa \frac{\delta T_m}{\delta z} =$	CONDUCTION	
$\rho_w C_{pw} \left[\frac{\delta}{\delta x} V_x T_m + \frac{\delta}{\delta y} V_y T_m + \frac{\delta}{\delta z} V_z T_m \right] + Q =$	CONVECTION	SOURCE/SINK
$\rho_{ws} C_{ws} \frac{\delta T_m}{\delta t}$	NET ACCUMULATION	
C_{pw}	SPECIFIC HEAT OF FLUID	
C_{ws}	SPECIFIC HEAT OF BULK SEDIMENT	
κ	THERMAL CONDUCTIVITY	
Q	SINK OR SOURCE TERM	
T_m	TEMPERATURE	
V_x, V_y, V_z	FLUID VELOCITY IN X, Y, AND Z DIRECTIONS, RESPECTIVELY	
ρ_w	DENSITY OF FLUID	
ρ_{ws}	DENSITY OF BULK SEDIMENT	

hand by the heat entering and leaving the system and on the other hand by the ability of the system to store heat.

The heat input into a sedimentary basin depends on the heat flow from the basement which is mainly a function of lithosphere thickness. Therefore, changes in the thickness of the lithosphere cause variations in heat flow, i.e. the temporal distribution of the heat input into a sedimentary basin (Fig. 2).

Heat coming into a basin is transferred by two mechanisms, namely by conduction and convection (Stallman, 1963; Welte and Yükler, 1981). Consequently, parameters which are related to these two main mechanisms control the heat transfer process. These parameters, as given in the heat transfer equation, are the thermal conductivity and heat capacity (specific heat) of the system and the rate of fluid flow caused by compaction and pressure gradients. Since a sedimentary basin is composed of various types of lithologies with different porosities (i.e. a different water content), the

thermal and physical parameters of all lithologies must be considered. Boundary conditions at the base of the simulated system caused by heat flow variations and at the top of the system represented by the so called sediment/water interface temperatures must also be taken into account. This necessitates a comprehensive analysis of processes and parameters such as deposition, sedimentation rates, lithologies, water depths, etc. as a function of time. In the light of the physical aspects of the heat transfer process, the geologic factors affecting the thermal history can be summarized as follows:

- (1) Heat flow at the base of the system
- (2) Type of geologic process (deposition, non-deposition, erosion, overthrusting, faulting, salt diapirism, etc.)
- (3) Rate of sedimentation and/or erosion
- (4) Type of lithology
- (5) Water depths
- (6) Surface and/or sediment-water interface temperatures
- (7) Pressures.

For a realistic temperature reconstruction all of these parameters and their changes in time should be integrated in order to represent the dynamic nature of the heat transfer within a basin. Numerical simulation methods permit a quantitative treatment of basin evolution and heat transfer as a multiparameter system under changing boundary conditions through time (Sharp and Domenico, 1976; Yükler et al. 1978, Welte and Yükler, 1981).

With the help of a computer-aided integrated basin modeling method, the geologic evolution of a sedimentary basin can be simulated in an integrated and quantitative manner, and hence the temperature history can be reconstructed. Furthermore, the effect of different geologic parameters on the resulting temperature history can be investigated and analysed.

COMPUTER - AIDED INTEGRATED BASIN MODELING

The very complex processes during the evolution of a basin obey geologic, physical, chemical and physicochemical principles and rules, and occur along a geologic time scale. Therefore, the purpose of computer-aided

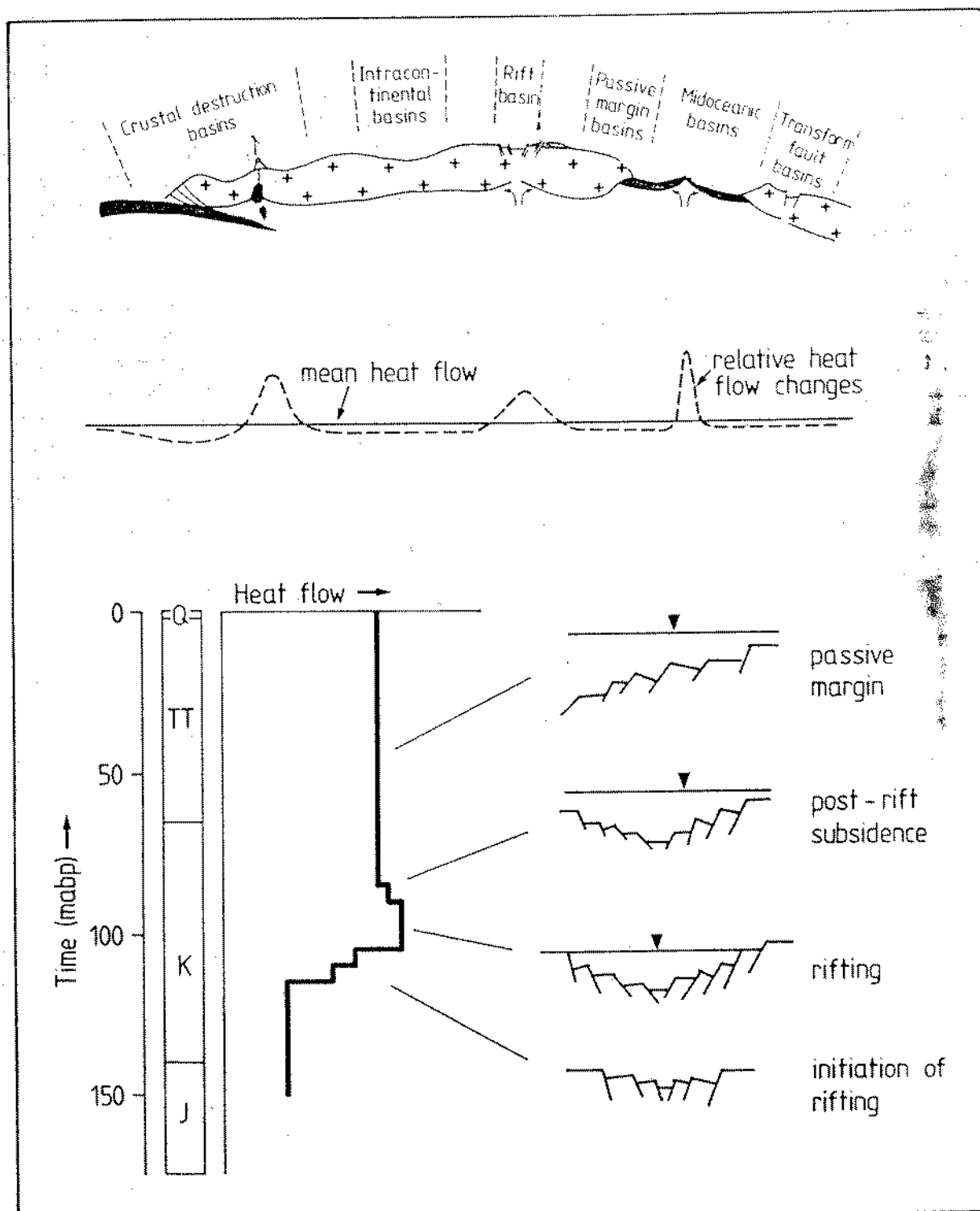


Figure 2 : Different types of sedimentary basins in respect to plate-tectonics, relative changes of heat flow in these basin types and temporal development of heat flow in a rifted basin.

basin modeling is to understand and to reconstruct the entire geologic evolution of a sedimentary basin from its formation up to present day and to quantify this information numerically.

The first and most important step of the computer-aided integrated basin modeling method is the understanding of the processes during basin evolution. These processes are sedimentation, subsidence, uplift, erosion, faulting, compaction, but also include physical and/or chemical processes such as heat transfer, water flow, generation of oil and gas, etc. Consequently, all available and relevant data on age, thickness, lithology and porosity of individual units, estimates on paleo-bathymetry and sediment/water interface temperatures and depositional environments from the input basis for the computer modeling. Furthermore, information on initial physical and thermal properties (density, permeability, viscosity, thermal conductivity, heat capacity) of various lithologies and water, heat flow, type and amount of organic matter is needed. These data are then used in order to solve the equations for water flow, heat transfer, maturity, and hydrocarbon generation potential considering a mass and energy balance of the system.

During a modeling study, three main steps can be distinguished (Welte and Yalçın, 1985):

- I — Geologic basin modeling
- II — Geochemical modeling
- III — Integration of results from I and II in order to determine the hydrocarbon potential of a study area.

The first part deals with the simulation of all relevant major geologic processes (deposition, subsidence etc.). During this step, two important aspects are investigated. The first is compaction of sediments, which is modeled on the basis of exponential decrease of porosity due to loading and the resulting flow of pore water in different lithologies. It also comprises effects of non-equilibrium of compaction which leads to formation of over-and/or underpressuring of the system.

The second aspect is the transfer of heat by conduction and by convection. Thermal properties of the pore matrix system such as thermal conductivity and heat capacity of sediments and water, but also energy input into the system, e.g. heat flow, are considered during heat transfer calculations. The main results of the "Geologic Basin Modeling" step are a quantitative basin analysis with emphasis on compaction history, pressure history and particularly temperature history for all time-stratigraphic units.

The second part, the "Geochemical Modeling" represents the determination and quantification of the hydrocarbon generation history of recognized source rocks using the predetermined temperature history and a kinetic approach. The main results of the "Geochemical Modeling" are the definition of the timing of hydrocarbon generation and the determination of type (oil, condensate, gas) and amount of hydrocarbons generated.

During the third and final step, information on the timing, rate, amount and location of oil and gas generation can be used with other quantitative information for the evaluation of migration and accumulation processes so that the hydrocarbon potential of a basin can be defined more accurately and comprehensively than with conventional methods.

THERMAL HISTORY OF SEDIMENTARY BASINS

When discussing the thermal history of a basin, it is often directly or indirectly suggested as a general rule that burial causes a temperature increase, and uplift and erosion a decrease. It is also assumed that temperatures always rise when heat flow increases and vice versa (Fig. 3).

With the help of some case histories of temperature development in different basins which have been investigated by the computer-aided integrated basin modeling method the interrelationship of different boundary conditions and their effects on the temperature history

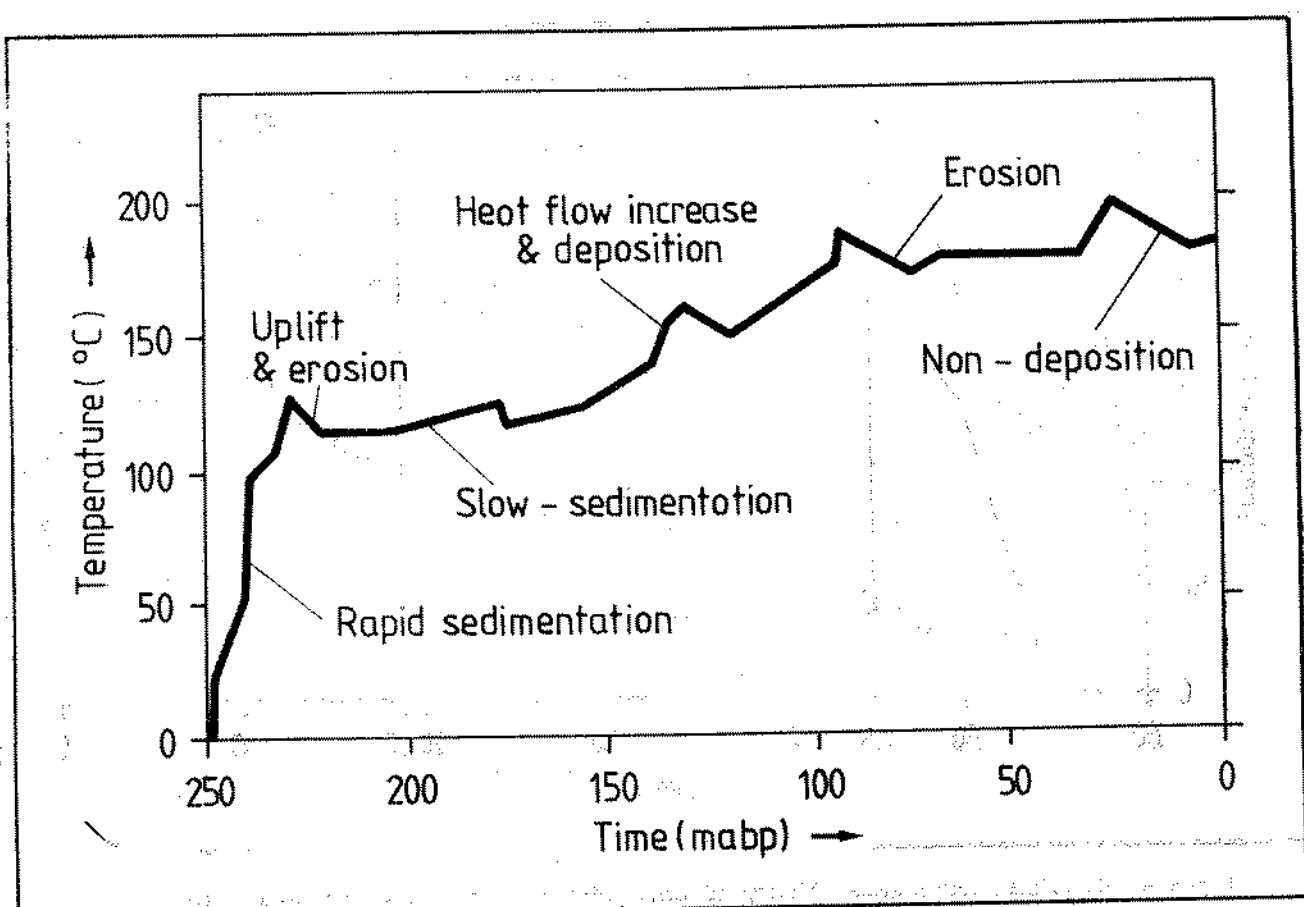


Figure 3 : Calculated temperature history of a source rock at a particular point in a basin and the interpretation of different trends in temperature history in connection with relevant geologic processes.

have been studied in detail in order to test the above - mentioned general assumptions.

The time dependent temperature development of three stratigraphic units in the Cambay Basin of India shows unusual course (Yalcin et al., 1987) during the period from 43 to 19 ma bp (million years before present). In contrast to a continuously increasing temperature trend in unit C, which is stratigraphically the youngest unit, the temperatures in the older units B and A decrease until 35 ma bp before they also start to rise (Fig. 4). In Fig. 5 the relevant values and trends of the heat flow, sedimentation rate and sediment/water interface temperatures during the same period are shown. It is obvious that the sediment/

water interface temperature was the governing parameter during this period, since the heat flow values were constant and sedimentation and erosion periods even caused opposing developments, such as the temperature increase in all three units during an erosional period (Fig. 5). Opposing trends of increasing temperature of the unit C and decreasing trends of B and A at the same location under the heat transfer phenomena in sedimentary basins.

Calculated temperature histories of the same units in another part of the basin are characterized by a temperature decrease during the last few million years until present although heat flow and sediment/water interface temperatures remained constant and sedimentation,

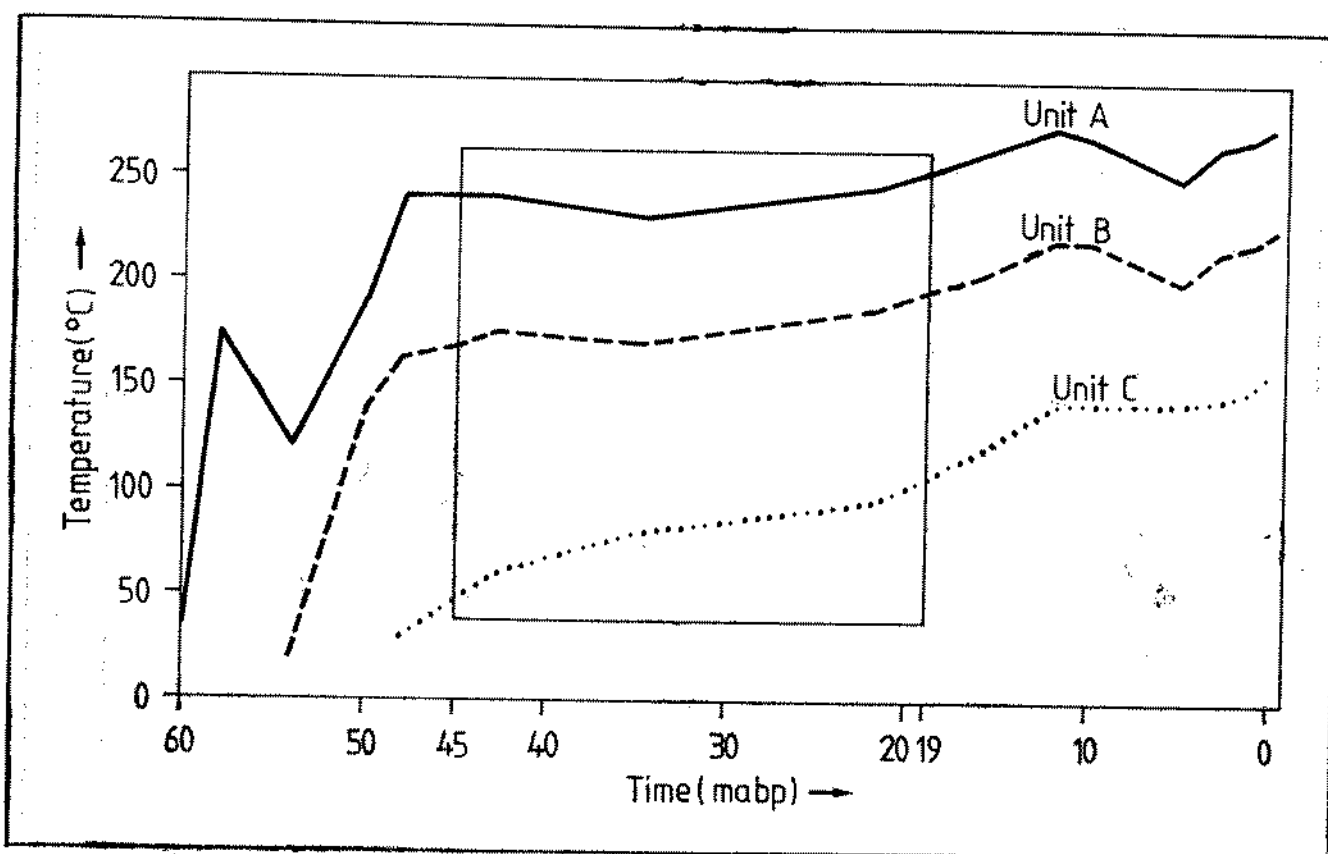


Figure 4 : Calculated temperature history of three different units in Cambay Basin, India.

e.g. burial, continued (Fig. 6). This unusual and unexpected behaviour is due to the lithology of the unit which was being deposited during that time, namely sand, which has a relatively high thermal conductivity. All other conditions in this location during the respective time span together with the deposition of a thin sandy unit then led to a situation in which thermal conductivity was the dominant parameter affecting the thermal history.

A similar development is also observed in the temperature history of a Cretaceous source rock in the San Joaquin Basin in California. This source rock was cooling down during a period in the Late Cretaceous when the heat flow did not change, deposition continued and the sediment/water interface temperature even increased. It was again a period when sandy units were deposited on the surface which

favoured heat loss from the system (Fig. 7). On the other hand just before this period the source rock was rapidly buried and heated in a relatively short time to high temperatures. Time was too short for a balanced heat budget situation, which was only reached with some delay and subsequently caused the unusual cooling.

The northern North Sea area was rifted during the Late Jurassic-Early Cretaceous (Boen et al., 1984) which caused thinning of the crust and a heat flow increase from a background value to a maximum at the turn of Jurassic-Cretaceous (Fig. 8). However, not only the heat flow increase but also the formation of rotational fault blocks affected the temperature history of the source rocks, as the shoulders of the faulted blocks were eroded while deposition, i.e. burial, continued just one

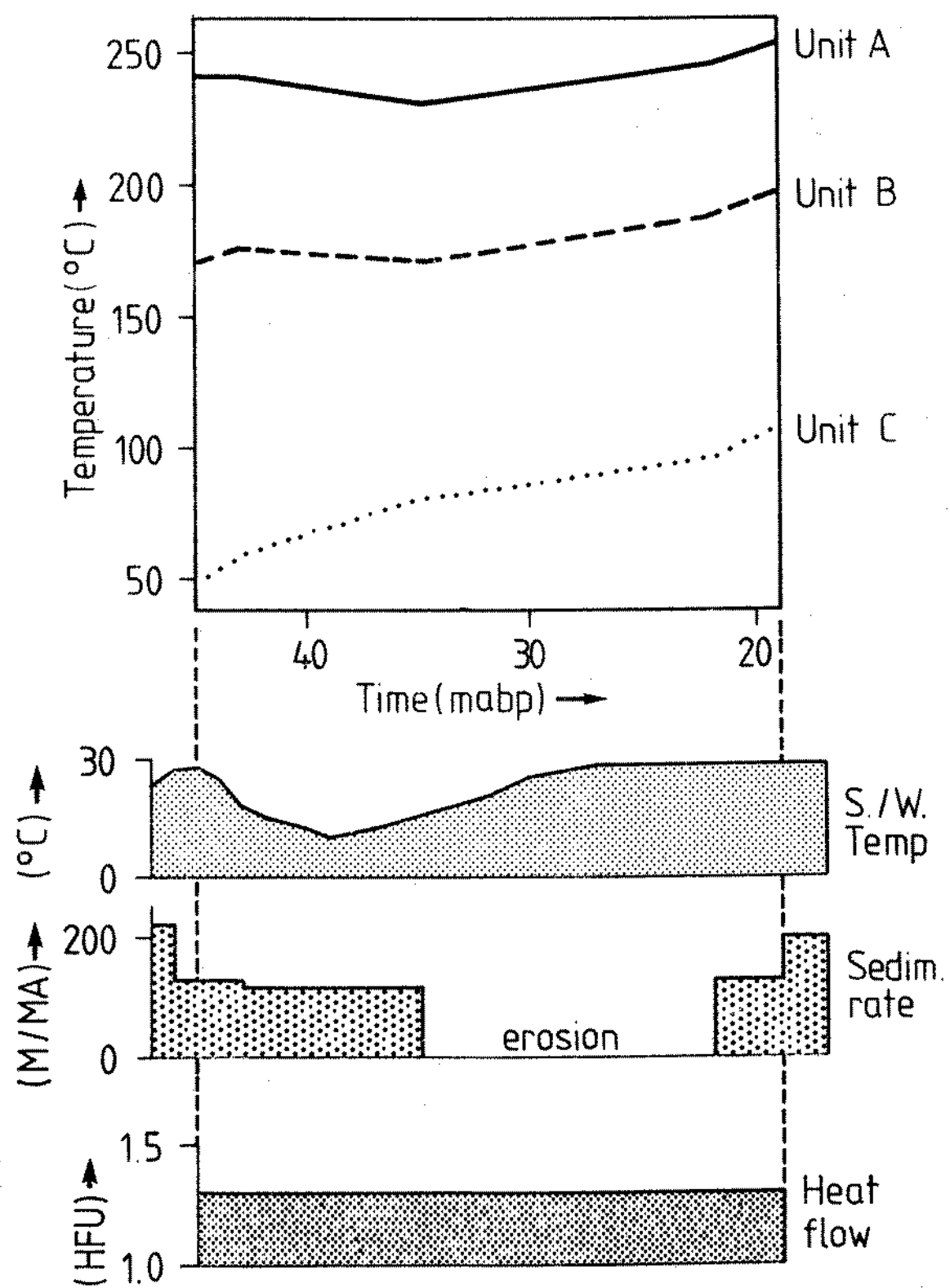


Figure 5 : Temporal distribution of heat flow, sedimentation rate and sediment/water interface temperatures together with the temperature history of the units A, B and C.

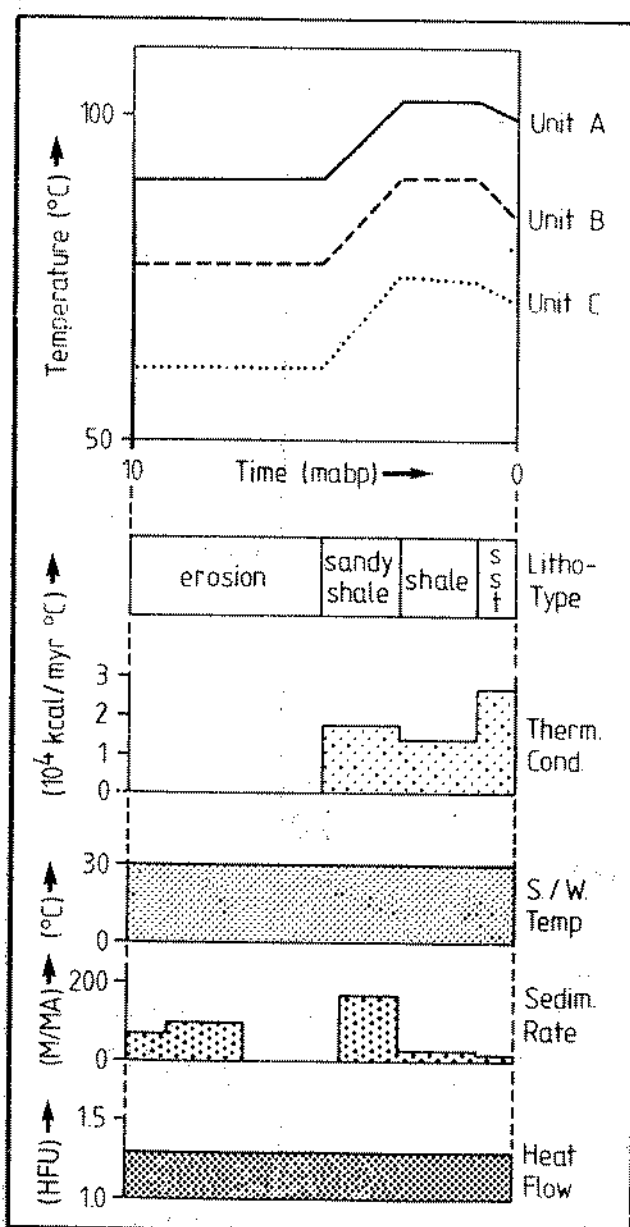


Figure 6 : Thermal history of the units A, B and C during the last 10 ma at a location in the Cambay Basin and related changes in lithotype, thermal conductivity, sediment/water interface temperature, sedimentation rate and heat flow during this period.

or two kilometers away. This erosional period caused a decrease in temperatures of a Triassic source rock despite remarkably high heat flow and sediment/water (surface) temperatures (Fig. 8). The same source rock, however, was heated on the flanks due to continuing burial.

The pressure distribution in a sedimentary basin is also one of the critical parameters which effect the temperature development. Its effect is most critical when pressures are abnormally high, which occurs when high sedimentation rates and restricted pathways for fluid expulsion lead to the trapping of pore water in sediments. The abnormally high water content leads to a reduction of the bulk thermal conductivity of the related sedimentary column, since water has a lower thermal conductivity than the sediments. Consequently, overpressured areas are in many instances characterized by abnormally high temperature gradients.

TEMPERATURE HISTORY AND HYDROCARBON GENERATION

As discussed before, the detailed temperature history of a given source rock is the essential input parameter for the computation of hydrocarbon generation based on models utilizing the laws of chemical kinetics.

The thermal history of several selected source rocks was determined by the computer-aided integrated basin modeling, which was then used to solve the kinetic equations given by Tissot and Espitalié (1975). Thus with the help of these kinetic equations for kerogen conversion and the temperature output from the geologic model the so called "specific oil and specific gas yield (HC Generation Potential)" was computed, indicating the amount of oil and gas generated per gram total organic carbon (gHC/g TOC). In this way, the hydrocarbon generation potential of a given source rock is computed from the first occurrence of hydrocarbon generation up to the present day.

These specific oil and gas yields have been computed under the assumption of a close source rock system, i.e. no expulsion of hydrocarbons was permitted. Furthermore, at this point no stoichiometric considerations were introduced with respect to a hydrogen balance.

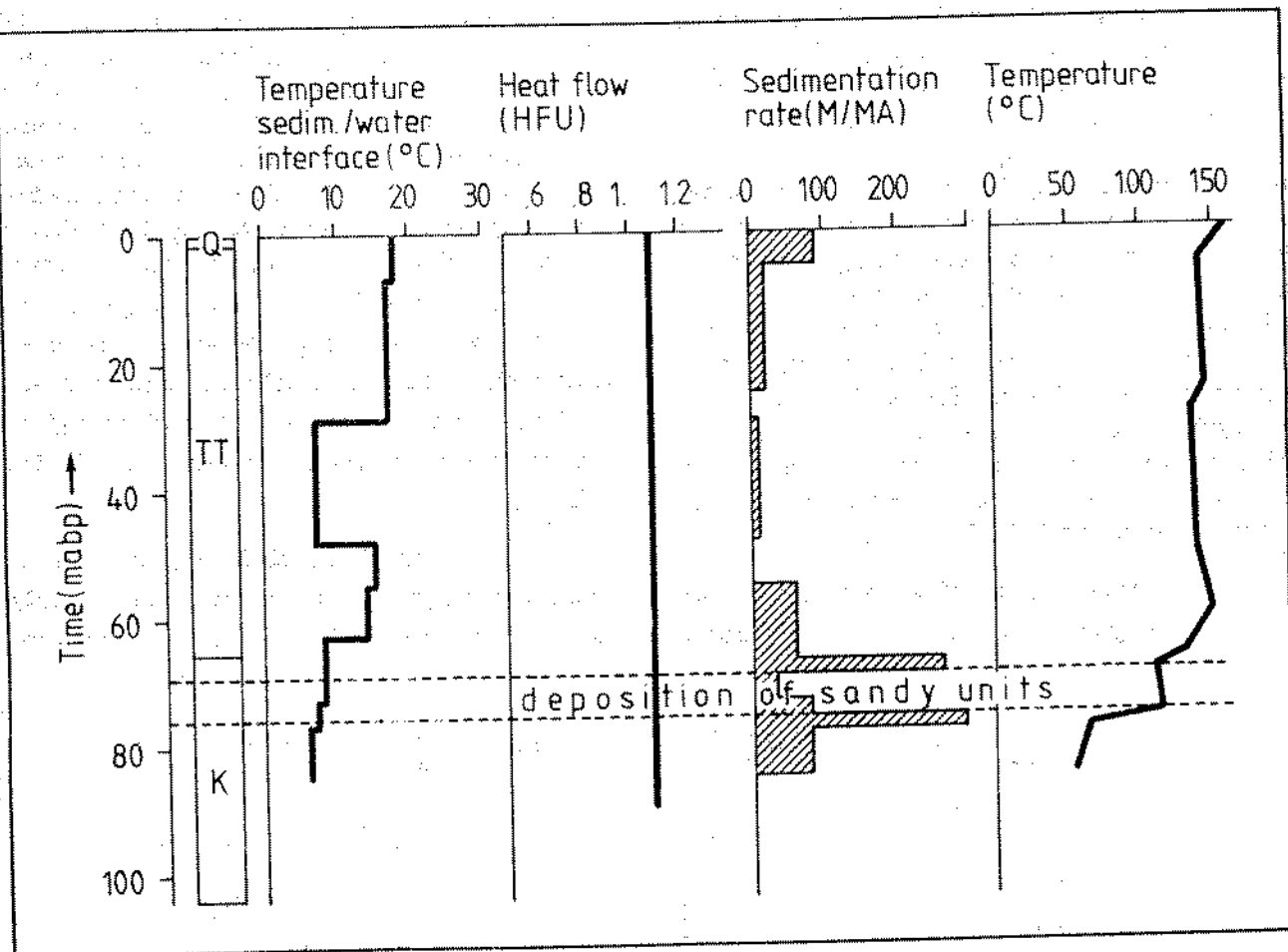


Figure 7 : Temporal distribution of some boundary conditions and the resulting temperature history of a Cretaceous source rock in San Joaquin Basin, California. K = Cretaceous, TT = Tertiary, Q = Quaternary.

In order to demonstrate the effect of the temperature history on the generation of hydrocarbons, four case histories from the northern North Sea area are discussed. These case histories represent selected points in certain basins which have been simulated numerically.

At point A a Jurassic source rock containing a type II kerogen was heated until 90 mabp with changing geologic heating rates. From 90 mabp until approximately 10 mabp the temperature in this source rock increased only very slowly at first and then remained constant. The last 8 ma are characterised by an unusually high heating rate caused by very rapid burial so that the temperature increased from 120 °C to 175 °C with a heating rate of almost

7 °C/ma (Fig. 9). Consequently, the generation of oil commenced at approximately 96 mabp when the temperature was just over 100 °C. Oil generation continued at a constant rate and reached its maximum at 60 mabp at a temperature of 120 °C. Gas generation, which started as condensate generation a few million years earlier continued until 8 mabp despite the constant temperatures, because the threshold of cracking reactions was surpassed. The period during the last 8 mabp with high heating rates led to the cracking of all the oil and to a subsequent rapid generation of gas (Fig. 9).

At location B in the basin the same source rock had a temperature development, which shows similar trends but different absolute values. Oil and gas generation commenced

earlier, namely at 130 mabp and 115 mabp, respectively. The total cracking of oil to gas occurred in a relatively short period of 20 ma. Unlike at point A, no additional gas was generated at B during the period of constant temperatures during Tertiary, despite a temperature value of 175 °C. The reason is that the kerogen fraction which generated gas at 120 °C at point A was already activated here, and additional gas can only be generated by higher temperatures, since the residual gas generation potential is related to a different frequency and strength of the chemical bonds. Therefore, when the temperature increased further during the last 8 ma, a residual potential of gas was activated at about 200 °C (Fig. 9).

The thermal history of a Paleozoic source rock with a type III kerogen in another basin

shows a marked temperature increase up to 150 °C at a point C during the Triassic. Thereafter the temperature varied only slightly until it reached a maximum of 165 °C in the Jurassic. This maximum value was not reached again until present (Fig. 10). The computed hydro carbon generation shows clearly that almost the entire oil and gas generation occurred during Triassic and no additional generation of gas took place during the last 200 ma since almost the entire potential was exhausted and the later temperatures were not high enough to activate the remaining gas generation potential (Fig. 10).

At the point D burial during the Triassic was less than at the other points. Consequently, the temperature in the source rock increased

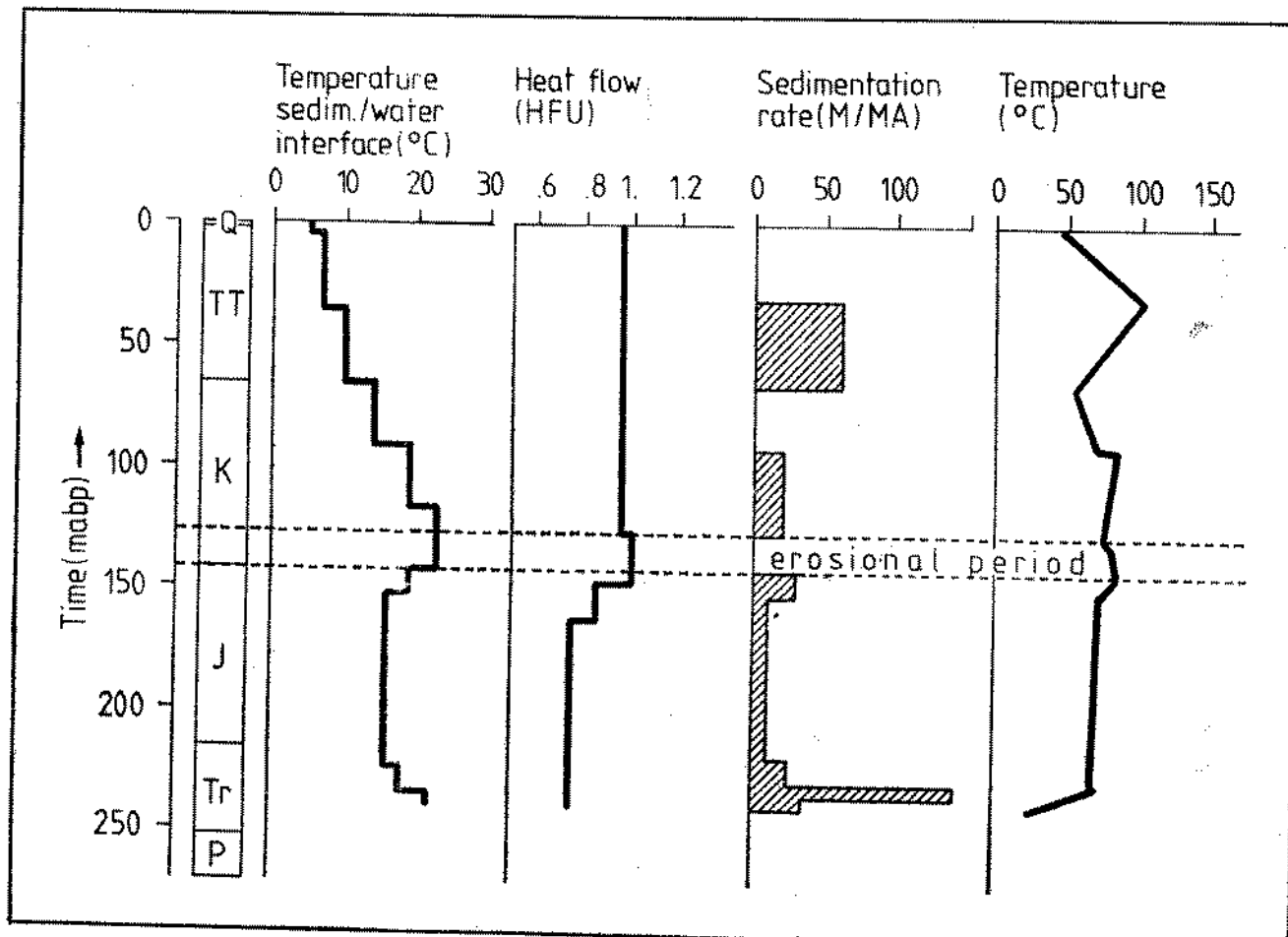


Figure 8 : Temporal distribution of some boundary conditions and the resulting temperature history of a Triassic unit in northern North Sea Area, P = Permian, J = Jurassic, K = Cretaceous, TT = Tertiary, Q = Quaternary.

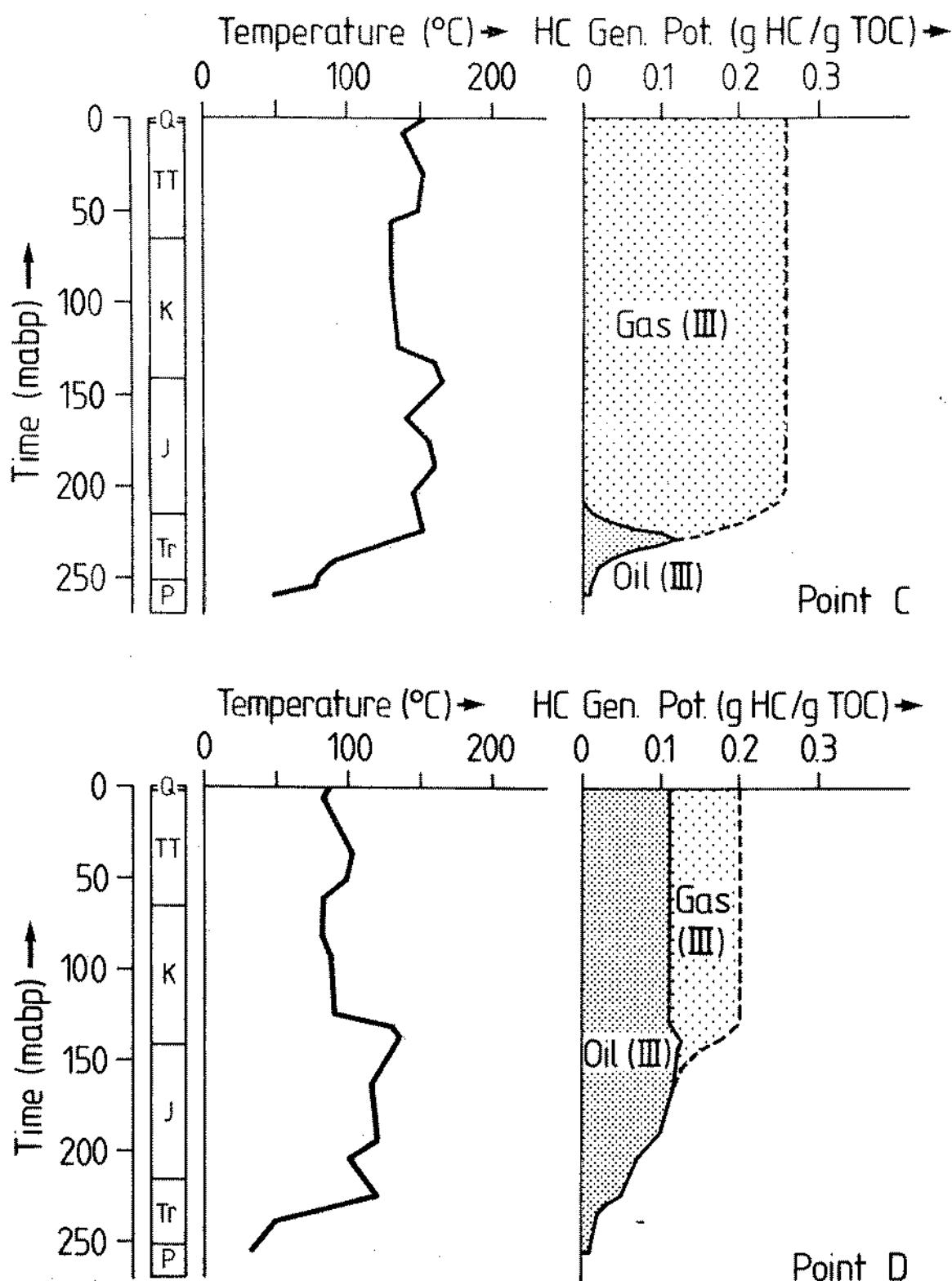


Figure 9 : The calculated temperature and hydrocarbon generation potential development of a Jurassic source rock (Type II kerogen) at two different points in the northern North Sea area.

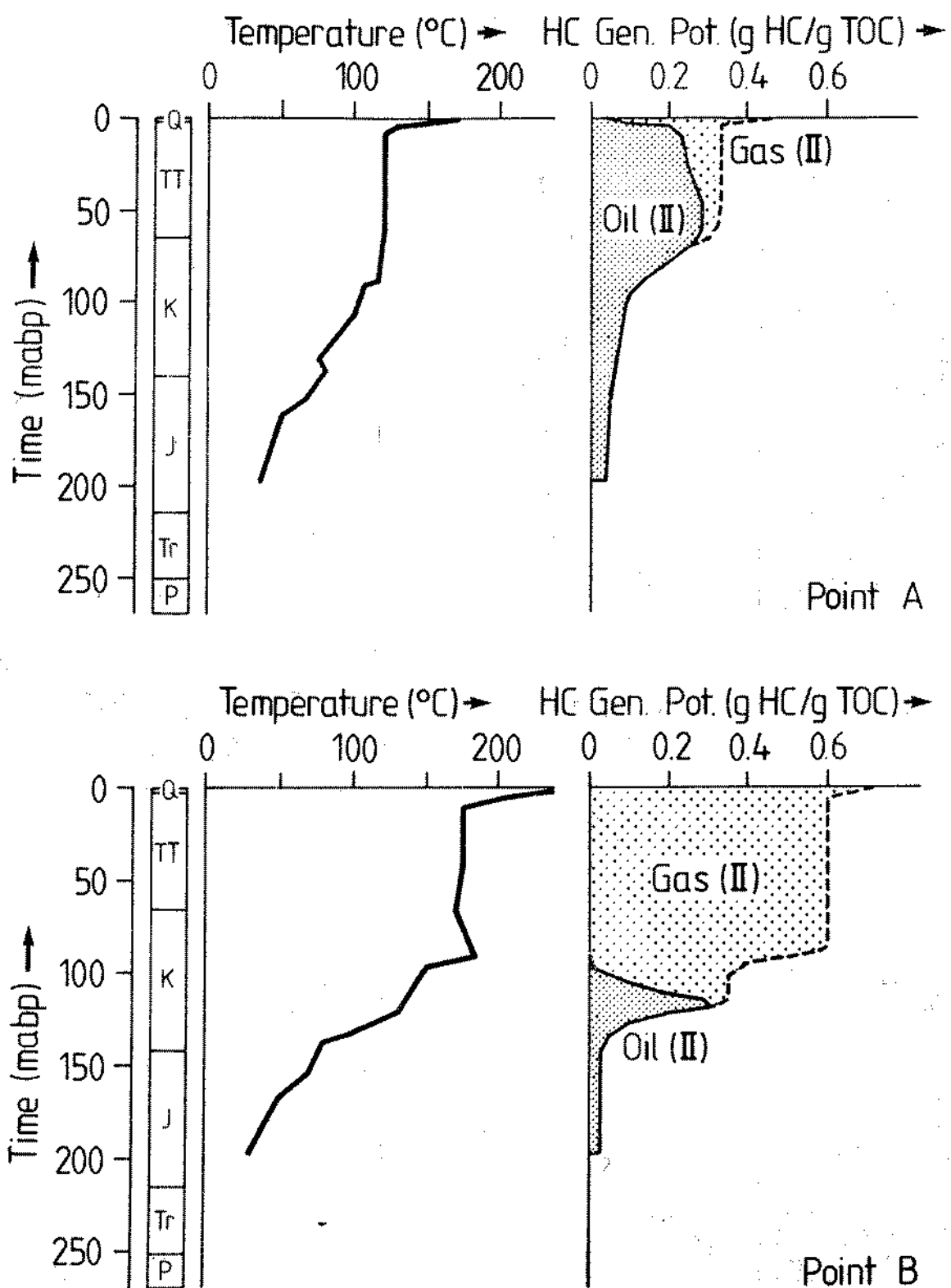


Figure 10 : The calculated temperature and hydrocarbon generation potential development of a Paleozoic source rock (Type III kerogen) at two different points in the northern North Sea area.

only to a level at which oil generation only reached the initial phase. It continued with slightly changing rates until the end of Jurassic, when the maximum temperature of 140 °C was reached. At that time the cracking of oil into gas had already commenced and the generation of gaseous hydrocarbons continued despite a subsequent lowering of temperatures. Additional gas was generated up to 124 mabp when the cracking reaction stopped as the temperature dropped below a critical threshold value of about 110 °C. This critical value was not reached again so that no additional gas was generated and in this respect the situation, remained in a "frozen" state from 124 mabp until present (Fig. 10).

CONCLUSIONS

The generation of hydrocarbons is controlled by the rate and completeness of the chemical reactions that convert kerogen into hydrocarbons. Temperature is the governing factor for these chemical reactions. Once the temperature history of a given source rock is known, the timing, type, amount and rate of hydrocarbon generation can be computed from set of kinetic equations.

The conventional way to determine the hydrocarbon potential is via maturity values (based on vitrinite reflectance) and hydrocarbon generation curves. Although still widely used, this conventional approach is by far less accurate and does not lead to quantitative data. Furthermore, it cannot define the exact timing of phases of intense hydrocarbon generation, since the kinetics of vitrinite reflectancy and hydrocarbon generation are different. Consequently, critical parameters such as the spatial and temporal distribution of oil and gas generation in different source rocks, can only be defined by a kinetic approach. A kinetic approach, however, requires an accurate temperature history. Hence a realistic reconstruction of the temperature history of sedimentary basins is essential for the definition of the hydrocarbon potential of a basin.

The thermal history of a source rock can only be defined after an analysis of the entire

sedimentary basin and the relevant boundary conditions. A sedimentary basin is formed by very complex interrelated processes, which form a multiparameter system. These processes exhibit non-linear relationships under dynamic conditions i.e. during basin evolution. In physical processes during basin evolution steady state conditions are never reached.

The thermal history of sedimentary basins, a time dependent energy balance process, is controlled by heat flow, surface and/or sediment/water interface temperatures, sedimentation and/or erosion rates, lithologies and finally by pressure. Examples from modeling studies in different basins clearly demonstrate that the temperature history of a certain source rock is determined by the combined effects of all these parameters. No single parameter can be identified as being the most important one.

A certain parameter becomes dominant only during a certain period depending on the boundary conditions during the evolution of a sedimentary basin. Consequently, methods which emphasize only a single parameter generally lead to erroneous results and misleading conclusions such as that burial always causes a temperature increase or that temperatures rise when the heat flow increases. It is even possible that two different source rocks occupying different depth and age levels can be affected in very different ways by the same boundary conditions. Therefore, when reconstructing the temperature history, the geologic evolution of a basin as a whole has to be considered, and not only certain aspects of it. Static methods such as a combination of burial history diagrams and geothermal gradients are not accurate enough to reflect the dynamic nature of the heat transfer processes in sedimentary basins and therefore are often erroneous or misleading.

The numerical simulation of basin evolution, which permits an integrated and quantified approach, is probably the most accurate method for a realistic and comprehensive temperature history reconstruction.

ACKNOWLEDGEMENTS

We are thankful to Canadian Hunter, Calgary, Canada, to grant permission to publish information on the San Joaquin Basin, USA. We gratefully acknowledge the permission by Norsk Hydro, Oslo and Statoil, Stavenger, Norway to publish information on wells in the North Sea. We also would like to thank Mr. B. Wygrala of IES for critically reading the manuscript. Many thanks go to Miss Fix for typing the manuscript.

REFERENCES

- Boen, F., Eggen, S. and Vollset, J., 1984, Structures and basins of the margin from 62 to 69° N and their development, in: A.M. Spencer et al. (Eds.), Petroleum Geology of the North European Margin, 253 - 270.
- Juentgen, H., Klein, J., 1975, Entstehung von Erdgas aus kohligem Sedimenten. Erdöl und Kohle-Erdgas-Petrochemie vereinigt mit Brennstoff-Chemie, 28, 2, 65 - 73.
- Philippi, G.T., 1965, On the depth, time and mechanism of petroleum generation. Geochim Cosmochim. Acta 29, 1021 - 1049.
- Sharp, J.M., Jr., and Domenico, P.A., 1976, Energy transport in thick sequences of compacting sediments. Geol. Soc. America Bull., 87, 390 - 400.
- Stallman, R.W., 1963, Computation of ground-water velocity from temperature data, in methods of collecting and interpreting ground-water data. U.S. Geol. Survey Water Supply Paper, 1544-H, 36-46.
- Tissot, B., 1969, Premières données sur les mécanismes et la cinétique de la formation du pétrole dans les sédiments. Simulation d'un schéma réactionnel sur ordinateur. Rev. Inst. Fr. Pétr., 24, 470-501.
- Tissot, B.P. and Espitalié, J., 1975, Thermal evolution of organic matter in sediments: Applications of a Mathematical Simulation. Rev. Inst. Fr. Pet. 30, 5, 743 - 777.
- Tissot, B.P. and Welte, D.H., 1978, Petroleum Formation and Occurrence. Springer Verlag, 538 pp.
- Tissot, B.P. and Welte, D.H., 1984, Petroleum Formation and Occurrence, second revised and enlarged edition. Springer Verlag, 699 pp.
- Tissot, B.P., Durand, B., Espitalié, J., Combaz, A., 1974, Influence of nature and diagenesis of organic matter in formation of petroleum. Am. Assoc. Pet. Geol. Bull., 58, 3, 499 - 506.
- Ungerer, P. and Pelet, R., 1987, Extrapolation of the kinetics of oil and gas formation from laboratory experiments to sedimentary basins, Nature, 327, 6117, 52 - 54.
- Ungerer, P., Behar, F., Villalba, M., Heum Odd Ragnmar, Audibert, A., 1987, Kinetic modeling of oil cracking. 13th International Meeting on Organic Geochemistry, Abstracts, Venice, Italy, Sept. 1987, 194 - 195.
- Welte, D.H., 1965, Relation between petroleum and source rock. Am. Assoc. Pet. Geol. Bull., 49, 46 - 68.
- Welte, D.H., 1966, Kohlenwasserstoffgenese in Sedimentgesteinen: Untersuchungen über den thermischen Abbau von Kerogen unter besonderer Berücksichtigung der n-Paraffinbildung. Geol. Rundschau, 55-1, 131 - 144.
- Welte, D.H., 1972, Petroleum exploration and organic geochemistry. J. Geochem. Explor. I, 117 - 136.
- Welte, D.H. and Yükler, A., 1981, Petroleum Origin and Accumulation in Basin Evolution - A Quantitative Model. Am. Assoc. Pet. Geol. Bull., 65, 1387 - 1396.
- Welte, D.H. and Yalcin, M.N., 1985, Formation and occurrence of petroleum in sedimentary basins as deduced from computer - aided basin modeling. International Conference on Petroleum Geochemistry and Exploration in the Afro-Asian Region, Dehra Dun, India, Nov. 1985, Key Note Papers, 1 - 21.
- Yalcin, M.N., Welte, D.H., Kumar, S.R., Misra, K.N., Misra, G.S., Mandal, S.K., Balan K.C., Mehrotra, K.L., Lohar, B.L., 1987, Three-dimensional computer-aided basin modeling of Cambay Basin, India. A case history of hydrocarbon generation. Proceedings of International Conference on Petroleum Geochemistry and Exploration in the Afro-Asian Region, Dehra Dun, India, Nov. 1985, (in press).
- Yükler, M.A. and Kokesh, F., 1984, A review of models in petroleum resource estimation and organic geochemistry. In: Brooks, J. and Welte, D.H. (eds.), Advances in petroleum geochemistry, 1, 69 - 113.
- Yükler, A., Cornford, C. and Welte, D.H., 1978, One-Dimensional Model to Simulate Geologic, Hydrodynamic and Thermodynamic development of a Sedimentary Basin. Geol. Rundschau, 67, 960 - 979.

Ege Denizi'nin Hidrokarbon Aramaları Yönünden İrdelenmesi

Observations in the Aegean Sea from the Point of View
of Hydrocarbon Exploration

SÜLEYMAN TURGUT*

ÖZ

Ege Denizi, Orta Miyosen sonlarında Batı Anadolu'da başlayan gerilme tektonik rejiminin etkinliğinde açılmış, son düsey hareketlerle bugünkü şeklini almıştır. Denizin açılmasına neden olan gerilme rejimi, Batı Anadolu'da bazı istisnaların dışında tamamıyla düşey hareketlerle temsil olunur.

Ege Denizi'nde, açılmaya beraber oluşmaya başlayan çökel havzalar gerilme rejiminin bu özelliklerini yansıtırlar. Bu nedenle çoğu çökel havza ya bir tarafından, ya da her iki tarafından yüksek atılılı normal faylarla çevrilmiştir.

Ege Denizi'ndeki pek çok Neojen çökel havzası, tektonik rejimin gereği olarak kuzeydoğu - güneybatı veya kuzeybatı - güneydoğu yönünde gelişmiştir. Havzaların genişliği ve içerdikleri çökel kalıntıları güneyden kuzeye doğru artmaktadır. Bu açıdan Ege Denizi'nin hidrokarbon potansiyeli yönünden önemi de güneyden kuzeye doğru artmaktadır. Özellikle Ege Denizi'nin orta kuzeyinde ve kuzeyinde yer alan çökel havzalarında 2000 metreden daha kalın Neojen çökelleri oluşmuştur. Bu çökeller hem anakaya, hem örtü kaya ve hem de hazne kaya olabilecek fasıylesler içermektedirler. Yapılan çalışmalar, özellikle kahn çökel istif içeren havzalarda çökel istifin hidrokarbon türetilmesi yeterli olgunluğa ulaştığını ve bu havzaların çeşitli kapan türleri içerdigini göstermiştir. Kuzey havzalarında yapılan baza arama çalışmaları ekonomik hidrokarbon hirikiminin varlığını kanıtlamışlardır.

ABSTRACT

The Aegean Sea has opened up under the influence of extensional tectonic regime which had started towards the end of the Middle Miocene in Western Anatolia. Latest normal block faulting has shaped its present-day configuration. The extensional tectonic regime which caused the opening up of the Aegean Sea has been represented by vertical movements entirely in Western Anatolia, excepting a few isolated cases. The Neogene sedimentary basins which formed during the opening of the Aegean Sea reflect the characteristics of an extensional tectonic regime. As a result, many of the basins in the Aegean Sea are bordered on either one or both sides by large normal faults. These basins are oriented either in northeast-southwest or northwest-southeast directions reflecting tectonic alignments in the Aegean Sea. Size of the basins and sedimentary thickness in them become greater from south to north. Thus, the hydrocarbon prospectivity of the Aegean Sea increases from south to north. Especially, in the central north and northern sedimentary basins, more than 2000 meter-thick sediments were deposited. These sediments comprise source, reservoir and seal facies. Studies indicate that the source rocks are mature enough to generate hydrocarbons and the type of organic matter found in the source rock facies is both gas and oil prone type. Seismic studies indicate that good hydrocarbon traps could exist in the northcentral and northern Aegean sedimentary basins. Hydrocarbon exploration efforts in the north Aegean basins have resulted with a number of economical successes.

(*) Süleyman TURGUT, TPAO, Arama Grubu, Ankara.

GİRİŞ

Bu makale ile Ege Denizi'nin Neojen çökel özellikleri ve çökel bavza oluşumları ele alınmakta, hidrokarbon potansiyeli hakkında görüşler ve bilgiler verilmektedir.

Ege Denizi Neojen çökelleri, bu denizde ve bu denizi çevreleyen irib ufaklı pekçok graben havzasında çökelmişlerdir. Dolayısıyla grabenlerin oluşumuyla Ege Denizi'nin açılması arasında direk ilgi bulunmaktadır. Ege Denizi'nin açılmasına neden olan gerilme tektoniği aynı zamanda grabenlerin de oluşmasına neden olmuştur. Ege Denizi ve grabenlerinin oluşmasına neden olan gerilme tektoniği bir çok çalışma tarafından detaylı bir şekilde incelenmiştir (Brooks ve Feintinos, 1980; Brooks ve Williams, 1982; Dermitzakis ve Papanikolaog, 1981; Dewey ve Şengör, 1979; Fytikas v. d. 1984; Jackson v.d. 1983, Lalachos ve Savoyat, 1979; Le Pichon ve Angelier, 1981; Le Pichon v.d. 1984; Lyberis, 1984; McKenzie, 1978; Morelli v.d., 1975; Needham v.d., 1973; Turgut, 1987).

Ege Denizi Neojen havzalarının tamamı, oluşmalarına neden olan gerilme tektonığının özelliklerini yansıtırlar. Mamafih berbiri, çökelme mekanizması ve çökel içeriği açısından önemli farklılıklar gösterirler. Bu farklılık özellikle güneyden kuzeye doğru daha açık şekilde izlenebilir. Kuzeydeki bavzalar güneydeki lere nazaran daha hızlı bir çökme ve çökelmanın etkisinde kalmışlardır. Bu nedenle kuzey havzaları daha kalın çökel istif içerirler. Üst Miyosen çökelme periyodunu takiben Pliyosen ve Pleistosen döneminde gelişen genç tektonik hareketler çökel havzalarada hidrokarbon kapanmasına elverişli çeşitli yapılar oluşturmuştur. Bundan dolayı, 1960 sonları ile 1970 başlarında açılan ilk arama kuyuları bu tür kapanları test etmek amacıyla açılmış ve başarılı sonuçlar olde edilmiştir.

EGE DENİZİ'NDE HIDROKARBON ARAMA ÇALIŞMALARI

Ege Denizi'nde arama bedeffli ilk kuyular kuzeyde Thermaikos körfezinde açılmıştır. Texaco Petrol Şirketi 1970 yılında Thermaikos

Körfezinde 3560 metre son derinliği olan Thermaikos - 1C kuyusunu açmıştır. Bu kuyuda Miyosen klastik istifinde petrol ve gaz emareleri görülmüştür. Aynı yıl aynı şirket aynı alanda son derinliği 3660 metre olan Thermaikos - 1A kuyusunu açmıştır. Bu kuyuda ekonomik bir bulguya rastlanmamıştır.

1971 yılında Colorado Petrol Şirketi Taşoz Adasının 30 kilometre kadar doğusunda son derinliği 2270 metre olan Doğu Taşos-1 arama kuyusunu açmıştır. Bu kuyuda ağır petrol içerikli yüksek gözenekli Üst Miyosen kumtaşlarına rastlanmıştır. Petrolün gravitesi düşük olduğundan (11 API°) üretilmemiştir. Daha sonra 1973 yılında Colorado Petrol Şirketi Taşoz Adasının 7 kilometre kadar batısında son derinliği 3270 metre olan Güney Kavala-1 kuyusunu açmıştır. Bu kuyu Üst Miyosen kumtaşlarından günde 20 milyon ayak-küb gaz ve 460 varil kondanseyt üretemiştir.

1974 yılında Oceanic Grubunu oluşturan Petrel şirketleri topluluğu Taşoz Adasının kuzeybatısında, Kavala Körfezinde son derinliği 346 metre olan Prinos - 1 kuyusunu açmışlardır. Kuyuda gözenekliliği yüzde 25'e varan, geçirgenliği de 500 millidarcy olan kalın Üst Miyosen kumtaşları kesilmiştir. Bu kumlardan günde 3000 varil petrol test edilmiştir. Bugün Prinos sabasında açılan 12 adet üretim kuyusundan günde yaklaşık 2800 varil petrol üretilmektedir.

1973 yılında Conoco Petrol Şirketi Limnos Adasının yaklaşık 24 kilometre güneydoğusunda son derinliği 2804 metre olan Limnos - 1 kuyusunu açmıştır. Bu kuyuda kalın Eosen-Oligosen çökel istifi ile bir miktar Miyosen istifi kesilmiştir. Kuyuda herhangi bir hidrokarbon emaresine rastlanmamıştır.

1978 yılında Union Texas Turkey Şirketi İzmir Körfezinde ve Foça açıklarında son derinliği 2220 metre olan Foça - 1 kuyusunu açmıştır. Kuyuda kalın bir Miyosen çökel istif kesilmiştir, fakat bu istifin son 1000 metreye yakını bir bölümü tamamen volkanik kökenli bir istif olup çökel istifin potansiyellliğini yok etmiştir. Mamafih kuyuda 360 metre kadar evaporit kesilmiştir.

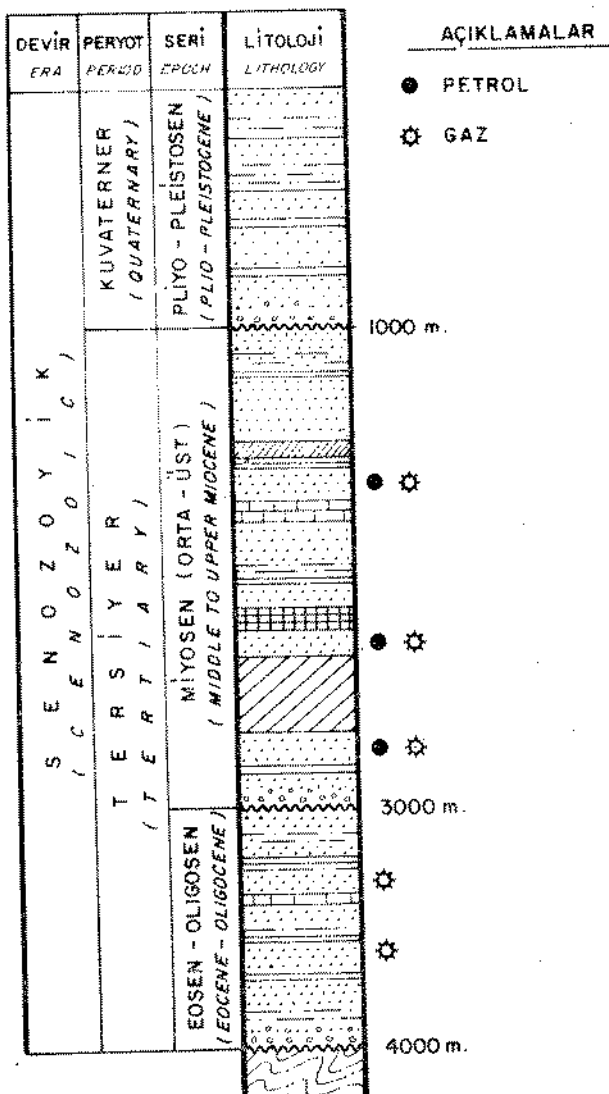
Bu faaliyetlerden ayrı olarak, TPAO, Shell Oil, Ashland Oil of Turkey, Seismic Exploration International SA, Gulf Oil, Dorchester Gas Corporation ve Continental Oil Company of Turkey gibi şirketler Ege Denizi'nin muhtelif alanlarında sismik aramalar yapmışlardır. Haritalanan yapıların ve kapanların yeterince büyük olmadığı varsayımdan hareket edilerek yeni kuyular açılmamıştır. Daha sonra Amoco Oil of Turkey Kuşadası, Foça, Edremit ve Saroz Körfezlerinde yeni sismik ve jeolojik çalışmalar yapmış ve bu alanların potansiyelini değerlendirmiştir (Moulton ve Johnson, 1986).

Göründüğü üzere Ege Denizi'nin çeşitli yorereleri, özellikle kalın çökel istif içeren Neojen graben havzaları petrol şirketlerinin ilgisini çekmiştir.

Yapılan jeolojik, jeofizik ve hidrokarbon arama çalışmaları Ege Denizi grabenlerinde hidrokarbon türmü ve kapanlanması için yeterli kahnlıkta ve organik olgunlukta çökel istifin olduğunu kanıtlamıştır. Şekil - 1, Ege Denizi kuzey graben havzalarında görülebilecek olası lito-fasiyeleri ve kahnlıklarını göstermektedir. Göründüğü üzere bazı Neojen grabenleri 3000 metreye varan Miyosen-Pliyo-Pleistosen çökelleri içermektedir. Neojen çökelleri dışında, yöresel olarak bu havzalarda Eosen-Oligosen yaşlı Tersiyer çökel kahntılarına da rastlamak mümkündür.

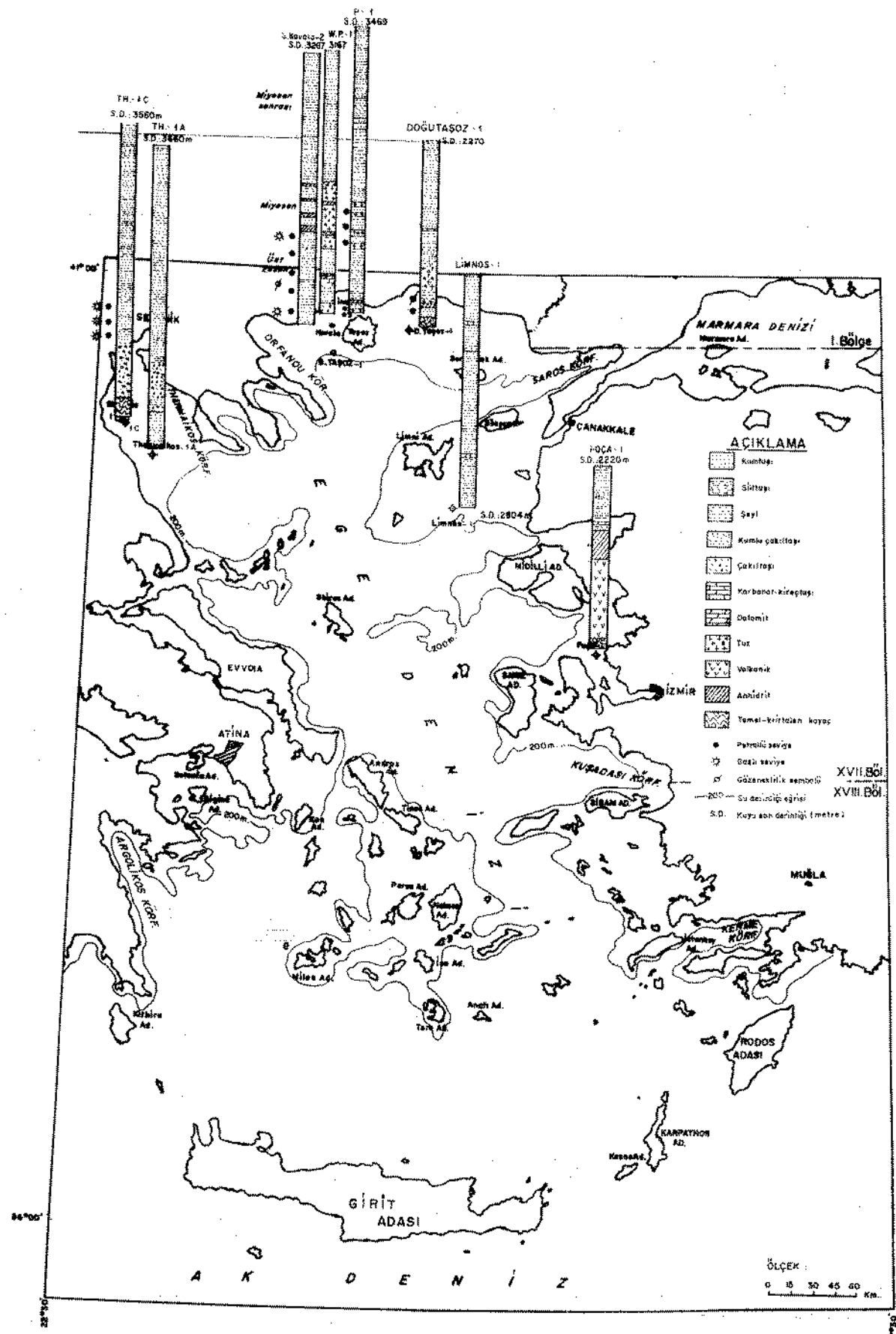
Tersiyer çökel istifi Ege Denizi'nde tek başına bir ekonomik potansiyel oluşturmamakla beraber Neojen grabenlerinde kalın Neojen çökelleri ile bir arada bulunması halinde önemli potansiyel içermektedir. Aksi halde gerekli ana kaya ve örtü kayadan yoksundur.

Çanakkale, İntepe ve Edremit Körfezinde Küçük kuyu mevkiinde Neojen şeyil ve marnlarında yapılan ana kaya çalışmaları bu kayaçlarda yüzde 1.91, 1.84, 1.45, 0.76 oranlarında toplam organik karbon (TOC) olduğunu saptamıştır. Bu oranlar hidrokarbon türmii açısından yüksek değerlerdir (minimum değer yüzde 0.6 olmalıdır). Yine bu veriler üzerinde yapılan organik olgunlaşma ve kerojen tipini tanımlama çalışmaları, yeterli organik olgunluğun varlığını ve tanımlanan kerojen tipinin de hem petrol ve hem de gaz türetebilecek türde olduğunu saptamıştır. Ayrıca, Yunanistan'ın Taşoz Adası'nın batısında bulunan Prinos ve Güney Kavala sahalarında Üst Miyosen kumtaşı rezervuarlarından önemli miktarlarda petrol ve gaz ürettiği göz önüne alınırsa, Ege Denizi Neojen grabenlerinin içerdiği çökel istiflerin hidrokarbon oluşması açısından yeterli miktarda toplam organik karbon (TOC) içerdikleri ve bunun yeterince olgunlaşlığı kolayca anlaşılabılır. Şekil - 2, Kuzey Ege Denizinde ve Türkiye kıyılarına yakın alanlarda, petrol şirketlerince en yoğun arama yapılan çökel havza bölgelerini

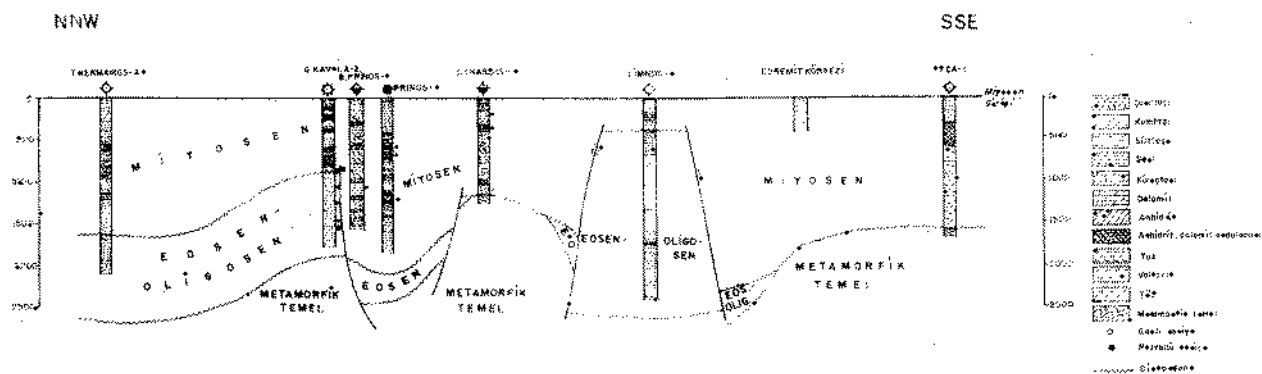


Şekil 1 : Ege Denizi'nin genelleştirilmiş Lito - Stratigrafisi

Figure 1 : Generalized Lithostratigraphy of the Aegean Sea.



Sekil 2 : Ege Denizinde açılan kuyuların litoloji sütun kesitleri
Figure 2 : Lithologic columnar sections of holes in the Aegan sea.



Sekil 3 : Ege Denizi'nin kuzey yarısında açılan kuyuların geçen kuzey kuzeybatı - güney güneydoğu yönü stratigrafik kesit.

Figure 3 : NNW - SSE stratigraphic cross-section, from half of the northern part of the Aegean Sea wells.

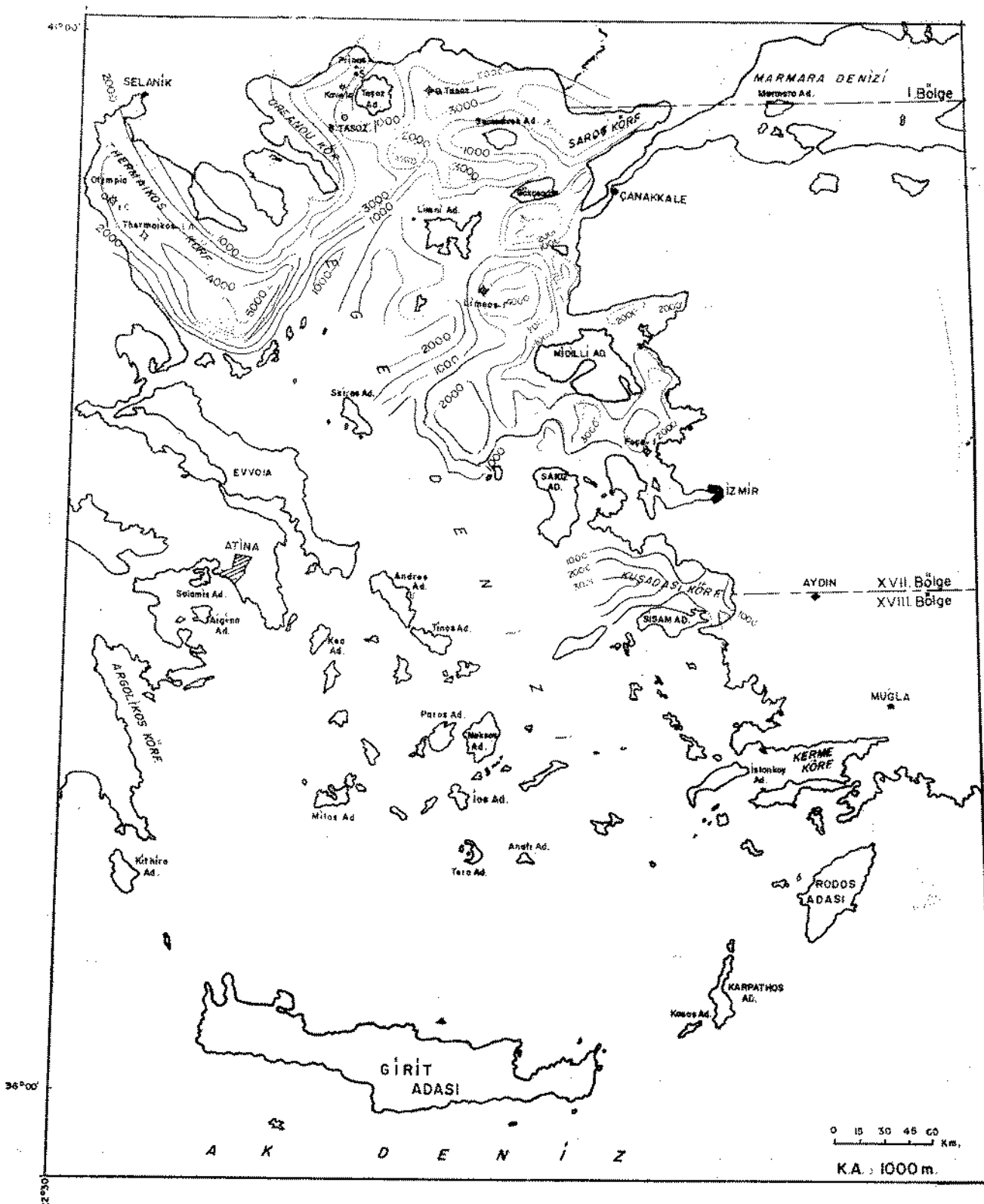
göstermektedir. Sekil - 2'ye göre İzmir - Foça Körfezi, Limni - Gökçeada - Bozcaada adaları arasında kalan bölge, kuzeyde Taşoz Adasının doğusu ve batısı, Kavala Körfezi, kuzeybatıda Thermaikos körfezi petrol şirketlerinin en fazla ilgi gösterdiği ve sondajlı hidrokarbon aramaları yaptıkları bölgeleri oluşturmaktadır. Sekil - 3'de ise hidrokarbon aramaları açısından en fazla ilgi gösteren çökel havzaların kuzey kuzeybatıdan güney güneydoğuya doğru birbirlerine göreceki konumları görülmektedir. Kesitten görüleceği üzere bütün havzalar Neojen gerilme tektoniğinin özelliklerini yansıtmaktadır. Ayrıca; Thermaikos Körfezinde ve Limni Adası'nın güneyinde ve doğusunda Neojen sedimantasyonundan ayrı olarak kalmış Eosen-Oligosen gökellerine de rastlanmaktadır. Bunlar, Üst Oligosen - Alt Miyosen döneminde bölgesel yükselmenin yarattığı aşınmadan korunabilmiş yöresel çökel istifleri oluştururlar ve Thermaikos ve Güney Kavala Körfezlerinde açılan arama kuyularında hidrokarbon emaresi (show) içerirler.

Sekil - 4'de, Kuzey Ege çökel havzalarında çökel kalınlık dağılımı görülmektedir. Görüldüğü üzere, bazı çökel alanlarında çökel kalınlığı 5000 metreye kadar ulaşmaktadır. Fakat genelde 2000 ile 3000 metre arasında değişmektedir. Özellikle hidrokarbon arama faaliyetlerinin yoğun olduğu alanlarda ortalama toplam çökel kalınlığı 2500 metre ile 3500 metre arasında değişmektedir. Sekil - 4'de görülen kalınlık haritasının çizilmesi için gerekli bilgiler,

Ege Denizi'nin çeşitli alanlarında açılan arama kuyuları verilerinden (Şekil - 2) ve sismik verilerden elde edilmiştir.

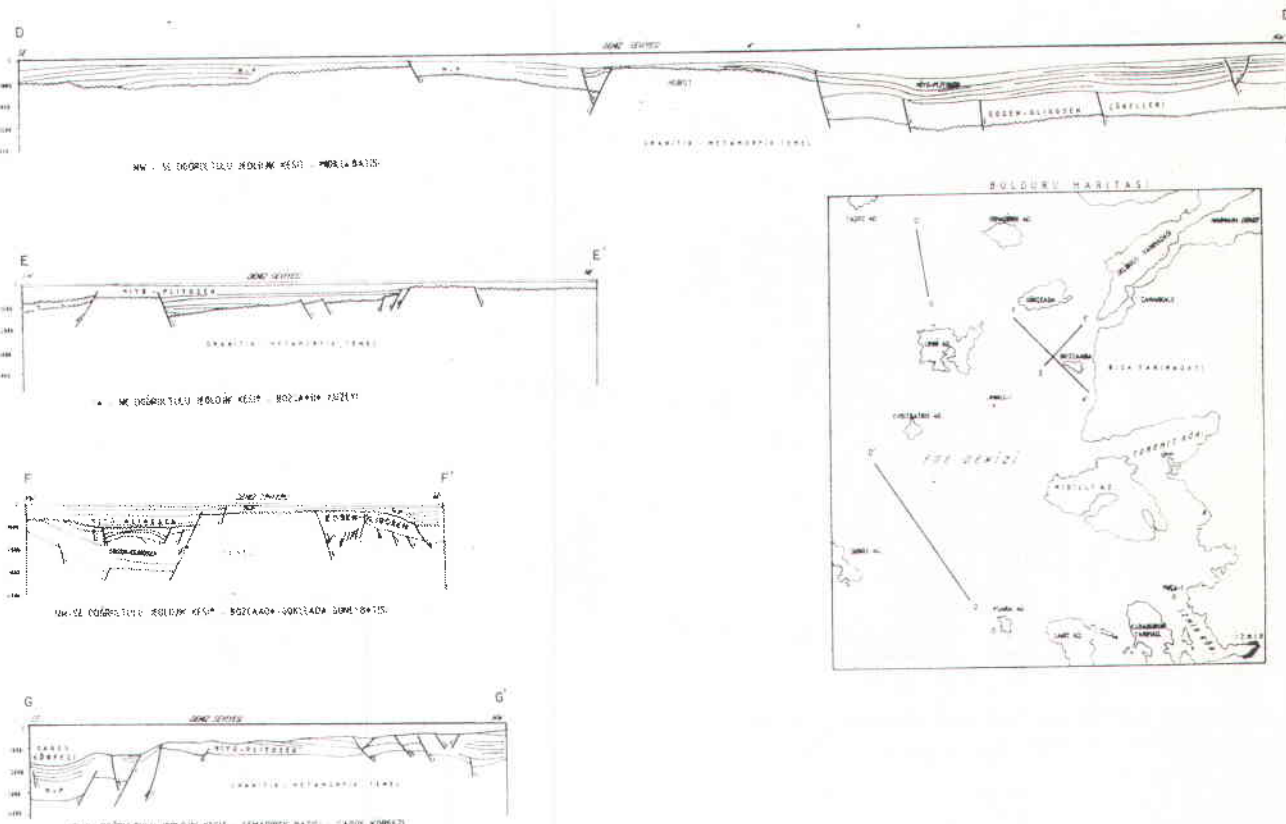
EGE DENİZİ HAVZALARININ ÇÖKELSEL ÖZELLİKLERİ

Yerel olarak gözlenen Eosen - Oligosen çökel istifleri dikkate alınmazsa, Ege Denizinde oluşan çökel havzalar, Ege Denizi'nin Orta - Geç Miyosen'de açılmasına neden olan gerilme tектonik rejiminin özelliklerini yansıtırlar. Kuzey-güney yönünde bir gerilme, doğu-batı yönünde bir kısalma şeklinde kendini gösteren bu tectonik rejim (Le Pichon ve Angelier, 1981) Ege Denizinde güneyden kuzyeye doğru çizgiselli taşyan birbirinden farklı çökel havzalar oluşturmuştur. Bu havzaların tümü graben havzalarının bazı özelliklerini taşırlar. Genellikle tabanından veya bir tarafından düşey atılımlı normal faylarla göken tekne görünümü arzederler. Sekil - 5, Ege Denizi'nin kuzyeyinde ve kuzyedogusunda gelişen bu tür havzaların bazlarını sematik olarak göstermektedir. Sekil - 5 DD' birbirinden farklı iki grabeni göstermektedir. Seklin solunda yer alan ve daha sık bir görünüm arzeden havza, deltayık bir çökel ortamı karakteri taşımakta, temel faylar belirtilmemekle beraber izleri görülmektedir. Bu havzanın genel oluşum mekanizması, deltayık klastik istif havzayı doldurdukça, teknenin çökel yükün altında taban fayları da yardımıyla çökme esasına dayanmaktadır. Havzada "fore-set" tabakaları açıkça görülmektedir. Böyle bir



Şekil 4 : Ege Denizi toplam sediman kalınlık haritası.

Figure 4 : Total sediment thickness map of the Aegean Sea



Sekil 5 : Midilli Adası batısı, Bozcaada - Gökçeada - Limni Adası civarlarından ve Kuzey Ege çukuruğundan geçen jeolojik kesitler

Figure 5 : Geologic cross - sections from the various parts of the Aegean Sea.

havzada üst üste binen ve havzanın periyodik çökmesi ile eşanlam taşıyan delta gökelleri görmek her zaman olasıdır. Yine Şekil-5 DD' incelendiğinde şeclin sağında yer alan havza, oluşum mekanizması açısından soldakinden farklıdır. Bu havza tam bir graben formunu yansıtma ve tekneyi kenarlarından sınırlayan normal fayların gökmesi ile gökmektedir. Çökel yükü altında çökme olmamaktadır. Aksi halde şekilde görülen büyük su derinliği farkı doğmamış olurdu. Böyle bir havzada yoğunluk akıntılarının sebep olduğu turbiditik gökellere rastlamak her zaman olasıdır. Şekil-5 DD' Ege Denizi'inin tam ortasından geçmektedir. Dolayısıyla Ege Denizi'nin ortasında düşey atımlı normal fayların hareketliliği ile oluşan graben havzası bulunmaktadır.

Şekil - 5 EE' Bozcaadanın tam kuzyeyinden geçmekte ve asimetrik graben oluşumunu sergilemektedir. Yine böyle bir havzada deltalı gökelme karakterini yansitan "fore-set" taba-

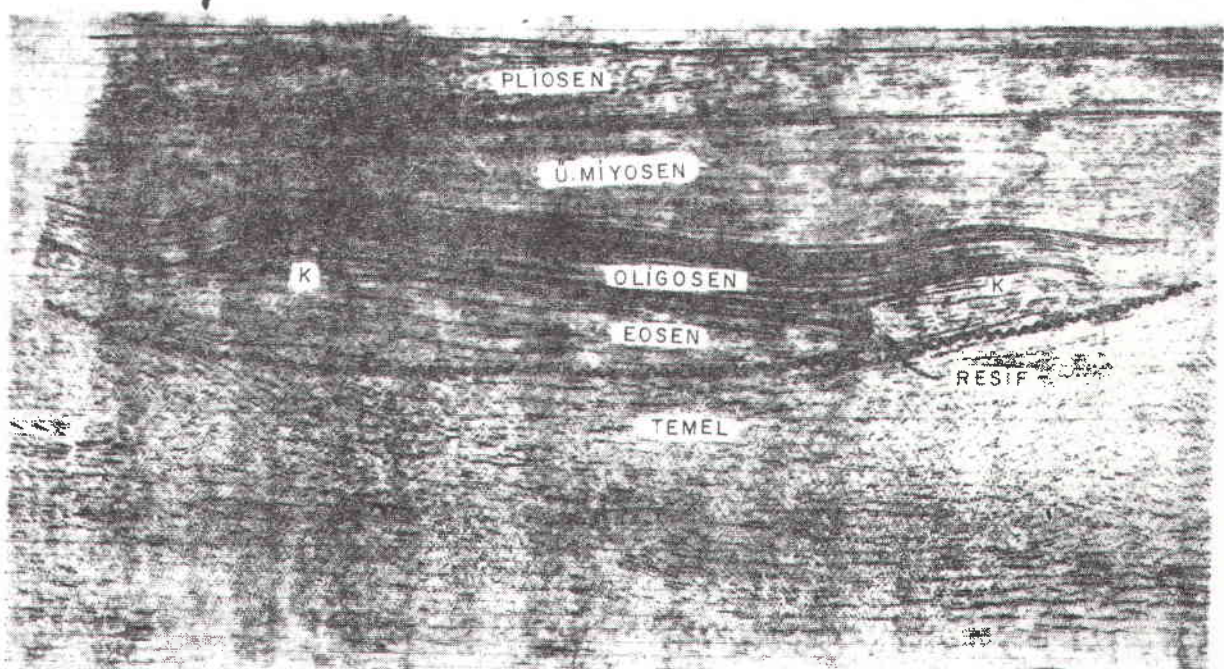
kaları gözlenebilmektedir. Şekil - 5 FF' Gökçeada ve Limni'nin güneydoğusunda benzer mekanizmalarla oluşmuş grabenleri göstermektedir. Grabenler büyük atımlı normal faylarla sınırlanmışlardır. Şekil-5 FF' de faylanmanın oluşturduğu yapısal bir kapanım da gözlenmektedir. Hidrokarbon aramaları açısından önemli bir gelişmedir.

Şekil-5 GG'de ise hem aktif normal faylanmanın oluşturduğu graben tipi ve hem de gökel yükü altında, çökerek gelişen bir graben tipi gözlenmektedir. Saros Grabeni ve kuzyeyindeki Doğu Taşoz grabenleri bunlara birer örnektir.

Ege Denizi graben havzaları oluşum mekanizması ve gökelsel özelliklerini açısından farklılaşma gösterdikleri gibi kuzyeden güneye de birbirlerinden farklı karakterler sunarlar. Kuzyede yer alan gökel havzalar daha olgun havzalar görünümünde olup oluşum safhalarını tamamlamışlar ve sakin bir görünüm almışlardır.

S

N



Şekil 6 : Taşoz Adasının doğusundan geçen sismik kesit - Doğu Taşoz Havzası

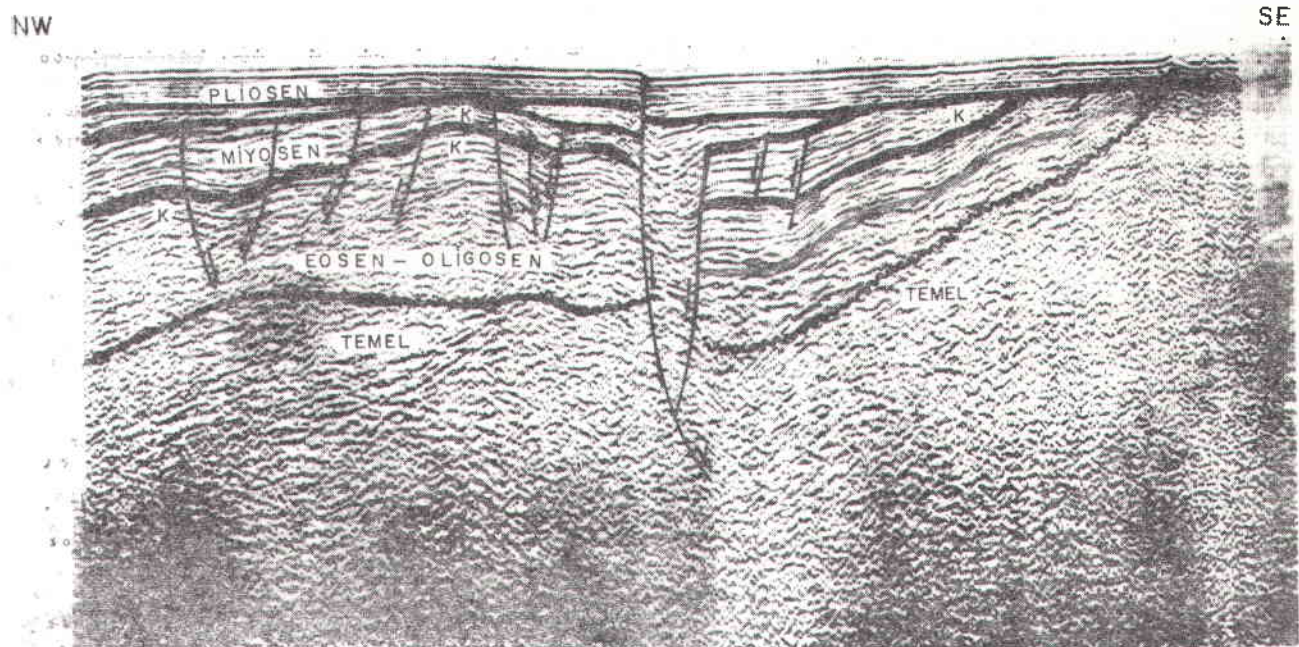
Figure 6 : Seismic section from the eastern part of the Thasos Island, eastern Thasos Basin.

Bu özellikleri ile hidrokarbon aramaları açısından daha fazla potansiyel içermektedirler. Zira organik olgunlaşma, hidrokarbon göğü ve hidrokarbonlar için olgun kapan oluşumu gibi hidrokarbon aramalarını büyük ölçüde etkileyen olaylar ancak olgun havzalarda gerçekleşebilir. Mamafih, kuzeyden güneye gidildikçe Ege Denizi çökel havzaları daha az olgun havza görünümü kazanmaktadır.

Şekil - 6, Taşoz Adasının doğusundan geçen kuzey-güney yönlü bir sismik hattı göstermektedir. Kesitte çökel istif alttan üste doğru incelendiğinde, havza oluşumunun tamamlanlığı görülür. En üst birimi oluşturan Pliosen gökellerinin bile paralel bir konum aldığı ve havzanın sakin bir görünüm kazandığı gözlenmektedir. Ayrica Pliosen gökellerini oluşturan delta "fore-set" tabakaları da çok iyi gözlenebilmektedir. Havzada fay aktivitesi ya tamamen durmuş, ya da minimuma inmiştir. Bu durumda eğer Üst Miyosen biriminin alt düzeylerinde bulunan şeyiller organik olgunlaşma düzeyine ulaşmış iseler, türeyen hidrokarbonlar göç yoluyla Eosen biriminin üzerinde oluşan yapısal kapanlara (K) yerleşecektir. Bu kapan-

lar olgun kapanlardır. Bunlara göç yoluyla gelen hidrokarbonlar başka tarafa kaçamazlar. Dolayısıyla bu kapanlar hidrokarbon aramaları açısından çok iyi potansiyel oluşturmaktadırlar. Yine bu kesitte görülen resif gelişmesi diğer bir elverişli kapan türünü oluşturmaktadır. Eğer Eosen çökel istifi içinde olgunlaşmış ana kaya lar mevcutsa bunlardan türeyen hidrokarbonlar yine göç yoluyla, görülen resif içinde kapanacaklardır.

Şekil - 7, Biga Yarımadası'nın önünden ve Bozcaada'nın güneyinden geçen kuzeybatı - güneydoğu yönlü bir sismik kesiti göstermektedir. Kesitte, güneydoğuya gidildikçe gökel istifin incelerek çökel havzada Eosen - Oligosen mekdedir. Görülen havzada Eosen - Oligosen çökel istifi üzerinde Miyosen - Pliosen çökel havzasının oluşu ve Miyosen çökelmesini takiben de havzanın yükseldiği, Pliosen'de ise ortadaki yüksek atımlı normal fay kompleksinin etkinliği ile tekrar çöktüğü görülmektedir. Ortadaki büyük atımlı normal fay yüzeye kadar ulaşmakta ve havzada hâlâ faya dayalı hareketlilik sürdürmektedir. Bu durum havzanın tam olarak olgunlaşmadığını, çökmenin ve çökme-



Şekil 7 : Biga yarımadasının güneybatı ucunun batısından geçen NW - SE yönü sismik kesit
Figure 7 : NW - SE seismic section from the south western corner of the Biga Peninsula.

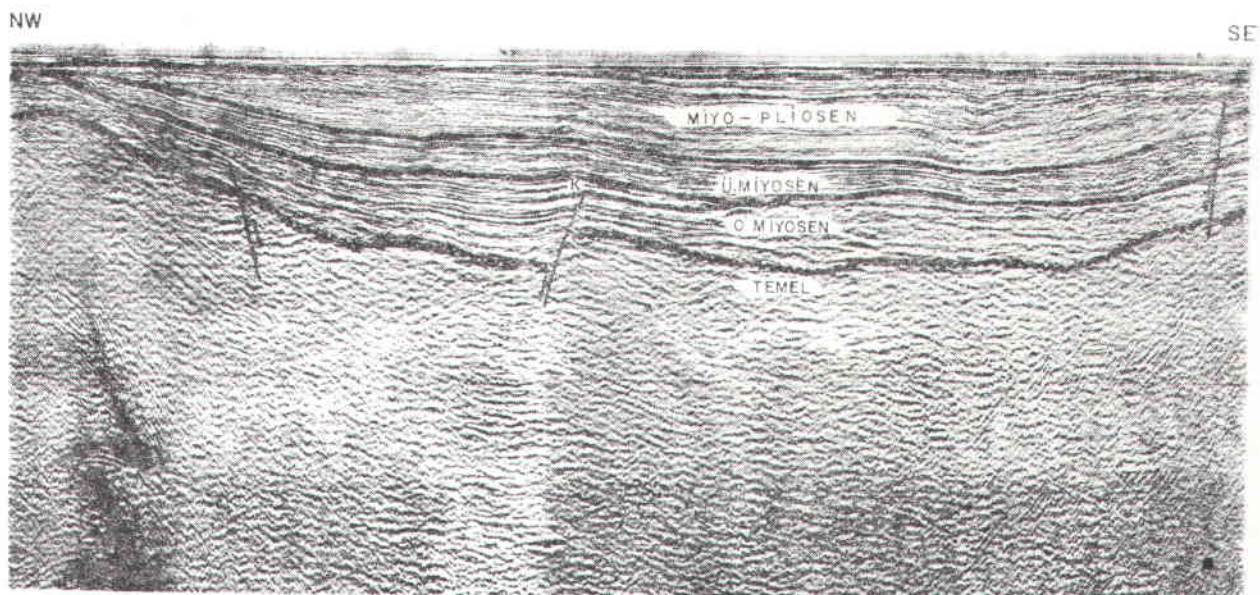
nin devam ettiğini vurgulamaktadır. Mamafih, Eosen-Oligosen ve Miyosen çökel istifleri içinde Miyosen sonrası yükselmeye ve aşınmaya bağlı olarak hidrokarbonların kapanlanabileceği birçok kapan tipi oluşmuştur. Bu kapanlar, kesitin sol yarısında yapışal, sağ yarısında stratigrafik diskordans kapanları şeklinde gelişmişlerdir. Mamafih bu kapanların gerçek potansiyel kapanlar olabilmesi için diskordans yüzeyinin geçirimsiz olması gerekmektedir. Diğer taraftan havzanın ortasındaki büyük sentetik normal fayla onun antitetik fayı havzada bir hareketliliğe ve dolayısıyla bir duraysızlığa neden olmaktadır. Havzanın bu faylar nedeniyle zaman zaman hareketlenmesi kapanların çatlamasına ve kapanlanmış olan hidrokarbonların kaçmasına ve dolayısıyla kapanların boşmasına neden olabilir. Göründüğü üzere bu havzada hidrokarbon aramaları açısından risk fazladır.

Şekil - 8, Dikili Körfezi'nin kuzeyinde gelişen bir Miyosen havzasını göstermektedir. Havza'da çökme ve çökelme henüz durmamıştır, fakat çok yavaş sürmektedir. Zira Miyo-Pliosen istifi yataya yakın bir konum almıştır.

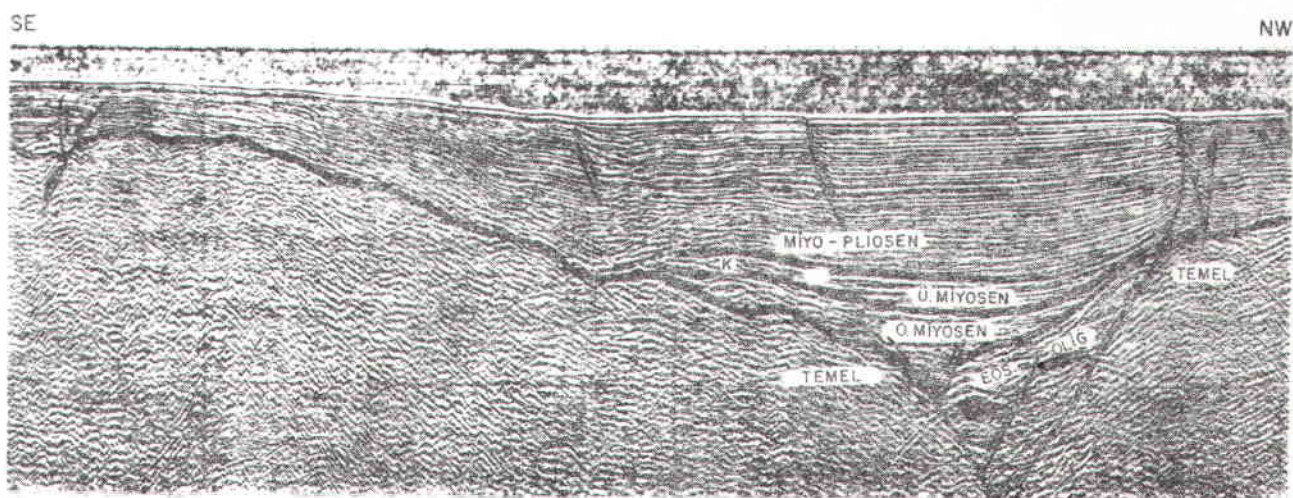
Havza tam olarak olgunlaşmış sayılmaz, fakat aktifliğini az çok kaybetmiştir. Ancak çökel yükü altında bir miktar çökme olabilir. Tabana yakın seviyede normal faya bağlı olarak yapısal bir kapan da gelişmiştir. Fakat zaman içinde çökmenin devam etmesi halinde bu kapanın yok olacağı kolayca anlaşılabilir.

Şekil - 9, Midilli Adasının güneyinde gelişmesini halen sürdürken bir çökel havzayı göstermektedir. Havza tabanından sentetik ve antitetik normal faylarla kontrollüdür. Bu faylar görüldüğü gibi halen aktiftir ve havza ortasından çökmesine devam etmektedir. Çok az olgun bir havza deyimi bu havza için geçerlidir. Üst Miyosen çökel istifinin kamalandığı alanda küçük bir kapan oluşmuşsa da çok fazla bir potansiyel içermemektedir. Dolayısıyla bu havza hidrokarbon aramaları açısından önemli bir potansiyel içermemektedir.

Şekil - 10, Kuşadası Körfezi'nde, Büyük Menderes Grabeninin kuzey kolu Körfezdeki devamı üzerinden geçen bir sismik kesiti görüntülemektedir. Görüleceği gibi, graben oluşumunu henüz devam ettiren olgunlaşmamış, duraysız bir çökel havza görünümündedir. Grabe-



Sekil 8 : Dikili Körfezi - Ayvalık arasında geçen sismik kesit
Figure 8 : Seismic section from the Gulf of Dikili and Ayvalık.

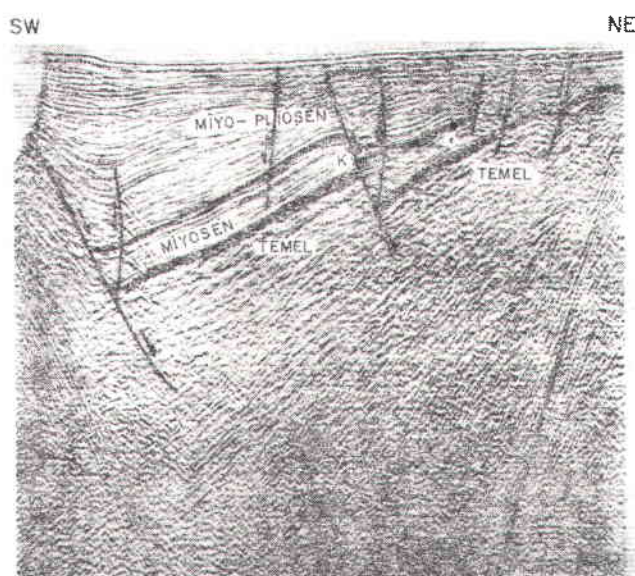


Sekil 9 : Midilli Adasının güney - güneybatısından geçen sismik kesit, Güney Midilli Havzası.
Figure 9 : Seismic section from the south - south western of the Midilli Island, Southern Midilli Basin.

ni, güneyinden sınırlayan sentetik normal fay listrik faya dönüştürmekte ve halen aktif olduğu yüzeydeki etkinliğinden kolayca anlaşılmamaktadır. Graben, güneyini sınırlayan normal fay boyunca daha hızlı çökmemektedir. Bu nedenle gerçek bir grabenden çok bir yarı graben özelliği taşımaktadır. Mamafih, kuzeye doğru temel normal faya yashı bir kapan gelişmiştir. Fakat bu kapanın ekonomik geçerliliği çok fazla değildir. Bu havzada ekonomik açıdan en büyük sorun organik olgunlaşmanın ve hidrokarbon göçünün henüz tamamlanmamış olmasıdır. Bu

da şüphesiz havzanın henüz olgunlaşmadığının bir kanıdır.

Sekil - 11 ve 12'de yine olgunlaşmamış, aktifliklerini sürdürden yarı graben türü havzalar görülmektedir. Bu havzalar Ege Denizi'nin güneyinde ve açılmanın en fazla olduğu orta kesiminde bulunmaktadırlar. Özellikle Sekil - 11'de görülen ve Mikonos Havzası adı verilen havza güneydoğusundan çok aktif bir normal fay sistemi ile kontrol edilmekte ve bu fay sistemi boyunca daha hızlı çökmemektedir. Fay sistemi



Sekil 10 : Kuşadası körfezinden geçen SW - NE yönü sismik kesit Büyük Menderes Grabeni kuzey kolu

Figure 10 : SW - NE seismic section from the Gulf of Kuşadası, northern branch of the Büyük Menderes Graben.

boyunca daha hızlı çöktüğü, çökel istifteki tabakaların aşağıya doğru çekilmelerinden (downward drag) kolayca anlaşılmaktadır. Yine bu havzada, çökel istif içinde plastik deformasyona neden olabilecek fasiyelerin de varlığı dikkati çekmektedir. Plastik deformasyon çökel istif içinde diyapirleşme ve akma yapıları şeklinde kendini göstermektedir. Şekilde de belirtildiği gibi tuz veya diğer evaporit çökeller bu tür deformasyon oluşturmaya en müsait fasyelerdir. Havzanın güneydoğusundan fay zonu boyunca hızla çökmesi diyapirleşmeye neden olan bir diğer sebeptir. Bütünyle havza hiç olgunlaşmamış bir görünüm arzetmektedir. Şekil - 12'de de yine normal fay hareketleri ile oluşumlarını devam ettiren havzalar görülmektedir. Mamafih bu kesitin sağ tarafında yer alan havzanın özelliği tam olarak bilinmemektedir. Zira diyapirik olaylar görülmekte, fakat buna neden olabilecek çökel kalınlık veya fay aktivitesi pek görülmemektedir. Dolayısıyla havzanın oluşum mekanizması tam olarak bilinmemektedir. Yine de olgunlaşmamış bir havza görünümü sergilediği açıklıdır. Bu havzalarda ekonomik bir potansiyel de görülmemektedir.

SONUÇ

Ege Denizi Neojen çökel havzalarının tamamı gerilme tektonik rejiminin özelliklerini yansımaktadır. Çoğu büyük normal faylarla kontrol edilmekte ve bu faylar boyunca çökмелere sürdürmektedirler. Havzaların oluşum mekanizması bu havzalarda çökelten sedimanların karakterini de tayin eder. Eu nedenle bazılarda deltalik, bazılarda da türbiditik karakter ağır basmaktadır. Havzanın çok hızlı çökerek yarı kapalı bir havza durumunu alması halinde evaporitler çökelmiştir. Bunlar Ege Denizi'nin hem kuzeyinde ve hem de güneyinde gözlenmektedir. Evaporitler, olgun havzalarda rezervuarlar ve kapanlar için çok iyi örtü oluştururlar. Ege Denizi'nin hidrokarbon aramaları yapılan kuzey havzalarında en iyi örtü kayaları evaporitler (tuzlar ve anhidritler) oluşturmaktadır.

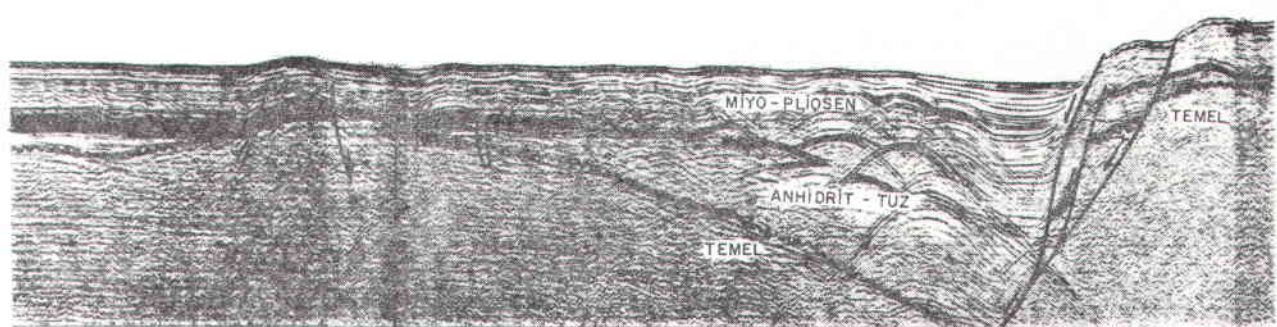
Ege Denizi çökel havzalarının çoğu kuzeyden güneye olgunlaşma farklılığı gösterirler. Kuzeydeki havzalar daha olgun, güneye gidildikçe daha az olgunluk gösterirler. Havzaların olgun veya az olgun olmaları direkt olarak onların hidrokarbon potansiyeline yansır. Olgun havzalarda hidrokarbon türümü ve göçü tamamlandırmıştır. Bu havzalarda kapanlar daha yüksek potansiyel içerirler ve güvenilir kapanlardır. Az olgun ve olgun olmayan havzalarda bu tür durumlar hakkında fikir yürütmek oldukça yüksek risk içerir. Bu nedenle Ege Denizi'nde hidrokarbon aramaları daha çok kuzey havzalarında yoğunlaşmıştır.

KAYNAKÇALAR

- Brooks, M. ve Ferentinos, G., 1980, Structure and evolution of the Sporades Basin of the north Aegean trough, Northern Aegean Sea : Tectonophysics, v. 68, p. 15-30.
- Brooks, M., ve Williams, G.D., 1982, Extensional tectonics in Neogene and Quaternary sequences at the western margin of the Axios Basin, northern Greece : Jour. Geol. Soc. London, v. 139, p. 293-297.
- Dermitzakis, M.D., ve Papanikolaog, G., 1981, Paleogeography and geodynamics of the Aegean region during the Neogene : Proc. of VII. th Inter. Cong. on Med. Neog., Athens, 1979, p. 245-289.

NW

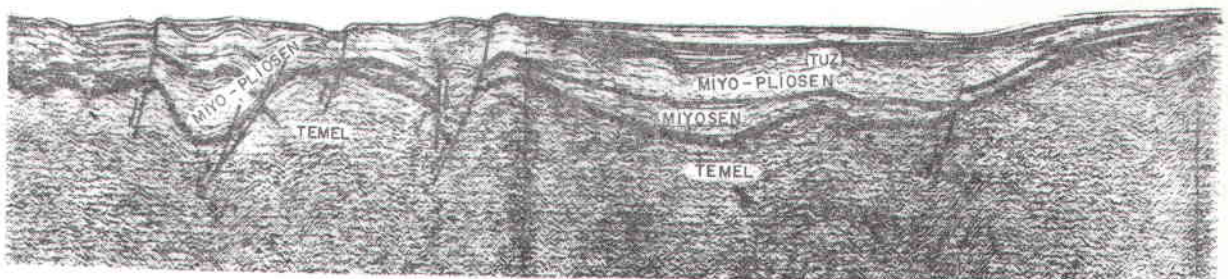
SE



Sekil 11 : Mikonos Adasının kuzeydoğusundan geçen sismik kesit - Mikonos Havzası, Güney Ege Denizi
Figure 11 : Seismic section, from the northeast of the Mikonos Island, Mikonos Basin, Southern Aegean Sea.

NW

SE



Sekil 12 : Denusa - Kinaros Adaları arası havza oluşumlarının gösteren sismik kesit, Güney Ege Denizi
Figure 12 : Seismic section, showing basin developments between the Denusa and Kinaros Islands, Southern Aegean Sea.

Dewey, J.F., ve Sengör, A.M.C., 1979, Aegean and surrounding regions : Complex multiplate and continuum tectonics in a convergent zone : Geol. Soc. Amer. Bull., v. 90, p. 84-92.

Fytikas, M., Innocenti, F., Manetti, P., Mazzuoli, R., Peccerillo, A., ve Villari, L., 1984, Tertiary to Quaternary evolution of volcanism in the Aegean region, in: Dion, J.E., ve Robertson, A.H.F., (ed.), the geological evolution of the eastern Mediterranean: Geol. Soc. Special Pub., 17, p. 687-699.

Jackson, J., King, G.C.P., ve Vita-Finzi, C., 1983, Neotectonics of the Aegean : An alternative view : Earth planet. Sci. Lett., v. 61, p. 300-318.

Lalechos, N., ve Savoyat, E., 1979, la Sédimentation Néogène dans le fossé Nord-Egee : Proc. VI th. Coll. on Geol. of the Aegean Region, Athens 1977, p. 591-603.

Le Pichon, X., ve Angelier, J., 1981, The Aegean Sea : Phil. Trans. R. Soc. London, v. A 300, p. 357-372.

Le Pichon, X., Lyberis, N., ve Alvarez, F., 1984, Subsidence history of the North Aegean trough, in: Dixon, J.E., ve Robertson, A.H.F., (ed.), the geological evolution of the eastern Mediterranean : Geol. Soc. Special pub. 17, p. 727-741.

Lyberis, N., 1984, Tectonic evolution of the north Aegean trough, in: Dixon, J.E., ve Robertson, A.H.F., (ed.), the geological evolution of the eastern Mediterranean : Geol. Soc. Special Pub. 17, p. 709-725.

Mc Kenzie, D.P., 1978, Active tectonics of the Alpine-Himalayan belt : the Aegean Sea and surrounding regions : Geoph. J. Roy. Ast. Soc., v. 30, p. 109-185.

Morelli, C., Pisani, M., ve Gantar, G., 1975, Geophysical studies in the Aegean Sea and in the eastern Mediterranean : Boll. Geofis. Teor. Appl., v. 66, p. 127-167.

Moulton, D., ve Johnson, P., 1986, Amoco Turkey Petroleum Company Exploration Summary, Edremit Bay, Turkey, Licence No : 2470, yayınlanmamış TPAO arşiv raporu.

Needham, H.D., Le Pichon, X., Melguen, M., Pautot, G., Renard, V., Avedik, F., ve Carre, D. 1973, North Aegean Sea trough : 1972 Jean Charcot cruise : Bull. Geol. Soc. Greece, v. 10, p. 152-153.

Turgut, S., 1987, Ege Denizi ve dolaylarının tektonik evrimi ve hidrokarbon olanakları : Türkiye VII. Petrol Kong. Jeol. Bild., s. 22-35.

Meso-scale Cycles in Lacustrine Mudrocks of the Triassic-(?) Jurassic Richmond Group and the Cause of Cyclicity in the Newark Supergroup

VOLKAN S. EDİGER*

ABSTRACT

Meso-scale cyclic stratification in the lacustrine Vinita Beds Member of the Richmond Group have potential for use in chronostratigraphic interpretations. The cyclic strata in carbonaceous mudrocks are characterized by alternating dark-colored, fine-grained and light-colored, coarse-grained beds. A Richmond Group lacustrine meso-scale cycle is first divided into a lower unit A and upper unit B, and then into lithological facies. Rock color, specific gravity, and organic matter content of the cyclic mudrocks are linked to these lithologic changes. Variations in the sedimentologic parameters, coupled with type of dispersed organic matter, and relative abundances of some spores-pollen groups are used to interpret relative depth of water, closeness to the shore, transportation modes, and Eh-potential of the depositional medium. Climatic variations that may be driven by periodic changes in the obliquity of the earth's orbit among other processes is thought to cause the cyclic stratification in the lacustrine Vinita Beds Member. Paleopalynological biostratigraphy lends support to such an interpretation.

INTRODUCTION

Cyclic (= rhythmic) stratification may be caused by a succession of events or by gradual periodic changes in or outside the depositional environments (Einsele, 1982), as opposed to event stratification which is related to catastrophic events such as volcanism, storms, or

floods etc. (Sellacher, 1982). Many catastrophic events can be considered as rare with respect to human lifespans, but they are quite common geologically. However, gradual periodic changes are believed to be the more important cause for cyclic stratification. Some of these cycles carry information on time, and others do not (Schwarzacher, 1975). Cyclic sequences which have potential use in chronostratigraphy are called "peridites" (Einsele, 1982), and were recently used to establish an absolute time scale in British Jurassic-Cretaceous deposits (House, 1985).

Cyclic stratification is remarkably common in different lithostratigraphic units of the Newark Supergroup which is found in the exposed and inferred Triassic-Jurassic proto-Atlantic rift basins in eastern North America (Fig. 1). Among these rift basins, the cyclic strata in the Newark Basin have been extensively studied by Van Houten (1962, 1964, 1965, 1969, 1980), Thayer et al. (1970), Olsen (1978, 1980, 1982, 1984b), and Olsen et al. (1978). A brief discussion on the comparison of the cyclic strata in the Newark-type Basins and modern lakes can also be found in Olsen (1984a).

The Richmond Rift Basin in Virginia is one of the southern Newark-type basins which was formed during the earliest rifting of the proto-Atlantic region (Ediger, 1986). Triassic-(?) Jurassic Richmond Basin deposits have been placed within the Richmond Group which consists of Turkahoe, Turkey Branch, Boscombe, and Otterdale Formations (Ediger et al., in prep.). Lacustrine cyclic stratification is very common in the Middle-Upper Triassic Vinita

(*) Volkun S. EDİGER : Turkish Petroleum Corporation (TPAO), Research Center, 06420 Ankara, Turkey.

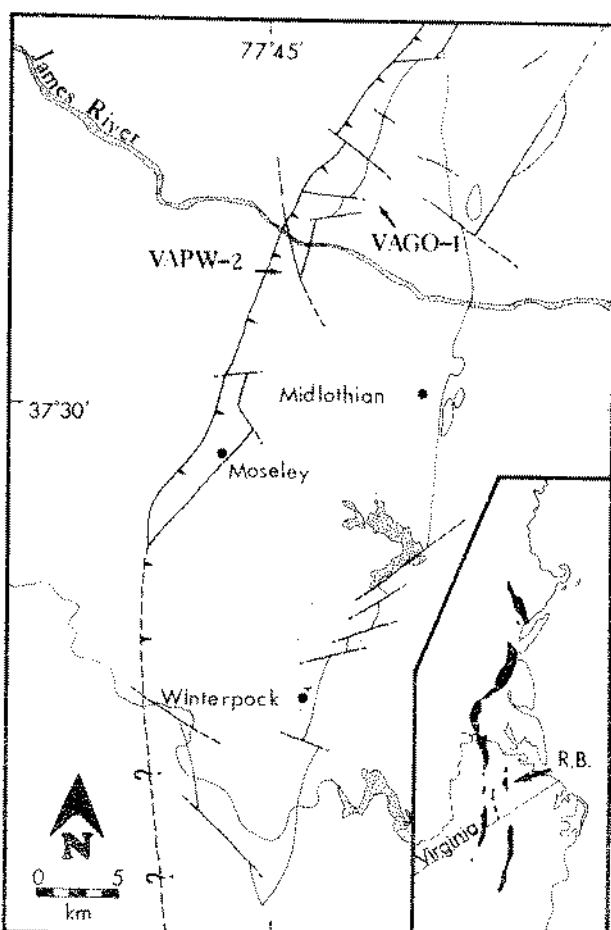


Figure 1 : Simplified geologic map of the Richmond Basin showing sample locations and the exposed basins of the Newark Supergroup in the eastern North America.

Beds Member of the Tuckahoe Formation. Cyclic stratification is well displayed in the core samples from the wells VAPW-2 and VAGO-2 (Fig. 1). Seventy-three core samples (VE-100 to VE-174) and forty-two boxes of core from the well VAPW-2, and fifty-four samples (VE-301 to VE-354) from the well VAGO-1, and several outcrop samples were studied micro - and megascopically.

PETROLOGY, ROCK COLOR, AND SPECIFIC GRAVITY OF THE MUDROCKS IN THE CYCLIC STRATA

The lithology of the Vinita beds varies from black clay-shale to light gray, medium grained sandstones. Mudstones are the dominant lithology and are mostly found as an alternation

of light-colored, coarse-grained rocks with dark-colored and fine-grained ones.

Sedimentological study at a hand specimen scale shows that most beds in the Vinita Beds Member are well laminated and the shales are fissile. Alternations of fine-dark and coarse-light layers are common both in large (cm) and small (mm) scale. However, almost no stratification can be seen in the light-colored and coarse-grained sandstones. Small-scale convolute bedding burrowing, and cross-bedding are frequently observed in the alternating sandstones and shales (Fig. 2). Shrinkage cracks and burrows are usually filled with slightly calcareous, silty sediments. Beds and laminae are often disrupted, looped, and contorted by syn - and post - depositional small - scale faults. Fault planes seem to form mostly in the dark shales, and slickensides are common even on the small-scale fault planes. Mylonitized surfaces and parallel lineations are common on fault planes. Displacement along these fault planes is on the order of centimeters and dip-slip movement may be normal or reverse. Intermediate forms of bedding between regular bedding and homogenized massive bedding are very rare probably because of relatively little alteration of sediments by organismal burrowing. Organic matter occurs as dark laminae, mottles, minute specks, or lenses in the samples (Fig. 2).

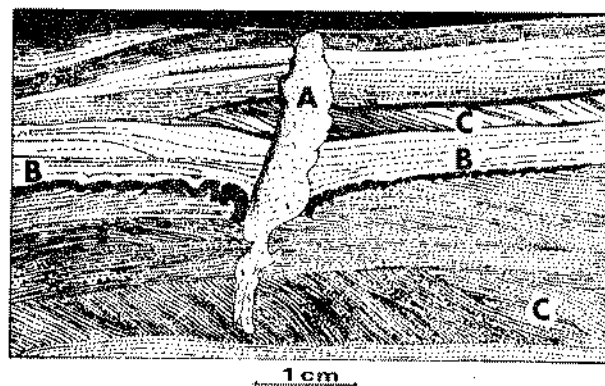


Figure 2 : Sedimentary structures in sample VE-211 of the VAPW-2 well. (A : Burrow, B : Convolute bedding, C : Cross bedding).

The color of the analyzed samples is between black and medium gray (2 to 6 color values on the Munsell Color Chart by The Rock-color Chart Committee, 1948; Fig. 31). However, 87 % of

the samples are distributed between values 2-4, and 40 % in value 4 alone.

The color versus organic matter curve for rocks containing less than 5 % calcite (Hosterman and Whitlow, 1981) can be used to estimate organic matter content in the Richmond Group carbonaceous mudrock samples (Fig. 3).

pressed-powder samples: slightly higher values might be expected for whole-rock estimates. Most of the VAPW-2 and VAGO-1 well samples can be classified as "organic-rich" using Carpentier and Schmoker's (1982) definition. Since all of the carbonaceous mudrock samples have color values equal to or less than 5, this study

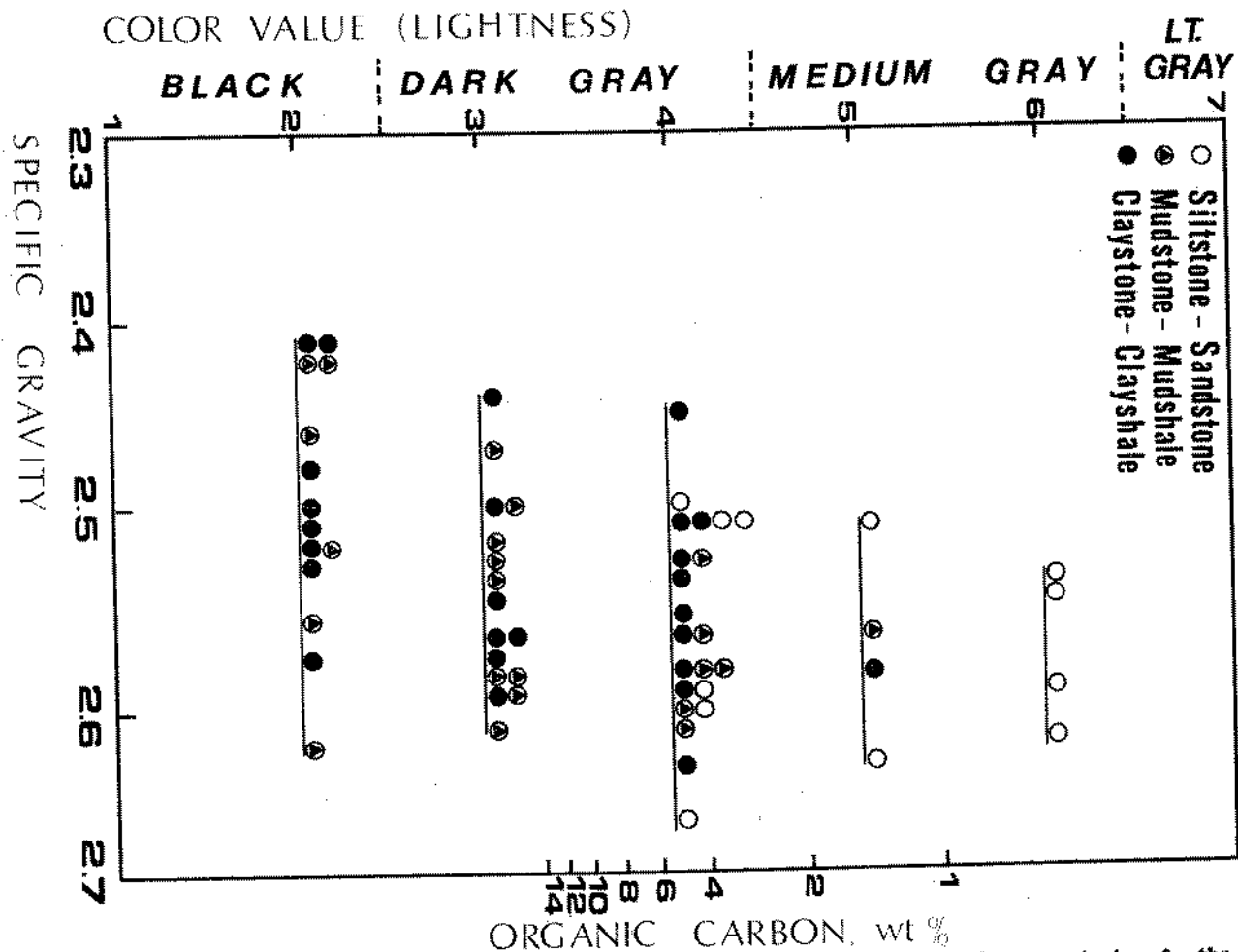


Figure 3 : Munsell color values, specific gravity measurements, and organic carbon content of the carbonaceous mudrocks in the VAGO-1 well. Organic carbon values are based on the color-organic carbon curve for less than 5 % calcite by Hosterman and Whitlow (1981).

Carpentier and Schmoker (1982) found that the boundary between "black" and "gray" shale occurs at 4.0 % organic content by volume. Schmoker (1980) estimated that the boundary between "organic-rich" and "organic-poor" occurs at 2.0 % organic content by volume. A 4.0 % organic content by volume corresponds approximately to 1.5 % (Hosterman and Whitlow, 1981) or 1.8 % (Schmoker, 1980) by weight. These measurements were done on dry

suggests the boundary between organic-rich and organic-poor mudrocks is around value 5. This boundary is also used to be the boundary between hydrocarbon source and nonsource rocks (Schmoker, 1980).

The average specific gravity of unweathered mudrock samples was determined to be 2.55. The average density of the Richmond Group mudrocks with extremely weathered surfaces

was found to be 2.48 g/cm³ (Reilly, 1981). Specific gravity range varies within 0.09 at the average for the color value 6, within 0.13 for value 5, within 0.22 for value 4, within 0.18 for value 3, and within 0.22 for value 2. According to the formula developed by Engelhardt (1932), for an average specific gravity of 2.55, the organic content of the carbonaceous mudrocks is expected to be 3.52 % by volume. This is close to the organic content calculated for the same lithology by other methods. Therefore, the grain size, amount of organic matter, and specific gravity of these rocks may be closely related to each other, and of use in lithostratigraphic interpretations.

The most important factor affecting specific gravity is pyrite content because of its high specific gravity. In addition to the high specific gravity of the samples, the wide range of variance may be attributable to pyrite content. Although FeS has a strong black color and is an important pigment, FeS₂ does not affect the rock color (Potter et al., 1980). However, Robbins (1982) found that some carbonaceous mudrocks from the Dan River-Danville Basin are black because of pyrite content.

CLASSIFICATION AND SUBDIVISIONS OF THE RICHMOND GROUP LACUSTRINE CYCLES

The types of cyclic stratification found in sedimentary rocks are varied, from annual varves to the large scale megacycles or cyclothsems. Cyclic patterns have been classified in many ways. Anderson (1964) used first, second, third, fourth, and fifth order beginning with varves. Wetzel (1982) used micro-scale, meso-scale, macro-scale, and mega-scale cyclic variations. Goodwin and Anderson (1985) used punctuated aggradational cycles and sequences. The Richmond Group lacustrine cycles are here classified as meso-scale cycles using the classification system of wetzel (1982). Meso-scale cyclic variations are thought to be controlled by cyclic climatic variations, that also affect sea level changes and variation in supply of oxygen and organic matter. Such cycles have durations of thousands to about one million years and are commonly observed in

carbonaceous shales (Einsele, 1982; Wetzel, 1982).

Each Richmond Group meso-cycle is found to be composed of two segments: a lower Unit A and an upper Unit B (Fig. 4). In general, Unit A is thicker than Unit B. These units may be equivalent to one punctuated aggradational cycle of Goodwin and Anderson (1985), or to one detrital or chemical short cycle of Van Houten (1964) and Olsen (1984b). A unit consists of two different lithofacies: Facies 1 is dark-colored, carbonaceous, slightly sandy shale, and Facies 2 is mostly light-colored sandstone, with mudstone and shale interbeds. Facies 2 is further subdivided into four subfacies: Subfacies A is a shale or mudstone, Subfacies B, alternation of siltstone-sandstone and mudstone-shale; Subfacies C, a well-indurated mudstone; and Subfacies D, a shaly sandstone or siltstone. However, in some cases it is difficult to differentiate facies because of their transitional boundaries in the Facies 2 of the Unit B. A meso-scale cycle may then be thought of as a lake going unoxic twice (Robbins, 1986, pers. comm.).

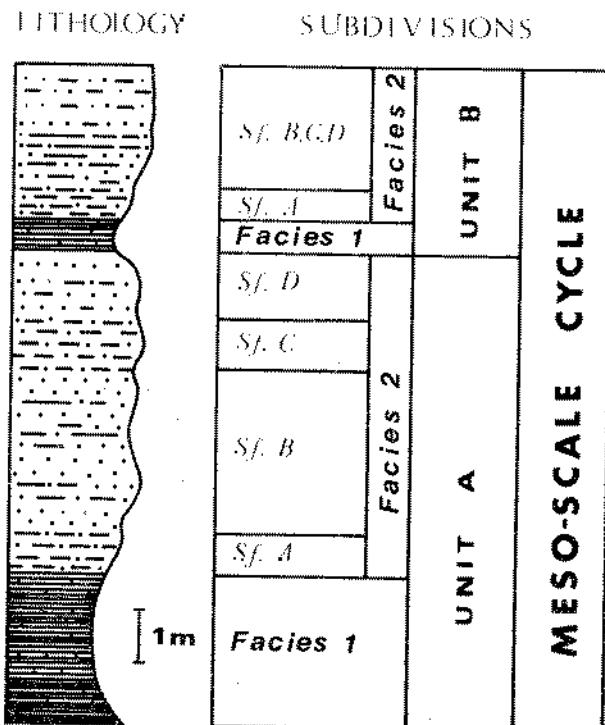


Figure 4 : Lithologic subdivisions of a complete idealized Richmond Group meso-scale cycle.

THICKNESS ANALYSIS OF THE CYCLIC STRATA

The strata in the VAPW-2 well can be divided on the basis of repetitive lithologic units into eleven different cycles (Fig. 5). The Triassic part of VAPW-2 well contains 146.5 m of alternating sandstone and shale. Each cycle, except the first one, begins with a relatively thick, mostly dark gray-black, fissile carbonaceous clay-shale. This is overlain by an alternation of siltstone-sandstone and shale-mudstone layers. In most cycles, except 1 and 4, there is a well-indurated, usually massive, not very thick, slightly calcareous mudstone (Subfacies C) especially in Facies 2 of the lower Unit A.

The thickness of a cycle is essentially a function of episodic and gradual base-level fluctuations, but the initial topography, sedimentation rate, and compaction can have significant affects (Goodwin and Anderson, 1985). The thickness of cycles is used as a measure of relative water depth, sedimentation rate, and to a lesser extent, of compaction rate. However, cycle thicknesses are extremely difficult to interpret, because cyclic stratification may be obliterated or obscured by primary and secondary phenomena. Slow subsidence and oxygenation of the bottom sediments allow obliteration of the cycles by bioturbation, high sediment input will make cycles unrecognizable, and aperiodic events (storm, earthquake, etc.) affect the preservation of cycles (Einsele, 1982). The erosion of some of the cycles and base level changes may also be significant if sedimentation rates are slow. A number of secondary processes such as differential compaction during diagenesis and tectonism also affect the preservation. Shinn and Robbin (1983) showed that compaction during diagenesis may reduce the initial thickness by 50% for some lithologies and 90% for others.

In the analysis of cycle thickness against depth (Fig. 5), I use the midpoints of each cycle to represent that particular cycle. The thicknesses of all cycles vary from 6.6 m to 27.6 m. If cycles 1 and 8 are excluded, the cycles range between 8.7 - 18.3 m with a mean of 13 ± 2.8 m. The first and last cycles (1 and 11)

are definitely not complete cycles, because the lowermost and the uppermost parts of the cyclic strata are missing in the core samples. Cycle 8 is the thickest cycle, consisting of up to 60 cm thick sandstone and shale layers. It is difficult to propose a cause for such an unusually thick cycle other than a misinterpretation by the author. Post-depositional thickening of strata is possible by repetition through reverse faulting. Since such faults are extremely common in the Vinita Beds Member, cycle 8 may be thickened tectonically after deposition. The incomplete and faulted cycles are excluded in the thickness analysis of the cycles.

There is a weak trend of decreasing cycle thickness with increasing core depth. The lowermost complete cycle is 8.7 m thick and the uppermost complete cycle is 12.5 m thick. A linear regression line can be drawn following this trend. This line is defined by the formula: Thickness (t) = $16.6 - 0.03 \text{ Depth (d)}$. The reason why the older cycles are thinner than the younger cycles may be explained by the increase of geostatic pressure with increase in depth. However, the change of thickness may not be related to depth and it may occur by chance. It should also be noted that by connecting the dots along the midpoints of a cycle creates a sinuous pattern with a periodic increase and decrease in the thicknesses. The reason for such a periodic pattern is not known yet.

VARIATIONS IN VARIOUS PARAMETERS AND THEIR PALEOENVIRONMENTAL IMPLICATIONS

The eleven meso-scale cycles interpreted from the well VAPW-2 were studied in detail. Sedimentological analyses includes rock color and grain size variations; microscopic analyses included the amount and type of the dispersed organic matter, and percentage of generalized palynomorphs (Fig. 6).

The lowermost facies (Facies 1) is represented by a medium-dark gray sandy shale layer at the base of each cycle. This facies is overlain by alternating sandstone and shale, then dark gray shale and mudstone (Subfacies A, B, and C of Facies 2), and topped by a sandstone

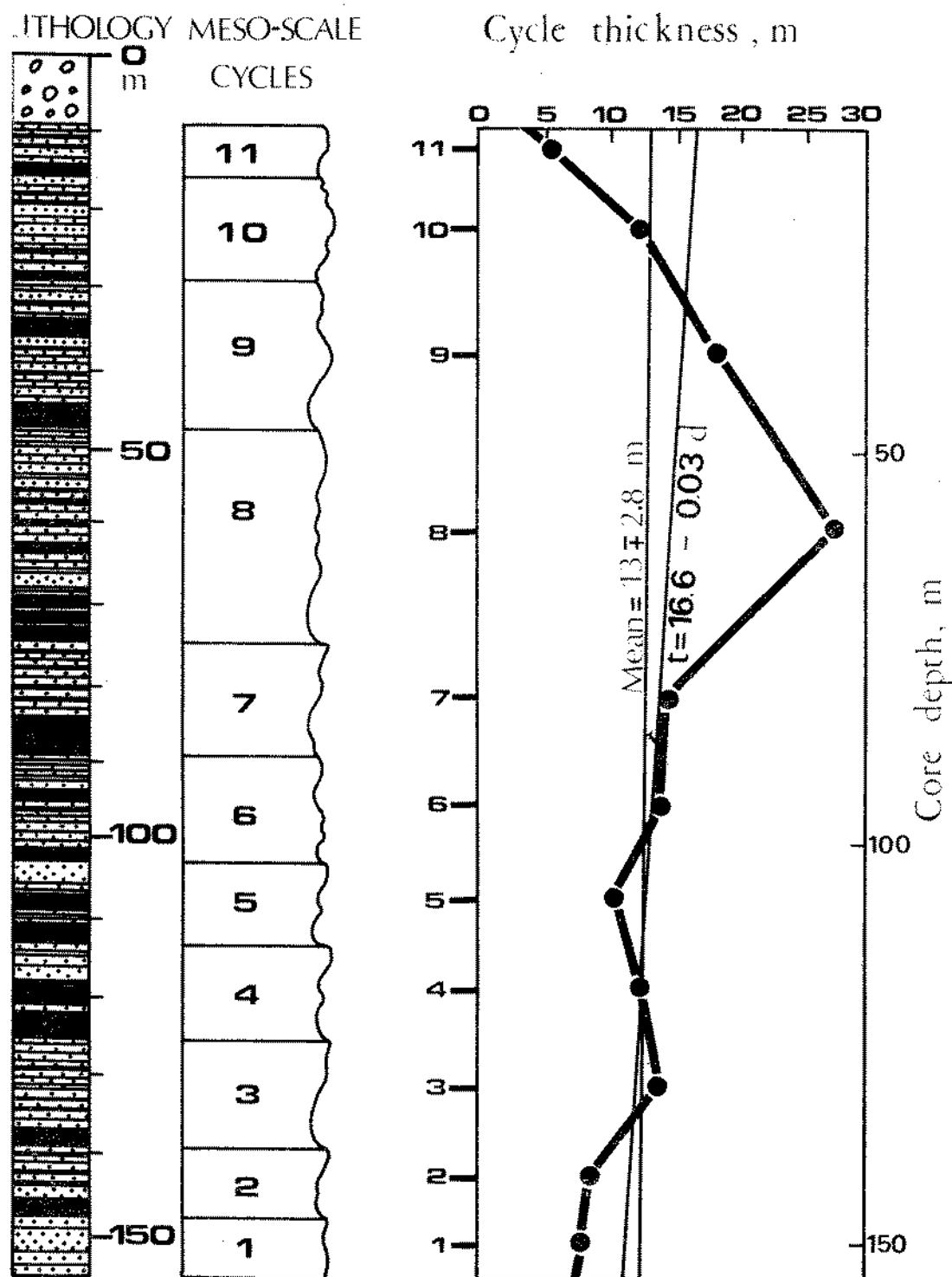


Figure 5 : Thickness analysis of eleven meso-scale cycles in the VAPW-2 well. The linear best-fit line ($t = 16.6 - 0.03 d$) is drawn by hand following the general trend of decreasing cycle thickness with core depth.

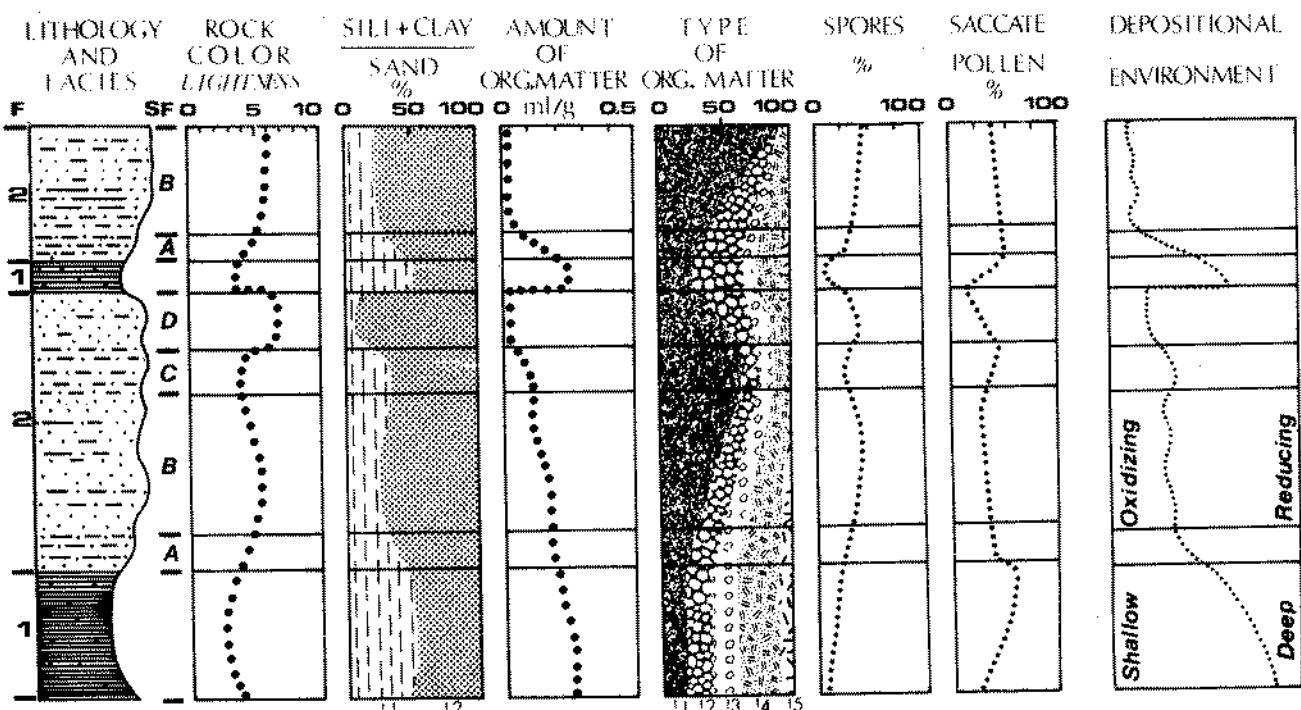


Figure 6 : Depositional environment interpreted from variations of various sedimentological and paleopalynological parameters in lithological facies of an idealized Richmond Group meso-scale cycle (F : Facies, SF : Subfacies)

(Subfacies D of Facies 2). The rock color and silt + clay content diagrams of these cycles show a positive correlation. In general, the coarser the grain size, the lighter the rock color. This correlation may be attributed to the fact that fine-grained sedimentary rocks contain larger amounts of organic matter, because they have a similar settling velocity to fine-grained clastic particles.

Color of sedimentary rocks often is affected by diagenetic factors, and can change very easily (Potter et al., 1980). However, the Richmond Group cycles can be differentiated by cyclicity in rock color which are affected by the silt+clay/sand ratio and organic matter content. Color of sedimentary rocks is generally accepted to vary by virtue of organic carbon and Fe^{++} ion contents (cf. Potter et al., 1980; Wetzel, 1982). According to Potter et al. (1980), Fe^{++} content of the Richmond Group samples might be in the range of 0.7 - 1.0 %. Black and gray, organic-rich mudrocks of the cyclic Richmond Group

strata are best interpreted as the products of an oxygen-deficient, reducing environment.

The typical fluvial sedimentary sequences fine upward. In contrast, the cyclic strata in the well VAPW-2 coarsen upward. Such cycles are best interpreted as lacustrine deposits: they may have been formed in relatively shallow lakes. However, the absence of dessication cracks and other signs of exposure to air also shows that these sediments were deposited mostly in an aqueous environment.

The amount and type of dispersed organic matter were also studied in the Vinita Beds Member cyclic strata. The amount of organic matter is estimated as ml/g in the samples. The amount of organic matter at the base of a meso-scale cycle was found to be around 0.2 ml/g; the amount decreases to 0.01 ml/g near the top of the first unit. Organic matter content sharply increases to 0.2 - 0.3 ml/g at the boundary between two units (A and B), and decreases again upward to about 0.01 ml/g toward the top of the second unit. This general pattern of

variation of organic content against core depth is related to clay + silt contents and inversely to rock color, as might be expected. Such a relationship strongly confirms the assumption that the fine-grained sedimentary rocks contain more organic matter than the coarser-grained rocks, and the dark color is due to the organic matter content.

A similar pattern is also found in the type of organic matter in the samples. There are basically five types of dispersed organic matter in the studied samples: 1) mostly transported black, amorphous organic matter, 2) transported structured woody particles, 3) air-or water-transported spores and pollen, 4) *in situ* structured algal remains, and 5) possible algal amorphous organic matter. In shaly lithologies at the bottom of the units (Facies 1), amorphous organic matter and structured woody fragments are rare, but structured and amorphous *in situ* algal remains and spore-pollen content are high. Conversely, toward the upper part of each unit, black amorphous organic matter increases while the rest decrease. In general, high amounts of amorphous, fusinitic-type organic matter are related primarily to thermal alteration of the Vinita Beds Member through igneous intrusions. They can also be ascribed to reworking of already deposited and carbonized organic remains that tend not to break down further with weathering. The unaltered, lighter-colored nature of the other dispersed organic matter suggests that they are in place.

The pattern of variations in other sedimentologic parameters fits with the palynomorph composition of the samples. During deposition of the Vinita Beds Member in the Latest Ladinian-Early Carnian, trilete spore-producing ferns apparently dominated the eastern edge of the Richmond Basin, whereas saccate pollen-producing gymnospermous plants seem to have been mostly developed in the highlands on the western edge of the basin. The possible development of different plant communities on topographically different sides of the basin can be used efficiently for paleoenvironmental interpretations of different lithologic units in the

cycles. Since most of the modern air-borne (wind-transported) saccate pollen are found to remain in the air relatively longer than the water-transported spores, the relative percentages of spores-pollen may be used to determine the significance of rivers flowing towards the lake at various stages of the history of the basin.

In general, the spores-pollen content increases towards the top of each facies (the dark colored-fine grained lithology). The content and preservation of these can be explained by their similar settling velocities and the reducing conditions. The spores-pollen in these shales show clear-cut biological degradation, a high degree of pyritization, and high carbonization which cause dark color and brittleness. However, spores-pollen in the light-colored, coarse-grained siltstones and sandstones are oxidized in that their color is gone and they appear to be mechanically degraded during transportation. The relative abundance of the gymnospermous saccate pollen are higher in the dark shales, whereas the spores are more abundant in the coarser grained sedimentary rocks.

The pattern of variation in many of the parameters at boundaries between units indicate a rapid change in the environment at the beginning of each unit. Interpreting what this change means is difficult to estimate in lacustrine deposits. In the marine environments the rate of base level rise is estimated at about 1 m/100 years at the end of each cycle (Talbot, 1973). The sharp boundaries between the Richmond Group cyclic units do not seem to represent a nondepositional period because there is no sedimentologic or mineralogic evidence for such an exposure to atmosphere.

Based on the variation patterns of the measured and observed sedimentological and paleopalynological parameters, it may be concluded that the Richmond Group cyclic units in each meso-scale cycle were possibly formed as a result of periodic changes of the lake shore line. They may also have changed in response to overturn in bottom waters and consequent oxygenation of the bottom sediments (Robbins,

1986; pers. comm.). Although sediments deposited in shallow parts of the lake can be exposed to the atmosphere during waning periods, the lake never dried up completely. Expansion or waning of the lake could be expected to change the depth of water, as well as other chemical and sedimentological properties of the depositional environment.

Sedimentation may have been affected by two main environmental controls: 1) Relatively shallow water and oxidizing conditions, and 2) Deep water and reducing conditions. At the beginning of each unit (Facies 1) the water column was deoxygenated; the water depth may have been great and reducing conditions were dominant in most part of the lake except perhaps in the shelf areas. After some fluctuations or overturns (Subfacies A, B, and possibly C of the Facies 2), an oxidizing and possibly shallower depositional environment was formed (Subfacies D of the Facies 2). By the end of each cyclic period, major changes in the environment occurred. Although both unit A and B have similar patterns of variations, Unit A indicates more reducing and possibly deeper conditions than Unit B. This may mean that Unit B was formed during a drier climate and perhaps a shorter period of time than the Unit A.

COMPARISON WITH OTHER NEWARK SUPERGROUP CYCLES

Cycles similar to the Richmond Group cycles are well documented from the Newark Basin, particularly by Van Houten (1964), and Olsen (1984a and b). Van Houten (1964) separated the Lockatong Formation into 4.5-6 m long detrital cycles and 2.5-4 m short chemical short cycles based on the absence and presence of Na-bearing analcime. However, Olsen (1984a) argued that the basis for distinguishing the "chemical cycles" as a separate short cycle is not significant. He considered that all the Lockatong Formation cycles consisted of short detrital cycles which have an average thickness of about 5.5 m.

The Richmond Group cycles are different from the Newark Basin cycles as noted by Olsen (1984a). The major difference is that the

Richmond Group cycles in VAPW-2 well do not have the high carbonate content. The Richmond Group samples contain less than 5 % calcite in general. Therefore, chemical cycles are probably not significant in the Richmond Basin. However, the occurrence of cycle couplets together, in the form of detrital-detrital cycles in both basins is worth mentioning. A Richmond Group cycle can be considered as equivalent to one Newark Basin cycle which consists of a pair of detrital and chemical short cycles according to van Houten's, or a pair of detrital and detrital short cycles according to Olsen's interpretations. The thinner unit E of the Richmond Group cycles may have been formed under similar conditions, such as a drier climate as the Van Houten's chemical short cycles.

The thicknesses are also different: one complete Newark cycle is 6-11 m thick, but the Richmond cycle has a mean thickness of 13+2.8 m. However, since most of the short cycles laterally intertongue with other short cycles and are not complete, the thickness analysis should be based on the thicknesses of complete cycles, and not on the individual short cycles. On average, the Richmond cycles are about 30 % thicker than the Newark cycles. The difference in thicknesses may be attributable to differential compaction, subsidence, change in sedimentation rates, or different interpretation by different authors. Another difference is that the Newark cycles usually contain extremely few or no spores-pollen. This was related to a "flotant" that prevented spores-pollen from reaching the bottom of the basin (Van Houten, 1964). However, evidence for such an extensive flotant was not given, and it is difficult to explain the formation of a flotant especially during oxidizing periods. The abundance of burrows, bioturbated beds, coprolites, and fecal pellets suggest that the Newark cycles were formed in a shallower, more oxidizing, perhaps more alkaline, and relatively more open environment than the Richmond cycles. The Lockatong short cycles have characteristics that may be interpreted in terms of water depth (Van Houten, 1962, 1969; Olsen, 1980). The causes of lake level changes were ascribed to changes in amounts of precipitation in closed basins (Van

Houten, 1962, 1964, 1965, 1969, 1980). Therefore, the variations in various sedimentological characteristics in the Newark Basin are attributable to the waning and expansion of lakes caused by alternating wetter and drier phases of the intermediate and long term climatic changes. It should also be noted that the age of the Lockatong Formation is younger. Such an explanation fits the Richmond Basin cycles also.

CAUSE OF CYCLES AND THEIR PERIOD

The meso-scale cycles are interpreted to have been formed by cyclic sedimentation although some amount of "dyscyclic" or non-cyclic sedimentation such as discontinuous rapid input of organic matter also may have been involved (Wetzel, 1982). The cause of the meso-cycles is allogenic, but the smaller-scale cycles are thought to have been formed by the internal energy gradient (autogenic) of the depositional environment itself, such as gradual lateral environmental migration, sediment transportation, periodic faulting, volcanism etc. (Beerbower, 1964; Einsele, 1982). However, Goodwin and Anderson (1985) argue that most, if not all, aggradational cycles accumulate episodically in response to an allogenic mechanism.

According to the Milankovitch theory, long term changes in climate at any given latitude are due to a climatic response to external forcing by changes in the pattern of solar radiation controlled by eccentricity, obliquity, and recession of the Earth's orbit (e.g. Berger, 1977; Imbrie and Imbrie, 1980; Imbrie, 1982; Read et al., 1984). The climatic effect is caused in part by a change in the Earth's orbit, and in part by the system's response to that change (Imbrie, 1982). However, a number of factors other than orbital geometry influence this pattern (Hays et al., 1976), and the causes of the resultant climatic changes are extremely complicated. These global events changed the distribution of climatic belts and sea level on the earth's surface, and such changes also may affect sedimentation conditions in different depositional environments.

Meso-scale short cycles or similar cycles are believed to last in the order of 10,000 - 30,000 years (Anderson, 1964) or 21,000 years (Van Houten, 1964). If such cycles are formed by some astronomical mechanism, and if the climatic response is linear, then three main periods which cyclic forces would operate would be 19,000 and 23,000 years from the influence of precession, 41,000 - 42,000 years from the influence of obliquity, and 100,000 and 413,000 years from the modulation of precession by eccentricity (Hays et al., 1976; Berger, 1977; Imbrie, 1982). These time periods are also supported by the geologic data of Einsele (1982), House (1985), and Goodwin and Anderson (1985). Van Houten (1964) and Olsen (1984a), assumed in the Newark Basin that the smallest cyclic couplets which are composed of a lamina of low carbonate-high carbon mudstone and a lamina of high carbonate-low carbon mudstone are annual, and used the thickness of the varves to estimate the total time duration of each cycle. They interpreted that the short cycles had a period of about 21,000 years, the 25 m cycles a period of 100,000 years, and the 100 m cycles a period of 500,000 years. These values were derived from the sedimentation rates which were interpreted as about 0.24 mm/year in the deep part, and 0.15 mm/year in the shallow part of the Newark Basin (Olsen, 1984a). Olsen also estimated a sedimentation rate for the Richmond Basin as 0.3 mm/year based on the varve thickness measurements.

The Richmond Group varves are not always continuous laterally: the thicknesses of the varve couplets vary considerably between 0.2 - 0.8 mm based on the thin section measurements in my samples. Sadler (1981) showed that short-term sedimentation rates in most depositional environments are rapid and greatly variable with respect to environment as opposed to long-term rates. One major reason for this variability may be that cyclic stratification is commonly obliterated or obscured by later processes. The calculations for sedimentation rates should be considered with caution because numerous assumptions are made in these calculations including constant rates of subsidence, of sedimentation, and of compaction.

These rates are uneven in modern rift basins (Robbins, 1982, 1985) and probably also were in the past (Ediger, 1987). Such analyses may best be used in sequences which have been deposited on stable and sufficiently deep platforms or in basins of moderate depth where sedimentation rates vary on the order of 0.5 - 2 cm/1,000 years (Einsele, 1982; House, 1985).

However, a sedimentation rate around 0.3 mm/year was possible for the Vinita Beds Member lacustrine deposits in most of the basin other than the deepest parts. If sedimentation, subsidence and compaction rates were uniform throughout the basin, and the strata were not thickened by faulting, the sedimentation period of a 13 m thick average lacustrine cycle would be about 43,333 years. This period is consistent with the cyclic variations in the obliquity of the earth's orbit. The thickness of the Vinita Beds Member is about 700 m in the Horner-1 and Bailey-1 wells (Cornet, 1984; unpublished data; Ediger et al., in prep.). If an average lacustrine cycle is 13 m thick and there were no erosional nor nondepositional periods, there then should be about 54 such cycles in 700 m thick Vinita Beds Member. The Vinita Beds Member especially in the deepest part of the basin would be deposited in about 2.3 million years. This figure is within the time period estimated for the formation of the Vinita Beds Member by the paleopalynological biostratigraphic studies (Ediger, 1986). In that study, the Vinita Beds Member was interpreted to have been deposited during Latest Ladinian-Early Carnian time which lasted about 3 million years. However, in the deepest part of the basin the sedimentation rate had to have expected to increase at least three times to about 0.9 mm/years to fit the obliquity cycle.

Olsen (1984a and b) applied Fourier analysis on the depth rank orders of cyclic strata in the Newark Basin and found that in the Lockatong cycles, 23,500, 133,000, and to a lesser extent 44,000 years are the most important cyclic periods. The insignificance of 44,000 year-cycles in the Newark Basin was explained by the latitude dependent nature of the insolation

on cycles by Olsen (1984a). According to Berger (1978), around 15°N latitude, solar insolation changes should reflect large magnitude effects of the cycles of precession and eccentricity but small magnitude effect due to obliquity. However, these arguments are not sufficient to exclude the hypothesis that obliquity cycles might be significant in the Triassic Newark Supergroup, considering they are more important than the precession cycles in the Pleistocene deposits as shown by Evans and Freeland (1976) and Ward (1981). It is known that the Earth's obliquity oscillates very little (around 2°, Ward, 1974), but Hays et al. (1976), Evans and Freeland (1976) and Ward (1982) showed that even these small variations could produce important modifications in the Earth's climate. In the long-term, these small changes could create large oscillations of the obliquity and cause severe climatic alterations (Ward, 1981).

It is extremely difficult to relate the cause of the Richmond Group meso-scale cycles to variations in the Earth's orbit. One of the major problems is that the non-linear orbital cycles are superimposed on each other thus producing a very complicated pattern (Hays et al., 1976; Goodwin and Anderson, 1985). Such a pattern is further complicated by non-linear tectonic subsidence and sedimentation rates. However, thickness analysis of the cycles, biostratigraphy, and especially the association of two short cycles, one of which may have been formed in drier climate than the other one support the importance of "obliquity" rather than "precession" cycles in the Newark Supergroup. It is also strongly believed that periodic and episodic tectonic subsidence along the border faults played an important role in the formation of the cyclic units in these strata, although Hays and Pittman (1973) argued for an episodic nature of tectonic subsidence. The interpretation that the short cycles are not "precession" cycles but two units of one "obliquity" cycle seems to be more likely according to the evidences we have at the present time.

CONCLUSIONS

As with the other Newark Supergroup units, the Richmond Group consists of thick lacustrine cyclic stratification, and these cycles have potential use in chronostratigraphy. Various sedimentological and palynological parameters can be used to separate the cycles and to analyze paleoenvironments. The cycles formed by periodic variations in the obliquity of the earth's orbit at about every 42,000 years may be more important than the "precession" cycles formed every about 21,000 years at least in the older Newark Supergroup units. Paleopalynological biostratigraphy and studies on the dispersed organic matter can efficiently be used in the study of cycles in the Newark Supergroup, as well as in other basins.

ACKNOWLEDGEMENTS

This paper is partly taken from the author's Ph. D. Dissertation in the Department of Geosciences, The Pennsylvania State University. The author would like to thank Mr. Martin B. Farley, Dr. Elenora I. Robbins, and Dr. Alfred Traverse for critically reviewing and editing different versions of this manuscript. Dr. Bruce Cornet, Dr. Paul E. Olsen, and Mrs. Elizabeth I. Traverse contributed this paper in various ways. This study was made possible in part by the support of NSF Grant No EAR-8204410 to Alfred Traverse.

REFERENCES

- Anderson, R.Y., 1964. Varve calibration of stratification. Kansas Geological Survey of Bulletin 1969: 1-20.
- Beebower, J.R., 1964. Cyclothsems and cyclic depositional mechanism in alluvial plain sedimentation, in Merriam, D.F. (Ed.), Symposium on cyclic sedimentation, Volume 1. Kansas Geol. Survey Bull. 169: 31-42.
- Berger, A., 1977. Support for the astronomical theory of climatic change. Nature 296: 44-45.
- Berger, A.L., 1978. Long-term variations of caloric insolation resulting from the Earth's orbital elements. Quat. Research 9: 139-167.
- Carpentier, R.R. and Schmoker, J.W., 1982. Volume of organic-rich Devonian shale in the Appalachian Basin: relating "block" to organic matter content. A.A.P.G. Bulletin 66(4) : 375-378.
- Ediger, V.S., 1986. Paleopalynological biostratigraphy, organic matter deposition, and basin analyses of the Triassic Richmond Rift Basin, VA. The Pennsylvania State University, PhD Dissertation: 1-548.
- Ediger, V.S., 1987. The geological evolution of rift basins and their hydrocarbon potential. Proc. 7 th Biannual Petroleum Congress of Turkey, Geology, April 6-10, 1987, Ankara: 1-10 (In Turkish with English abstract).
- Ediger, V.S., Cornet, B., Goodwin, B.K., and Ziegler, D.G., and Traverse, A., In prep. Revision of the stratigraphic classification of the Richmond Rift Basin Triassic deposits, and a summary of the geology of the area.
- Einsele, G., 1982. General remarks about the nature, occurrence, and recognition of cyclic sequences (periodites): p. 3-8. In: Einsele, G. and Seilacher, A. (Eds.), Cyclic stratification, Springer-Verlag, Berlin, 1-536.
- Engelhardt, D. von. 1932. Die Beurteilung des Kukkerseit nach seinem Spezifischen Gewicht. Brennstoff-Chemie 13 : 10-11.
- Evans, D.L., and Freeland, H.J., 1977. Variations in the Earth's orbit: Pacemaker of the ice age?. Science 198: 528-529.
- Goodwin, P.N. and Anderson, E.J., 1985. Punctuated aggradational cyclicity: A general hypothesis of Geology 93(5) : 515-533.
- Hays, J.D. and Pitmann, W.C., III. 1973. Lithospheric plate motion, sea-level changes, and climatic and ecological consequences. Nature 246 : 18-22.
- Hays, J. D., Imbrie, J., and Shackleton, N.J., 1976. Variations in the Earth's orbit: Pacemaker of the Ice Age. Science 194 : 121-131.
- Hosterman, J.W. and Whitlow, S.I., 1981. Munsell color value as related to organic carbon in Devonian shales of Appalachian basin. A.A.P.G. Bulletin 65 (2) : 333-335.
- House, M.R., 1985. A new approach to an absolute timescale from measurements of orbital cycles and sedimentary microrhythms. Nature 315 : 721-725.
- Imbrie, J. and Imbrie, J.Z., 1980. Modelling the climatic response to orbital variations. Science 207: 943-953.
- Imbrie, J. 1982. Astronomical theory of the Pleistocene ice ages: A brief historical review. Icarus 50: 408-422.

- Olsen, P.E., 1978. On the use of the term Newark for Triassic and Jurassic rocks of eastern North America. *Newsletter on Stratigraphy* 7 : 90-95.
- Olsen, P.E., 1980. Fossil great lakes of the Newark Supergroup in New Jersey. In: Manspeizer, W. (ed.), *Field studies in New Jersey geology and guide to field trips, 52nd Ann. Mtg. New York State Geol. Assoc. Newark College of Arts and Sciences, Newark. Rutgers University*: 352-398.
- Olsen, P.E., 1982. Lockatong Formation detrital cycles (Late Triassic, Newark Basin, N.J. and Pa.), giant lakes, and ecosystem efficiency. *Geol. Soc. Amer., Abstracts with Program* 14 (1-2) : 70.
- Olsen, P.E., 1984a. Comparative paleolimnology of the Newark Supergroup: A study of ecosystem evolution. PhD Dissertation, Yale University: 1-726.
- Olsen, P.E., 1984b. Periodicity of Lake-level cycles in the Late Triassic Lockatong Formation of the Newark Supergroup, New Jersey and Pennsylvania. In: Berger, A. et al. (Eds.), *Milankovitch and Climate. NATO Symposium*, Dordrecht, Part I, 129-146.
- Olsen, P.E., Remington, C.L., Cornet, B., and Thomson, K.S., 1978. Cyclic changes in Late Triassic lacustrine communities. *Science* 201: 729-733.
- Potter, P.E., Maynard, J.E., Pryor, W.A., 1980. *Sedimentology of shales*. Springer-Verlag, New York: 1-306.
- Reilly, J.M., 1980. A geologic and potential field investigation of the central Virginia piedmont. Virginia Polytechnic Institute and State University, 1-111.
- Robbins, E.I., 1982, "Fossil lake Danville": The paleoecology of a Late Triassic ecosystem on the North Carolina - Virginia border. University Park, The Pennsylvania State University, Unpublished Ph. D. dissertation, 1-400.
- Robbins, E.I., 1985. Accumulation of fossil and metallic minerals in active rift lakes. *Tectonophysics*, 94: 633-658.
- The Rock-color chart Committee (Goddard, E.N. et al., eds.), *Rock-color charts*. Geol. Soc. Amer. Publication.
- Sadler, P.M., 1981. Sediment accumulation rates and the completeness of stratigraphic sections. *J. Geology*, 89 : 569-584.
- Schmoker, J.M., 1980. Organic content of Devonian shale in Western Appalachian Basin. *A.A.P.G. Bull.* 64 (12) : 2156-2165.
- Schwarzacher, W., 1975. Sedimentation models and quantitative stratigraphy. *Developments in Sedimentology*, Elsevier, Amsterdam 19 : 1-382.
- Seilacher, A., 1982. General remarks about event deposits, p. 161-174 In: Einsele, G. and Seilacher, A. (Eds.) *Cyclic and event stratification*. Springer-Verlag, Berlin 1-536.
- Shinn, E.A., and Robbin, D.M., 1983. Mechanical and chemical compaction in fine-grained shallow-water limestones. *Journal of Sed. Petrol.* 53 : 595-618.
- Talbot, M.R., 1973. Major sedimentary cycles in the Carolian beds (Oxfordian) of southern England. *Palaeogeog. Palaeoecol.* 14 : 293-317.
- Thayer, P.A., Kirstein, D.S., Ingram, R.L., 1970. *Stratigraphy, sedimentology and economic geology of Dan River Basin, North Carolina*. Carolina Geol. Soc. Field Trip Guide Book. Raleigh: 1-44.
- Van Houten, F.B., 1962. Cyclic sedimentation and origin of analcime-rich Upper Triassic Lockatong Formation, west central New Jersey and adjacent Pennsylvania. *Amer. J. Sci.* 260 : 561-576.
- Van Houten, F.B., 1964. Cyclic lacustrine sedimentation. Upper Triassic Lockatong Formation, central New Jersey and adjacent Pennsylvania. *Kansas Geol. Surv. Bull.* 169: 497-531.
- Van Houten, F.B., 1965. Composition of Triassic Lockatong and associated Formations of the Newark Group, central New Jersey and adjacent Pennsylvania. *Amer. J. Sci.* 264: 825-863.
- Van Houten, F.B., 1969. Late Triassic Newark Group, north central New Jersey and adjacent Pennsylvanian and New York. In: Subitsky, S.S. (ed.), *Geology of selected areas in New Jersey and adjacent Pennsylvania and Guidebook*. New Brunswick. Rutgers Univ Press. 314-347.
- Ward, W.R., 1974. Climatic variations on Mars. 1. Astronomical theory of insolation. *J. Geophys. Res.* 79 : 3375-3386.
- Ward, W.R., 1982. Comments on the long-term stability of the Earth's obliquity. *Icarus* 50: 444-448.
- Wetzel, A., 1982. Cyclic and dyscyclic black shale formation: p. 431-455 In: Einsele, G. and Seilacher, A. (eds.), *Cyclic and event stratification*. Springer-Verlag, Berlin, 1-536.

Amanos Dağları ve Maraş Dolaylarında Miyosen Havzalarının Tektonik Evrimi

Tectonic Evolution of the Miocene Basins at the
Amanos Mountains and the Maraş Region
YÜCEL YILMAZ*, OKAY GÜRPINAR ve ERDİNÇ YİĞİTBAS*****

ÖZ

Miyosen dönemi, Güneydoğu Anadolu'nun jeolojik evriminin anlaşılmamasında kritik bir dönemdir. Çünkü Miyosen başında bölgede Güneydoğu Anadolu orojeni gelişimini sürdürürken Orta Miyosende İskenderun, Maraş v.b. alanlarda "Miyosen havzaları" olarak anılan yörelerde yeni bir çökelme dönemi başlamıştır. Orta Miyosen'de açıldığı varsayılan havzalarda çökelen istifler de ashında orojenezin son dönemlerinde ve aynı progresif tektonik rejim içinde gelişmiştir. Ancak orojeni oluşturan progresif deformasyonun bölgedeki etkileri zaman içinde farklı niteliklere dönüştüğünden, bu şartlar altında yöreden yöreye değişen farklı istiflerin gelişmesine neden olmuştur. Ortaya Miyosen'den başlayarak gelişen ve özellikle orojenik kuşak içinde yer alan Miyosen istiflerinde çökelmeyi büyük ölçüde yanal atımlı fay sistemleri denetlemiştir. Amanos dağları ve dolaylarında gelişen Orta Miyosen istifleri, bu bakımından bir yeni çanak açılmasının ürünü değildir. Aksine bölgede önceden beri varolan denizel ortamın orojenik kuşakta sıkışma sistemi sonucu yükselen alanı terkedip, daha sonra yanal atımlı fayların neden olduğu gerilmeli rejimin bölgede oluşturduğu çukur alanlara denizin yeniden ilerlemesinin bir ürünüdür.

ABSTRACT

The Miocene is a critical period in the geological history of the Southeastern Anatolia, because while the orogenic activity was progressing, a new phase of sedimentation was started in İskenderun, Maraş and Andırın regions.

The sediments which were deposited in the basins that were assumed to have opened in the Middle Miocene were in fact developed during the latest stages of the orogenic activity. Therefore they are genetically related to the progressive tectonic regime of the orogen.

As the crustal convergence progressed, different but coeval sedimentary sequences were formed due to different nature of the deformational effects along the orogenic system.

The Middle-Late Miocene sedimentations were mainly controlled by a newly-formed set of lateral fault system. The Middle Miocene sequences in the Amanos mountains and within the orogenic zone were not the products of new basin opening but the marine readvance into the orogenic belt due possibly to the release created as a result of formation of the lateral fault system.

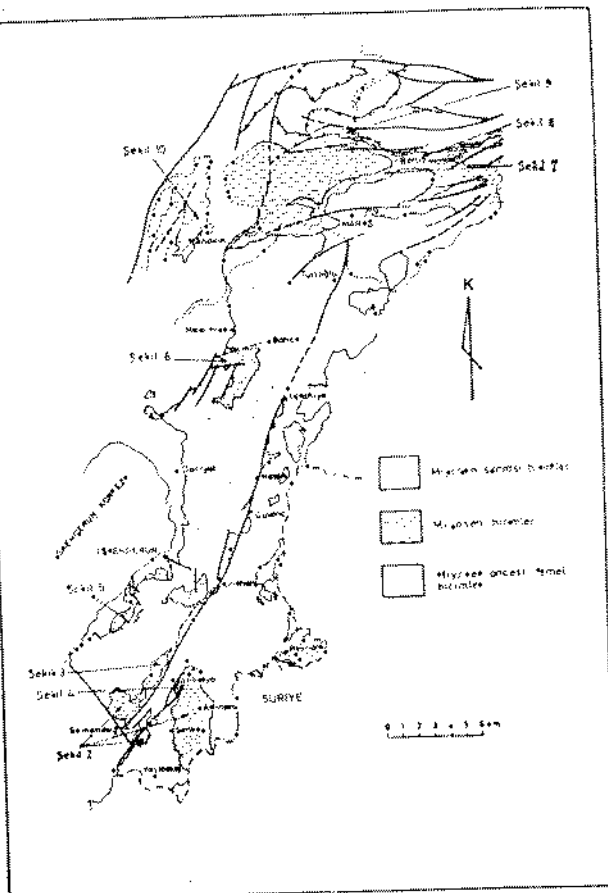
GİRİŞ

Maraş-Andırın-İskederun-Antakya ve dolaylarında yaygın Miyosen istifleri yer almaktadır (Şekil 1). Özellikle İskederun, Maraş ve Misis-Andırın dağları dolayında görülen Miy-

(*) Yücel YILMAZ : İ.T.U. Maden Fak. Jeoloji Müh. Bölümü

(**) Okay GÜRPINAR, İ.U. Müh. Fak. Jeoloji Müh. Bölümü

(***) Erdinç YİĞİTBAS : İ.U. Müh. Fak. Jeoloji Müh. Bölümü



Sekil 1 : Amanos dağları ve Maraş dolaylarında Miyosen birimlerinin dağılımını gösterir jeoloji haritası.

Figure 1 : The geological map showing the distribution of the Miocene units at the Amanos mountains and the Maraş region.

sen istifleri, bu yörelerin adıyla anılan birtakım havzalarda (örneğin İskenderun Miyosen çanağı, Maraş Miyosen havzası v.b.) gökelişmiş istifler olarak bilinmekte veya değerlendirilmektedir. Bu makalenin yazarları önce Amanos dağları, daha sonra da Maraş ve kuzeyindeki Güneydoğu Anadolu orojenik kuşağında yıllar süren jeoloji çalışmaları ve haritalamalar yapmıştır. Bu araştırmalar her ne kadar bu bölgelerin temel kayaları ile temel jeolojik soruların hedef almışsa da sorunun çözümünde bölgenin tabandan tavana bir bütün balinde ele alınıp incelenmesi gerektiğinden Miyosen gökelistiflerinin de bu çalışmalar sırasında dikkate alınması kaçınılmaz olmuştur. Bu çalışmaların ortaya koyduğu veriler ve bulgulara göre bölgenin jeolojik evriminde birbirini denetleyen ve

birbirlerini sebep-sonuç ilişkisi içinde bütünlüken birtakım jeolojik olaylar vardır.

Miyosen dönemi de bu bölgeler için bir bütününlüğünü gelişimi içinde, daha önceki olaylardan bağımsız ve bağıntısız olmayan bir ara dönemi temsil etmektedir. O halde Miyosen döneminde jeolojik olayların ortaya konulabilmesi için bu sürede sınırlı bir alanın tek başına incelenmesi yeterli olmayacağıdır. Örneğin Maraş dolayındaki Miyosen gökelistiflerinin ayrıntılı sedimentolojik araştırılması birtakım önemli ipuçları verebilse de jeolojik evrimin anlaşılımsında tek başına yetersiz kalacaktır. Bu nedenle çevre alanlarının zaman içindeki evrimlerini ve bu bölgeye olan etkilerini dikkate alan bir yaklaşım yapılması gereklidir.

Bu tanıtımınlığında bu yazıda sözü edilen bölgelerdeki Miyosen gökelistiflerinin evrimi, incelenen geniş alanın tektonik evrimi içinde ele alınarak irdelenecektir. Böylece, farklı bir bakış

SÜCERŞİT				
İNSAS	PLİYOSEN	ORTA MIYOSEN	Ü. MIYOSEN	FORMASYON
SAMANDAŞ	SAMANDAŞ	AKTRAKLU	AKTRAKLU	AKTRAKLU
				~ 400 m.
				100 - 200 m.
				200 - 500 m.
				500 - 1000 m.
				1000 - 1500 m.
				1500 - 2000 m.
				2000 - 2500 m.
				2500 - 3000 m.
				3000 - 3500 m.
				3500 - 4000 m.
				4000 - 4500 m.
				4500 - 5000 m.
				5000 - 5500 m.
				5500 - 6000 m.
				6000 - 6500 m.
				6500 - 7000 m.
				7000 - 7500 m.
				7500 - 8000 m.
				8000 - 8500 m.
				8500 - 9000 m.
				9000 - 9500 m.
				9500 - 10000 m.
				10000 - 10500 m.
				10500 - 11000 m.
				11000 - 11500 m.
				11500 - 12000 m.
				12000 - 12500 m.
				12500 - 13000 m.
				13000 - 13500 m.
				13500 - 14000 m.
				14000 - 14500 m.
				14500 - 15000 m.
				15000 - 15500 m.
				15500 - 16000 m.
				16000 - 16500 m.
				16500 - 17000 m.
				17000 - 17500 m.
				17500 - 18000 m.
				18000 - 18500 m.
				18500 - 19000 m.
				19000 - 19500 m.
				19500 - 20000 m.
				20000 - 20500 m.
				20500 - 21000 m.
				21000 - 21500 m.
				21500 - 22000 m.
				22000 - 22500 m.
				22500 - 23000 m.
				23000 - 23500 m.
				23500 - 24000 m.
				24000 - 24500 m.
				24500 - 25000 m.
				25000 - 25500 m.
				25500 - 26000 m.
				26000 - 26500 m.
				26500 - 27000 m.
				27000 - 27500 m.
				27500 - 28000 m.
				28000 - 28500 m.
				28500 - 29000 m.
				29000 - 29500 m.
				29500 - 30000 m.
				30000 - 30500 m.
				30500 - 31000 m.
				31000 - 31500 m.
				31500 - 32000 m.
				32000 - 32500 m.
				32500 - 33000 m.
				33000 - 33500 m.
				33500 - 34000 m.
				34000 - 34500 m.
				34500 - 35000 m.
				35000 - 35500 m.
				35500 - 36000 m.
				36000 - 36500 m.
				36500 - 37000 m.
				37000 - 37500 m.
				37500 - 38000 m.
				38000 - 38500 m.
				38500 - 39000 m.
				39000 - 39500 m.
				39500 - 40000 m.
				40000 - 40500 m.
				40500 - 41000 m.
				41000 - 41500 m.
				41500 - 42000 m.
				42000 - 42500 m.
				42500 - 43000 m.
				43000 - 43500 m.
				43500 - 44000 m.
				44000 - 44500 m.
				44500 - 45000 m.
				45000 - 45500 m.
				45500 - 46000 m.
				46000 - 46500 m.
				46500 - 47000 m.
				47000 - 47500 m.
				47500 - 48000 m.
				48000 - 48500 m.
				48500 - 49000 m.
				49000 - 49500 m.
				49500 - 50000 m.
				50000 - 50500 m.
				50500 - 51000 m.
				51000 - 51500 m.
				51500 - 52000 m.
				52000 - 52500 m.
				52500 - 53000 m.
				53000 - 53500 m.
				53500 - 54000 m.
				54000 - 54500 m.
				54500 - 55000 m.
				55000 - 55500 m.
				55500 - 56000 m.
				56000 - 56500 m.
				56500 - 57000 m.
				57000 - 57500 m.
				57500 - 58000 m.
				58000 - 58500 m.
				58500 - 59000 m.
				59000 - 59500 m.
				59500 - 60000 m.
				60000 - 60500 m.
				60500 - 61000 m.
				61000 - 61500 m.
				61500 - 62000 m.
				62000 - 62500 m.
				62500 - 63000 m.
				63000 - 63500 m.
				63500 - 64000 m.
				64000 - 64500 m.
				64500 - 65000 m.
				65000 - 65500 m.
				65500 - 66000 m.
				66000 - 66500 m.
				66500 - 67000 m.
				67000 - 67500 m.
				67500 - 68000 m.
				68000 - 68500 m.
				68500 - 69000 m.
				69000 - 69500 m.
				69500 - 70000 m.
				70000 - 70500 m.
				70500 - 71000 m.
				71000 - 71500 m.
				71500 - 72000 m.
				72000 - 72500 m.
				72500 - 73000 m.
				73000 - 73500 m.
				73500 - 74000 m.
				74000 - 74500 m.
				74500 - 75000 m.
				75000 - 75500 m.
				75500 - 76000 m.
				76000 - 76500 m.
				76500 - 77000 m.
				77000 - 77500 m.
				77500 - 78000 m.
				78000 - 78500 m.
				78500 - 79000 m.
				79000 - 79500 m.
				79500 - 80000 m.
				80000 - 80500 m.
				80500 - 81000 m.
				81000 - 81500 m.
				81500 - 82000 m.
				82000 - 82500 m.
				82500 - 83000 m.
				83000 - 83500 m.
				83500 - 84000 m.
				84000 - 84500 m.
				84500 - 85000 m.
				85000 - 85500 m.
				85500 - 86000 m.
				86000 - 86500 m.
				86500 - 87000 m.
				87000 - 87500 m.
				87500 - 88000 m.
				88000 - 88500 m.
				88500 - 89000 m.
				89000 - 89500 m.
				89500 - 90000 m.
				90000 - 90500 m.
				90500 - 91000 m.
				91000 - 91500 m.
				91500 - 92000 m.
				92000 - 92500 m.
				92500 - 93000 m.
				93000 - 93500 m.
				93500 - 94000 m.
				94000 - 94500 m.
				94500 - 95000 m.
				95000 - 95500 m.
				95500 - 96000 m.
				96000 - 96500 m.
				96500 - 97000 m.
				97000 - 97500 m.
				97500 - 98000 m.
				98000 - 98500 m.
				98500 - 99000 m.
				99000 - 99500 m.
				99500 - 100000 m.
				100000 - 100500 m.
				100500 - 101000 m.
				101000 - 101500 m.
				101500 - 102000 m.
				102000 - 102500 m.
				102500 - 103000 m.
				103000 - 103500 m.
				103500 - 104000 m.
				104000 - 104500 m.
				104500 - 105000 m.
				105000 - 105500 m.
				105500 - 106000 m.
				106000 - 106500 m.
				106500 - 107000 m.
				107000 - 107500 m.
				107500 - 108000 m.
				108000 - 108500 m.
				108500 - 109000 m.
				109000 - 109500 m.
				109500 - 110000 m.
				110000 - 110500 m.
				110500 - 111000 m.
				111000 - 111500 m.
				111500 - 112000 m.
				112000 - 112500 m.
				112500 - 113000 m.
				113000 - 113500 m.
				113500 - 114000 m.
				114000 - 114500 m.
				114500 - 115000 m.
				115000 - 115500 m.
				115500 - 116000 m.
				116000 - 116500 m.
				116500 - 117000 m.
				117000 - 117500 m.
				117500 - 118000 m.
				118000 - 118500 m.
				118500 - 119000 m.
				119000 - 119500 m.
				119500 - 120000 m.
				120000 - 120500 m.
				120500 - 121000 m.
				121000 - 121500 m.
				121500 - 122000 m.
				122000 - 122500 m.
				122500 - 123000 m.
				123000 - 123500 m.
				123500 - 124000 m.
				124000 - 124500 m.
				124500 - 125000 m.
				125000 - 125500 m.
				125500 - 126000 m.
				126000 - 126500 m.
				126500 - 127000 m.
				127000 - 127500 m.
				127500 - 128000 m.
				128000 - 128500 m.
				128500 - 129000 m.
				129000 - 129500 m.
				129500 - 130000 m.
				130000 - 130500 m.
				130500 - 131000 m.
				131000 - 131500 m.
				131500 - 132000 m.
				132000 - 132500 m.
				132500 - 133000 m.
				133000 - 133500 m.
				133500 - 134000 m.
				134000 - 134500 m.
				134500 - 135000 m.
				135000 - 135500 m.
				135500 - 136000 m.
				136000 - 136500 m.
				136500 - 137000 m.

açısıyla geliştirilen düşüncelerimizin, bölgede çalışmalar yapan meslektaşların eleştirilerine sunulması amaçlanmıştır.

Amanoslardan başlayarak Maraş kuzeyine ve kuzeybatısına kadar uzanan alanlar, Arap otokton istifini geçip Güneydoğu orojenine kadar farklı tektonik birlilikleri içine alır. Bu özet bilgiden de görüleceği gibi Miyosen çökeliminin evrimiyle, orojenin evrimi; bu bölgelerin Miyosendeki jeolojik gelişimi bakımından birbirlerinden ayırd edilemeyecek olaylardır. Bu nedenlerle bu yazda Miyosen olayları bir bütünlük içinde ele alınarak değerlendirilmiştir. Yazında önce; orojenik kuşağın uzağında, güneydeki Arap otoktonunda yer alan Miyosen çökelleri tanıtmaktadır. Daha sonra kuzeye; orojenik kuşağa doğru yaklaşımakta ve bu alanlardaki Miyosen istifleri ve istiflerin özellikleri tanıtmaktadır. Bu bölümün sonunda ise orojenik kuşak yakınında ve orojenik kuşak içinde yer alan Miyosen istifleri değerlendirilmektedir.

Stratigrafik ve litolojik bu verileri, bir tartışma bölümü izlemektedir. Bu tartışma bölümünde Miyosen döneminde bölgenin hangi kesiminde hangi ortamların yeraldığı sorununa yaklaşım yapılmaktadır. Bu bölümde ayrıca bu bölgeler için çok önemli bir sorun halinde duran "Maraş Miyosen havzası", "İskenderun Miyosen havzası" gibi adlarla anılan bu bölgelerde Miyosende gerçekten bir çökelme çanlığının açılıp açılmadığı sorunu irdelenmektedir.

Yazının son bölümünde, ilk iki bölümün ortaya koyduğu bulguların işliğinde, bölgenin tektonik evrim süreci içinde Miyosen çökeliminin nasıl denetlendiği ve geliştiği konusuna bir yaklaşım yapılmaktadır.

STRATİGRAFİ

GÜNEY AMANOSLarda MIYOSEN

Harbiye - Yayladağ Horstu ve Çevresinde :

Güney Amanoslarn Kızıldağ ile Harbiye-Yayladağ horstu ve arasında kalan alandaki istifte aşağıdaki birimler yer almaktadır (Şekll 1, 2, 3, 4, 5).

Gildirli Formasyonu : Miyosen istifinin taban birimi konglomera ve konglomeratik kumtaşlarının egemen olduğu bir kırtılı çökelimidir ve farklı taban birimleri üzerinde (Yılmaz, 1984) açısal diskordansla oturur. Konglomera üzerinde yer yer 300 m. yi bulan kahnikta konglomera-kireçtaşı ardalanması ve daha sonra mikritik ve biyomikritik dokulu kireçtaşı gelişimi görülür. Konglomera-kumtaşı istifinin daha çok üst kesimlerinde yer alan bu kireçtaşı mercekleri, resifal karbonat çökelimine geçişin öncüsüdür. Bazı kesimlerde ise konglomera, üste doğru konglomera-kaba kumtaşı ve silttaşı - marn ardalanması olarak devam edip daba sonra resifal kireçtaşlarına geçer.

Konglomeratik bu taban birimi içinde fosil bulunamamıştır. Ancak hemen üzerine gelen kireçtaşları ile geçiş zonunda Erken Miyosen sonu yaşı veren fosiller bulunduğuundan onunla uyumlu bu taban kesimin de aynı yaşı olması gereklidir.

Karaçalı Formasyonu : Miyosen çökel istifinin tabanındaki kırtılıların üzerinde yer aldığı görülen karbonat birim bu ad ile tanımlanacaktır. Bu birim Asi nehri vadisindeki Yesilyazı köyü civarında vadinin bir yakasından diğer yakasına geçen, dayanıklı özelliğine nedeniyle mostrada yar yapan bir birim olarak dikkati çekmektedir. Bu kireçtaşı düzeyi yanal yönde farklı birimlere değişmektedir. Birim bazı kesimlerde bol Ostrea'lı fosil bankı halindedir. Sutaşı köyünde bu düzeylerde aşırı yassılaşmış fosillerin varlığı dikkati çekmektedir. Resifal kireçtaşları tabanda kumlu, üste doğru killi özellikler gösterir. Kireçtaşının üstünde ve onunla接壤的 marn ve şeyller yer almaktadır. İnceleme fauna topluluğuna göre birimin yaşı Langiyen'dir.

Güney Amanoslardaki Miyosen istifinin taban birimleri (Gildirli ve Karaçalı fm.) birlikte değerlendirildiğinde bunlar, karasaldan başlayarak denize gelen bir çökelmenin gelişimini temsil etmektedirler. Yerel olarak en tabanda yoğun karasal bir birim yer almaktadır. Yer yer moloz akıntısi (debris flow) balinde, olasılıkla havzayı açan fay zonlarına yash yerel, kalın, kötü boylanmış çökeller tanınır. Bazı kesimlerde ise taban birimi fluviyatıdır. İçin-

de kaba kirintiiler ile bunların içinde taşın dönemlerine ait yanal kamalanın kırmızı çamurtaşı seviyeleri vardır.

Kirintılı istif üste doğru delta ovası hinde ve giderek iyi boyanmış sıçan denizel kumtaşı düzeylerine geçmektedir. Kumtaşları tederice karbonatlara yerini bırakır. Ancak alt-

taki kirintılı kesim olmaksızın doğrudan kireçtaşları ile başlayan istifler de vardır.

Karbonatlara tedrici geçişte kumtaşları içinde öncü (precursor) bazı küçük kireçtaş mercekleri tanınır. İstifte birkaç düzeyde gelişen bu merceklerden sonra tümüyle karbonatlara ulaşmaktadır.

Sebenoba Formasyonu : Marnlı kireçtaş, marn ve kısmen dilingen marn (şeyl) lardan oluşur. Marnlar ak, mat, porselen görünüslü, yumuşak, kırık yüzeyleri yer yer yumrulu bir görünüm sunar. İnce-orta katmanlı olup, içinde yer yer ince, dayanıklı kireçtaş seviyeleri içerir. Dayanıklı bu kireçtaşları pembemsi ve beyazdır. İnce kesitte bu kesimler biyosparittir. İstifte üst kesimlere doğru marn düzeyleri egemen hale gelir. Bu birimin üzerinde açık renkli, kalın katmanlı, killi, pelajik foraminiferli, seyrek istiflenmiş biyomikritlerden oluşan bir kesim yer almaktadır. Pelajik birimin içerisinde *Globigerina* sp. yaygındır. Az da olsa fosfat taneleri de rastlanmaktadır. İstif 350 m. den daha kalın olup Orta Miyosen yaşıdadır ve oaslılıkla bir kıtaya sahanlığında çökeliş basen fasiyesini (?) temsil eder (Şekil 2).

Şekil 3 : Merdivenlikaya ölçülmüş stratigrafi kesiti.
Figure 3 : Merdivenlikaya measured stratigraphic section.

YAS	ORTA MIYOSEN	SEBENOBA	ISTIF	LITOLOJİ	OLCEKSİZ
PALOSEN	BELİSEN	CONA GRİB	KALINLIK	INDEKIS FOSİLLER	ORTAM KORELASYON
151 m.	11 m.	> 23 m	ISTIF	SILTAŞI - MARN - KUMTAŞI PROPLAINASI : Silemli gri marn - arte 20 m.	
			KALINLIK	> 20 m.	
			ISTIF	DERECELİ GEÇİŞ MİCİTASI (SEYEL İŞEY- LEMEVİ DİLOMENİ) : Göz kalın klm., ok klm. ve gostoprod. rotatiliye, edm. nedenle paralel reef bank otelidid.	
			KALINLIK	KİREÇTAŞI (MERCIANİ GİBİ LİSTESİ) : Göz, kalın klm. ve mercan, makrolid, mollusk vb. fossil.	
			ISTIF	DERECELİ GEÇİŞ GÖRÜNTÜ : Göz, ofijalit, ref. dolita, late boyanmış zolla krl. marmasına gelir	
			KALINLIK	ACİSAL DISKORDANS KALİT KİREÇTAŞI	
			ISTIF	Chlorite dolomit karbonat cf. lamellit karbonat c. dolomite cf. lamellit dolomite c. dolomite Görsel olmayan c. dolomite fossil	
			KALINLIK	Orta - İstif	
			ISTIF	Orta - İstif	
			KALINLIK	Orta - İstif	

Şekil 4 : Sinanlı ölçülmüş stratigrafi kesiti.
Figure 4 : Sinanlı measured stratigraphic section.

Mızraklı Formasyonu : Alt kesimlerde marn, marnlı kireçtaş ve kireçtaş ardalanmasından, daha üst kesimlerde ise silittaş-şeylkumtaşı ardalanmasından oluşur. Ancak her iki dizi arasındaki geçiş derecelidir (Şekil 2). Bu istif üzerinde ise hernekadar geçişli gibi görünse de paralel diskordansla Pliyosen yaşlı kumtaşı-marn ardalanmasından oluşan daha genç bir çökel istifi görülür.

Mızraklı formasyonundan derlenen fosil topluluğu Orta-Geç Miyosen zaman aralığını göstermektedir (Şekil 2).

İskenderun Bölgesinde Miyosen :

Antakya bölgesinde Miyosen çökelleri tabanda Erken (?) - Orta Miyosen yaşlı bir konglomerat ile başlamasına karşın, İskenderun bölgesinde Miyosen istifi Tortoniyen ile başlar (Erentöz, 1955; Yılmaz, 1984). İstif marn, marn ve kumtaşı, kumtaşı, mercanlı kireçtaş ve konglomeratdan oluşmuştur.

Gökçekli Formasyonu : Başlica marn ve kumtaşından oluşmaktadır. Bazı alanlarda ta-

ban çakıltası üzerinde resif kireçtaşının düzeylerine rastlar. Marnlarda, üst seviyelere doğru kirintılı oranı artar ve birim kumtaşı-marn aralananması şeklinde devam eder. Marn-kumtaşı istifinde ince jips merceklerine rastlanmaktadır. Daha üstte ise birim kumtaşlarına gecer.

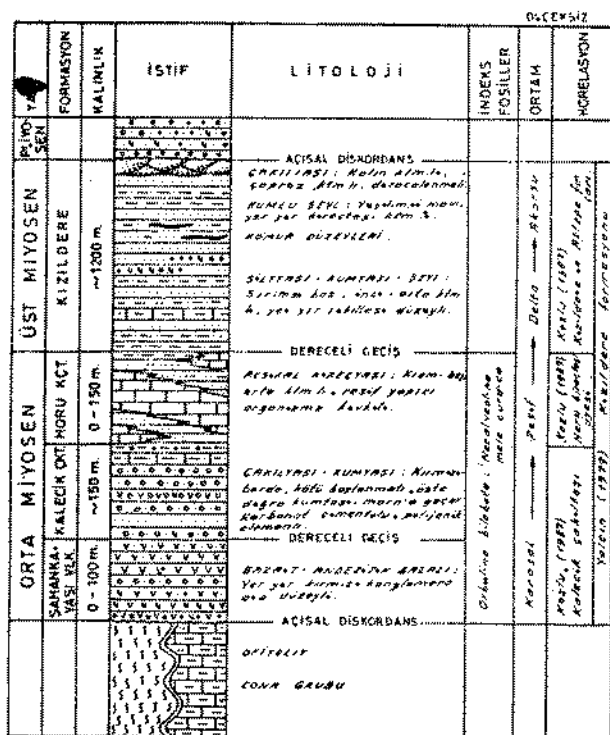
Kızıldağın WNW yamaclarında birimin serpentinitle olan ilişkileri tektoniktir. Bu ilişkiye Erentöz (1955) "İskederun şaryası" olarak tanımlamışsa da sahada yapılan incelemelerde serpentinitlerle marnlar arasındaki ilişkilerin normal faylı olduğu sonucuna varılmıştır. Antalya bölgesindekilerle istifsel karşılaştırma ve fosil bulgularına dayanarak İskenderun bölgesindeki marn-kumtaşı istifinin Tortoniyen yaşında olabileceği söylenebilir.

Karahüseyinli Formasyonu : Başlıca kumtaşından oluşma bir birimdir. Kumtaşı istifili gri-sarımsı boz renkli, orta-kalın katmanlıdır.

TORTONİYEN - MESSİNİYEN GÖRGEKLİ	KARAHÜSEYİNİ	MESSİNİYEN PLYOSEN KOSIMLU	İSTİF KALENCİK	LİTOLOJİ	
50 - 200 m.					
				GÖKTASIS : Kumlular, çök küm. te, tespit edilen elementler, antro- talar, kumlar.	
				DERECELİ GECİZ	
				SİHA - ANKART - MEZERİYAN kumlular, silsileler, düşerlerle şelinde 5 cm'den fazla tabakalı matteler.	
				KUMFAŞI : Gri, beyaz kumlar kağız tabaka, çapraz küm. t.	
				MİSFAŞI : Tükenmiş, orta- fazlı, kumlar, lirik, erken yılarda devamlı.	
				DERECELİ GECİZ	
				KUMFAŞI : Gri, sarımsı kum, gost, arka, orta tabaka küm. dolusu kum, kumalı mottabek.	
				KUMFAŞI - İNAN - AĞRIŞMAMAK Birimler, bej, inci, orta küm. t.	
				MİHAN : Yerleşimci gri, beyaz, inci, orta, tabaka küm. t., yüz kesimleri kumlu.	
				MİKEFAŞI : Krem, bej, orta küm. t., restif, mottabek.	
				ÇAKILFAŞI : Poligonal, kalk kayalar.	
				ACİSAL DISKORDANS	
				ORİYOLIT	

Sekil 5 : İskenderun bölgesinde Miyosen istifini gösterir genelleştirilmiş stratigrafi kesiti

Figure 5 : The generalized stratigraphic section showing the Miocene sequence in the Isken-derun area



Sekil 6 : Osmaniye - Yarpuz - Haruniye alanında (Orta Amanoslar) Miyosen istifini gösterir genelleştirilmiş stratigrafi kesiti.

Figure 6 : The generalized stratigraphic section showing the Miocene sequence at Osmaniye - Yapuz - Haruniye area (The Central Amanos mountains).

İçindeki fosillere göre birim Geç Tortoniyen yaşıdadır. Tabandaki marn-kumtaşı tabakaları arasında görülen ince jips merceklerinin, kumtaşı istifinin üst seviyelerine doğru kahnlaması (6 m. <) çökellerin tedricen karasala dönüştüğünü işaret etmektedir.

Koşumlu Formasyonu : Bir konglomera birimidir. 1-40 cm. boyutlarında kireçtaşı ve serpentinit çakıllarını içerir. Karbonat çimentoludur. Konglomerallarda fosile rastlanılmamışsa da Antakya dolayındaki istifle karşılaşılırarak bu birimin Üst Tortoniyen'den daha genç olması gereği sonucuna varılmıştır. Konglomerallerin alt kesimlerinin Ponsiyen yaşı karasal bir formasyon; yani Geç Miyosen'in regresif serileri olması mümkündür.

İskenderun Miyosen çökelleri, denizel transgresif bir istifi belirlemektedir. Transgresyon ofiyolitik bir temeli aşmıştır. Denizde yapılan sondaj sonuçları aşağıdaki istifin varlığını belirtmektedir.

Tabanda ofiyolitik kayalar üzerinde gökelme, ofiyolitik bir konglomera birimi ile başlamaktadır. Bu ince birimi (30 m.) kireçtaşları izler. Eol fosilli istiftası (packstone) özellikleindeki bu birimde planktonik ve bentonik organizmalar tanınmıştır. (*Orbulina suturalis*, *Orbulina bilobata*, *Orbulina universa*, *Elphidium crispum*, *Cithicoides cf. lobatus*). Bu fosil topluluğu birimin Langhian veya da genç olduğunu göstermektedir. Daha üstte doğru kiltalarına geçilmektedir. Bundan daha üst birimler Miyosen istifine aittir.

Bu istifin, İskederun-Arsuz dolayında karada bulunan istifle karşılaşılması sonucunda aşağıdaki gelişim düşünülmektedir. Orta Miyosen başında deniz içindeki kesim ile Antakya güneyinde, Harbiye-Yayladağ horstu ve dolayındaki Miyosen havzası bağlantılı konumda idi. Geç Miyosen'de deniz Kızıldağ'ın az çok bugünkü konumunda ancak çok belirgin oluşan bir yükselim alanını tedricen aşmaya başlamıştır. Bu ilerleme, hız ve fazlanmayla gelişen bir gökmenin sonucu olabilir. Faylor zaman içinde kara yönünde gerileyip Miyosen sonunda bugünkü topoğrafyanın belirmesine yol açmıştır.

ORTA AMANOSLARDA MIYOSEN

Kızıldere Bölgesi (Osmaniye-Yarpnz-Haruniye alanı)

Kızıldere bölgesinde Miyosen istifi altta volkanikler ve üzerinde konglomera-kumtaşı-kireçtaşı ve marnlardan oluşan bir istifle temsil edilir (Şekil 6).

Şahankayası Volkanitleri: Andezitik bazalt ve olivin bazaltlarla temsil edilir. Volkanitler, konglomera katmanları arasında onunla uyumlu balde bulunmaktadır.

Kalecik Çakultaşı: Tabanda iri çakullar içeren konglomera ile başlar. Üste doğru ince taneli konglomeraya (Şekil 6) ve kırmızı kumtaşlarına, daha üstte ise marn ve kireçtaşlarına (Horu kct.) geçer.

Horu Kireçtaşı: Merkezsel resifal kireçtaşlarından oluşur. Tabandaki çakultaşları ve üzerine gelen marn-seyl birimi (Kızıldere fm.) ile yanal ve düşey geçişlidir. Birim, tabanında çak-

kultaşı ve volkanitler olmaksızın ince bir kirintılı düzeye doğrudan temel üzerinde de gelişebilmiştir. Çokun resif yapıcı organizma kavkiları içerir. Birim Kozlu (1982) ye göre Serravalıyen yaşıdır (Şekil 6).

Kızıldere Formasyonu: Birim kumtaşı-seyl silttaşı ve kanal çakultaşı düzeylerinden oluşur. Orta Amanoslarda Osmaniye-Yarpuz-Haruniye alanında Miyosen istifinin üst düzeylerini oluşturan birim Horu kireçtaşları ile yanal ve düşey geçişlidir. Altta şelf-lagün ortamı nitelikleri sunan kumu marn-silttaşı-seyllerle temsil edilir. Üste doğru yer yer kömürlü seviler içeren kumtaşlarına ve en üstte kanal düzeyli kumtaşı-çakultaşlarına geçer.

KUZEY AMANOSLAR VE KAHRAMANMARAŞ DOLAYINDA MIYOSEN

Kahramanmaraş şehri ve dolayında Miyosen istifleri, bir orojenik kuşakta yer almaktadır. Bu nedenle istiflerin ana karakterlerini belirleyen bu bölgenin farklı tektonik ortamları esas alınarak tanıtlacaktır. Bu tektonik ortamlar kısaca şöyle tanıtlıbilir. Kuzeýde bir nap alanının içinde yer almaktadır. Engizek dağları bu nap alanının içinde yer almaktadır. Bu bölgedeki Miyosen istifi "nap alanında Miyosen" başlığı altında tanıtlacaktır. Napların öneyi bir şaryaj cephesini oluşturur. Bu kesimdeki Miyosen istifleri ise "Engizek şaryaj cephesinde Miyosen" adı altında tanıtlacaktır. Bunun güneyinde Ahır dağı ve doğu devamında ise Güneydoğu Anadolu otokton istifi yer almaktadır. Bu alandaki Miyosen gökelleri" otoktonda Miyosen" başıyla verilecektir. Maraş şehri batı ve kuzeybatisında yer alan ve Miyosen havzası olarak bilinen en yaygın Miyosen mostrallarının yer aldığı kesim ise "Maraş Miyosen istifi" adı altında verilecektir. Bu istif, yukarıda sözü edilen farklı tektonik ortamların tümünün bir kavuşma alanı niteliğindedir.

Otoktonda Miyosen :

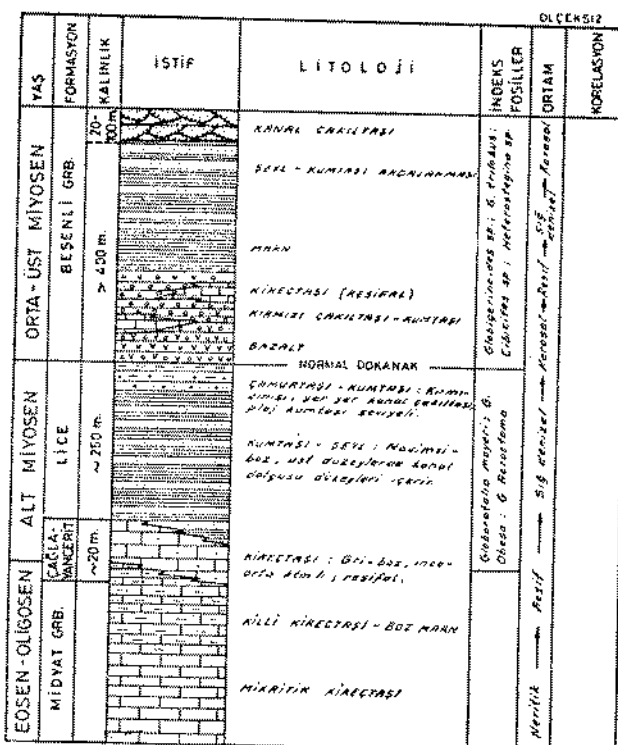
Çağlayancerit Formasyonu: Birim karbonatlı kumtaşlarından oluşur. Gaziantep formasyonu üzerinde konkordan durmaktadır. Üzerine ise Lice formasyonu dereceli geçişli ola-

rak gelir (Şekil 7). İstif, Gaziantep formasyonu ile Lice formasyonu arasında bir geçiş birimi olup Güneydoğu Anadolu'nun yaygın bir birimi olan Fırat formasyonu'nun yanal eşdeğeridir.

Orta-Geç Eosen-Oligosen yaşlı Gaziantep formasyonu ile Erken Miyosen Lice formasyonu arasında yeralması nedeniyle birim bağıl olarak Oligo-Miyosen yaşında olmalıdır.

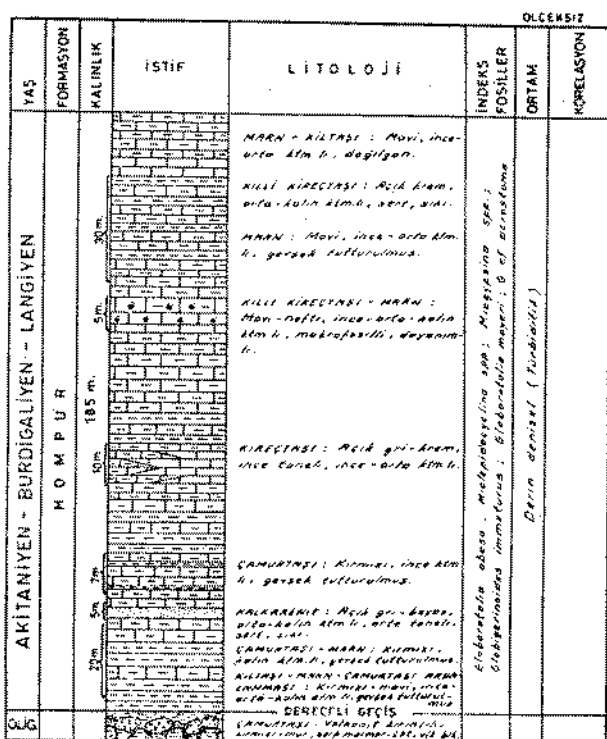
Lice Formasyonu: Otokton istifte tanımlanan Lice formasyonu, çalışma alanında kilit taşı-şeyl ardalanmasından oluşur. Yer yer marn ve türbiditik kumtaşı seviyelerini içerir. İstifin yoğunluğunu dağılgan killer oluşturur. Birim, Çağlayancerit formasyonu üzerinde geçişlidir ve çökelme ortamı kita yamacıdır. Birimden derlenen fosiller Alt Miyosen yaşını vermistir.

Besinli Grubu : Gevşek tutturılmış kumtaşı-marn-kiltaşı ve çamurtaşından oluşur. Lice formasyonu üzerinde normal geçişlidir. Geçiş zonunda bir kaç düzeyde kalınlıkları 10-20



Sekil 7 : Ahır dağı kuzey yamacında Miyosen istifini gösterir genelleştirilmiş stratigrafi kesiti

Figure 7 : The generalized stratigraphic section showing the Miocene sequence at the foothills in north of Ahirdağ.



Sekil 8 : Engizek şaryaç cephesinde Hompur forması vonunun ölçülümiş stratigrafi kesiti

Figure 8 : The measured stratigraphic section from the Hompur formation at the Engizek thrust front.

m. arasında değişen resifal kireçtaşları yeralır. Düşük enerji indisli bu killi birimin çökelme ortamı iç şeftir. Birimin kumtaşı-çamurtaşı düzeylerinden Langiyan-Serravaliyen başı (?) yaşalar alınımıştır.

Engizek Saryaj Cephesinde Miyosen:

Hompur Formasyonu : Engizek dağ kuşağıının oluşturduğu şaryaj cephesinde tanımlanan Hompur formasyonu kilitaşı-şeyl ve marn ardalanmasından oluşur. İçinde az miktarda türbiditik kumtaşı-çakıltası düzeyleri ile Malatya metamorfitine ait mermer, kireçtaş, kalkgöst, Nummulitli kireçtaş blokları; olistostromal çakıltası ve diyabaz, serpentinit, gabro bloklarına rastlanır. Birimin blok içermeyen kesimleri Lice formasyonuna çok benzer ve onun yanal eşdeğeri olarak değerlendirilebilir (Şekil 7, 8).

Birim güney yönünde, Lice formasyonu üzerine şaryajlıdır. Engizek şaryajları adı verilen bu itilmeler yer yer düsey ve yanal atılmıştır.

faylarla kesilerek derinde kalıp gizlenmiştir. Birimin kendi üzerine ise Alacık formasyonu (Yılmaz v.d. 1987) itilmelidir. Derlenen fosilere göre istifin yaşı Erken Miyosen'dir. Bu veri de Lice Formasyonu ile Hompur formasyonu'nun yanal eşdeğer birimler olduğunu göstermektedir. Aralarındaki fark; Hompur formasyonu'nun daba distal bir kesime ait olup şimdi allokton birliklerin içinde yer almış olması, Lice formasyonu'nun ise bu alanda otokton niteliğini korumuş olmasıdır.

Beşenli Grubu : "Otoktonda Miyosen" bölümünde tanıtılan Beşenli grubu "Engizek şaryaj cephesi"nde de aynı niteliklerle temsil edilir. Böylece Beşenli grubu, Amanos tektonik bırlığı ve Engizek şaryaj cephesi bırlığının ortak bir örtü birimini teşkil eder. Bu nedenle birim burada tekrar tanıtmayacaktır.

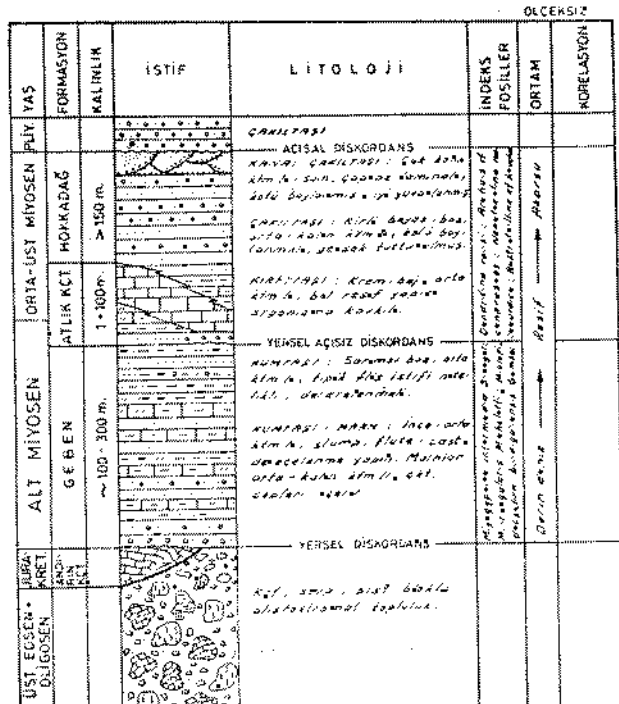
Nap Alanında Miyosen :

Geben Formasyonu : Birim bir marn-kumtaşı istifiyle temsil edilir. Altında yer alan Geç Eosen-Oligosen yaşı kaba bloku olistostromal birimlerin, üstte doğru giderek tane boyunun incelmesi ve düzenlenmesiyle Geben formasyonuna geçilir (Şekil 9). Birim aslında, tabanında yer alan çok yüksek enerjili bir ortamda gelişmiş olan Eosen-Oligosen yaşı istiflerin Erken Miyosen'de, enerjisi nispeten düşük bir ortamda çökeliş ve düzenlenme kazanmış bir devami niteliğindedir. Tabanda olistostromal bir çakıltaşı düzeyiyle başlar. Çakıltaşı yanal ve düşey yönde boz kumtaşı-marn ve kalkarenit ardalanmasına geçer. Egemen litoloji marnıdır. Kumtaşları oturma (slump) yapılı ve derecelenmelidir. Yer yer kaval yapısı ve akıntı çizgileri gibi turbiditlere özgü taban yapıları gözlenir. İstifin taban düzeylerinde olistostromal çakıltaşları marnların içinde cepler ve karnalar şeklindeki şeklidir. Geben formasyonu'nun en üst düzeylerine doğru kumtaşının oranı artarak birim tipik bir fliş istifi görünümü kazanır.

Marn numunelerinin nannoplankton tayinlerine göre birimin yaşı alt düzeylerde Burdaklıyen-Erken Langiyen; Üst düzeylerde Geç Langiyen - Serravaliyen'dir.

Athk Kireçtaşı : Resifal nitelikli bir kireçtaşıdır. İstifin tabanında bazen çakıltaşı düzeyleri, baze de karbonat hamurlu kumtaşı bulunur. Bu resifal kireçtaşı, zaman zaman yanal yönde kumlu karbonatlara ve zaman zaman da marnlara geçer. İstif üstte doğru marn-kireçtaşı ardalanmasıyla devam eder.

Kalmığı 1-100 m. arasında değişen Athk kireçtaşı genellikle Geben formasyonu üzerinde uyumlu görülür. Ancak bazı kesimlerde tabanındaki detritiklerden de anlaşıldığı gibi açısız bir uyumsuzluk oluştururken bazı alanlarda doğrudan daha yaşı birimlerin üzerinde diskordan oturmaktadır.



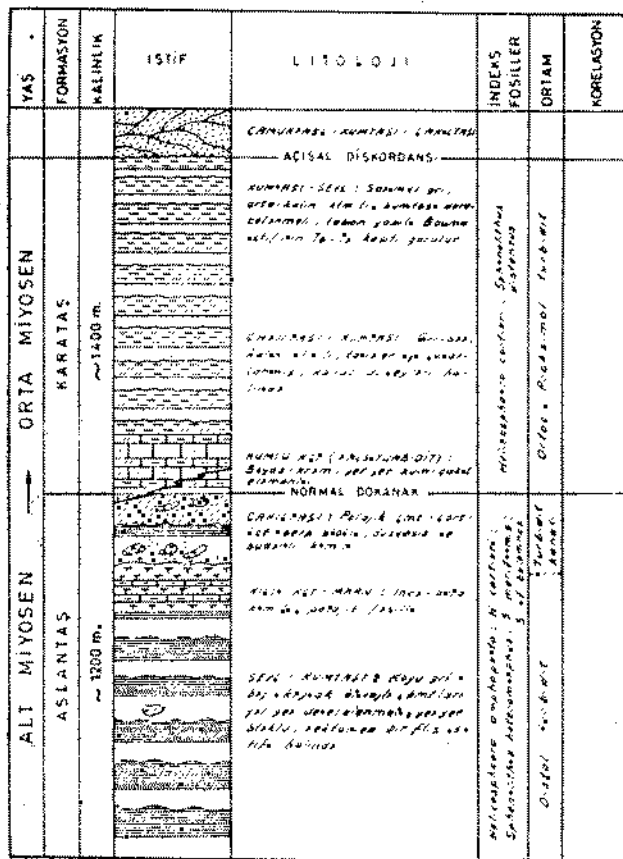
Şekil 9 : Nap alanında Miyosen istifini gösterir genelleştirilmiş stratigrafi kesiti.

Figure 9 : The generalized stratigraphic section showing the Miocene sequence over the nappes.

Athk dağında istif, taban üzerinde düşük açılı bir uyumsuzlukla oturmakta olup karbonat birim yanal ve düşey yönde yer yer marnlara geçmektedir. Kalmığı 75-100 m. arasında değişir.

İnceleme alanında Athk kireçtaşından derlenen fosiller Erken-Orta Miyosen yaşı vermiştir. Bazi çevre yörenlerden de Akitaniyen-Burdaklıyen-Langiyen gibi yaşlar alınmıştır. Athk ki-

reğtaşının resifal ortam ürünü olduğu; içerdiği organizma ve birimin litolojik özelliklerinden anlaşılmaktadır. İnceleme alanında resif oluşturan şartlar bu dönemde çok kısa bir süre egemen olmuştur. Çünkü Erken-Orta Miyosen döneminde ortama bolca kırıntılı malzeme gelişti ile resif gelişimleri devam edememiş ve kırıntılı çökeliyi egemen olmuştur.



Şekil 10 : Andırın dolayında Aslantaş - Karataş formasyonlarının genelleştirilmiş stratigrafi kesiti.

Figure 10 : The generalized stratigraphic section of the Aslantaş - Karataş formations in the Andırın region.

Hakkadağ Formasyonu : Çakıltaşı-kumtaşı-marn ardalanmasından oluşur. Birim Athık kireçtaşı üzerinde onunla yanal ve düşey, de-receli geçişlidir (Şekil 9). Birimin egemen litolojisini oluşturan çakıltaşları üstde doğru yerini gevşek tutturulmuş, dağılgan kumtaşlarına bırakır. Kumtaşları içerisinde de çakılı düzeyler mevcuttur. Kumtaşının içinde Ostrea kavkiları, bitki sapları ve yaprak fosilleri vardır. Kumtaşçı-kumtaşı ardalanmasının üst düzeylerinde

marnlar görülmektedir. Yumuşak, yer yer dağılgan özellikte olan bu marnların içinde bol Ostrea kavkiları bulunur. Bunlar bazı kesimlerde öyle coğalırlar ki kaya tümüyle Ostrea'dan oluşmuşcasına görünür (bank fasiyesi). Bu düzey, yanal yönde kılavuz katman gibi uzanmaktadır. İstifte marulardan daha da üstte yine kumtaşçı-kumtaşı görülür. Bu seviye aynı zamanda birimin görünür en üst seviyesidir.

Hakkadağ formasyonuna yaş verecek fosil bulgusu yoktur. Ancak Athık kireçtaşı üzerinde yeralması nedeniyle Orta-Geç Miyosen yaşında olmalıdır.

Maraş Miyosen İstifi :

Maraş şehri batı ve kuzeybatısı farklı tektonik birliklerin bir kavşak noktası nitelijinde olduğundan bu alanda diğer tektonik birliklerde tanıtılan Miyosen istiflerinin yanal fasiyesi eşdeğerleri kısmen bu alanda da görülür. Sadece bu alana özgü Miyosen birimleri ise Aslantaş ve Karataş formasyonlarıdır.

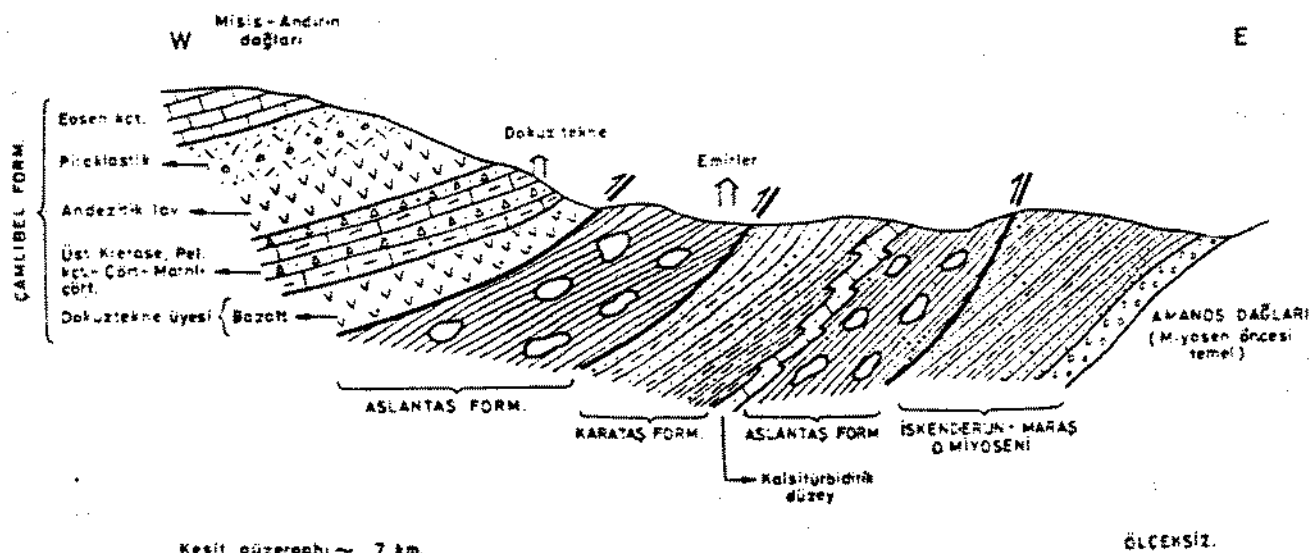
Aslantaş-Karataş Formasyonları : Başlıca kumtaşçı-şeyl ve nadiren marn tabakalarının ardalanmasından oluşur. Kumtaşı coğulukla de-recelenmesi zayıf, belirgin tabaklı bir istif halindedir. Şeyl ise yaygınca foliasyon kazanmış, coğun ezilmiş ve milonitleşmiştir. İstifte ayrıca çeşitli düzeylerde, özellikle üstde doğru bazan çakila varan iri tanelerden oluşan kalsitürbidit seviyelerine de rastlanır. Coğulukla kalın tabakalar halinde bulunan bu kalsitürbiditler, istif içinde dayanıklı düzeyler oluşturmaktadır.

Birimde, çeşitli boylarda pek çok olistolite rastlanmaktadır. Bu olistolitler arasında en yaygın görülen kaya türleri pelajik kireçtaşı, çamurtaşçı ve görtür. Paleontolojik incelemler bu pelajik blokların coğulukla Eosen yaşında olduğunu ortaya koymustur. Birim içinde bunlardan başka spilit, serpentinit, diyabaz ve metapelitik kaya bloklarına da rastlanır. Bloklar 50 cm. den onlareca m. ye ulaşabilmektedir. Tektonizma sonucu blokların çevresindeki birincil ilişki coğun bozulmuştur. Misis dağlarında önceki bazı araştırmacılar (Kozlu, 1987), birimin bloklu alt kesimini Aslantaş formasyonu; bloksuz, düzenli üst kesimini ise

Karataş formasyonu olarak ayırmıştır (Şekil 9). Bu çalışmada her iki kesim birlikte devamlı bir dizi olarak ele alınmıştır.

Birim alt ve üst dokanakta bindirmelerle sınırlanarak kuzeybatıya eğimli bir tektonik dilim şeklinde uzanır. Ayrıca bloklu alt kesimler (Aslantaş fm); bloksuz, düzenli daha üst düzeyler (Karataş fm) üzerine itilmiştir (Şekil 11).

rak cevap verirken, ince kumtaşı katmanları kırılıp koparak budenleri, kalın kumtaşı ve kalsitürkudit tabakaları ise blok görünümlü parçaları oluşturmuştur. Deformasyonun birim içinde yer alan olistolitleri de etkilemiş olduğu, bazı kesimlerde pelajik çamurtaşı - kireçtaşısı - çört bloklarının birimle birlikte, birimin yapraklanmasına uygun klivaj kazanmış olduğundan an-



Şekil 11 : Amanos dağlarının NW ucu ile Andırın dağları arasında farklı Miyosen birimleri ve ilişkilerini gösterir jeolojî enine kesiti (Ölçeksiz).

Figure 11 : The geologic cross section from the Andırın to Amanos mountain (Not to scale)

Birimin Erken Langiyen'deki çökeliminden, tektonizmanın şiddetinin azalarak sönümlendiği Orta Miyosen devrine kadar sürekli kompresyonel bir deformasyonun etkisi altında kalmış; bu süreç içinde yaygınca kıvrımlanmış, kırılmış, faylanmış ve yer yer yapraklanmıştır. Özellikle bindirmeli dokanaklar civarında birim içinde belirgin kayrak klivajı gelişmiştir.

Birim içindeki şevron, diz şeklinde, yatık v.b. birçok türde kıvrımların bulunması, gevrek nitelikli kumtaşının kıvrım şarniyer bölgelerinde kırılmadan kıvrılabilmiş olması, açma sıkma yapısı (pinch and swell structure) içermesi, birimin olasılıkla çökelme ortamında benüz diyajenez geçirmeden önce kompresif deformasyonların etkisinde kalmış olduğunu belgelemektedir. Diyajenezden sonra da devam eden deformasyonlar nedeniyle birim yaygınca makaslanmış; sünük nitelikli şeyle, deformasyona yapraklan-

laşmaktadır. Çört gibi sert litolojiler ise bu olaylar sırasında bresleşmişlerdir.

Aslantaş formasyonu, tektonik açıdan hareketli derin denizel bir ortamda gökemmiş litolojilerden oluşur. İstifte genel olarak şeylen egenen olması ve tipik bir bouma istifine nazaran alttan eksikliği nedeniyle birim, orta türkudit nitelikli Karataş formasyonundan daha iraksak ve derin bir ortamda gökemmiş olmalıdır.

TARTIŞMA

Güney Amanoslardaki incelemelerin ortaya koyduğu verilere göre Miyosen çökelimi tabanda önce karasal (fluviyatil, debris akıntı) ve/veya geçiş fasyeleri (delta v.b. ile temsil edilen kaba ince kırıntıların gökemesine yolaçmış ve giderek kırıntılı bir sahil çizgisi gelişmiştir. Bu sağ ortamda yer yer resifler oluşmuştur. Erken Miyosen sonunda başlayan çökelme, Orta Miyo-

sen'de marn ve marnlı karbonatların yaygınça çökeldiği kita sahanlığı basen fasiyelerine yeriini bırakmıştır.

Orta Miyosen sonuna doğru ortam derinleşmiş ve türbiditik kumtaşları giderek artan miktarlarda düşük enerji ortamında çökelen marn ve kilitası düzeyleri arasında belirmeye başlamıştır.

Geç Miyosen'de derinde çökelme devam ederken Arsuz - İskenderun arasında kalan alanda transgresyon giderek kara yönünde ilerlemiştir. Bir diğer deyişle bu dönemde denizel ortam, denizlerin çevrelediği tatlı topografya hâlindeki Kızıldağ yükselimini yeni yeni işgal etmeye başlamıştır. Bu deniz istilası sonucunda Kızıldağın batı yamacında kil-marn çökelimi doğrudan ofiyolotik temel üzerinde gelişmiştir. Bu yükselimde deniz istilası henüz gelişmeye başladığı için yerel olarak karadan getirilen kırıntılı gereç ile tipki bölgenin diğer kesimlerinde Erken Miyosen sonunda gelişmiş olan konglomerat-kumtaşı-resifal karbonat çökelimi bu kesimde Geç Miyosen'de gelişmiştir. Böylece benzeri birimler Kızıldağın batı kesiminde bugünkü deniz alanı içinden bugünkü kara alanına doğru zaman transgresif olarak gelişmiştir. Bir diğer deyişle, Erken Miyosen sonundaki sahil çizgisi bugünkü sahil çizgisine nazaran çok daha deniz tarafında yer almaktaydı. Geç Miyosen'de ise sahil çizgisi bugünkü Kızıldağın bulunduğu alanda, kara yönünde çok iç kesimlere ilerlemiştir. Böylece litolojik dizilimi birbirine benzeyen ancak yaşı konakları farklı diziler ortaya çıkmıştır. Bu yüzden deniz içindeki sondajlarda (Ayşe 1 kuyusu TPAO arşivi), Erken Miyosen'den Geç Miyosen'e eksiksiz ve taban konglomeratından başlayan bir çökelimin geliştiği saptanmıştır. Kızıldağın batı kesiminde Geç Miyosen çökel dizisinin çoğulukla kil, mil, marn vb. gibi birimlerle doğrudan ofiyolotik temel üzerine, altında Erken ve Orta Miyosen birimleri olmaksızın çökelebilmesi çevre morfolojisinin tatlı bir eğimle denize kavuşduğunu, bölgenin bu dönemde az çok peneplen alanı halinde olduğunu işaret etmektedir.

Miyosen'deki hızlı derinleşme bölgenin tektonizmaya etkilenmesinin sonucudur. Bu olay, İskenderun dolayında faylanmaya bağlı olarak sık denizel ortamlar içinde yerel havza açılma-

lارının neticesidir. (Yılmaz, 1984). İskenderun havzası ve olasılıkla Samandağ havzası bu gelişime örnek olarak verilebilir.

Geç Miyosen sonuna doğru bütün Güney Amanosların yükselişi ve ortamın sağlamlaşması anlaşılmaktadır. Bu dönemde yaygınca evapritik çökeller gelişmiştir. Olasılıkla Doğu Akdeniz'deki Messiniyen sağlamlaşma olayına rastlayan bu gelişim süresinde bölge sadece deniz çekilmesi etkisinde kalmamış aynı zamanda tektonizma etkisiyle de deform olmuş, çökelen birimlerin yatay konumları bozulmuştur. Bu nedenle Pliyosen çökelleri çoğulukla Miyosen istifleri üzerinde açısal diskondasla oturmaktadır. Birimlerin bu eğilimi (tilt) kazanması, kara yönünde gerileyen ve sahile az çok paralel bir dizi fay yardımıyla gelişmiş olmalıdır. Böylece bölge bugünkü morfolojik formunu kazanarak yükselmiştir.

Orta Amanosların büyük bir bölümünün Miyosen döneminde yükselim alanı konumunda kaldığı anlaşılmaktadır. Bu genel görünüşün dışında kalan alanlar, fay kontrolü ile Miyosen'de gelişmiş bazı çöküntü alanlarıdır. Yarpuz-Kayıp-Bahçe dolayı (Kızıldere bölgesi) (Şekil 1 ve 6) bu gelişime örnek olarak verilebilir. Orta Amanosların kuzeybatı kesiminde Miyosen çökelleri ile genç örtü birimlerini içeren alanlar, batı kuşakta Osmaniye ile Haruniye, doğu kesiminde ise en güney alanda Gördüğündere dolayından başlayarak Yarpuz-Kayıp ve Bahçe arasında kalan bölgede yaygın Miyosen mostraları yer almaktadır (Şekil 1). Bu bölgelerde yaygın Miyosen istifinin gelişme yöre ve koşullarını başlica SW - NE gidişli faylar denetlemiştir. Bu faylar çoğulukla Miyosen ve Kuvatner çökellerini kesmiş ve onları sınırlamıştır (Şekil 1). Bu faylar nedeniyle Miyosen istifi Kayp-Yarpuz dolayında kuzeydoğu-güneybatı gidişli dar bir koridorla mostra vermektedir.

Zorkunayla ile Dumanlı dağdaki ofiyoliti kuzeyden doğu-batı gidişle sınırlayan fayın kuzeyindeki blokta bölgenin yüksek kotlarında kabba konglomeralarla başlayan kalm bir Miyosen istifinin geliştiği görülmür. Birim, yüksek enerjili karasal bir ortamda gelişmiş olup olasılıkla bir akarsu çökelidir. Bu denli kalm oluşu, bu kesimin çevresine nazaran önemli bir drenaj un-

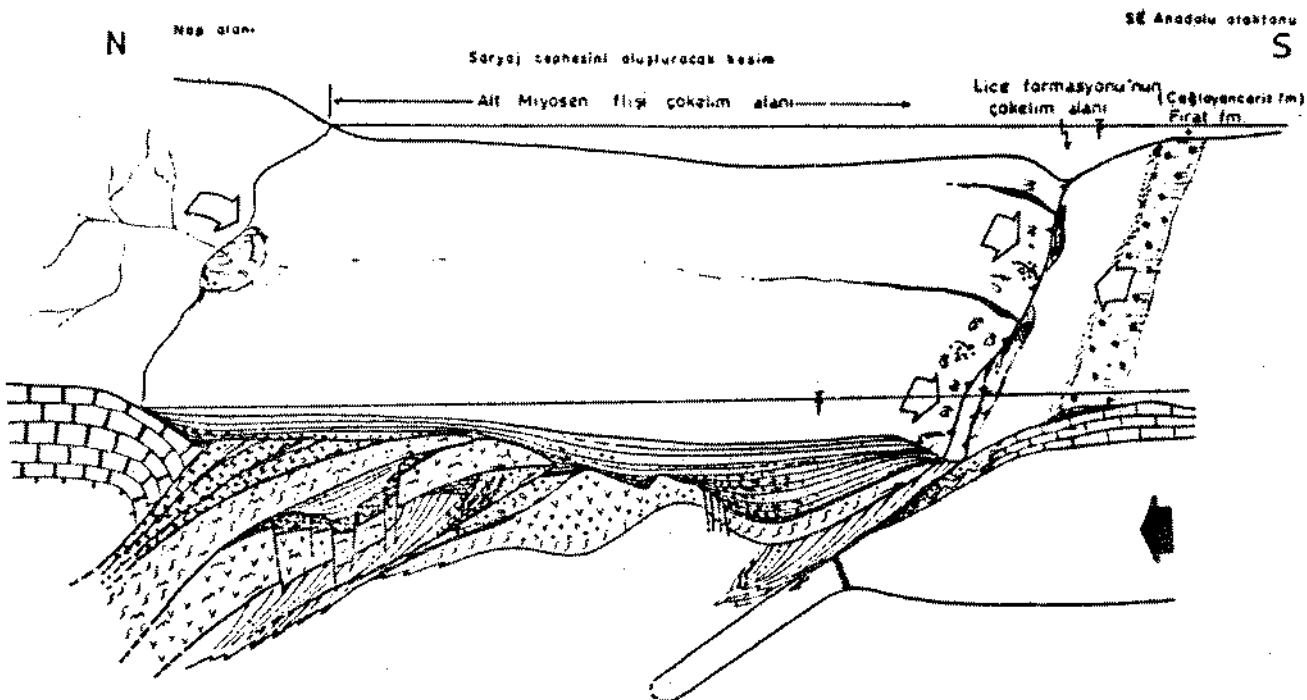
suru halinde olduğunu işaret etmektedir. Miyosen'den sonra bu alçak alan düşey yönde yükseltilerek bugünkü yüksek kotlarda kalmıştır.

Kuzey Amanoslarda Ahır dağı - Daz tepe dolayındaki istifte Geç Eosen-Oligosen Midyat grubu olarak bilinen neritik kireçtaşı ile temsil edilir. Erken Miyosen başında ince (20-80 m) bir anahtar kireçtaşı düzeyinin gökeliminden itibaren fliş tipi çökellerin gelişimi başlamaktadır (Şekil 7). Bu anahtar birim, Ahır dağında kolaylıkla tanımlan, dayanıklı, Midyat kireçtaşlarının marnlı üst kesimleri üzerinde yer almaktadır. Fırat formasyonu (Çağlayan Cerit fm.) olarak bilinen bu kireçtaşı düzeyinin üzerinde gelişmeye başlayan ve fliş benzeri kumtaşı-şeyl ardalanmalarından oluşan birim Lice formasyonu olarak bilinir. Erken Miyosen yaşı bu birim, üst seviyelerine doğru giderek sıç denizel nitelikler göstermektedir. Daha üstte doğru, sıç denizel istif tedricen karasala geçmektedir. (Se-

kil 7). Üst kesimlere doğru bu çökellerin içeriine, şaryaj cephesinde yeralan kaya topluluklarından, miktarı giderek artan biçimde bir malzeme akımının geliştiği dikkat çekmektedir. Özellikle istifte yeralan kanal dolgularında alloktondan taşınmış kaya parçaları boldur.

Misis-Andırın kuşağı ile otokton arasındaki şaryajların içinde yer alan ve Aslantaş formasyonu olarak tanıtılan birim, Lice formasyonunun derin denizel eşdeğeridir. İki birimin arasındaki temel farklılık, Lice formasyonunun Arap platformu üzerinde gelişmiş bir birim olmasındadır. Arslantaş formasyonunun tabanı ise çoğunlukla görülmez. Ancak seyrek bir iki mostrada, Misis-Andırın kuşağının temelinde görülen kayaların, bu birimin tabanında da yer aldığı görülmüştür. Bu birimler, bloklu bir karmaşıktır. Lice formasyonu ile Arslantaş formasyonu arasındaki diğer bir farklılık ise, Lice formasyonunun Erken Miyosen sonuna

ALT MİYOSEN



Şekil 12 : İnceleme alanının Erken Miyosen'deki jeolojik gelişimini gösterir blok diyagram.

Figure 12 : The block diagram showing the geological evolution of the investigated area at the Early Miocene.

Şekilde okyanusal ortamın tüketilmesi sonucunda farklı tektonik birliklerin biraraya geldikleri gösterilmektedir. Eunu izleyen dönemde çarpışan birimler birbirlerine yaklaşma devam etmekte ve bunun sonucu olarak, kuzeyde yeralan bütün birlikler topluca Arap otokton istifi üzerine ilerlemektedir. Rejyonal sıkışma, bütün bölgede denizel ortamların tedricen sıkışmasına ve regresif istiflerin gelişmesine neden olmuştur. Şaryaj cephesi öneyinde oluşan çizgisel havzada türbiditik birimler çökelmeye başlamıştır.

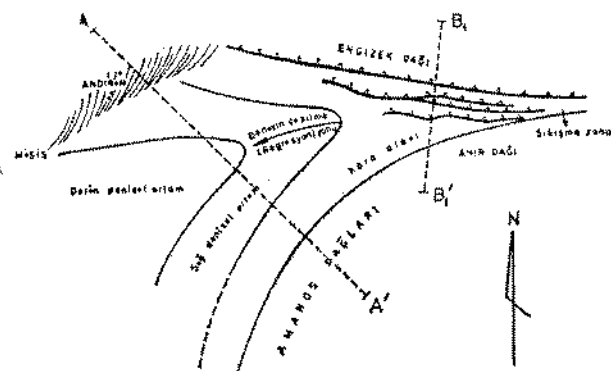
doğru çok sık bir birim haline gelmesine karşılık, Aslantaş formasyonu'nun bu dönemde henüz derin denizel özelliğini koruyarak Orta Miyosen'de sağlamasıdır.

Misis dağlarından kuzeye, Misis-Andırın şaryaj cephesi boyunca ilerlendiğinde, Arslantaş formasyonu ile Lice formasyonu arasındaki farklılığın, litolojik ve ortamsal yönden giderek kaybolduğu görülmektedir. Çökelmanın gelişimi ve özelliği açısından orojenik kuşak ile Misis-Andırın kuşağı arasında da bir devamlılık olduğu söylenebilir (Yılmaz v.d. 1987).

Engizek şaryaj cephesinde yer alan Üst Eosen-Oligosen yaşı çoğun volkanik gereçli olistostromal ve iç düzeni zayıf bir topluluk (Helete volkaniti) yer almaktadır (Yılmaz v.d. 1987). Erken Miyosen'e doğru bu volkanik karmaşık üzerinde volkanojenik kumtaşı arakatkılı, flişimsi, düzenli bir çökel istif gelişmiştir. Bu oluşum, Andırın dağ kuşağının batı kesiminde Savrun köridoru dolayısı ile Keşidere vadisi boyunca varlığı bilinen volkanik birimlerin (Yılmaz v.d. 1987) benzeri ya da yanal devamı olarak düşünülebilir.

Nap alanındaki en üst dilimi oluşturan Malatya metamorfitlerinin üzerinde, Geç Eosen'de Andırın kuşağı doğusunda olduğu gibi olistostromal blokları bir karmaşık gelişmiştir (Bulgurkaya fm. Yılmaz v.d. 1987). Bu karmaşık Erken Miyosene doğru fliş benzeri bir çökel istifeye yerini bırakmıştır. Geç Eosen ve Oligosen dönemi ile Erken Miyosende gelişen çökeller, bölgedeki farklı tektonik birliliklerde birbirine çok benzeyen istiflerin gelişmesine yol açmıştır. Bu benzer istiflerin ortak özelliği, Geç Eosen-Oligosen döneminde iç düzeni zayıf, blokları çökel karmaşıkların; Erken Miyosende ise çökelmanın nispeten düzenlendiği, fliş benzeri türbiditik istiflerin gelişmiş olmasıdır. Erken Miyosende başında, Geç Eosen'den beri devam eden çökelmanın yerini giderek düzenli fliş benzeri istiflerin alması, bölge çapında denizaltı rölyefindeki düzensizliklerin, ani yükseliş ve alçalımların büyük ölçüde giderildiğini işaret etmektedir.

Orta Miyosen çökellerinin incelenmesi bölgede aşağıda varlığı belirtilen ortamların yer almış olduğunu belli etmektedir (Şekil 13'den 18'e).



Şekil 13 : İnceleme alanının Erken-Orta Miyosen dönemindeki jeolojik gelişimini gösteren taslaak paleojeoloji haritası (Ölçeksziz).

Figure 13 : The enlarged paleogeological map showing the geological evolution of the investigated area at Early-Middle Miocene (Not to scale).

Otokton ile Engizek itilme cephesinin çarpışması ile orojenik kuşak gelişmektedir (Şekil 12, 15). Çarpışmanın tam anlamıyla gelişmediği W alanlarında denizel ortam varlığını korumakta olup daha SW alanlarında derin denizel ortamlara ulaşmaktadır (Şekil 12'ye bakınız).

Derin Denizel Ortam : Başlıca Misis dağlarının güneydoğu kesiminde, Misisler ile Amanoslar arasında görtülür. Aslantaş-Karataş formasyonu temsil edilir. Bunlar türbiditik düzeyler içeren fliş türü birimlerdir. Aslantaş; alttaki kesimdir ve üstte doğru yanal yöndeki geniş Karataş olarak anılır. Aslantaş adı daha çok olistostromal blokları içeren tektonize bir fliş niteligidde olup yaşı, Erken Miyosendir. İstif Orta Miyosene kesiksiz geçmektedir. Aslantaş kalsitürbiditik bir düzeyin üzerinde, Karatas izlemektedir. (Şekil 10 ve 11). Karatas; türbiditik nitelikli kumtaşı ile şeyl ardalanmasından oluşan bir fliş istifi olup blok içermez. Düzenli bir iç yapısı vardır. Ortaç bir türbidit niteligidde dir. Birimin yaşı Erken Miyosenden başlayıp Orta Miyosene گلmaktadır.

Aslantaş-Karataş formasyonları coğulukla bir şevde gelişmiş derin denizel bir istif olarak değerlendirilmektedir. Aslantaş kesimi bu derin denize ait distal bir türbidite karsılıktır.

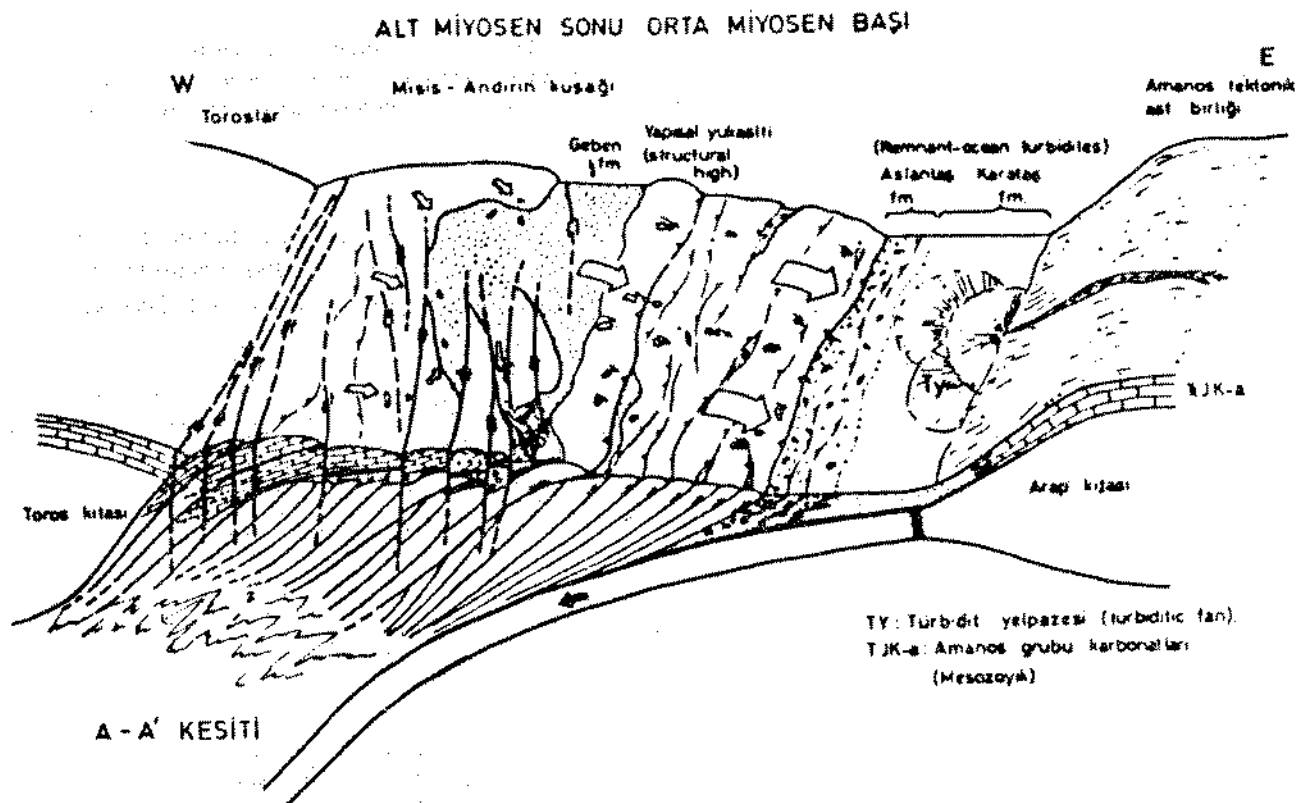
Sığ Denizel Ortam : Miyosende yeni bir transgresyonun başlamasına bağlı olarak gelişen çökel istifleri İskenderun Miyosen çanağı,

Adana Miyosen çanağı ve Maraş Miyosen çanağı olarak literatürde sözü edilen ve Miyosende açıldığı öne sürülen havzalara ait birimlerdir. Birçok ortak özellik gösteren bu dizilerin, "Maraş havzası" kesiminde çökelme, Erken Miyosen yaşı Lice formasyonunun kırıntıları üzerine tuğla kırmızısı bir karasal birimle başlar. İki birimin ilişkisinde görülür bir aksal uyumsuzluk yoktur (Şekil 7).

Maraş'ın kuzeyinde yer alan Ahır dağının en batı ucu ve NW kesiminde bu kaba kırıntılı kırmızı karasal istif, bazik lavlarla ardalanır (Şekil 7). Daha üste doğru, denizel kumtaşları gelişmiştir. Denizel kumtaşları arasında resif düzeyleri ince katmanlar halinde tekrarlanmaktadır. Bunlar çoğunlukla boğulmuş resif kafaları halindedir. Bu birimler açık renkli marnlara geçmektedir. Kalın marn istifini fliş benzeri bir

şeyl-kumtaşı ardalanması izlemektedir. Türbiditik kumtaşlarından oluşan fliş, üste doğru kalın olistostromal çökel cepleri içermektedir. Bu konglomeratik cepler 100 m. yi aşın kalınlıklara ulaşabilmekte olup (Alikayası) çapraz katmanlı kanal dolguları ya da ilerleyen (programde) delta cepbesinde yer alan dağıtım kanal dolgularıdır. Çünkü içlerindeki çapraz katmanların yüksekliği yer yer 10 metreyi bulmaktadır.

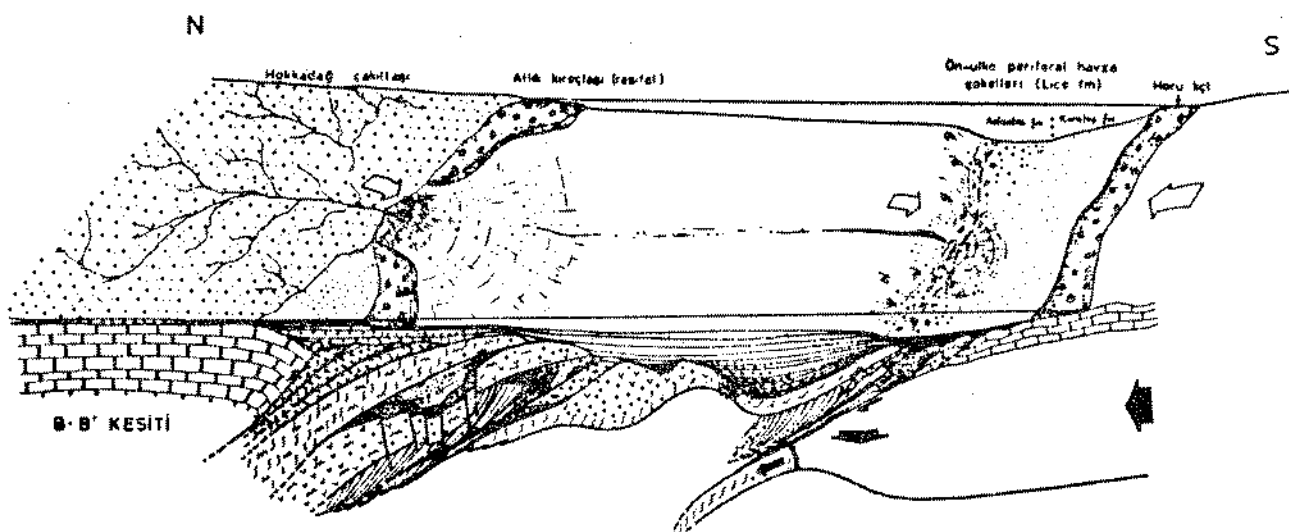
Maraş bavzası Miyosen istifi olarak bilinen bu dizi, Misis-Andırın tektonik birliğinden yer alan Aslantaş-Karataş formasyonunun yanal esdeğeri niteligidir. Karasaldan giderek denizde geçen ve derinleşen transgresif bir istifi belirtmektedir. Ancak ondan daha sığ bir ortamı göstermektedir. Ayrıca Aslantaş-Karataş formasyonu arasında Erken-Orta Miyosen döneminde kesiklik görülmezken Maraş Orta Miyo-



Şekil 14 : Misis-Andırın kuşağının Erken Miyosen başındaki jeolojik gelişimini gösterir blok diyagram.
Figure 14 : The block diagram showing the geological evolution of the Misis-Andırın belt at Early Miocene and Middle Miocene.

Orojenik kuşakta çarpışma gelişirken, orojenezden korunmuş olan daha W ve SW alanlarda gizli dalma-batma (cryptic suture) devam etmekte, fliş havzaları (Aslantaş - Karataş fm.ları) çökelme alanları varlıklarını korumaktadırlar. Bu blok diyagram, orojenik kuşakta Şekil 12-15'in gelişim döneminde Misisler ile Amanoslar arasındaki jeolojik durumu göstermektedir.

ORTA MIYOSEN BAŞI



Şekil 15 : İnceleme alanının Orta Miyosen başındaki jeolojik gelişimini gösterir blok diyagram

Figure 15 : The block diagram showing the geological evalution of the investigated area during Middle Miocene.

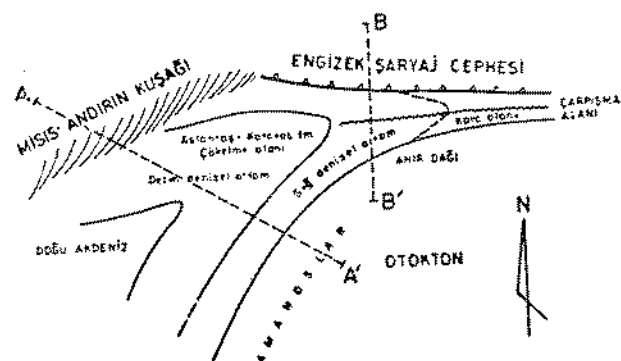
Kuzey - güney sıkışmaya bağlı reyonal sınıflaşma nedeniyle denizin kuzey sahilinde resif gelişimleri ve karasal çökeller (Hokkadağ fm.) gelişmektedir. Bu süreçte denizin güney sahilinde Lice fm. giderek sıklaşan bir ortamda gelişimini sürdürmektedir. Bunun sonucunda regresif resifler ve bunlarla girdik karasal çökeller gelişmektedir (Beşenli grb.'nın alt seviyeleri).

sen istifinde kesiklik vardır. Çünkü Orta Miyosen istifinin tabanı Erken Miyosen regresif istifi nin tavamı üzerinde gelişen yeni bir transgresyonun ürünüdür. Bir diğer deyişle deniz Erken Miyosen sonunda çekilmiş Orta Miyosen başında ise bölgeyi yeniden istilaya başlamıştır (Şekil 19).

Misis-Andırınlara dahil olan Miyosen çökel istifi ile Maraş-İskenderun çökel istifi arasındaki ilişki hemen her kesimde faylı görülmektedir. Çoğunlukla Aslantaş-Karataş formasyonları topluca Maraş Orta Miyosen istifi üzerine yüksek açılı ters faylarla itilmiş olarak görülmektedir (Şekil 11).

Engizek dağlarında yer alan nap alanının güney kesiminde de Orta Miyosen çökel istifi, Erken Miyosenin devamı halindedir. Bu kesimde Orta Miyosende çökelme yoğun ince ve yersel bir konglomeratla başlayıp resif çökellerine (Athit fm.) geçmektedir. Resif kireçtaşının yanal yönde incelip bittiği kesimlerde onun yerini kırmızılı çökeller almaktadır (Şekil 9). Erken Miyosen ile Orta Miyosen arasında belirgin bir ke-

silik olmadığı için bir sınır çizmek güçtür. Çünkü bu iki döneme ait çökeller arasında farkedilir bir diskordans yoktur. Bu alanda havzanın gü-

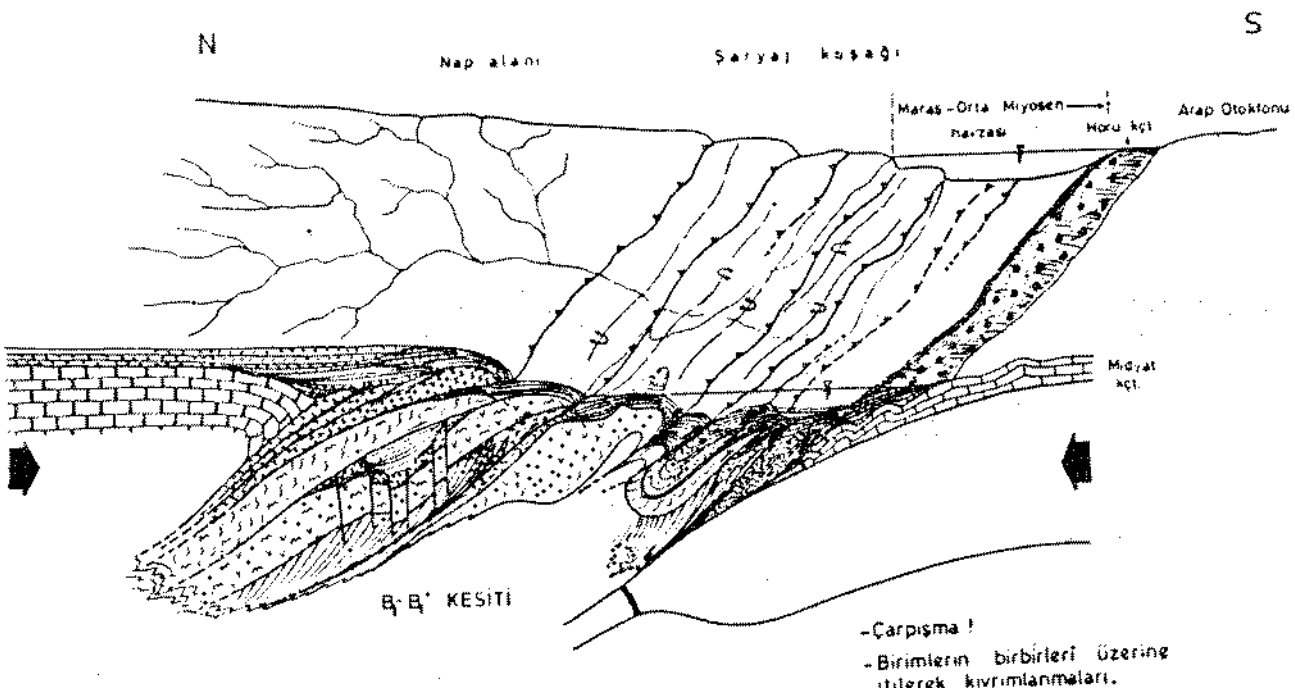


Şekil 16 : İnceleme alanının Orta Miyosen başındaki jeoloji evrimini gösteren taslaç paleojeoloji haritası (Ölçeksziz).

Figure 16 : The paleogeological map showing the investigated area during Middle Miocene (Not to scale).

Orojenik kusatka N-S sıkışma, saryaj ve kırırm kusatının gelişmesine neden olmaktadır (Şekil 16, 17), deniz bu alandan daha W ve SW yönünde geldiklerken yerini karasal ortama bırakmaktadır.

ORTA MIYosen



Şekil 17 : İnceleme alanının Orta Miyosendeki jeolojik gelişimini gösterir blok diyagram.

Figure 17 : Block diagram showing the geological evolution of the investigated area during Middle Miocene.

Şekil 15'te devam ettiği gösterilen reyjonal kuzey-güney sıkışma sistemine bağlı olarak bölge karasal hale gelmiş bu sıkışma sistemi kıvrılma ve şaryajlanmalarla telafi edilmeye başlamıştır. Bu gelişim, bölgenin bugünkü yapısal iskeletinin ortaya çıkışmasına neden olmuştur. Bölgede varlığı tanınan üç farklı yapısal kuşak blok diyagramda ayıredilmektedir. Kuzeyde ana itilme cephesinden itibaren devam eden bölge, nap alanıdır. Otokton ile nap alanı arasında yeralan kuşak ise şaryaj zonudur (Cephe şaryajları).

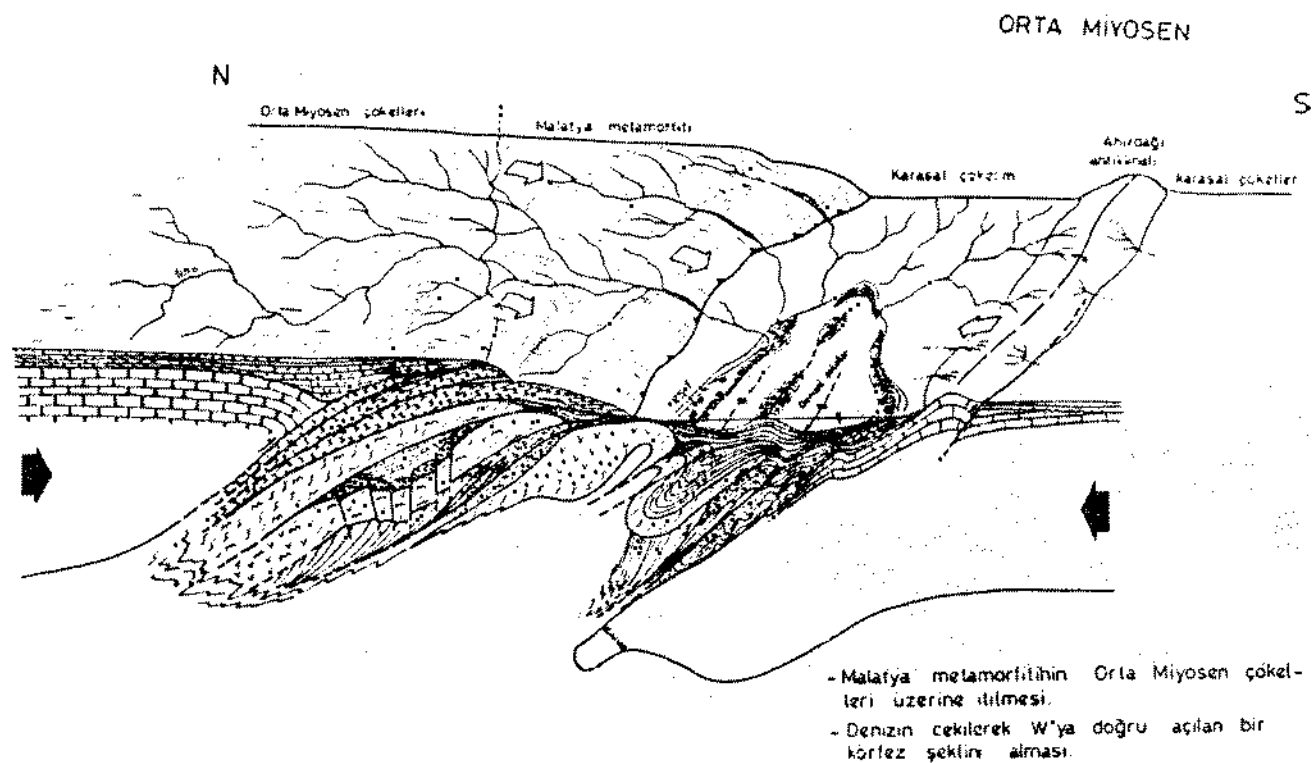
neyindeki gibi bir karasal birim (örneğin, Ahır dağının üzerinde görülen kırmızı karasal çökeller) yoktur. Karasal dönem ya hiç gelişmemiştir, ya da istifte kolay farkedilemeyen bir stratigrafik lagünle temsil edilmektedir.

Napların güney cephesi Orta Miyosen havzasının (?) kuzey kenarını, Ahır dağı dolayı ise güney kenarını temsil etmektedirler. Bu çökelleşmeden sonra da devam eden kuzey-güney kompresif rejim bavzanm güney ve kuzeyini temsil eden çökelleri kıvrıp, faylayarak bunların aralarındaki yanal geçişlerin izlendiği sürekliği sık sık kesiklige uğratmıştır.

Karasal Ortam : Ahır dağının kuzey yamacından, doğu yönünde ilerlediğinde Alt Miyosen regresif istifisi üzerinde açısız gelişen transgresif Orta Miyosen istifisinin yerini, içinde birkaç denizel ince katının tanıdığı kırmızı kara-

sal çökellerin aldığı görülmektedir. Bu karasal çökeller yüzlerce metre kalınlığa ulaşmaktadır. Batıdan doğuya doğru, denizel ortamdan kara-sala geçiş tedricidir (Şekil 13, 18).

Kaleköy-Beşenli köyü dolayından başlayarak doğu ve güneydoğu yönünde yaygınca geliştiği görülen ve kırmızı-beyaz renk ardalanmasıyla dikkati çeken bu istifin alt kesimleri çokluklukla göl ve akarsu çökelleriyle temsil edilir. İçlerinde birkaç seyrek denizel çökel vardır. İstifte daha üst kesimler bütünüyle fluviyatıldır. Bu istifin gelişimi, bölgenin deniz çekilmesiyle tedricen yükseldiğini belli etmektedir. Regres yonun karasala geçen ilk döneminde bölgenin peneplene yakını düzülüklerdenoluştugu gölsel çökellerin ve denizel katkiların varlığından anlaşılmaktadır. Bölgenin özellikle Ahır dağı çizgisinden itibaren güney alanlara doğru hızlı yük-



Sekil 18 : İnceleme alanının Orta Miyosendeki jeolojik gelişimini gösterir blok diyagram (Şekil 17'den bir sonraki adım)

Figure 18 : Block diagram showing the geological evolution of the investigated area during Middle Miocene.

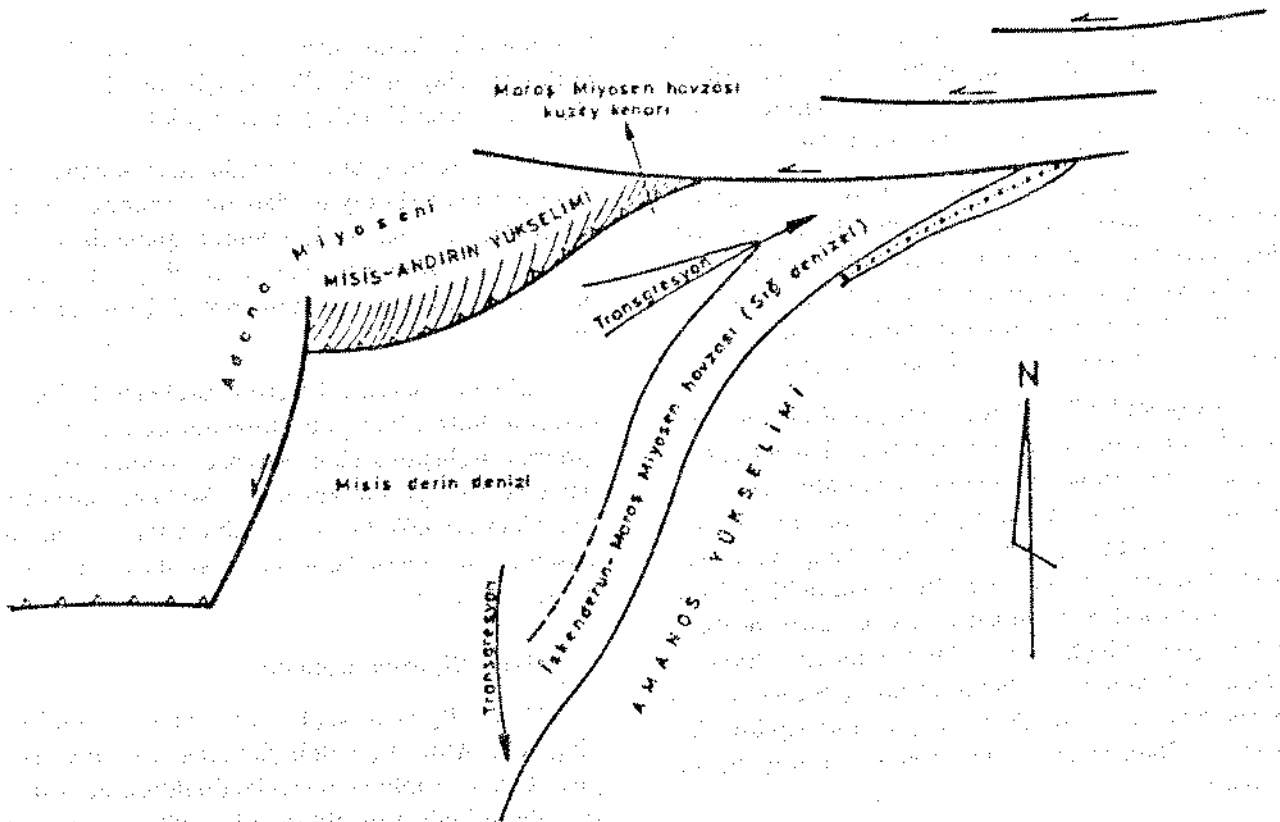
Şekil 17'den hemen sonraki bu dönemde şaryaj zonunun karasal ortam haline gelmesi, karassal ortamın batı yönünde sıkışmanın henüz tam anlamıyla gelişmediği yörelerde denizel ortama geçiş, nap alanında Miyosen çökellerinin aşındırılarak Malatya metamorfisinin yüzeylenmesi gösterilmektedir. Şekilde, otoktonun Ahır dağı alanında kıvrılarak Ahır dağı antiklinalinin olusutaması, antiklinalin güney kanadı yönünde ters faylanarak Ahır dağının morfolojik bir yükselm halinde yükselmeye başlaması gösterilmektedir.

selmesi, kaba kıritmaların yer aldığı kalın karasal çökel depolarının oluşmasına yol açmıştır. Bu gelişmenin ortaya koyduğu verilere göre, bölge sıçan denizden lagünere, daha sonra alüvyon yelpazelerinin yaygınca geliştiği bir ortam haline gelmiş, daha sonra da hızla yükselmiştir.

Orta Miyosen karasal konglomeraları Andırı kazasından batıya giderek kalınlaşmakta olup Savrun çayı batisında yeralan kuzey-güney gidişli dağ sırasının üzerinde birkaç yüz metre kalınlıkta bir istif halindedir. Çiçekli-Savrun fay zonu boyunca, bu konglomera istifinin varlığı bu kesimde dağ kuşağının yükselmesinin Orta Miyosen'den sonra gerçekleştiğini göstermektedir. Orta Miyosen'de ise batı alanlar

bu bölgeye nazaran daha güney ve güneydoğu yeralan bir denizel ortama, karasal gerecin taşıdığı (drene edildiği) çok yüksek olmayan bir yükselm alanı halindedir.

Cök kalın bir istif oluşturan bu konglomeralar bölgenin düzenli bir biçimde yükseldiğini ortaya koymaktadır. Bu yükselmelerin gelişmesine yanal atımlı, sıçramalı (en-echelon) N-S fay sisteminin neden olduğu anlaşılmaktadır (Şekil 19). Faylar, geliş yönlerinde yükselm oluşturarak, önlerindeki alçak alanlara kalın konglomera depolarının yükselimine yol açmıştır. Yer yer 500 m. yi bulan bu çakıltaları, diller halinde kumtaşlarının içlerine doğru sokulmuşlardır.



Sekil 19 : Orta Miyosende bölgenin jeolojik ve yapısal konumunu gösterir taslaik paleojeoloji haritası (Ölçeksziz).

Figure 19 : The paleogeological map showing the geological and structural situations of the investigated area during Middle Miocene (Not to scale).

III. JEOLOJİK EVRİM

Oligosen - Erken Miyosen Dönemi

Güneyde Suriye sınırından; kuzeyde Engizek-Berit-Andırın dağlarına kadar geniş yayılmış sunan Miyosen çökelme çanak(lar)ının evrimi, Neotetisin Güney Kolu (Şengör, Yılmaz, 1981) nun kapanmaya başlamasıyla yakından ilişkilidir. Okyanusal kolun kapanma süreci ile inceleme alanında yer alan Miyosen çökel istiflerinin gelişimi birbirleriyle sebep-sonuç ilişkileri sunarlar.

Eosende okyanus tabanının dalıp batarak tüketilmesi sonucunda farklı tektonik birlikler birbirlerine yakınlaştırılmıştır (Yılmaz v.d. 1987). Okyanusal levhanın tüketilmesine rağmen bölgede denizel ortamı varlığını korumuştur. Bunu giderek sağlamasına rağmen denizel çökelimin sürekliliğinden anlıyoruz.

Okyanus tabanının tüketilmesinden sonra da N-S kompresyonel rejimin devam etmekte olduğu anlaşılmaktadır. Çünkü bu dönemde Misis Andırın kuşağında, Toroslara ait bazı Mesozoyik platform dilimleri (Andırın kct.), sırında taşıdıkları çökel istifleriyle birlikte bu bölgenin yerli Oligosen çökelleri üzerine ilerlemiştir. İtilmenin ulaşamadığı kesinlerde yerli çökelme kesiksiz olarak devam etmiştir (Şekil 9).

Kuzey-Güney kompresyon'a bağlı olarak gelişen sıkışma ve kısalma, önce bölgeyi topluca yükseltmeye başlamıştır (Şekil 12,15). Yükselme, denizel ortamın giderek sağlamasına yol açmıştır. Denizel ortamın çekilmesiyle karaya çıkan otokton birimler, bu dönemde aşındırılmaya başlamıştır. Bu esnada kuzeyde ise denizel ortam, sağlamakla birlikte varlığını sürdürmektedir. Denizel bu kesimlerin karasal hale gelmeleri, Orta Miyosendedir. Bu süre zar-

funda otoktonun kara haline gelen, sıkışarak yükselen ve kemerlenip eğitti kazanan güney kesimleri, Orta Miyosen karasal birimleri tarafından açısal uyumsuzlukla aşılmıştır.

Otoktonda, denizel ortamın rejyonal ölçekte sağlaşmaya başlamasının ilk verisi, Çağlayancerit (Fırat) formasyonu adı verilen anahat bir düzeyin gelişmesidir. (Şekil 7). Bu birim, marnlı, çörtlü, pelajik fosilli birimleri izleyen neritik ve yer yer resifal bir kireçtaşıdır.

Rejyonal yükseliş nedeniyle Engizek napları ile otokton arasında yer alan denizel ortam sağlaşıırken, alloktonu örten Erken Miyosen denizi de, sıkışmağa bağlı rejyonal yükselme ile çekilerek, yerini regresif istiflere (Çağlayancerit-Lice fm.ları) bırakmıştır. Bu kesimdeki yükselme, otoktondakine nazaran daha hızlı ve daha önce gerçekleştiğinden, bu kesimdeki karasal konglomeralarla bunların yanal eşdeğeri resifal kireçtaşlarının (Athık kct.) gökelimi (Şekil 15). Erken Miyosen sonunda (Erken Langiyen) olmuştur.

Allokton kütlelerin otokton üzerine ilerlemeleri, otokton karbonat birimleri (Midyat fm.) üzerinde kırtıtlardan oluşan fliş benzeri bir birimin gelişmesine neden olmuştur (Lice fm.) (Şekil 7, 12). Allokton kütlelerin güney sınırı ile otokton arasındaki ortamda gelişen bu türbiditik birim, sıkışma sistemi nedeniyle giderek sağlaşılan bir ortamın varlığını göstermektedir. Allokton kütleler de bu sıkışma sistemine bağlı olarak, kendi içlerinde şaryajlamp kuzeyden güneye doğru yükselmeye başlamışlardır. Bu gelişmenin sonucunda, Lice türbiditik istifine, daha yaşlı ve alta olup da itilerek üste doğru yükselen nap dilimlerinden malzeme gelmiştir.

Lice formasyonu bu dönemde olasılıkla, ilerleyen allokton ile otoktonun şevi arasında gelişen bir çizgisel fliş havzası gökelleriyle, buna kuzeyden kanallarla katılan kaba klastiklerin dil ve yelpazelerinden oluşmaktadır (Şekil 12). Aynı sürede otoktonun en güney denizel sınırında ise regresif istifler ve resifler gelişmiştir (Şekil 7, 15).

Orojenik kuşakta bu rejim, denizel ortamın tamamen kapanmasına yol açacak bir düzende gelişirken, Misislerin bulunduğu ve sıkışma sis-

teminden bu kadar etkilendememiş olan güney alanlarda, olağan bir fliş, gelişimini sürdürmüştür (Aslantaş-Karataş fm.) (Şekil 10, 14).

Lice formasyonu, burada ileri sürülen görüğe nazaran tümüyle denizin kapanma döneminde ve sıkışma rejimi içinde gelişmiş bir biriindir. Bu özelliği nedeniyle de oluşumu genetik olarak bir molas gökelimi gibi değerlendirilebilir.

Sıkışma sistemi, Engizek cephesinde denizel ortamın bütünüyle yokmasına kadar sürmüştür, giderek sağlaşılan Erken Miyosen denizi, regresif bir düzende yerini karasal gökellerle bırakmıştır. Karasal gökellerin gelişim yaşı Erken Miyosen sonu - Orta Miyosen başı olarak verilebilir (Şekil 7, 9).

Orta Miyosen Dönemi

Orta Miyosen yaşı olup Misis, Andırın, Engizek, Ahır dağı dolaylarında yer alan fasyes dizileri topluca değerlendirildiğinde tartışma bölümünde tanıtıldığı gibi bölgede bir ucta derin bir denizden (örg., Misis dolayları ve Doğu Akdeniz), diğer ucta karaya kadar geçen ortamların bölgede denizel ortam varlığını güneyde korurken, buna göre daha kuzey alanlarda ortam giderek daha sığ ve kara halini almaktadır. Kuzey-güney sıkışma, bu koşullarda batı yönünde bir deniz çekilmesine yol açmaktadır (Şekil 13, 16). Ancak daha sonra yeni bir denizel istif gelişmeye başlamıştır. Bu transgresif istife nazaran yanal yönde denizin henüz ulaşmadığı kesimlerde (Örg., Ahır dağı doğu ve güneydoğusu gibi alanlarda) ortam, karasal niteliğini korumuştur (Şekil 13, 16, 19).

Misis dağlarının doğusundaki alanlarda yer alan denizel ortam Miyosen döneminde onun daha doğusunda bulunan Arap platformıyla sınırlı olduğu için bu derin denizel ortamın daba sığım ve sahilini ise Amanos dağları ile onun kuzey devamı niteliğinde olan Ahır dağları oluşturmaktadır (Şekil 13, 14).

Yukarıda tanıtılan istifler birlikte ele alınıp değerlendirilirse Orta Miyosende Maraş dolayında bir havzanın açılıp açılmadığı sorusu akla gelmektedir. Böyle bir havza açılması sorununun denetlenmesi için havzanın karşılıklı kesim-

lerinde gelişen istiflere bakmak gereklidir. Buna bakıldığından ise örneğin; Orta Miyosende Misislerdeki istif bu alanlarda yeni bir açılmanın gelişmediğini, giderek sıklaşan bir istifin oluştuğunu göstermektedir (Şekil 13, 14). Denizel çökelleme bu alanda sürekli olmuştur. Gerçekten de Misis-Andırın birliği ancak Orta Miyosen sonunda yükselerdek kara halini almıştır. O halde, Andırın ve Engizek birliklerinde görülen yeni transgresyon, yeni bir çanağın açılmasının ürünü olmaktan çok Erken Miyosen sonunda bu alandan çekilen bir denizin Orta Miyosende bölgeyi yeniden istila etmesinin sonucu olarak değerlendirilebilir.

İnceleme alanı, Erken Miyosenden itibaren devam etmekte olan kuzey-güney kompresif sistemin etkisi altındadır. Bu kompresif stres bölgeyi sıkıştırıp yükselterek, Erken Miyosen denizinin giderek sıklaşmasına yol açmış (Şekil 13, 14, 15, 16) ve şaryaj cephesi ile Arap platformu (Ahır dağı) arasında kalan bölgede regresif istifleri geliştirmiştir. Sıkışmanın en fazla olduğu bu alanın doğu kesiminde yükselme daha hızlı olduğundan bölge daha önce kara halini almıştır.

Şaryaj cephesinde sık denizelden karasala geçen bu ortam batı ve güneybatı yönünde denizel niteliğini daha bir müddet koruyabilmiştir (Şekil 13, 14, 15, 16). Kompresyonun devam etmesi ve bölgenin daha da yükselmesi Erken Miyosen çökellerinin de kemerlenmesine ve kıvrılmasına yol açmıştır (Şekil 17).

Alloktonların, otokton üzerinde ilerlemeleri ve sıkışma ileri düzeye ulaşınca bölge, şaryaj cephesini her kesiminde karasal bir ortama dönüştürmiş ve çökelen birimler de kıvrılmaya ve faylanmaya başlamıştır. Sıkışma sistemi şaryajlarla daha fazla telafi edilemeyecek bir düzeye ulaşınca, hâlâ varlığını koruyan ve sıkışmadan kurtulmuş batı bölgelerdeki denizel ortama doğru sistem, yanal atımlı faylarla kaçarak telafi edilmeye başlamıştır (Şekil 19). Bunun sonucunda aşmalı (en-echelon) yanal atımlı faylar gelişmeye başlamıştır. Bu yüzden şaryaj zonunda metamorfik kütlelerin cephesi çoğun, şaryajların varlığını maskeleyen yanal atımlı faylarla kesilmiştir. Bu yanal atımlı fayların sıçrama yaptığı yörelerde, şaryajların izleri de açıkça görülmektedir (Şekil 1).

Bu gelişmenin sonucunda sıkışarak sıkıştırmış Ahır dağı, şaryaj cephesi ve Andırın bölgeleri arasındaki alan, sol yanal atımlarla batı yönünde ilerleyen blok hareketinin bölgede yol açtığı bir genişleme sisteme yerini bırakmıştır (Şekil 19). Böylece önce bölgeden çekilmiş olan deniz, gerilerek alçalmakta olan bu zonu tekrar istila etmeye başlamıştır.

Kompresif rejim, şaryaj cephesini bu sürede bile hızla sıkışmaya zorladığından bu kesimde kıvrılan Erken Miyosen çökellerinin senkinal eksenleri boyunca içlerine Orta Miyosen denizi "en-echelon" kollar halinde sokulmuş ve göllennmiş türbiditleri (ponded turbidite) geliştirmiştir. Bu rejim özellikle havza ortasında hızlı yanal fasiyes gelişimlerine ve havzanın kaba regreplerle dolmasına neden olmuştur. Bu doğu-batı kıvrımların gelişmesi, önceleri E-W gidişli olan sahil çizgisinin yerini karasal ortamda E-W gidişli akarsu sisteminin almasına yol açmıştır (Şekil 18). Denizel Orta Miyosen istifi içindeki kahn kanal dolguları ile yanal atımlı sistemin gelişimi arasında bu yüzden bir paralellik kurulabilir. Çünkü, ani yükselen kütleler gereç sağlayarak ve kendi sınırladığı alanlarda kannalar geliştirerek bu gelişimi sağlamış olabilirler (Şekil 17).

Orta Miyosen'deki yeni deniz ilerlemesinin aslında devam eden N-S sıkışma sistemi esnasında gelişmiş olduğunun diğer bir verisi de Orta Miyosen başında, bölgenin yükselerdek kara halini aldığı dönemde geliştiği görülen bazaltik volkanizmadır. Bu volkanizma bölgeyi sıkıştırın N-S sıkışmaya uygun olan N-S gidişli açılma çatlakları boyunca çıkmış ve bölgedeki şaryaj sistemlerinin yanal atımlı sistemlere geçerkenki sıçrama yaptığı basınç serbestlenmesi alanında gelişmiştir.

TEŞEKKÜR

Bu inceleme 1981 yılında başlayıp 1987 yılında sona eren, 6 yıl süren ve 1/25.000 ölçekli yaklaşık 65 pafta harita alanını içeren geniş boyutlu bir çalışmanın küçük bir kısmıyla ilgilidir. Bu araştırmaların yapılmasında gerçek bir bilimsel olaya bakan ve her türlü imkanı sağlayan TPAO'na Genel Müdürleri Sayın Özel ALTAN ve Arama Grubu Başkanı Sayın Ozan

SUNGURLU'nun şahsında şükranlarımız son-suzdur.

Miyosen çökelleriyle ilgili bilgilerimizin o-luşumunda birçok yerbilimci meslektaşımızın değerli katkıları vardır. Özellikle Hüseyin KOZLU, M. Ali GÜL, Cengiz YETİŞ, Mustafa YILDIRIM, Can GENÇ ve Mehmet KESKİN'e teşekkür ederiz.

Tüm Miyosen birimlerine ait paleontolojik deskripsiyonlar TPAO Araştırma Grubu tarafından yapılmıştır. Özellikle Maraş dolayındaki Miyosen istiflerinin paleontolojik tayinlerinin bir bölümünü Prof. Dr. Atife DİZER ve Yrd. Doç. Dr. Izver TANSEL yapmışlardır. Dr. Mehmet SAKINÇ yaş konaklarının tayininde önemli katkılarda bulunmuştur. Kendilerine teşekkürü bir borç biliriz.

Yayına giren şekilleri çizen Reyhan YİĞİTBAS'a ayrıca teşekkür ederiz.

KAYNAKÇALAR

- Erentöz, C.; 1955; Kışlaköy strütürü; MTA Enst. Bult., n. 46-47, s. 1-21.
- Kozlu, H.; 1982; İskenderun basenin jeolojisi ve petrol olanakları; TPAO rapor no. 118, yayınlanmamış.
- Kozlu, H.; 1987; Misis Andının dolaylarının stratigrafisi ve yapısal evrimi; Türkiye 7. Petrol Kongresi, s. 104-116.
- Sengör, A.M.C., Yılmaz, Y.; 1981; Tethyan evolution of Turkey; A plate tectonic approach; Tectonophysics, v. 75, p. 181-241.
- Yılmaz, Y.; 1984; Amanos dağlarının jeolojisi; TPAO rapor no. 1920, c. 1-4, 581 s., yayınlanmamış.
- Yılmaz, Y., Gürpinar, O., Kozlu, H., Gül, M.A., Yiğitbaş, E., Yıldırım, M., Genç, C., Keskin M.; 1987; Maraş kuzeyinin jeolojisi; TPAO rapor no 2028, c. 1-3, yayınlanmamış.

Kargı Masifi ve Dolaylarında Mesozoyik Tektonik Birliklerinin Düzenlenmeleri Sorununa Bir Yaklaşım

An Approach to the Problem of Reconstructing the Mesozoic Tectonic Units in the Kargı Massif and Its Surroundings

YÜCEL YILMAZ* ve OKAN TÜYSÜZ**

ÖZ

Kargı Masifi adıyla tanınan birlik bjr metamorfik kayalar topluluğudur. Bu toplulukta metamorfizmaya uğramış ofiyolitik kayalar ö-nemli yer tutarlar. Masifin klasikleşmiş masif yapısına benzemeyen bir litolojik ve iç düzenlenim farklılığı vardır. Bu masifte bir eski çekirdek ile onun gököl ortası gibi sade bir düzenlenim yoktur. Masif, zaman içinde birbirine ekle-ne tektonik birliklerden gitgide büyütürek ge-lişmiştir.

Masif ve dolayında farklı iki ofiyolotik ka-ya topluluğu ayrt edilmektedir. Bunlardan ya-shı olanı Malm öncesinde, genç oları ise Geç Kre-tase sonu-Paleosen'de bölgeye yerleşmiştir.

Ofiyolitlerin bölgeye yerleşmelerinden önceki konumlarını belirlemek amacıyla, genç yapı unsurları yok edildip aynı döneme ait Mesozoyik fasiyes serileri belirlenip birbirleriyle olan ilişkileri ve bağlı yerleri incelediğinde şn durum görülmektedir; Mesozoyik başında kuzeyde bir okyanus ve onun güneyinde bjr kta yer almaktadır. Mesozoyik sonda kıtanın bulunduğu yere nazaran kuzeydeki okyanus yokolmuş, güneyde başka bir okyanus gelişmiştir.

Bu yazida, Mesozoyik fasiyes serilerinin ö-zellikleri, konumları ve tektonik anamları tar-ışılarak bunların belirledikleri paleocoğrafik düzenleme tanımlmaktadır.

(*) Yücel Yılmaz : İ.T.Ü. Maden Fak. Jeoloji Müh. Bölümü, İstanbul.

(**) Okan Tüysüz : İ.U. Müh. Fak. Jeoloji Müh. Bölümü, İstanbul.

ABSTRACT

The Kargı massif consists primarily of metamorphic rocks. Among them occurs a considerable amount of metamorphosed ophiolitic and associated lithologies. The Kargı massif is different from the other well-known massifs of Turkey such as the Menderes and Bitlis massifs, in its internal arrangement in the sense that it is not composed of a core and an envelope-like simple structural frame. Instead, it appears to have progressively grown by the addition of new tectonic units.

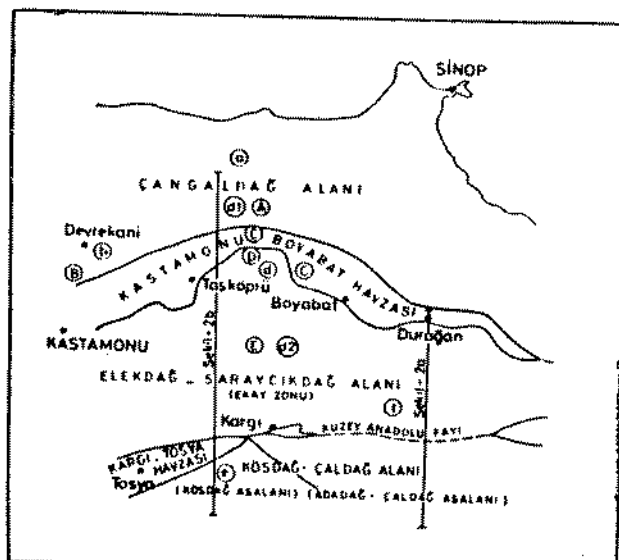
Two different ophiolitic assemblages are distinguished in the massif and its immediate surroundings. The older of the two was obducted before Malm and, the younger one, before the Late Cretaceous-Paleocene.

In this study eliminating the young structural elements, the Mesozoic facies series are compared in order to establish the paleogeographic environments at different intervals. As a result of this, paleogeography of the region were reconstructed in the light of that, during the Early Mesozoic there was an oceanic environment in the north with respect to a southern continent, located roughly in the present Black Sea mountain ranges. This ocean was consumed, and closed as a result of a southward subduction and, a new ocean began to develope in the south of the continent.

JEOLOJİK KONUM

Kuzey Anadolu'nun en geniş yayılımlı ma-sifi olan Kargı masifi, diğer büyük masiflerde görülen, çekirdek ve kılif birimlerinden oluşan alışılagelmiş sade bir masif yapısına sahip de-

ğildir. Aksine masif, doğu-batı uzanımlı farklı tektonik unsurların birbirine eklenmesi sonucu gelişmiş bir mozayik halindedir. Günümüzde masifin yer aldığı alanlarda farklı yapısal niteliklere sahip olan ve içlerinde farklı kaya grupları ve yaşı ilişkilerinin ayırtlanıldığı birtakım kuşaklar vardır. Bu kuşaklar kuzeyden güneye doğru Çangaldağ yükseltimi, Kastamonu-Boyabat alçalımı, Elekdağ-Saraycıkdağ yükseltimi, Kargı-Tosya alçalımı, Çaldağ-Adadağ yükseltimi ve Osmancık alçalımı olarak adlandırılmıştır (Yılmaz ve Tüysüz, baskıda) (Şekil 1).



Şekil 1 : Kargı masifinin yapısal kuşaklarını gösterir harita

- a) Sütün kesit yeri ve numarası
- Enine kesit yeri ve numarası

Figure 1 : The map showing the structural belts of the Kargı massif.

- a) Locations of the columnar sections
- Geologic cross section directions

Kuzeyden güneye doğru ayrılan bu kuşaklar içinde, masife dahil edilen farklı birimler, Çangaldağ alanında Malm, Kastamonu - Boyabat havzasında Geç Kretase, Elekdağ-Saraycıkdağ alanında Paleosen, Çaldağ-Adadağ alanında ise Eosen çökelleri ile birincil olarak örtülmektedir. Yani masif kuzeyden güneye doğru zaman içerisinde çeşitli birliliklerin birbirine eklenmesi ile büyülüyerek günümüzdeki konumuna erişmiştir.

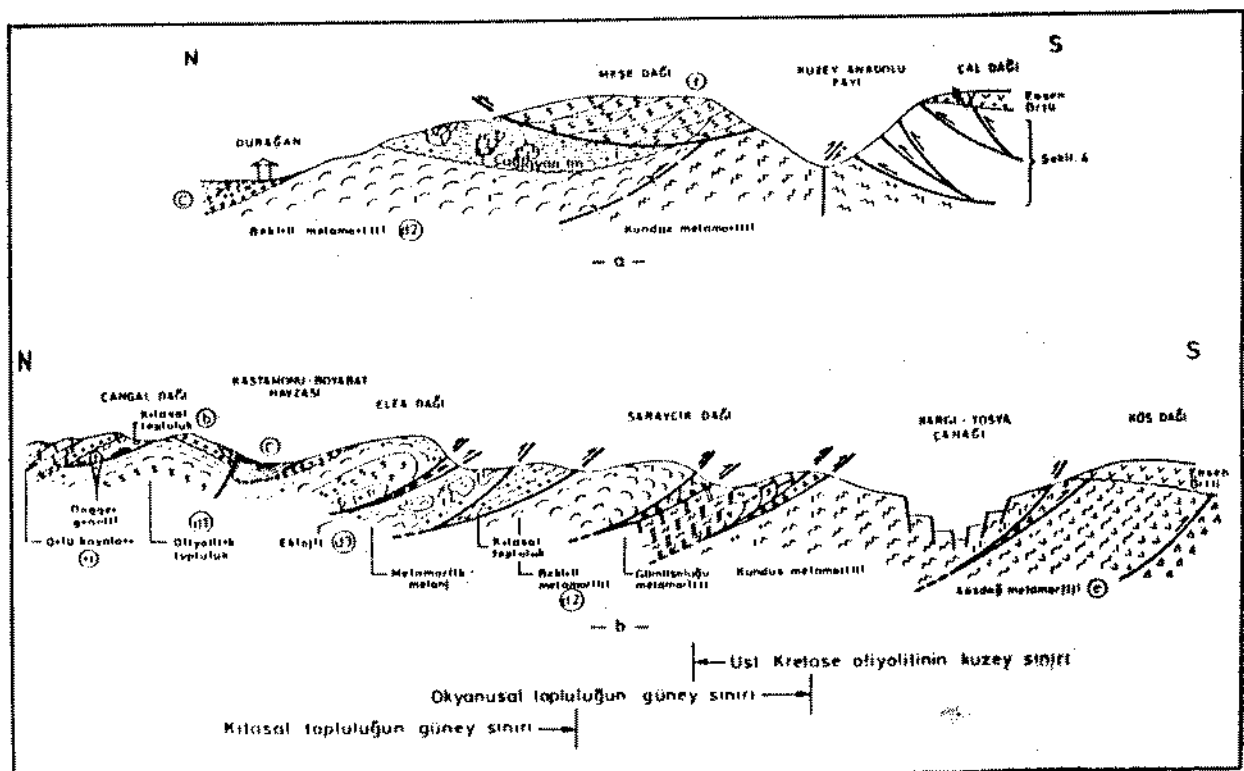
Kargı masifinin kuzey kesimindeki Çangaldağ alanı doğu - batı uzanımlı büyük bir antikinal halindedir. Antikinalın ce-

kirdeğinde üç farklı topluluk vardır. Yapısal olarak en alta yer alan düşük dereceli metamorfik ofiyolitik topluluk, hipabisal kaya lar ve bazik lavlardan başlayarak bazik lav katlı şeyl, pelajik çamurtaşı gibi derin denizel gökkellere geçen düzenli bir dizi halindedir. Bu dizinin en üst kesimleri ise Liyas yaşı epiofyolotik bir fliş istifine tecdiren geçmektedir (Yılmaz ve Tüysüz, 1984) (Şekil 3d). Bu ofiyolitik topluluk üzerine Paleozoyik yaşı kitasal bir topluluk itilerek yerleşmiştir (Şekil 2). Gnays, kuvarsit ve mermer ile temsil edilen ileri derecede metamorfik bu kitasal birimin (Şekil 3b) ofiyolit topluluğu üzerine yerleşmesi Liyas sonu-Dogger başı arasında gerçekleşmiştir. Antikinalın çekirdeğinde yer alan üçüncü birim ise Dogger yaşı post-tektonik intrüsif bir granitik topluluktur. Granit, kitasal metamorfitler ile metaofiyoliti (okyanusal topluluğu) ve aralarındaki şaryaj düzlemini kesmektedir (Yılmaz, 1979; Yılmaz ve Tüysüz, 1984; Tüysüz, 1985).

Antikinalın bu çekirdek birimleri üzerinde Malm yaşı bir taban konglomerası ile başlayan ve Eosen'e degen süren genelde kesiksiz bir gökel istif vardır (Şekil 3a). Bu istifte Geç Kretase'den itibaren başlayan yaygın bir volkanik aktivite görülmektedir.

Çangaldağ antikinalının çekirdek birimlerinde en az iki fazlı bir deformasyonun etkileri tanınmaktadır. Örtü birimlerinde ise doğu-batı eksen uzanımlı simetrik kıvrımlar egemen yapı unsurudur. Çekirdeğin Dogger öncesinde gelişen bu üç birimi ile aralarındaki yapısal ilişki, antikinalın Alpin yapısının çekirdeğinde mostra vermektedir. Zaman stratigrafik ve yapısal olarak gözetildiğinde Alpin yaşı büyük antikinalın çekirdek birimleri aynı zamanda Kargı masifinin de çekirdeğini oluşturmaktadır.

Kastamonu-Boyabat düzliğinde yer alan Geç Kretase-Oligosen yaşı gökel ve volkanik topluluk, (Şekil 3c) doğu-batı eksen uzanımlı bir asimetrik senkinal oluşturur. Geç Kretase yaşı pelajik bir kireçtaşı ile başlayıp Geç Kretase Paleosen yaşı volkanik-vulkanojenik birimlere geçen ve Eosen-Oligosen yaşı sığ denizel-karasal çökellerle sona eren bu bavza birimlerinin tabanında kuzey ve güneyde yer alan Geç Kretase öncesi birimler birbirlerinin doğal devamı ba-



Sekil 2 : Kargı masifinin doğu (a) ve batı (b) kesimlerine ait jeoloji enine kesitleri

f) **Şekil 3'teki sütun kesit numarası**

Figure 2 : The geologic cross sections of the eastern (a) and the western part of the Kargı massif.
f) The columnar section number in figure-3.

lindedir. Yani bu havza, masifin birimleri üzerinde Geç Kretasede gelişmeye başlamıştır.

Kastamonu-Boyabat havzası, havza çökel lerinin niteliği bakımından, ada yayları ile iliş kili havzalara has özellikler sergilemektedir. Havzada Geç Kretasede görülen volkanik etkinlik bu yaya bağlı olarak gelişmiştir. Geç Kretase sonu-Paleosen'den itibaren magmatik etkinlik güney alanlara kayarak havzayı terketmiştir (Yılmaz ve Tuysuz, 1984; Tuysuz, 1985).

Havzanın güneyindeki istifte, Geç Kretase çökellerinin bulunması bu dönemde bu bölge de önemli bir yükselenmenin var olduğunu, Paleosen'de ise havza ekseninin güneye doğru göctüğü ve bu yükselişi aştığını belirtmektedir. Bu göç, magmatik eksenin göçmesi ile yaşıt olmalıdır. Bu dönemde havza, kuzeyde Çangaldağı, güneyde ise Elekdağ yükseltimleri arasındaki bir senkinal yapı içinde yer almaktadır.

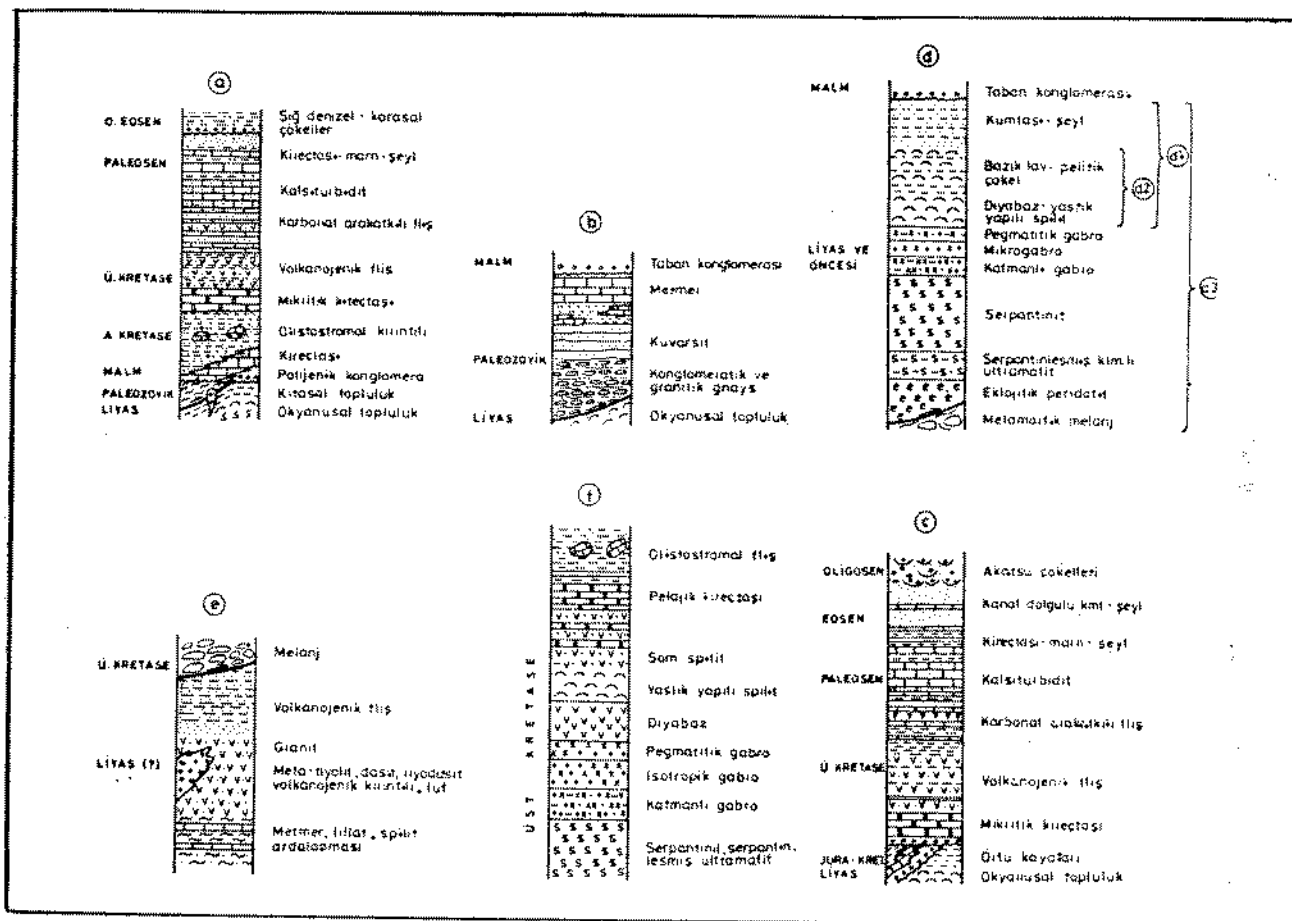
Mağmatik eksenin güneye göçmesi ile bir yayarası veya yay arası havza niteliği kazanın

bölge giderek yükselmiş ve sağlamış, Oligosen sonunda ise tümüyle kara haline gelmiştir. Erken Miyosen(?) de ise bölgede blok faylanmalar gelişmiş, böylece alçalan havza günümüzdeki niteliğini kazanmıştır.

Elekdağ-Saraycıkdağ yükseltimi, farklı tür ve yaştaki kaya topluluklarının birbiri üzerine itildiği kuzeye eğimli bir ekay zonu halindedir (Şekil 2). Bu zonda Geç Kretase yaşı ofiyolitik ve epi-ofiyolitik birimleri, Liyas ve daha yaşı birimler içerisinde ve arasında farklı kalınlıklarda dilimler halinde bulunduğu görülür.

Liyas ve öncesi yaşı metamorfik lav-çökel ardalanmaları ve karasal bir çökel istifinden oluşmaktadır.

Elekdağ-Saraycıkdağ yükseltiminin en kuzeyinde yer alan Elekdağ antiformunda metamorfizmaya uğramış düzenli bir ofiyolitik dizi görülmektedir (Şekil 3d). Dizi alttan üstte doğru serpantinleşmiş ultramafit, katmanlı, isotropik ve pegmatitik gabrolar, diyabaz ve spilitik me-



Sekil 3 : Kargı masifinin temel ve orta birimlerine划分 sürtün kesitler (Olceksiz).

Figure 3 : The stratigraphic sections of the basement and the cover units of the Kergi massif. (Not to scale).

talavlardan oluşur. Dağın kuzey yamacında metabazit ve metapelitlerden oluşan epi-ofiyolitik birimler vardır. Üst düzeylerinde kalkşist arakatkıları da içeren bu çökel örtü, kuzeyde Çangaldağ antiklinalinin çekirdeğinde tanıtılan epi-ofiyolitik birimlerle aynı özelliklerdedir.

Ofiyolitik ve epi-ofiyolitik birimlerin metamorfizmasında basınç etkisi güneye yani istifin altına doğru giderek artmakta ve mavişist fasyesine ulaşmaktadır (Tüysüz, 1985, 1986). Ofiyolitin altında ise eklojite blokları içeren ultaramafik kayalar vardır.

Ofiyolit dizisi, tabanındaki eklojît blokları içeren bir zon boyunca güneydeki metamorfik bir melanj üzerine itilmiştir. Melanj, bazik mettalavpelitik çökel ardalanmasından oluşan bir bamur ile bu bamur içerisindeki çeşitli boy ve

miktardaki ofiyolitik kaya bloklarından oluşmaktadır. Blokların başlıcaları metaultramafitler, metagabro, bazik metalav ve metaçörtlerdir. Bunların tümü yukarıda tanıtılan düzenli ofiyolit dizisinden derlenmiştir. Karmasığın gelişmesinde sedimanter ve tektonik işlevler etkili olmuştur. Topluluk ofiyolitik bir melanj has özelliklere sahiptir ve Liyas öncesi yaşında olduğunu işaret eden veriler vardır (Yılmaz ve Tüysüz, 1984; Tüysüz, 1985, 1986).

Batı alanlarda metamorfik karmaşık, yapraklanma kazanmış bir kırtılı-karbonat topluluğu üzerine itilmiştir. Başlıca; mermer, siyah şeyl, kuvarsit ve ince kumtaşı ardalanmasından oluşan bu dizi fosil bulgularına göre (Serdar, sözlü görüşme, 1987) Karbonifer başındadır. Bu topluluk Çangaldağ antiklinalinin çekirdeğinde izlenen karasal birimin esdeğeri olup, İstanbul -

Zonguldak Paleozoyik istifinin bir kesimini temsil etmektedir. Doğu alanlarda metamorfik melanj güneşe doğru metamorfik bir bazik lav-pelitik çökel ardalanması üzerine itilmiştir (Şekil 2). Bekirli metamorfiti olarak adlanan (Yılmaz ve Tüysüz, 1984) bu birim tabanda bol granatlı, glokofanlı bazik lavlarla başlamakta, üste doğru bazik lav-pelitik çökel ardalanması ile devam etmektedir. İstifin üstüne doğru çökel katkilar artmakta, bazik lav katkiları ve metamorfizmadaki yüksek basınç etkisi ise giderek azalmaktadır. Çökel özellikleri tanımaya başlayan bu birim fliş benzeri bir topluluğa dönüşmektedir (Şekil 3d). Stratigrafik ve litolojik özelliklerine göre bu istif Elek dağının kuzeyinde ve Çangal dağının çekirdeğindeki lav-çökel ardalanması ve epi-ofiyolitik örtünün eşdeğeridir (Tüysüz, 1985).

Ilgazdağ-Saraycıkdağ hattında çok geniş yayılmış olan Bekirli metamorfiti güneşe doğru izlendiğinde içine Geç Kretase yaşı bir ofiyolitik melanjin tektonik dilimler halinde sokulduğu görülmektedir. Giineye, yani yapışal olarak daha alt düzeylere doğru inildikçe melanj dilimlerinin sayısı ve bu dilimlerin kalınlığı artmaktadır.

Bekirli metamorfiti, Bekirli köyü güneyinde Geç Kretase melanji üzerine, bu ince melanj dilimi ise daha güneyde mermer, amfibolit, bazik lav, pelitik çökel ardalanması ile temsil edilen Gümüşoluğu metamorfiti üzerine itilmiştir. Epi-dotamfibolit fasiyesinde metamorfizmaya uğramış olan bu topluluğun da Liyas öncesi yaşında olduğu kabul edilmektedir (Tüysüz, 1985, 1986). Gümüşoluğu metamorfiti güneşe doğru yine Geç Kretase melanji üzerine itilmiştir.

Tosya kuzeyinde Bekirli metamorfiti ve altındaki Geç Kretase melanji güneşe doğru farklı bir metamorfik birim üzerine itilmiştir. Kunduz metamorfiti olarak adlanan (Yılmaz ve Tüysüz, 1984) bu topluluk tabanda spilitik lavlarla başlar. Lavlar seyrek yastık yapılı bazen masif, çoğunlukla da iyi yapraklı ve çökel arakatkıdır. Bu arakatkalar üste doğru giderek artar. Bunun yanısıra ofiyolit ve mermer blokları ve yanal devamlı mermer arakatkaları da görülür. Taban kesimlerinde yüksek basınç metamorfizmasından etkilenmiş olan bu birim,

Tüysüz'e (1985) göre Malm öncesi dönemde bir kenar havzada gelişmiştir.

Saraycık dağının güney eteklerinden itibaren metamorfik birimler içerisinde ve aralarına tektonik dilimler halinde giren Geç Kretase melanji, serpantinit, gabro, spilit, pelajik kireçtaşı çört gibi ofiyolitik ve epi-ofiyolitik birimlerden kireçtaşı, kumtaşı, çakıltaş gibi farklı çökellerden; fliş tipi kirintılılardan ve şist, mermere gibi metamorfik birimlerden oluşmaktadır. Farklı yaşta ve farklı kökendeki bu litoloji grupları tektonik dilimler ve/veya olistostromal bloklar halinde biraraya gelerek bu ofiyolitik melanji geliştirmiştir. Melanj, ekay zonunun farklı yapışal düzeylerinde tektonik dilimler halinde bulunur. Diğer bir deyişle karmaşığın yerleşmesi, bölgede geniş bir ekay zonunun (yığışım prizması) gelişmesine neden olmuştur. Stratigrafik verilere göre karmaşık, bölgeye Geç Kretase sonu-Paleosen'de yerleşmiştir (Tüysüz, 1985).

Ekay zonu doğuya doğru izlendiğinde, bu zonun metamorfik ve çökel birimleri üzerinde büyük bir klipin varlığı görülür (Şekil 2a). Bu büyük klip batıda Kargı'dan doğuda Vezirköprü'ye yakınına kadar uzanır. Klipin içerisinde ise serpantinleşmiş ultramafit, serpantinit, gabro - diyabaz, spilit pelajik kireçtaşı - çört ve fliş tipi çökellerle temsil edilen ofiyolitik ve epi-ofiyolitik birimlerin birbirleri üzerinde kuzeyden güneşe doğru itildikleri izlenir. Herbir itki diliminin iç düzeni korunmuştur ve bu dilimler birincil konumlarına getirildiklerinde kanların düzenli bir ofiyolit dizisi ile onun epi-ofiyolitik örtüsünün parçaları oldukları anlaşılmaktadır (Şekil 3f). Bu topluluğun pelajik kireçtaşlarından Kampaniyen fosilleri derlenmiştir (Tüysüz, 1985).

Ilgaz-Tosya-Kargı alçalımı Kuzey Anadolu fay sistemine ait fayların büyük bir kısmının içinden geçtiği dar bir çöküntü halindedir. Bu alan içinde Orta Miyosenden başlayıp günümüzde kadar uzanan bir genç çökel istifi vardır. Bu genç çökel havzasının temelinde kuzey ve güneyde Geç Kretase ofiyolitik birimleri ve onlarla bilirke diliplenmiş metamorfitler vardır. Yani havza bu ekay zonu üzerinde gelişmiştir.

Kuzeyde Devrez çayı-Kızılırmak boyunca uzanan Kuzey Anadolu fayı, güneyde Osmancık düzluğu ile sınırlanan Köşdağ-Çaldağ yükselişi, kuzeybatı-güneydoğu uzanımlı Kızılırmak vadisi ile iki asalana ayrılmaktadır (Şekil 1). Batıdaki Köşdağ asalanı kuzeye onun doğusundaki Çaldağ asalanı ise güneye eğimli yapısal unsurlar içerir. İki bölge düşey faylarla ayrılmaktadır. Çaldağ asalanının en alt birimi Kunduz metamorfittidir (Şekil 4). Metamorfit üstte Kampaniyen yaşı, kumtaşı-cakıltası-şeyl ardalansından oluşan bir kirintili istif tarafından şaryajla örtülüür. Bu birim turbiditik nitelikli, homojen, tipik bir fliş istifidir (Yılmaz ve Tüysüz, 1984).

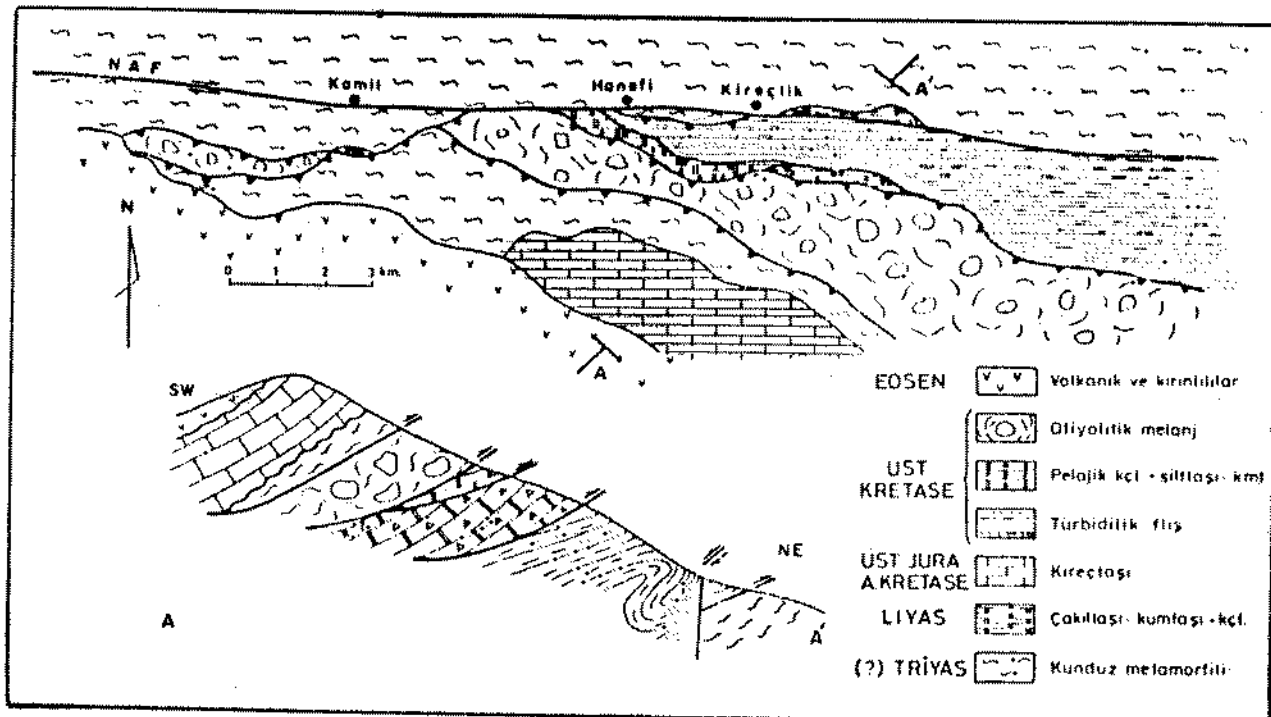
Fliş istifinin üzerine pelajik kireçtaşlı-silttaşlı-kumtaşı ardalansından oluşan Santonyen-Kampaniyen yaşı (Tüysüz, 1985) bir pelajik çökel istifi şaryajla yerleşmiştir. Bu birim dilimlenen bir kita önünde, kita dilimleri üzerinde taban konglomerasi ile başlayan ve hızla pelajikleşen bir kita sevi çökeliidir (Tüysüz, 1985). Birim içerisinde Geç Jura - Erken Kretase kireçtaşlarının yaygın olistolitleri de bulunmaktadır.

Pelajik istif üstte Geç Kretase yaşı ofiyolitik melanj tarafından şaryajla örtülüür. Ancak

batiya doğru bu iki birim arasında; daha doğuda ise fliş istifi ile melanj arasında, küçük tektonik dilimler halinde kirintili ve karbonatlar dan oluşan bir istif vardır. Bu istif alta kongloera ile başlamakta üstte doğru Erken pliensbachiyen Ammunitleri (Tüysüz, 185) içeren kumlu kireçtaşı ile devam etmektedir. Dogger, bunlar üzerinde yer alan kırmızı çamurtaşları ve silttaşları ile temsil edilmiştir. (Konuk, 1974) ve üstteki Malm yaşı, bol Ammonitli yumrulu kireçtaşları ile geçişlidir. Bu Jura istifi sedimentolojik açıdan kirintili getirimi nispeten az olan karasal bir ortamdan sağ denizel ortama geçisi belirtmektedir (Tüysüz, 1985). Birimin eşdeğerleri Pontidlerin güneyinde geniş yayılma sahiptir (Görür v.d., 1983).

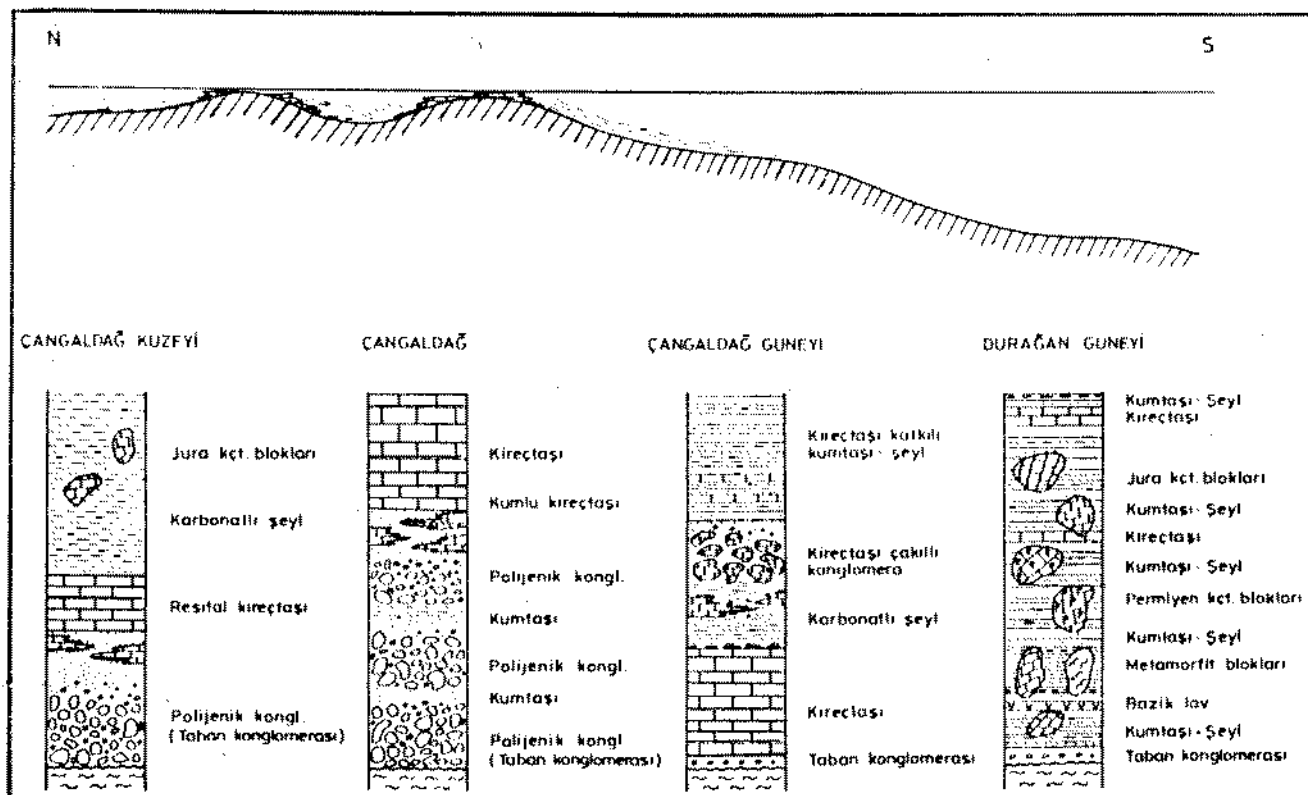
Geç Kretase ofiyolitik karmaşığı kuzey alanolardaki ekay zonunda tanıtlan ofiyolitik melanjla aynı özelliklerdedir.

Çal dağında tanıtlan tüm birimler ve aralarındaki dokanaklar Eosen çökel ve volkanitleri tarafından diskordan olarak örtülmektedir. Bu bölge yapısal özellikleri açısından bir ekay zonu halindedir. Bu zon, Kargı masifinin bu çalışmada tanıtlan kesimi içerisindeki aynı dönemde



Şekil 4 : Çaldağ asalanının jeolojik harita ve kesiti (Ölgeksiz)

Figure 4 -- The geological map and cross section of the Kargı massif (Not to scale)



Şekil 5: İnceleme alanındaki Geç Jura-Erken Kretase Örtü birimlerinin kuzeyden güneye değişimini gösterir kesitler (Ölçeksız)

Figure 5 : The columnar sections showing the lateral changes of the upper Jurassic-lower Cretaceous cover units in a north-southerly direction (Not to scale)

gelişmiş yapı unsurlarının aksine güneye eğimlidir.

Köşdağ asalanında, Çaldağ asalanının aksine kuzeye eğimli şaryajlarla birbiri üzerine itilmiş tektonik dilimler vardır. Bunlardan en üstteki Kunduz metamorfiti, kuzeyde ekay zonunun tabanında tanıtlıyan metamorfitin doğal devamı halindedir ve ondan Tosya havzası Neojen çökelleri ile ayrılmaktadır.

Köşdağ metamorfiti, asitik metalav-volkanojenik kırmızılı ardalanmasından oluşur. Epizonal granitik sokulumlarla yaygınca kesilmiş olan bu dizide metamorfizmanın etkisi zayıf olup bazı kayalara klivaj kazandırmaktan öteye gidememiştir. Birimin üst kesimleri ise metamorfik olmayan aglomeratif arakatkılı bir volkanojenik fliş istifi halindedir. Köşdağ metamorfiti bir ada yayı topluluğunun özelliklerine sahiptir. İstifin görülür en alt düzeylerinde Kunduz metamorfitindekilere benzer bazik lav kat-

kılarının ve serpentinit bloklarının bulunması bu dizinin tabanında Kunduz metamorfitinin varolabileceğini düşündürmektedir. Köşdağ metamorfiti güneye doğru Geç Kretase yaşılı ofiyolitik melanj üzerine itilmiş olup herikisi birden Eosen çökel ve volkanitleri tarafından örtülmektedir.

Çaldağ - Köşdağ yükselininin güneyindeki Osmancık alçalımında egemen olan kaya toplulukları Çaldağ ve Köşdağ yükseltisinin zirvesinden başlayıp güneye doğru uzanan Eosen çökel ve volkanik birimleri ile temsil edilmektedir. Bu birimler ekay zonuna ait kaya topluluklarını ve aralarındaki dokanakları diskordan olarak örtemektedirler (Şekil 2).

Eosen istifi tabanda karasal bir konglomera ile başlar ve hızla sığ denizel kumtaşı - çakılıtaşı - marn ardalanmasına geçer. Bu birimin üzerinde doğrudan etkin bir magmatik faaliyetin gelişmeye başladığı izlenir. Akdezit-bazalt türü

lavlar, bunlara ait tüf, aglomera, lahar breşi v.b. bu etkinliğin ürünleridir. Volkanik/volkanojenik birimler farklı kalınlıkta çökel arakatkıları içerirler. İstifte bazen çökeller, bazen de volkanitler egemen olmaktadır. İstifin üstüne doğru karasal lav ve aglomeralar egemendir. Tanıtılan bu istif Ypresiyen-Lütesiyen yaşıdadır (Yılmaz ve Tüysüz, 1984).

TARTIŞMA

Kargı masifinin kuzeyinde Malm öncesinde evrimini tamamlamış, farklı birimlerden oluşan eski bir temel ve bu temel üzerinde gelişmiş Malm-Eosen yaşlı bir çökel dizi vardır. Daha güneydeki Kastamonu - Boyabat havzası Geç Kretase'de gelişmiş bir yayönü havza niteliğindedir. Bu havzanın güneyindeki alan ise Geç Kretase - Paleosen döneminde gelişen bir ekayzonu (yığışım prizması) halindedir. Yığışım prizmasının gelişimi nedeniyle, Kargı masifinin temel kayalarını oluşturan Malm'den yaşlı birimlerin birincil ilişkileri değiştirilerek yeniden düzenlenmiştir. Sözkonusu bu topluluklar ekay zo nu içerisinde Geç Kretase birimleriyle birlikte dilimlenmiş ve güneye doğru birbirleri üzerine itilmişlerdir. Jeolojik verilere göre bu itilmeler, o dönemde kitayı oluşturan Malm öncesi birimlerin sıkışış dilimlenmesi yolu ile gelişmiş olduğundan (Tüysüz, 1985; Tüysüz v.d., hazırlamakta) atım miktarıları, bunların mekan içerisindeki nisbi konumlarını önemli ölçüde değiştirebilecek kadar büyük değildir. Bu yüzden bu zonu oluşturan birimleri palinsistik olarak düzenlemek ve böylece bölgenin yığışım prizmasının gelişiminden önceki konumuna yaklaşmak mümkün görülmektedir. Bu düşüncenin ışığında Kargı masifinin günümüzdeki konumundan bir adım geriye doğru gidilerek, Geç Kretase'den yaşlı birimler dikkate alındığında şu polariye görülmektedir.

Kuzeydeki Çangaldağ antiklinalinin Malm ve daha genç örtüsü altında en kuzeye kitasal topluluğa ait birimler vardır. Ancak antiklinalin kuzeyinde okyanusal topluluğun mostralları da bulunup, yer yer izlenmektedir (1/500.000 ölçekli Türkiye Jeoloji Haritası, Sinop paftası'na bakınız).

Kitasal topluluğun güneyinde ve yapısal olarak altında okyanusal topluluğun düzenli ofi-

yolit dizisi, lav-çökel ardalanması ve epi-ofiyolitik örtü birimleri vardır. Bu topluluk günümüzde Çangaldağ ve Elekdağ yükseltimlerinde Boyabat havzası çökelleri tarafından ayrılmış olarak durmaktadır. Elekdağ'daki düzenli ofiyolit istifinin güneyinde ve onun altında metamorfik melanj vardır. Melanjin güneyinde ise batıda kitasal topluluk, doğuda ise lav-çökel ardalanması (Bekirli metamorfiti) vardır.

Masifin daha güneyinde kenar havza birimleri (Kunduz metamorfiti), görülür en güneyde ise ada yayı birimleri (Kösdağ metamorfiti) vardır.

Sözkonusu birimlerin mekan içerisindeki bu dizilimleri, bölgede Malm öncesinde kuzeyde bir okyanusun, güneye doğru ise bir melanj kuşağıının, bir kitanın, bir kenar havzanın ve bir ada yayının varlığını belirtmektedir. Bu polaritenin anlamını tartışabilmek ve bölgenin evrimine yaklaşabilme için önce bu farklı kuşakların ortam ve köken sorunları ve bunlar üzerindeki farklı düşünceleri tanıtmakta yarar vardır.

Kargı masifinin en yaşlı temel birimi Çangaldağ antiklinalinin çekirdeğindeki kitasal topluluktur. Amfibolit fasyesinde metamorfizmaya uğramış, kırmızılı kökenli bu istif Yılmaz'a (1979) göre Prekambriyen yaşıdadır. Ancak birim batıya doğru izlendiğinde Araç-Daday doylularına doğru metamorfizması azalmakta ve İstanbul - Zonguldak Paleozoyik istifine kavuşmaktadır (Tüysüz, 1985). Bu istif ise migmatitik bir temel üzerinde Kambriyen kırintıları ile başlayarak Karbonifere kadar süren, giderek derinleşen bir ortam ürünü olan kesiksiz bir çökel dizi ile temsil edilmektedir (Abdüsselamoğlu, 1977; Yılmaz ve Tüysüz, 1984; Tüysüz, 1985).

Kitasal topluluğun Liyas sonu-Dogger başında üzerine itildiği okyanusal topluluk düzenli bir ofiyolit istifi, onun üzerinde yer alan kalın bir lav-çökel ardalanması ve en üstte Liyas yaşlı epi-ofiyolitik bir fliş istifinden oluşmaktadır. Ofiyolitik dizinin gerek stratigrafik, dizilim (Yılmaz ve Tüysüz, 1984; Tüysüz, 1985, 1986) gerekse petrolojik (Tüysüz, 1985) ve jeokimyasal (Eren, 1979; Yılmaz, 1979; Güngör, 1980; Tütsüz, 1985) özellikleri onun eski bir okyanus

tabanını (Paleotetis) temsil ettiğini belirtmekte. dir.

Düzenli ofiyolit istifinin tabanında güney alanlarda onunla yaşıt bir metamorfik melanj, daha da güneyde ise bir kenar bavza ve ada yayı topluluğu vardır. Yapısal verilere göre kıtatal topluluk, okyanusal topluluk üzerine güneyden itilerek yerleşmiş (Yılmaz ve Tüysüz, 1984, 1986; Tüysüz, 1985; Aydin v.d., 1986, 1987) ve onun güney alanlarda daha fazla gömülümesine neden olmuştur. Bu yüzden okyanusal topluluğun metamorfizmasında basınç etkisi güneye doğru giderek artmaktadır (Tüysüz, 1985). Bunun yanısıra ofiyolit topluluğunun güneyindeki alanlarda da, örneğin, ekay zonu içerisinde Kastamonu-Akkaya ve Kastamonu-II-gaz arasında da kıtatal topluluğa ait birimler oldukça yaygın olarak bulunmaktadır.

Kıtatal ve okyanusal toplulkaların biraraya gelmesinden sonra Dogger yaşı epizonal bir intrüsif granit, bu iki farklı topluluğun oluşturduğu yeni kita içerisine intrüzyonlar halinde sokulmuştur. Yılmaz ve Boztuğ (1986) jeokimyasal özelliklerine dayanarak sözkonusu granitleri bu dönemde kuzeeye doğru olan Paleotetis okyanus tabanına ait yay magmatizmasının türünlü olarak yorumlamışlardır. Oysa bölgesel ölçekte ele alındığında jeolojik veriler Dogger'de güney alanlardaki sıg denizel (Görür v.d., 1983) birimler bir yana bırakılırsa bugünkü a yırtla Orta Karadeniz dağıları bölgesinde denizel bir ortamın olmadığını, aksine hızlı bir yükselme ve aşınmanın egemen olduğunu belirtmektedir. Malm ve Geç Kretase'de ise Karadeniz'in bugünkü yeri ve dolayında ise okyanusal bir ortam yoktur. Bunun yanısıra Yılmaz ve Boztuğ'un (1986) dalma yönünü saptamada tartışma konusu yaptıkları "okyanusal topluluğun, kıtatal topluluğun güneyinde bulunduğu" veya bu birimin "Prekambriyen ve Paleozoyik metamorfitleri arasında kuzeye eğimli tektonik bir dilim şeklinde" olduğu düşünceleri de sağlam verilere dayanmayan genellemelerdir. Çünkü gerçekte onların söylediğlerinin tersine okyanusal topluluğun hem kuzeý hem de güneyinde yaygın kıtatal birimler vardır. Bu yapı ise büyük ölçüde Geç Kretase-Paleosen'de gelişmiştir. Bu yazarların belirttiği tüm Kargı masifini kaplayan ve ofiyolitik topluluğun altında yer-

aldığı ileri sürülen bir Paleozoyik metamorfiti (İlgaz metasedimenter serisi) ise sahada izlenememektedir. Sözkonusu alan yukarıda da belirtildiği gibi Paleozoyikten Geç Kretase'ye kadar yaştaki birimlerden oluşan bir ekay zonu halindedir (Yılmaz, v.d., 1983; Yılmaz ve Tüysüz, 1986, Tüysüz, 1985, 1986).

Sıkışma rejimi süresince gelişen bölgenin granitleri, Yılmaz ve Tüysüz (1984), Tüysüz (1985), ve Yılmaz (1985) tarafından ise kıtatal kabuğu bu dönemde aşırı kalınlaşmasının sonucu olarak taban kesimlerinin kısmi ergimeye uğramasıyla gelişen Tibet tipi kalkalkali bir magma ürünü olarak değerlendirilmiştir ki bu düşünce bim bölgelin o dönemdeki jeolojik konumuna tümlüyle uygun, hem de jeokimyasal verilerle uyumludur.

Okyanusal ve kıtatal birimlerin güneyinde yeralan Kunduz metamorfiti Yılmaz ve Tüysüz (1984) ve Tüysüz (1985) tarafından Karakaya karmaşığının (Bingöl, v.d., 1973) Kargı masifindeki eşdeğeri olarak değerlendirilmiştir. Şengör ve Yılmaz'a (1981) göre Karakaya karmaşığı, Paleotetisin güneyinde yeralan bir kenar denizinin ürünüdür. Gerçekte Kunduz metamorfiti bazik lav akıntılarının yanısıra blok ve kiraklı getiriminin yaygın olduğu aktif bir denizel ortamda gelişmiştir (Tüysüz, 1985). Ekay zonu içinde okyanusal topluluk ile kenar havza birimleri arasında yeralan kıtatal topluluk doğuya doğru incipit bitmektedir. Bu nedenle daha Triyas'ta doğu alanlarda bu iki derin denizel topluluğu ayıran bir kita parçasının bulunması yüzünden bu iki topluluğun doğrudan temasta oldukları, yani Paleotetis ile Karakaya denizinin bağlantılı olabileceği düşünülmektedir (Yılmaz ve Tüysüz, 1984; Tüysüz, 1985). Ancak bu kenar deniz Liyas öncesi kapanmış ve artıkları kita kabuğuna eklenmiştir. Liyas'ta bu kenar bavza birimlerinin artıkları üzerinde gelişen ve Kösedağ metamorfitini oluşturacak istif, bir ada yayı dizisi halindedir. Çoğunluğu asitik lav ve tıflerden oluşan bu birim, Kargı masifinin güneydeki en yaşı temel birimidir.

Yukarıdaki veri ve tartışmaların işliğinde Kargı masifinin Malm öncesi evrimi için aşağıdaki model önerilebilir (Şekil 7).

Permiyen'de kuzey alanlarda Paleotetis, onun güneyinde ise kitasal bir topluluk yer almaktadır. Bu temel üzerinde, kita şevi ve onun okyanus tarafında Akgöl formasyonu'nun turbiditik birimleri, kita üzerindeki sıç denizel ortamda ise Permiyen platform karbonatları gelişmektedir.

Triyast'a, kitasal temelin riftleşmesiyle Karakaya havzası (olasılıkla bir yayardı havza olarak) gelişmeye başlamıştır. Böyle karbonat platformu parçalanmış, hızla derinleşen bu ortamda spilitik volkanizma gelişmeye başlamıştır (Yılmaz, 1981). Bu dönem kuzeyde yer alan Paleotetis okyanusunun aynı zamanda güneye, doğru dalıp batarak tüketilmeye başladığı dönemdir. Batı Anadolu'dan derlenen verilere göre Karakaya denizi uzun ömürlü olmamış, Liyas başında kapanmıştır (Bingöl v.d., 1973; Sengör ve Yılmaz, 1981). Kargı masifinde ise Kunduz metamorfiti üzerinde Paleotetis ada yanına ait birimlerin bulunması, kenar denizinin kapanmasından sonra da yay volkanizmasının güney alanlara aktivitesini sürdürdüğü göstermektedir.

Liyasta Pontidilerin kuzey ve güneyinde iki farklı olay gelişmiştir : Kuzeyde Paleotetis okyanusal ortamı dalarak bütünüyle tüketilmektedir. Çünkü ofiyolitin epi-ofiyolitik çökel örtü birimlerinden alnan en genç yaşlar Liyasa kadar çıkmaktadır. Liyas sonunda, İstanbul-Zonguldak kitasal temelinin, güneyden itibaren Paleotetis okyanusunun artıkları üzerine kuzey yönünde itilerek yerleşmesi, bu dönemde bu okyanusun (Paleotetis) kapanması olarak değerlendirilebilir.

Liyas'ta kuzey alanlarda Paleotetis okyanusal ortamı kapanma aşamasında son dönemlerini yaşarken güney alanlarda farklı bir ortamın gelişmeye başladığı görülmektedir. Pontidilerin güneyinde doğu-batı uzanımlı bir hat boyunca görülen bu yeni denizel ortam, karassal dan baslayıp tedicen denize geçen bir istifle temsil edilmektedir (Görür v.d., 1983). Liyas gökelleri bu denizde iki farklı türde; devamlı olarak sıç karakterini koruyan ve kirintili getirmi az olan yüksek bir ortam ile, zengin kirintili getirmi olan aktif bir ortamda gelişmişlerdir (Görür, v.d., 1983). Bu ortamların geliş-

minde ise gerilme rejimi altında, fay denetiminde oluşan, horst ve grabenlerin oluşturduğu düzensiz bir topografya etkin olmuştur (Yılmaz, 1972; Görür, v.d., 1983). Sözkonusu bu gerilme rejimi, Neotetis olarak adlanan ve Pontidilerin güneyinde bu dönemden itibaren açılmaya başlayan yeni bir denizel ortamın başlangıcıdır.

Liyas sonunda kuzey alanlardaki Paleotetis okyanusun tüketilip kitasal ve okyanusal toplulukların biraraya gelmesinin hemen ardından bölgenin jeolojisinde önemli değişimler olmuştur. Liyas ve daba yaşı birimlerin biraraya gelerek oluşturdukları yeni kita sıkışarak kalınlaşmış ve buna bağlı olarak hızla yükselme başlamıştır. Bu esnada taban kesimleri kısmi ergimeye uğrayarak Dogger granitlerinin gelişimine yol açmıştır.

Kargı masifinin kuzey kesimlerinde Dogger'deki aşınma ve karasal çökelme dönemini takiben bölgeye Malm'de yeni bir transgresyonun başladığı görülür. Bu yeni çökel dizi kalın bir karasal konglomera ile başlamakta, giderek plaj kumlarına daba üstte ise kalın ve geniş yayılmış bir karbonat istifine geçmektedir. Karbonat çökelimi sürecinde ve onunla yanal ve düşey geçişli bir kirintılı istifinin de geliştiği alanlar vardır. Geç Jura-Erken Kretase döneminde Malm öncesi temel üzerinde gelişen bu çökel dizi içerisinde konglomera, karbonat ve kirintiliardan oluşan Bürnük, Inaltı ve Çağlayan formasyonları ayrılmıştır. Bunlar kayastratigrafik ayırtlar olup birbirleri ile zamanstratigrafik eşdeğer birimlerdir (Yılmaz ve Tüysüz, 1984; Tüysüz, 1985).

Liyas'ta güney alanlarda başlayan denizel ortam Dogger ve Malm'de de sürmüş ve kuzeye doğru giderek genişlemiştir. Böylece Erken Kretase'de kuzeyde sıç, güneyde ise daha derin denizel bir ortam bölgeye egemen olmuştur (Şekil 5). Karadeniz dağları bu dönemde az çok doğu-batı gidişli geniş bir yüksek alan halindedir. Sıç denizel ortam bütün Karadeniz çevresini de içerecek bir konumda kuzeye uzanmakta ve bu yükselseme yaslanmaktadır. Güney yönünde ise sıçdan başlayıp okyanusala kadar varan bir Atlantik tip kita kenarı gelişmektedir.

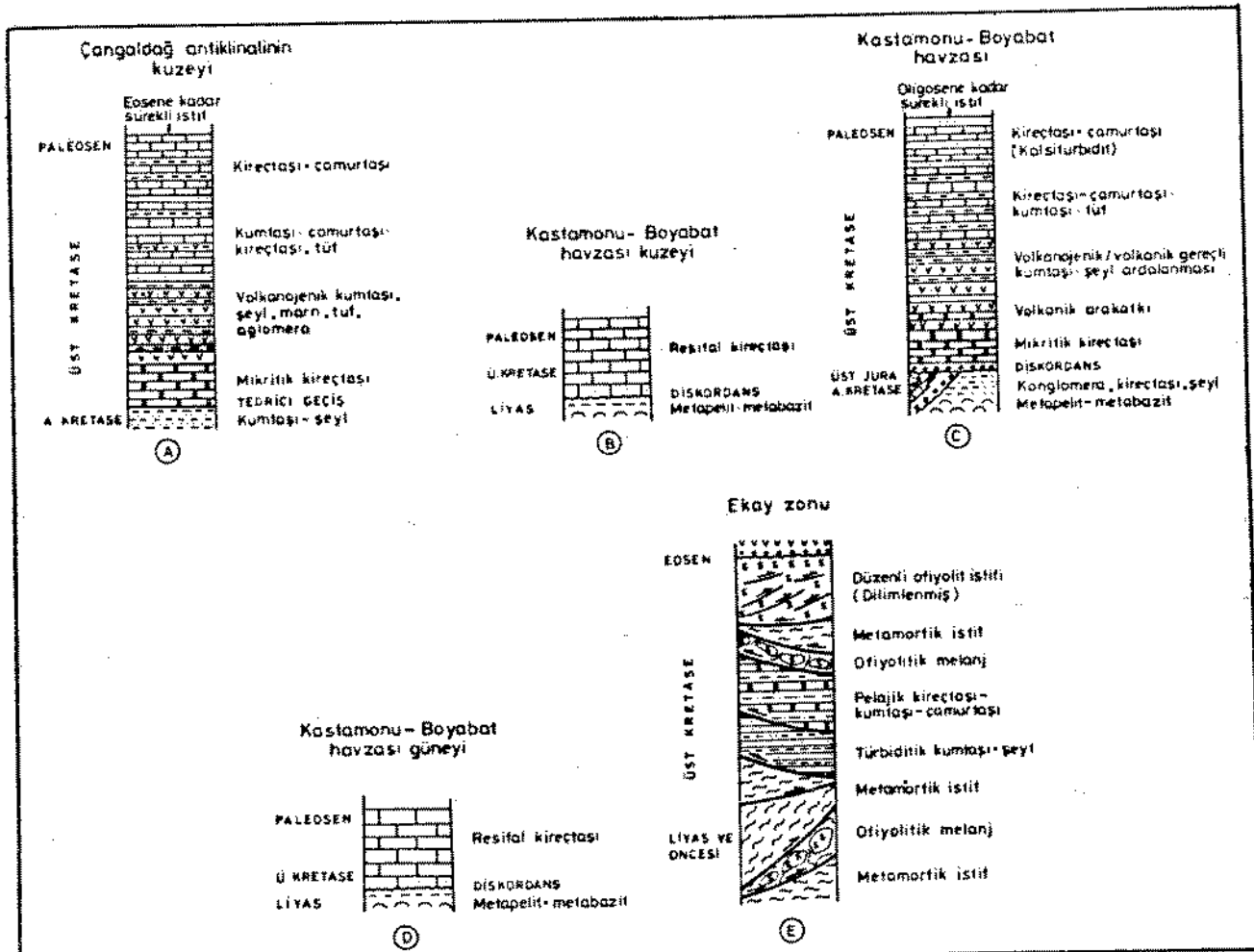
Erken Kretase yaşı Çağlayan formasyonu, farklı kesimlerde farklı ortamsal özelliklere sa-

hiptir (Şekil 5). Birim bazı kesimlerde resifal karbonatlarla (finalt fm.) geçişli sığ denizel, hatta lagüner ortam ürünü olan homojen, siyah bir seyle temsil edilmiştir. Bazen ince-kaba kırtılı ardalanması, egemen litoloji topluluğunu oluşturur. Özellikle Çangaldağ antiklinalının güneyinde ise birim dağ boyutuna ulaşan olistolitler ve yer yer de bazik volkanik arakatkılar içeren bir "yaban flişi"ne benzer özellikler sunar. Olistolitlerin büyük bir kısmı Geç Jura-Erken Kretase karbonatlarından derlenmiştir.

Çağlayan formasyonundaki bu farklı ortam ürünü, ancak zamanstratigrafik eşdeğer birimlerin bölgedeki dağılımı gözetildiğinde bu dönemde kuzeyden güneye doğru giderek derinleşen ancak düzensiz bir topografyanın var ol-

duğu anlaşılmaktadır (Şekil 5). Yine bu birimde özellikle güney alanlara doğru giderek artan boyuttaki Geç Jura - Erken Kretase kireçtaşı olistolitlerinin bulunması Erken Kretase'de bölgede önemli bir tektonik aktivitenin gelişğini belirtmektedir. Bu nedenle bölgenin bazı kesimleri yükselerek kara haline gelmiş ve aşındırılarak çökelmanın sürmekte olduğu alanlara malzeme sağlamışlardır. Bu yüksek alan ise olasılıkla yukarıda sözü edilen yükselseme karşılıktır ve eksemi bugünkü Çangaldağ antiklinalının eksemi ile az çok çakışmaktadır.

Geç Kretase birimlerinin bölgesel dağılımı gözetildiğinde (Şekil 6) bu dönemde Pontidlerde farklı ortamların yeraldığı anlaşılmaktadır. Çangaldağ antiklinalının kuzeyindeki alanlarda Geç Kretase, Erken Kretase kırtılıları (Çağlayan



Şekil 6: İnceleme alanındaki farklı Geç Kretase birimlerine ait siltun kesitler (Ölçeksziz)

Figure 6 : The columnar sections of the Upper Cretaceous sequences in the different parts of the studied area (Not to scale).

fm.) üzerinde ve onunla tedrici geçişli mikritik bir kireçtaşı ile başlar ve giderek volkanik/vulkanojenik bir fliş istifi ile devam eder. Tüm Doğu Karadeniz'de görülen bu şiddetli magmatik etkinlik, Neotetis okyanus tabanının kuzeye dalmasına bağlı olarak gelişmiş olup Geç Kretase sonu-Paleosen'den itibaren güneye göçmüştür.

Kastamonu-Boyabat havzası ile Çangaldağ alanı arasında Geç Kretase'de gelişmiş resifal karbonatlar yer yer izlenmektedir. Bu birimler doğrudan temel üzerinde izlenirler. Yılmaz ve Tüysüz (1984) e göre karbonatlar Kastamonu-Boyabat havzasının kenarlarındaki yükseltimler üzerinde gelişmişlerdir. Benzer konumda karbonatlara Paleosen'de de rastlanmaktadır.

Kastamonu-Boyabat havzasında Geç Kretase, temel kayaları üzerinde ince bir mikritik kireçtaşı ile başlar. Volkanik/vulkanojenik bir fliş ile devam eden bu istif Paleosen'den itibaren volkanik aktivitenin azalması sonucu kırmızılı ve karbonat ardalanmalarına geçmektedir. Bu havzannın gökelleri, yayönü havzaya bas niteliklere sahiptir (Tüysüz, 1985).

Ekay zonunda Geç Kretase, ofiyolitik hır karmasıyla, düzenli bir ofiyolit istif ile ve fliş tipi veya pelajik kırmızılıklar ile temsil edilmektedir. Sözkonusu bu birimler, güneye veya kuzeye (Çal dağı) itilmiş tektonik dilimler halinde olup çevre birimlerle tektonik ilişkilidir.

Yukarıdaki farklı birimler dikkate alınırsa Geç Kretase'de kuzeyde bir ada yayının, onun önünde bir yayönü havzannın daba güneyde ise bir yiğışım prizmasının varoluğu görülmektedir. Yiğışım prizmasındaki Geç Kretase birimleri de palinspastik olarak açılıp eski konumlarına getirilir ve bunlar Erken Kretase birimleri ile birlikte değerlendirilirse bölgenin evriminde şu aşamaların geliştiği söylenebilir (Şekil 7).

Güney alanlarında Liyas, kuzeyde ise Malm'de başlayan gökel istif Geç Kretase'de fliş tipi birimlerle gelişimini sürdürmüştür, böylece Pontidlerin güneyinde Atlantik tipi bir kita kenarı oluşmuştur (Yılmaz, 1981; Yılmaz ve Tüysüz, 1984). Bu kita kenarı güneydeki bir okyanusal ortama bakmaktadır. Neotetis'in kuzey kolu olarak bilinen (Şengör ve Yılmaz, 1981) bu ok-

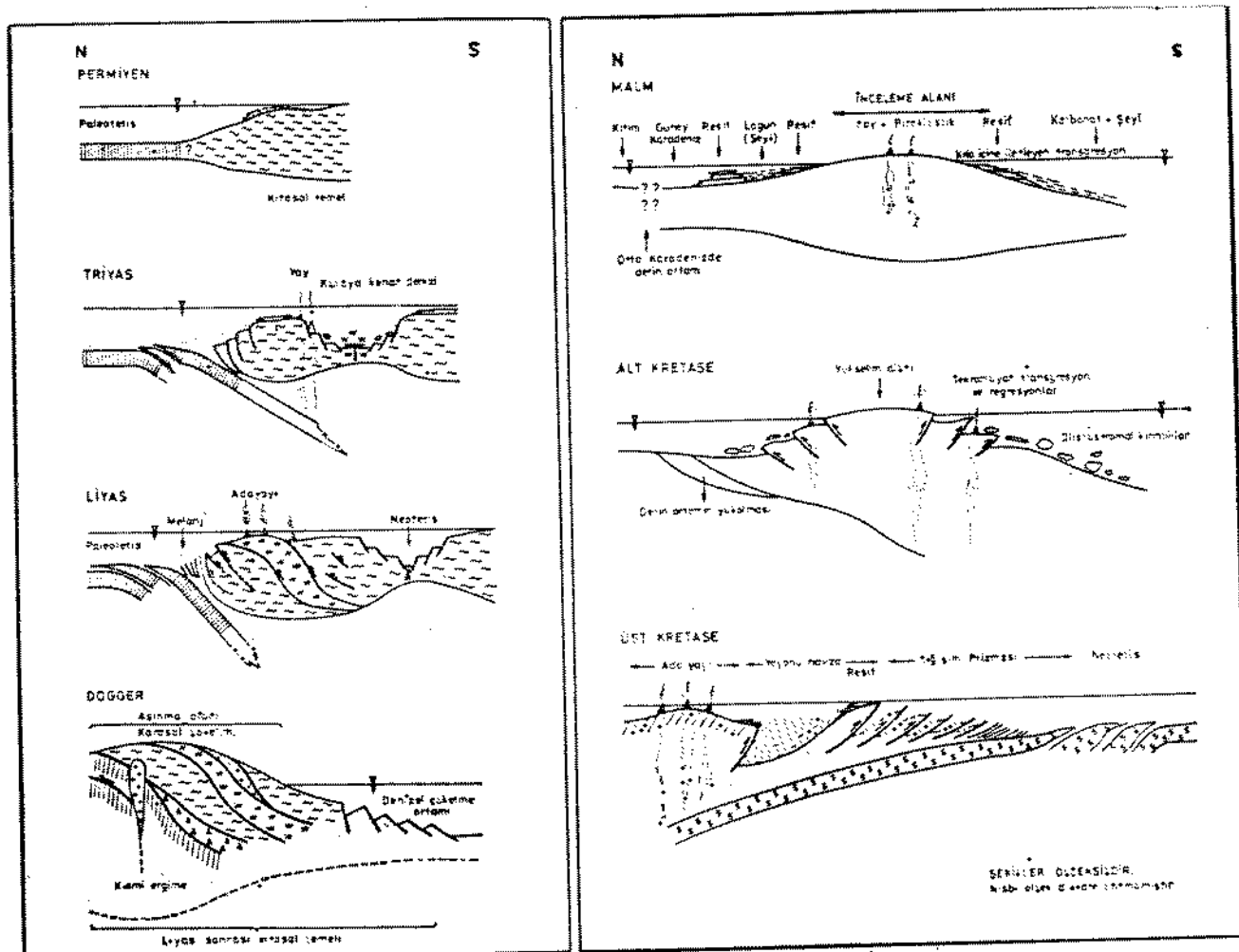
yanus, gökel prizmasının gelişiminin hemen ardından kuzeyden güneye ve adayı yayönü havza yiğışım prizmasının varlığı izlenmektedir.

Okyanus tabanının Geç Kretase'de dalıp batmasına bağlı olarak Karadeniz'in bugün bulunduğu alanlarda ve Doğu Pontid dağ kuşağının üzerinde yaygın bir volkanik yay gelişmiştir. Böylece Pontidlerin güneyindeki pasif kita kenarı aktif bir kita kenarı haline gelmiş (Yılmaz, 1981), Pontid kitası giderek bir yay masifi nitelğini kazanmaya başlamıştır. Kuzeyde şiddetli bir yay magmatizması etkinliğini sürdürürken güneyde hendek boyunca dalan okyanus levbasından sıyrılan ofiyolitik ve epi-ofiyolitik malzeme, kitadan taşınan malzeme ile birleşerek giderek büyütlenen bir melanj kamاسının gelişmesine yol açmıştır. Hendek boyunca yiğışan melanj dilimleri birbiri altına eklenmiş böylece melanj kaması kuzey alanlarda giderek yükselmeye başlamıştır. Bu sıkışma rejimi içerisinde kita öünü de dilimlenmiş, bu dönemde kita oluştururan ve kita üzerinde gelişen birimler içerisinde melanj kamaları sokulmuştur. Böylece bugün Kastamonu-Boyabat havzasının güneyinde izlenen ve ekaylarla temsil edilen bir yiğışım prizması gelişmiştir. Paleosen'de yiğışım prizmasının giderek büyümesi ile dalma batma zonu güneye doğru ötelemiş, buna bağlı olarak kuzeydeki volkanik yay güneye göçmeye başlamıştır. Böylece yiğışım prizması üzerinde volkanik/vulkanojenik birimler gelişmiştir. Kuzeydeki Kastamonu-Boyabat yayönü havzasında ise Paleosen'den itibaren giderek sağlanan bir ortamda volkaniksız birimler çökelimiştir.

Yiğışım prizmasının eklenmesi ve sıkışma sonucu kalınlaşan kita kabuğunun derin kesimleri kısmi ergimeye uğramış, bu olay sonucunda gelişerek yükselen granitik kayalar yiğışım prizması içerisinde kadar da sokulabilmiştir.

Dalma batmanın devamı süresince okyanus tabanı da dilimlenerek yükselmeye başlamış, sıkışmanın devamı süresince yiğışım prizmasının bir kesimi ve dilimlenmiş okyanus tabanı kuzey yönünde ilerleyerek retroşaryajlara neden olmuştur.

Eosen'de, yükselen yiğışım prizması ve okyanus kabuğuna göre güney alanlarda karsal-sığ denizel bir ortam egemen olmuş (Os-



Sekil 7 : Pontidelerin jeolojik evrimini gösterir model kesitler (Ölçeksiz).

Figure 7 : The model cross sections showing the geological evolution of Pontide belt (Not to scale).

mancık molas havzası), cephe kesimi güneye ilerleyen volkanizma bunlara eşlik etmiştir. Yırtışım prizması ve okyanus kabuğuuna ait dilimler üzerinde gelişen bu çökelmanın hemen ardından bölge yükselmeye devam etmiş, karasal bir alan haline gelen bölgede gelişimini sürdürden volkanizma nedeniyle piroklastik gereç ve lahar oluşumları yaygınlaşmıştır.

Orta - Geç Eosen'de güneyde Neotetis tümüyle kapanmış ve bölge bugünkü yapısal iskeletini büyük ölçüde kazanmıştır. Oligosen'de Kastamonu-Boyabat havzasındaki karasal çökellerin ve yerel birkaç gölsel ortamın dışında bölge artık tümüyle kara halinde olup hızla asındırılmaya başlamıştır.

Neotetis'in kapanmasından sonra kısılıp kahnlaşan kıta kabuğu blok faylarla bugünkü

morfolojisini kazanmaya başlamıştır. Bu sıkışma rejimi altında Ilgaz-Tosya havzası Erken Miyosen'den itibaren açılarak bu ortamda gölsel-karasal birimler gelişmiştir.

Bu dönemde Neotetis'in güney kolunun da kapanması ile Pontid ve Arap kıtaları arasında sıkışan Anadolu levhacığı batıya doğru kaymaya başlamış ve Kuzey ve Doğu Anadolu yanal atımlı fay sistemleri gelişmiştir (Şengör, 1979; 1980, Şengör ve Yılmaz, 1981). İnceleme alanı ve yakın dolayında Geç Miyosen-Pliyosen'den itibaren etkin olan bu sistem, daba önceden var olan ve gökel bavzalarını oluşturan zayıflık zonlarını izlemiştir.

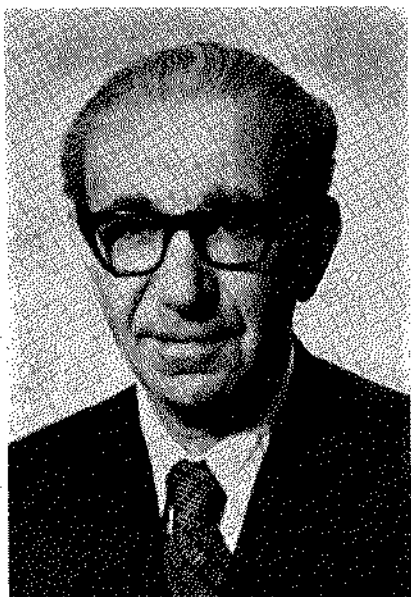
Günümüze kadar etkinliğini koruyan bu yanal atımlı sistem bölgenin bugünkü morfolojisini kazanmasını sağlamıştır.

Inceleme alanı yukarıdaki tanımlamalar dan anlaşılacığı gibi Mesozoyik başından beri birbirini izleyen progresif sıkışma rejimlerinin etkisinde kalmıştır. Bu sıkışma rejimi bazı süreçlerde duraklamış veya yerini bazı gerilme dönemlerine bırakmıştır. Farklı dönemlerde gelişen, genelde doğu-batı uzanımlı bu yapı unsurları daha önce gelişmiş yapıları da etkileyerek yer yer değiştirmiş ve bölgede bugün izlenen karmaşık yapı örneğini geliştirmiştir. Tüm bunlardan sonra gelişen ve günümüzde de etkinliğini sürdürden yanal hareketlerle bölge bugünkü yapısal ve morfolojik görünümünü kazanmıştır.

KAYNAKÇALAR

- ABDÜSSELAMOGLU, M.S., 1977; The Paleozoic and Mesozoic in the Gebze region. Explanatory text and excursion guide book. 4th Colloquium on the Aegean Region, Excursion 4: Western Anatolia and Thrace. ITU Maden Fakültesi, İstanbul, 16s.
- AYDIN, M.; ŞAHİNTÜRK, Ö.; SERDAR, H.S.; ÖZÇELİK, Y.; AKARSU, İ.; ÜNGÖR, A.; ÇOKUGRAS, R.; KASAR, S.; 1986; Ballıdağ-Çangaldağı (Kastamonu) arasındaki bölgenin jeolojisi. Türkiye Jeol. Kur. Bült., c. 29, 2, 1-16.
- AYDIN, M.; SERDAR, H.S.; ŞAHİNTÜRK, Ö.; YAZMAN, M.; ÇOKUGRAS, R.; DEMİR, O.; ÖZÇELİK, Y.; 1987; Çamdağ (Sakarya) - Sünnicedağ (Bolu) yörenin jeolojisi. Türkiye Jeol. Kur. Bült., c. 30, 1, 1-14.
- BİNGÖL, E.; AKYÜREK, B. ve KORKMAZER, B.; 1973; Biga Yarımadasının jeolojisi ve Karakaya Formasyonunun bazı özellikleri. Cumhuriyetin 50. Yılı Yerbilimleri Kongresi Tebliğleri, Ankara. MTA Enst. yayını, 70-77.
- EREN, R.H., 1979; Kastamonu - Tasköprü Bölgesi Metamorfiterinin Jeolojik, Petrografik Etiği: İstanbul Teknik Üniversitesi Mimarlık Mühendislik Fakültesi Yayınları, 143 s. (Doktora tezi).
- GÖRÜR, N., SENGÖR, A.M.C., AKKÖK, R., YILMAZ, Y., 1983; Pontidlerde Neotetrisin kuzey kolumnun açılmasına ilişkin sedimentolojik veriler. Türkiye Jeol. Kur. Bült., c. 26, 1, 11-20.
- GÜNER, M., 1980; Küre civarının masif sulfit yatakları ve jeolojisi, Pontidler (Kuzey Türkiye) MTA Enst. Dergisi, 93/94, 65-109.
- KONUK, Y.T., 1974; Geologie eines Abschnitts der Nordanatolischen Erdbebenlinie bei Kamil Osmancık (Prov. Çorum-Türkei). Inaugural Dissertation Bonn. (Doktora tezi).
- SENGÖR, A.M.C., 1979; The North Anatolian transform fault: Its age, offset and tectonic significance. Geological Society of London Journal, 136, 269-282.
- SENGÖR, A.M.C., 1980; Türkiye'nin neotektonığının esasları. Türkiye Jeol. Kur. Konferanslar serisi, 2, 40 s.
- SENGÖR, A.M.C. ve YILMAZ, Y., 1981; Tethyan evolution of Turkey: A plate tectonic approach. Tectonophysics, 75, 181-241.
- TÜYSÜZ, O., 1985, Kargı masifi ve dolayındaki tektonik birliklerin ayırıcı ve araştırılması (Petrolojik inceleme) (Doktora tezi), İst. Univ. Fen Bilimleri Enstitüsü, 431 s. (Yayınlanmamış).
- TÜYSÜZ, O., 1986; Kuzey Anadolu'da İki Farklı Ofiyolit Topluluğu: Eski ve Yeni Tetrisin Artıkları, Doğa Tr. Müh. ve Çev. 10, 2, 172-179.
- YILMAZ, O., 1979; Daday-Devrekani masifi Kuzeydoğu Kesimi Metamorfik Petrolojisi (Doçentlik tezi), Hacettepe Üniversitesi Yerbilimleri Enstitüsü, 176s.
- YILMAZ, O. ve BOZTUĞ, D., 1986; Kastamonu granitoid belt of northern Turkey: First arc plutonism product related to the subduction of the paleo-Tethys. Geology, 14, 179-183.
- YILMAZ, Y., 1972; Petrology and structure of the Gümüşhane Granite and surrounding rocks (Doktora tezi) London, England, University of London, 260s.
- YILMAZ, Y., 1981; Atlantik tip bir kıta kenarının Pasifik tip bir kıta kenarına dönüştümeye Türkiye'den örnek. Türkiye Jeol. Kur. yayını 27 s.
- YILMAZ, Y., 1985; Türkiye'nin Jeolojik tarihinde magmatik etkinlik ve tektonik evrimle ilişkisi. Türkiye Jeol. Kur., Ketiş Simpozyumu, 63-81.
- YILMAZ, Y. ve TÜYSÜZ, O.; 1984; Kastamonu-Boyabat-Vezirköprü-Tosya arasındaki bölgenin jeolojisi (İlgaz - Kargı masiflerinin etüdü) MTA raporu, 275 s.
- YILMAZ, Y., TÜYSÜZ, O., YILDIRIM, M., BULUT, V., ÖZKOYLÜ, E., SAKALLIOĞLU, E., PEHLİVAN, S., AKBAS, B. ve ARMAĞAN, F., 1983; İlgaz-Kargı masifi ve yakın çevresinin jeolojisi. Maden Tetkik ve Arama Enst. Genel Direktörlüğü Jeoloji Dairesi Konferansları, Özeler, 18.
- YILMAZ, Y., TÜYSÜZ, O., ÖZKOYLÜ, E., YILDIRIM, M., BULUT, V., PEHLİVAN, S., AKBAS, B., SAKALLIOĞLU, E., 1983, Kargı-Boyabat Masifi Jeoloji Dügümüne Bir Yaklaşım, 37. Türkiye Jeoloji Bilimsel ve Teknik Kurultayı, Bildiri Özeleri, 51-52.
- YILMAZ, Y. ve TÜYSÜZ, O., 1986, Bir Yığışım Karmaşığının Ayırt Edilmesi : Kargı masifinin Jeolojisi. Türkiye Jeoloji Kurultayı 1986 Bildiri Özeleri, 26.
- YILMAZ, Y. ve TÜYSÜZ, O., 1986; Kargı masifinin jeolojisi. TÜBITAK Türkiye Birinci Jeotravers I. Workshop, İstanbul, 13-14 Kasım 1986, Özeler, 22-26.

ONUR KÖŞESİ



PROF. DR. İHSAN KETİN'E GEOLOGISCHE VEREINIGUNG E. V. TARAFINDAN GUSTAV STEINMANN MADALYASI VERİLDİ

Türkiye Petrol Jeologları Derneği üyesi, İTÜ Maden Fakültesi Jeoloji Mühendisliği Bölümü, Genel Jeoloji Anabilim Dalı eski başkanı ve şimdiki sözleşmeli öğretim üyesi emekli Prof. Dr. İhsan Ketin'e, merkezi Batı Almanya'da bulunan *Geologische Vereinigung e.v.* en büyük ödülü olan *Gustav Steinmann Madalyası*'nı vermiştir. Bu madalya hâlen Avrupa'da verilmekte olan en önemli üç jeoloji ödülünden biridir (diğer ikisi *Geological Society of London*'un *Wollaston Madalyası* ve *Société Géologique de France*'ın *Prix Gaundry*'sidir) ve ülkemizde herhangi bir yerbilimciye bugüne kadar verilmiş en önemli uluslararası ödülü temsil etmektedir. Profesör Ketin'e madalya 25 Şubat 1987 tarihinde Almanya'nın Jülich şehrinde yapılacak olan bir törenle verilecektir. Türkiye Petrol Jeologları Derneği Profesör Ketin'i kutlayarak kendisine daha uzun yıllar başarılı bir meslek yaşamı dilemekten onur duyuyor.

İHSAN KETİN KİMDİR?

Prof. Dr. İhsan Ketin 10 Nisan 1914'de Kayseri'de doğdu. İlk ve orta eğitimini bu şehirde yapan Ketin daha sonra Almanya'ya üniversite tahsiline devlet bursiyeri olarak gitti ve 1932-1938 yılları arasında Berlin, Freiburg (im Braisgau) ve Bonn üniversitelerinde biyoloji ve jeoloji lisan tahsilini yaptı. Ketin 1938 yılında Bonn üniversitesinde dünyaca tanınmış ünlü jeolog Prof. Dr. Hans Cloos'un yanında kuzeybatı Almanya'daki Eertrich kaplıca bölgesinin tektoniği ve volkanik gelişmesini konu alan arazi bazlı bir doktora çalışmasını tamamlayarak aynı yıl yurda döndü.

1938-1953 yılları arasında İstanbul Üniversitesi Fen Fakültesi bünyesinde Jeoloji Enstitüsünde önce asistan, 1945'den itibaren de üniversite doçenti olarak vazife yapan Ketin, 1953 yılında İTÜ'nün yeni kurulmuş olan Maden Fakültesi'ne jeoloji profesörü olarak atandı. Yeni çıkan üniversite kanunu gereği 1 Ağustos 1983 yılında yaş haddinden emekli olan Ketin, bu sefer gene İTÜ Maden Fakültesi'nce sözleşmeli profesör olarak görevde geri çağrıldı. Hâlen bu görevini sürdürmekte olan Ketin 1942 yılından beri evli bulunmaktadır ve bir erkek çocuk sahibidir.

Cumhuriyet döneminin yetiştirdiği en büyük doğa bilimcilerden olan Prof. Ketin, 1981 yılında Türkiye Jeoloji Kurumu'nun Hâmit Nâfir Pamîr Ödüllü'nü ve aynı yıl TÜBİTAK'ın Bilim Ödülü'nü kazanmıştır. Ketin, TÜBİTAK' dan Bilim Ödülü alan ilk yerbilimcidir. 1984 yılında Ketin'i benzerlerinin en eskisi ve prestijî en yüksekî olan *Geological Society of London* şeref üyeliğine seçmiştir.

Ketin'in ülkemize ve tüm insanlığa araştıracı, eğitici ve idareci olarak yaptığı sayısız hizmetler arasında en önemlileri Kuzey Anadolu Fayı diye bilinen Kuzey Anadolu deprem kuşağıının büyük bir yanal atımlı fay olduğunu be-

lirleyerek 1948 yılına kadar ne olduğu bilineme-
yen bu yapıyı dünyaya tanıtmasıdır. Ketin'in bu
artık klâsik olmuş çalışması, aynı zamanda bu
tür yapıların bütün dünyada daha büyük bir
hızla tanınmalarına da öncü olmuş eserlerden
biridir. Daha sonra Ketin, tüm Türkiye yüzeyine
yayılmış olan kendi jeolojik harita alma çalış-
malarına dayanarak ülkemizin jeolojik yapısı-
nın ortaya konmasında en önemli adımı oluşturan
çalışmalarını 1956-1966 yılları arasında Tür-
kiye içinde ve dışında yayınladığı makalelerle
bilim dünyasına sunmuştur. Ketin'in bu konu-
daki çalışmaları hâlen sürdürmektedir.

Eğitici olarak Prof. Ketin, ülkemize pek
çok üniversite ders kitabı kazandırmış, ayrıca
sayısız jeoloji öğrencisinin yanında maden, jeo-
fizik ve coğrafya dallarında okuyan yerbilimci-
lere de dersler vermiştir.

Prof. Ketin bir defa Türkiye Jeoloji Kurumu başkanlığı, iki defa da Maden Fakültesi de-
kanlığı görevlerinde bulunmuştur. Ayrıca TÜ-
BITAK da dahil olmak üzere yurt içinde ve di-
sında pek çok bilimsel kuruluşta da muhtelif
görevler almıştır.

GUSTAV STEINMANN VE STEINMANN MADALYASI

Gustav Steinmann adı bugün tüm jeoloji
ders kitaplarında yer alan pek çok temel kav-
ramla kaynaşmış bir isimdir. Yerbilimleri tari-
hinin büyük isimlerinden biri olan Gustav
Steinmann 9 Nisan 1856'da Almanya'nın
Braunschweig kentinde doğdu. 1877 yılında Mü-
nih Üniversitesi'nde doktorasını yapan Stein-

mann, bugün Fransa toprakları içinde bulunan
Strassburg (Strasbourg) Üniversitesi'nde do-
çent oldu. Steinmann jeoloji profesörü olarak
önce Freiburg (im Braisgau) daha sonra da
Bonn üniversitelerinde çalışmış, 1924'de emekli
olmuştur.

Steinmann jeolojinin tüm dallarında ori-
jinal eserler vermiş en son jeoglardan biridir.
Büyük şöhreti daha ziyade bugün okyanus ta-
banlarını oluşturduğu bilinen tipik çört/bazalt/
serpentin kayalarının aynı zamanda dağ kuşak-
larında bulunan ofiyolitlerin de tipik üçlüsü ol-
duğunu göstermiş olmasına, dağ kuşaklarının
yapılarının anlaşılması yaptığı önemli katkılara
ve evrim teorisini konusundaki orijinal çal-
ışmalarına dayanır. Avrupa'da Alplerin, Güney
Amerika'da da And Dağlarının yapılarının in-
celenmesine büyük katkılar yapmıştır. İskoç
jeologu Sir Erward Bailey'nin çört/bazalt/
serpentin üçlüsüne Steinmann Üçlüsü demesi de
Steinmann'ın bu konudaki katkılarını ölümsüz-
leştirmek için tüm jeologlar câmiası tarafından
benimsenmiştir.

Gustav Steinmann 1910 yılında bugün dün-
yadaki en önemli jeoloji meslek kuruluşlarından
biri olan **Geologische Vereinigung'u** kurmuştur.
Bu kuruluş onun anısına **Gustav Steinmann
Madalyası'nı** ihdas etmiş ve bu madalya dün-
yada pek çok şöhretli yerbilimciye verilmiştir.
Bunlar arasında jeolojinin çeşitli branşlarında
çığır açmış Avusturyalı Otto Ampferer, Finlan-
diyalı Pentti Eskola, İsviçreli Maurice Lugeon,
Hollandalı Philipp Kuenen, İngiliz H.H. Read ve
Alman Hans Stille gibi yerbilimcileri saymak
mümkündür.

YAYIN TANITIMI

PLATE TECTONICS — How It Works by Allan Cox and Robert B. Hart; Blackwell Scientific Publications, Oxford, 392 s. (1986)

A.M.C. Sengör
İ.T.U. Maden Fakültesi, Jeoloji Bölümü,
Teşvikiye 80394 İstanbul

Yillardır üniversitelerde ders verenler iyi bir levha tektoniği ders kitabının yokluğunun sıkıntısını çekmekteydi. Bu konunun en hassas bölümü olan geometri ve kinematik özellikleri levha tektonığının öğretilmesini, özellikle matematik temeli geleneksel olarak zayıf olan jeoloji öğrencilerinin doldurduğu sınıflarda bir hayli zorlaştırmıştır, alışlagelmiş jeoloji derslerinden —yapısal jeoloji hariç olmak üzere— farklı bir yaklaşımı zorunlu kılmıştır. Özellikle kinematik konusuna ağırlık vermek isteyen hocaların elinde bugüne kadar yalnızca Dewey'nin 1975 yılında American Journal of Science'in cilt 275-A'sında yayınladığı makalesi bulunmaktadır.

Geçenlerde ebediyete intikal eden Stanford Üniversitesi jeofizik profesörü Allan Cox ile Brian Hart'ın küçük kitapları bu konudaki açığı kapatmak için kaleme alınmış son derece faydalı bir eser. Kitap, Stanford'da verilen levha tektoniği dersnotlarının derlenmesi ile ortaya çıkmış. Kitaptaki şıklar dahi serbest elle çizilmiş ders notu varyant şıkları (Robert Folk'un meşhur sedimentoloji notlarındaki karikatür benzeri şıkları bir dereceye kadar anımsatan türde).

Plate Tectonics on bölümünden oluşuyor. İlk iki bölümde levha ve levha sınırı, bağıl hareket gibi kavramlar iki boyutlu bir düzlem üzerinde tanıtılıyor. Üçüncü bölüm küre üzerinde düşündüp, küresel yüzey üzerinde nasıl daire çizileceği gibi küresel geometrik konulara ayrılmış. Levha tektoniği dersi verenlerin en çok sıkıntılı çektikleri bu konu fevkâlâde basit ve güzel bir şekilde anlatılmış. Kitabın daha sonraki bölüm-

leri basit sismoloji (özellikle fay mekanizması çözümleri) ve manyetik ile paleomanyetizmaya ayrılmış. Bunların levha tektoniğinde nasıl kullanıldıklarını anlatıyor. Son bölüm levha tektoniğinin nedenlerini, oluşum mekanizmasını, sıkı noktaları vb. tartışıyor.

Cox ve Hart'ın kitabı üniversitelerde ders verenler kadar profesyonel jeologların da faydalananları gereken bir eser. Levha tektonığının en faydalı olduğu yerin bu teorinin kinematik "önceden kestirme" kabiliyeti olduğu hatırlanırsa, tektonik yorum yapmağa kalkacak her jeologun bu eseri iyice hazırlamış olmasının şart olduğunu hatırlatmak isterim. Bu eserin hele bir de Türkçe çevirisi yapılabılırse ülkemizde de gerek üniversitelerde gerekse de devletin jeoloji ile ilgili dairelerinde ve şirketlerde yaygın bir kullanım alanı bulacağı kanısındayım.

THE OPHIOLITE OF NORTHERN OMAN by S. J. Lippard, A.W. Shelton ve I.G. Gass; Geological Society Memoir No. 11, Blackwell Scientific Publishers, Oxford, 178 s. (1986)

Yücel Yılmaz
İTÜ Maden Fakültesi, Jeoloji Bölümü,
Teşvikiye, 80394 İstanbul

Umman Ofiyoliti kitabı, İngiltere'deki Open University araştırmacıları ile diğer bazı araştırmacıların 1975 ile 1985 yıllarını kapsayan, 10 yıllık inceleme projelerinin bir ürünüdür. Çalışmaya yaklaşık 30 bilimci katkıda bulunmuş, 11 doktora tezi yapılmış, bunların sonucunda Umman ofiyolitinin mostra verdiği boyu 800 km eni 75 km olan bir alanın jeolojik haritası üretilmiş ve bu haritalar 1/250.000 ölçüde indirgenerek kitabı ekinde sunulmuştur.

Umman ofiyoliti kitabı başlıca 4 bölümden oluşmaktadır. Birinci bölüm bölgenin genel jeolojik özelliklerini tanıtan bir tanıtım bölümündür. Bu bölümde bölgenin reyonal tektonik ko-

numu, Tetis ofiyolitleri içinde Umman ofiyolitin yeri ve jeolojik anlamı, bölgedeki jeolojik çalışmaların ve bunların ortaya koyduğu bulguların tanıtımı ile Umman dağlarının tektonostratigrafisi anlatılmaktadır. Bölge stratigrafisinin verildiği bu bölümün son kısmında Umman istifi tabandan tavana kadar ana hatları ile anlatılmakta, otokton ve allokton birimler tanıtılmaktadır.

Kitabın ikinci bölümü, "Umman Tetis'inin Evrimi" başlığını taşımaktadır. Bu bölümde önce Umman istifinde Permiyen çökellerinden başlanarak, kit'annın kopması (rift) döneminin karşılaştırılmalı verileri ile Triyas yaşlı gökel ve volkanik kayaları anlatılmaktadır. Daha sonra istifie pasif bir kit'a kenarı niteliğini kazanan Umman bölgesinin Jura-Geç Kretase dönemine ait istifi tanıtılmaktadır. Geç Kretase'de naplar halinde bölgeye yerleşen allokton tektonik birliklerden melanj toplulukları anlatılarak bu bölüm sona ermektedir.

Ofiyolit dizisi tabandan tavana kadar litolojik dizilimi esasına göre anlatılmaktadır. Bu tanıtumda önce, manto kayaları dizisi olan harzburgit, dünit ve kromitit ve dayklar incelenmektedir. Bu kesimi daha üstteki katmanlı istif izlemektedir. Katmanlı istifi ise üst düzey intrüsiflerinin verildiği kısmı takip etmektedir. Daha sonra, levha dayk kompleksi ve volkanik kayalar tanıtılmaktadır. Her ayrı kaya türü ayrıntılı petrografik ve jeokimyasal verilerle değerlendirilmektedir. Farklı kayaların tanıtımından sonra bu hirimlerin gelişme koşulları (petrojenez), okyanus tabanı metamorfizmasından etkilenmeleri, izotop verileri de sunularak diğer gözlemler bulgularla topluca değerlendirilmektedirler.

Kitabın dördüncü bölümünde, ofiyolitin okyanus tabanından sıyrıılması döneminin başlanarak kit'a kabuğu üstüne yerleşmesine ve daha sonra geçirdiği değişikliklere kadar olan yapısal evrim anlatılmaktadır.

Umman ofiyoliti kitabı, jeolojik ve petrolojik bir araştırmancının ne şekilde gerçekleşteceğini gösteren dört başlı mamur klâsik bir eser niteligidendir. Kitap, saha çalışmasından örnek derlenişine, laboratuvar verilerinin değerlendirilişinden yorumlanması varincaya kadar gerekli

her bir araştırma basamağını bilimsel bir titizlik ve yeterlilikle vermektedir, sonuçları güncel bir tartışma süzgecinden geçirerek sade ve kolay izlenir bir dille sunmaktadır.

Kitabın şekillerinin; skeç harita, sütn kesit, krokilerinin çok kolay anlaşılan ve bol bilgi veren ustalığı dikkati çekmektedir. Bol şekil ve referans içeren kitap bu yönyle de üstün niteliktedir.

Güneydoğu Anadolu ve Türkiye gibi ofiyolit konusunun bölge jeolojisinin anlaşılmasında kritik önemi olan bir yerde biz Türk yerbilimcileri için Umman ofiyolit kitabının uzun süre elden düşmeyen bir baş referans oluşturacağı inancındayım.

TECTONIC SETTINGS OF REGIONAL METAMORPHISM, editörler E.R. Oxburgh, B.W.D. Yardley, P.C. England; the Royal Society, Londra, 276 s. (1987), 49.00 sterlin.

Aral I. Okay,
İ.T.U. Maden Fakültesi, Jeoloji Bölümü,
Teşvikiye 80394 İstanbul

Bu kitap 29 - 30 Ocak 1986 tarihlerinde Londra'da Royal Society tarafından düzenlenen 'Rejyonal Metamorfizmanın Tektonik Ortamları' isimli bir tartışma toplantısında sunulan bildirilerin bir kısmını kapsamaktadır. Bu toplantı değişik disiplinlerdeki yerbilimcileri —jeofizikçi, tektonikçi, yapısal jeolog ve metamorfik petrolog— biraraya getirmiştir ve son senelerde önem kazanan rejyonal metamorfizmanın tektonik ortamı, zaman ve mekan içindeki gelişimi, bölgesel deformasyon ile olan ilişkisi, metamorfik kusatların ve bilhassa mavisistlerin satha yükselişimi gibi konuların geniş bir spektrumda tartışılmıştır. Kitapta yer alan on üç makale toplantının bu niteliğini yansıtmaktadır. İlk iki makale metamorfizma olayına tamamen teorik modelleme açısından yaklaşmaktadır, ve genellikle bu tür makalelerde görülen jeolojik olaylarla bağ kuramama sıkıntısını yaşamaktadır. Kitapta geri kalan makaleler rejyonal metamorfik sahalar veya gerçek jeolojik ortamlara teorik modeller arasında değişik ölçüde bağ kurmaya çalışmaktadır. Bunlar arasında

bilhassa R.I. Walcott'un bir eşli metamorfik kuşağıın güncel bir örneği olarak sunduğu Yeni Zelanda'nın Kuzey Adası hakkında yazısı, C. Chopin'in Batı Alpler'de 1984 senesinde bulunan, oluşması için çok yüksek basınç gerektiren (100 km derinlige tekabül eden 28 kbar!) koesit içeren kayaların jeolojik ortamı hakkındaki makalesi, A.B. Thompson ve J.R. Ridley'in reyjonal metamorfik kuşakların basınç-sıcaklık-zaman tarihçesi ile teorik modelleme arasındaki ilişkiyi araştıran çalışması sayılabilir. Kitap, Türkiye'deki reyjonal metamorfik bölgelerin yapısal ve tektonik tarihçesine ilgi duyanlar için vazgeçilmez bir kaynaktır. Kitabın yüksek fiyatı, Türkiye'deki nispeten ucuz fotokopi imkanları ile dengelenebilir, yeterki bir kaç kütüphane bu kitaptan edinsin!

THE CHRONOLOGY OF THE GEOLOGICAL RECORD by N.J. Snelling. Published for the Geological Society of London by Blackwell Scientific Publications. Memoir No: 10 (1985), 343 p., hardbound.

İşık Ece,
İ.T.Ü. Maden Fakültesi, Jeoloji Müh. Böl.
Tevşikiye 80394 İstanbul

Bu kitapta detaylı yaş tayinlerinde Rb-Sr, Sm-Nd ve Pb-Pb toplam kayaç izokron ve U-Pb zirkon metotları Prekambriyen magmatik ve meta-magmatik kayaçlarda geniş çapta uygulanmıştır. Stratigrafi problemlerine radiometrik izotoplarla korreasyon olanakları iyi işlenmiş ve özellikle kısmen az bilinen Prekambriyen kayaçlarının kronostratigrafik ve lithostratigrafik birimleri dünyanın çeşitli yerlerinden ver-

rilen örneklerle gayet detaylı olarak ele alınmıştır.

Jura'dan daha genç kayaçlarda kullanılan magnetostratigrafi tekninin özellikle derin-deniz karotlarında, jeokronolojideki uygulamaları daha önceki yayınlara dayanarak okuyucuya iyi bir şekilde izah edilmiştir. Biyostratigrafi ile magnetostratigrafının korreasyonu levha tektoniği açısından zaman çizelgesi boyunca magnetik kutupların ritmik değişiminin jeolojiye olan katkısı güzel örneklerle izah edilmiştir.

1950'lerde Cesare Emiliani oksijen izotoplarını ilk defa Neojen sedimanlarına uygulamasından beri duraylı izotopların özellikle derin deniz karotlarında yapılan oksijen ve karbon izotop stratigrafisine uygulandığı görülmüştür, ve kitapta bu konuya ilgili daha çok paleo-sıcaklık ve Pleistosen ritmik buzul devirlerine ait çalışmalar özet bilgi olarak verilmiştir.

Sr izotopları ile Güney Pasifik'deki derin deniz kırmızı killerinin sedimentasyon hızlarının tayini yapılmışsa da, bu metot diğer stratigrafi metotları kadar sıhhatalı değildir.

Sonuç olarak bu kitap özellikle Mesozoik öncesi kayaçların stratigrafik korreasyonu ve levha tektoniği ile paleomagnetizma arasındaki ilişkiyi çeşitli yöntemlerle de mukayese etmektedir. Özellikle stratigrafi problemine ammonoid'ler hariç paleontolojik açıdan hiç yaklaşılmasına, baştan sona kadar izotop metotları kullanılmıştır. Radiometrik izotopların ve magnetostratigrafının jeolojik uygulamalarına yer verilmiştir. Stratigrafiyi klasik fauna yaklaşımının dışında kullanmak isteyenlere tavsiye edilir. Fakat, bunun bir biyostratigrafi kitabı olmadığı da bilinmelidir.

BİLİMSEL ETKİNLİKLER

LEVHA TEKTONİĞİNIN 25. GÜMÜŞ YILDÖNÜMÜNÜ KUTLAMA SEMPOZYUMU

A.M.C. Şengör

İ.T.U. Maden Fakültesi, Jeoloji Bölümü,
Teşvikiye, 80394 İstanbul

Texas A&M Üniversitesi, Jeodinamik Araştırma Enstitüsü'nün son dokuz yıldır her ilkba-harda düzenlemeyi adet haline getirdiği "Jeodinamik Sempozyumlarının" dokuzuncusu 22-24 Nisan 1987 tarihleri arasında gene Texas A&M Üniversitesi'nin College Station'daki kampüsünde yapıldı. Bu seferki sempozyumun düzenleyicileri, Jeodinamik Araştırma Enstitüsü'nün direktörü Prof. Dr. Thomas W. C. Hilde ile Dr. Richard Carlson, Harry H. Hess'in 1962 yılında yayınlanan "History of Ocean Basins" adlı makalesini Levha Tektoniğinin "başlangıcı" kabul ederek 1987 yılının, teorinin ortaya çıkışının 25. yılı olduğuna ve bilimsel bir toplantı ile kutlanması gerektigine karar vermiş ve bu yilki temayı da bu nedenle "Levha Tektoniğinin 25. Yılı" olarak seçmişlerdi. Hilde ve Carlson toplantıya 1950'li yılların sonu ile 1969 arasında Levha Tektoniğinin ortaya çıkışında ve yaygın olarak kabul edilmesinde katkısı olan tüm bilim adamlarından hayatı olanları çağırarak adeta tarihi baştan yaştamağa karar vermişlerdi. Toplantıya aşağıdaki katılanlar listesinden de görüleceği gibi, Levha Tektoniğinin yaratıcılarından pek çoğu ve "ikinci nesil" levha tektonikçileri denebilecek pek çok yerbilimci ile "üçüncü nesli" oluşturacak olan öğrenci cümlasından 163'ü katıldı. Katılanlar arasında petrol şirketlerinden gelenlerin kalabalık bir grup oluşturması, yeni teorinin hidrokarbür aramacılığına da ne denli tesir ettiğinin sessiz fakat güçlü bir ifadesini oluşturuyordu. Toplantının gümüş renkli kapaklı tebliğ özetleri kitabına bir göz atıldığından tebliğ konularının bilimsel hatırlardan, "eski" konuların bugünkü durumlarının gözden geçirildiği derleme konuşmalardan, yep-

yeni araştırma konularına kadar değişen geniş bir tayfi içerdikleri görülmektedir.

Levha Tektoniğinin 25. Gümüş Yıldönümü Kutlama Sempozyumu 22 Nisan 1987 Çarşamba günü Texas A&M Üniversitesi rektörü Prof. Dr. Frank E. Vandiver'in "hoşgeldiniz" konuşması ile açıldı. Kısa süren açılış töreninde Yerbilimleri Koleji dekanı Prof. Dr. Mel Friedman, Texas A&M Üniversitesi'nde global yerbilimleri araştırmaları konulu bir konuşma yaptı. Bunu takiben Uluslararası Litosfer Komisyonu başkanı Prof. Dr. Karl Fuchs yerbilimlerinde uluslararası inisyatifleri anlattı.

Levha Tektoniğinin 25. Gümüş Yıldönümü Kutlama Sempozyumunda 7 oturum yapıldı. Bunların ilk günü ikisinin konuları sıra ile "Perspektifler ve Geriye Bakış" ile "Permiyen öncesinden Bu Yana Manyetik ve Levha Hareketleri" idi. Perspektifler ve geriye bakış, adının da belirttiği gibi, daha çok Dietz ve Heirtz'ler'in sundukları bilimsel hâtilalar ve anmalarla geçti. Paleomanyetikçi R. Doell toplantıdan kısa bir süre önce vefat eden Allan Cox anısına müzikli bir diyapositif gösterisi sundu. İkinci oturumdaki konuşmacılardan bir tek Morley'nin konuşması bilimsel hâtilalara ayrılmıştı. Bu oturumda ayrıca Alan Smith Permiyen'den Jura'ya kadar Pangea'nın evrimini, Miyashiro da levha tektoniğin çerçevesinde bölgesel metamorfizmayı anlattı. Bu oturumda Richard Gordon ve arkadaşları tarafından sunulan bir yeni yorum da "Arabistan Levhası" ile "Hint Levhası" arasında eskiden Owen Kirik Hattından geçtiği sanılan bir levha sınırının var olmadığı, buna karşılık 90E Sırtının bir levha sınırı olduğu görüşü idi.

Toplantının ikinci gününün ilk oturumunun konusu "Levha Tektoniğinin Dinamiği" idi. Burada şöhretli sismolog Jack E. Oliver sismolojinin levha tektoniğinin ortaya çıkışma yaptığı katkıları anlattı. Oliver, yansıtma sismolojisinin de bugünlerde kit'a kabuğunun yapısının anla-

şilmasına benzer katkılar yapma potansiyelinde olduğunu öne sürerek, bir yerde başında bulunduğu COCORP programının da etkili bir reklamını yaptı. Aynı oturumdaki konuşmacılardan Vine, okyanusal kabuğun özelliklerini, Bowin de yerkürenin çekim alam ile levha tektoniğinin ilişkilerini anlattılar.

İkinci günün diğer oturumları gezegenler dinamiği ile Tetis tektoniğine ayrılmışlardı. Birinci oturumda Jason Morgan çeşitli uyu gözlem sistemlerinin birkaç santimetre mertebedeindeki hareketleri de tesbit edebilecek hassasiyete ulaştıklarını anlatarak, bu yeni teknikleri "levha içi" tektoniğin incelenmesinde kullanma olanağının doğduğunu açıkladı. Tetis tektoniği oturumunda —konuşmacılardan biri gelemediği için— yalnızca iki tebliğ vardı. Levha tektoniğinin Avrupalı mimarlarından Pror. Dr. Xavier Le Pichon Kızıldeniz - Levant bölgesinin tektonik evrimini, A.M.C. Şengör de Tetis bölgesinde alınmış örneklerle levha tektoniğinin orojenik araştırmalara yaptığı katkıyı anlattılar.

Son günün iki oturumu sırayla "Dalma-Batma ve Çarpışma" ve "Kit'asal Tektonik konularına ayrılmıştı. İlk oturumdaki konuşmacılar dan Bryan Isacks Orta And dağlarının Miyosen' den bugüne kadarki evrimlerini anlatarak "çarpışmasız orojenez" olayının nasıl geliştiğini

açıkladı. Toplantının son oturumunda Levha Tektonoğunu ilk defa tam anlamıyla ortaya koyanlardan J. Tuzo Wilson ile Dan McKenzie konuşmuştur. McKenzie teklığında kit'asal tektoniğin Levha Tektoniğinin zarif kurallarını alt-üst eden özelliklerinden bahsetti ve ayrıca son yıllarda yaptığı magma sirkülasyonu ile ilgili çalışmaları özetledi. Levha Tektoniğinin yaygın olarak kabul edilmesinde yaygın rol oynamış olan manyetik gözlemlerle büyük ün kazanmış olan Walter C. Pitman III de bu oturumda östatik deniz seviyesi değişimlerinin kit'a kenarlarındaki stratigrafik tesirlerini açıkladı.

Levha Tektoniğinin 25. Gümüş Yıldönümü Kutlama Sempozyumu son derece iyi organize edilmiş bir toplantıydı. Sempozyum süresince, katılımlar ayrıca bir poster sergisinde sergilenen bilimsel katkıları da tartışma imkânı bulabildiler. Bu arada bilim tarihçisi Henry Frankel levha tektoniğini yaratılanların bazılarıyla videoya çekilen röportajlar da yaparak toplantıın bilim tarihi açısından da ölümsüzleşmesini sağladı. Akşamları ise bir kokteyl parti ile bir ziyafet arasında paylaşıldı.

Bu son derece enteresan ve öğretici toplantıda sunulan tebliğler Elsevier şirketi tarafından yakında bir kitap hâlinde yayımlanacak.

LEVHA TEKTONİĞİNİN 25. GÜMÜŞ YILDÖNÜMÜ KUTLAMA SEMOZYUMU'NA KATILANLAR LİSTESİ :

Texas A&M Üniversitesi dışından gelenler

Tanya M. Atwater	University of California, Santa Barbara
Olive W. Baganz	Conoco Inc., Houston, Texas
Tony A. J. Barber	Royal Halloway & Bedford New College, Surrey, İng.
Hugh W. Bergh	Nitswatersrand Üniversitesi, Güney Afrika
James B. Blankenship	Phillips Petroleum Co., Denver, Colorado
Carl Bowin	Woods Hole Oceanographic Institution, Woods Hole
Larry D. Brown	Cornell Üniversitesi, Ithaca, New York
Jeffrey R. Bruce	Özel
Dwain K. Butler	A.B.D. Kara Kuvvetleri
Godfrey P. Butler	Conoco, Houston, Texas
Jacques P. Charvet	Orleans Üniversitesi, Orleans, Fransa
G. Brent Dalrymple	A.B.D. Geological Survey
David J. Delgado	Phillips Petroleum Co., Denver Colorado
Robert S. Dietz	Arizona State University
Richard D. Doell	Özel
A. E. Engel	Özel

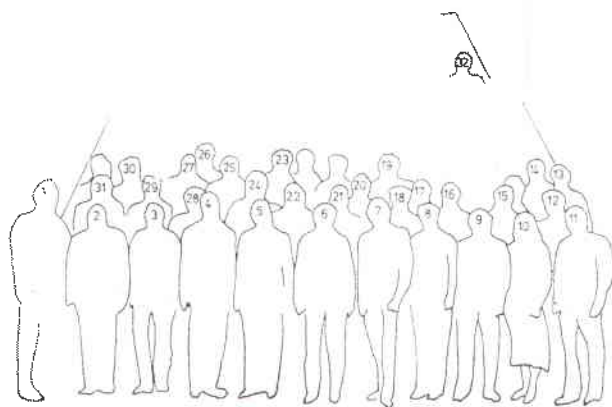
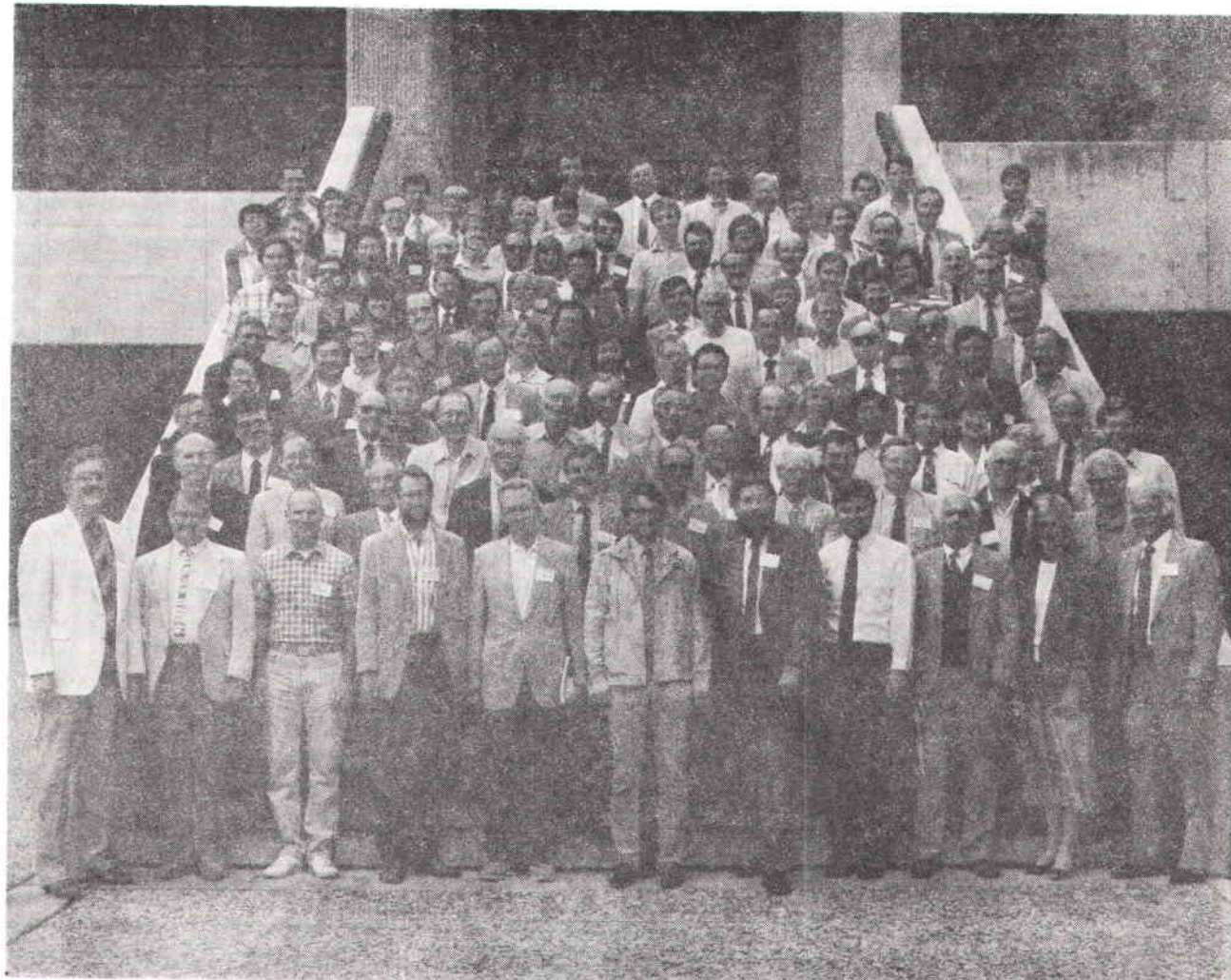
- Derek J. D. Fairhead
 Donald J. Foley
 Henry Frankel
 Claude M. Froidevaux
 Karl Fuchs
 William K. Gealey
 Robert N. Ginsburg
 Arthur R. Green
 William Glen
 Richard G. Gordon
 Jon L. Grannis
 R. Kent Grubbs
 Stuart A. Hall
 Pembroke J. Hart
 James W. Head
 James R. Heitzler
 Peggy Hellweg
 R. N. Hey
 Eiichi Honza
 Debbie L. Hopkins
 David G. Howell
 Charles S. Hutchison
 Ted E. Irving
 Bryan L. Isacks
 Larry Jensen
 Kazuo Kobayashi
 Larry Lawver
 Xavier Le Pichon
 Ian D. MacGregor
 Jannis Makris
 Olav Malvik
 Ron Marr
 John C. Maxwell
 J. L. McCarty
 Rob McCaffrey
 Dan P. McKenzie
 Jason Morgan
 Lawrence W. Morley
 Akiho Miyashiro
 Eugene Moores
 Kazuaki Nakumura
 James Ni
 Dorothy Z. Oehler
 Jack E. Oliver
 Neil D. Opdyke
 W. Richard Peltier
 Walter C. Pitman, III
 Horst Rademacher
 Randall M. Richardson
- Leeds Üniversitesi, Ingiltere
 Özel
 Missouri Üniversitesi, Kansas City, Missouri
 Paris Üniversitesi XI, Fransa
 Karlsruhe Üniversitesi, Batı Almanya
 Özel
 Miami Üniversitesi, Miami Beach, Florida
 Exxon, Houston, Texas
 A.B.D. Geological Survey
 Northwestern Üniversitesi, Evanston, Illinois
 Özel
 Özel
 Houston Üniversitesi, Houston, Texas
 A.B.D. Bilimler Akademisi, Washington, D.C.
 Brown Üniversitesi, Providence, Rhode Island
 NASA, Greenbelt, Maryland
- Özel
 Hawaii Üniversitesi, Honolulu, Hawaii
 Japonya Geological Survey
 Conoco, Houston, Texas
 A.B.D. Geological Survey
 Malaya Üniversitesi, Kuala Lumpur, Malezya
 Pacific Geoscience Centre, Kanada
 Cornell Üniversitesi, Ithaca, New York
 Conoco, Houston, Texas
 Tokyo Üniversitesi
 Texas Üniversitesi, Austin, Texas
 Ecole Normale Supérieure, Paris
 A.B.D. Millî Bilim Vakfı
 Hamburg Üniversitesi, Batı Almanya
 Philips Petroleum Co., Bartlesville, Oklahoma
 Conoco, Houston, Texas
 Texas Üniversitesi, Austin, Texas
 Phillips Petroleum Co., Denver, Colorado
 Massachusetts Institute of Technology
 Cambridge Üniversitesi
 Princeton Üniversitesi, New Jersey
 York Üniversitesi, Ontario, Kanada
 New York Eyalet Üniversitesi, Albany, New York
 Sun Exploration and Production Co., Richardson, TX
 Tokyo Üniversitesi
 New Mexico Eyalet Üniversitesi
 Özel
 Cornell Üniversitesi, Ithaca, New York
 Florida Üniversitesi
 Toronto Üniversitesi
 Columbia Üniversitesi, New York
 Özel
 Arizona Üniversitesi, New York

Ralph D. Rogers	Oklahoma Üniversitesi, Norman, Oklahoma
David B. Rowley	Chicago Üniversitesi
Christiane T. Sabouraud	Cite des Sciences et de l'Industrie la Villette
Selwyn Sacks	Carnegie Institution of Washington
David W. Scholl	A.B.D. Geological Survey
John G. Sclater	Texas Üniversitesi, Austin, Texas
Christopher R. Scotese	Texas Üniversitesi, Austin, Texas
A. M. C. Sengör	I.T.Ü. Maden Fakültesi, İstanbul, Türkiye
Yang-shen Shi	Nanjing Üniversitesi, Nanjing, Çin
Alan Smith	Cambridge Üniversitesi
Doug Smith	Texas Üniversitesi, Austin, Texas
Stewart W. Smith	IRIS, Arlington, Virginia
Paul Sovelius	Evans & Southerland, Houston, Texas
Shiri D. Srivastava	Bedford Institute of Oceanography
Larry A. Standee	Conoco, Ponca City, Oklahoma
John Swann	Conoco, Houston, Texas
Hershel G. Truelove	Pres. - John E. Chance & Associates
Seiya Uyeda	University of Tokyo
Victor Vacquier	Scripps Institute of Oceanography, La Jolla
Richard G. Vos	Phillips Petroleum Co., Bartlesville, Oklahoma
Frederick J. Vine	University of East Anglia
Harold Williams	Memorial University of Newfoundland
John Tuzo Wilson	Özel
Richard S. Wing	Conoco, Houston, Texas
Sing K. Wong	Özel

Texas A&M Üniversitesi'nden katılanlar

Aubrey L. Anderson	Dale Morgan
Duwayne Anderson	William W. Sager
Christian Auroux	Dave Schink
Robert R. Berg	Joel S. Watkins
William R. Bryant	David V. Wiltschko
Richard Carlson (organizatör)	
Neville Carter	
Davis A. Fahlquist	
Mel Friedman	
Anthony G. Gangi	
Andrew Hajash	
Thomas W. C. Hilde (organizatör)	
Earl R. Honkins	
Brann Johnson	
Robert J. McCabe	

(Not : Ayrıca gerek ev sahibi Texas A&M Üniversitesi'nden, gerekse de diğer üniversitelerden 163 kadar da öğrenci toplantıya katılmışlardır)



Levha Tektoniğinin 25. Gümüş Yıldönümü Kutlama Sempozyumu'na katılanlar bir arada, Ön iki sırada konuşmacılar yer almaktadır, Konuşmacılar ve organizatörler soldan başlamak üzere duruş sırasıyla şunlardır: 1 — Richard Carlson, 2 — Neil D. Opdyke, 3 — G. Brent Darymple, 4 — Dandall M. Richardson 5 — James R. Heirtzler, 6 — Dan P. McKenzie, 7 — Christopher R. Scotese, 8 — Richard G. Gordon, 9 — Selwyn Sacks, 10 — Mary Lou Zoback, 11 — Thomas W. C. Hilde, 12 — Robert S. Dietz, 13 — Vinee Crenin, 14 — Alan G. Smith, 15 — Jack E. Oliver, 16 — Xavier Le Pichon, 17 — W. Richard Peltier, 18 — Victor Vacquier, 19 — Karl Fuchs, 20 — Seiya Uyeda, 21 — Richard D. Doell, 22 — Lawrence W. Morley, 23 — A. E. Engel, 24 — J. Tuzo Wilson, 25 — Fred J. Vine, 26 — David W. Scholl, 27 — John C. Maxwell, 28 — Akiho Miyashiro, 29 — Jason Morgan, 30 — A.M.C. Şengör, 31 — Walter C. Pitman III, 32 — Bryon Isacks.

(Not : Beyaz basılı isimler, levha tektoniğinin ortaya çıkmasında birinci derecede emeği geçen bilim adamlarıdır).

TPJD BÜLTENİ YAZIM KURALLARI

1. TPJD Bülteni'nde yer alacak makaleler aşağıdaki niteliklerden en az birini taşımalıdır :
 - (a) Yerbilimlerine, özellikle de petrol, doğal gaz ve jeotermal enerji konularından birine, yeni bir katkısı bulunan araştırma,
 - (b) Yerbilimleri alanında bilimsel yöntemlerle yapılmış özgün sonuçları olan bir çalışma,
 - (c) Yerbilimlerinin özellikle petrol, doğal gaz ve jeotermal enerji konularında daha önce yapılmış çalışmaları eleştiriçi bir yaklaşımla ele alan ve o konuda yeni bir görüş ortaya koyan bir eleştirişi derleme (critical review).
2. TPJD Bülteni yılda 1 (bir) kez Ocak ayında yayımlanır.
3. TJPD Bülteni'nin yayım dili Türkçe ve İngilizce'dir.
4. TPJD Bülteni'nde yayımlanacak makalelerin Türkçe olarak daha önce herhangibir yerde yayımlanmamış olması şarttır. Daha önce yabancı dilde yayımlanmış olan makaleler petrol, doğal gaz ve jeotermal enerji konularının aramaclığını doğrudan doğrula ilgilendiriyorsa Türkçe olarak TPJD Bülteni'nde yayımlanabilirler.
5. Yazar(lar) maaklenin daha önce herhangi bir yerde yayımlanmadığını yazılı olarak bildirmek zorundadır.
6. Yayımlanacak makalelerin tüm hakları TPJD'ye ait olup makaleler geri gönderilmez. Yayıma kabul edilmeyen makaleler yazar(lar)a geri gönderilir.
7. Makaleler 1 (bir) asıl 1 (bir) yedek olarak düzenlenip gönderilmelidir.
8. Türkçe gönderilecek makalelerin Başlık, yazar(lar)ın çalıştığı kurum(lar) ve Öz bölümünün İngilizce'leri mutlaka verilmeli dir. Ayrıca makalelerde kullanılacak şe kıl, levha ve tabloların açıklamaları Türkçe ve İngilizce olarak iki dilde de verilmelidir.

9. TPJD Bülteni'ne gönderilecek makalelerin tam metni aşağıdaki başlık sırasını izlemelidir :

TÜRKÇE BAŞLIK

Yazar(lar) ve kuruluş(lar)¹

İNGİLİZCE BAŞLIK

Yazar(lar) ve kuruluş(lar)¹ ingilizce olarak
ÖZ

AESTRACT

GİRİŞ

ANA METİN (Bu başlık kullanılmaksızın ana metne geçilmelidir).

TARTIŞMA

SONUÇ

KISALTMALAR

TEŞEKKÜR

KAYNAKÇA

EKLER

10. "Şekil" ve "Tablo"lar metin içine konulabilir. Ancak "levha"lar mutlaka metnin sonundaki Ekler bölümüne konulmalıdır.

"ŞEKİL"

Her türlü harita

"TABLO"

Grafikler

Her türlü kesit

Denklemler

Korelasyon çizimleri

Matematiksel

Arazi fotoğrafları

eşitlikler

Çizelgeler

"LEVHA"

Her türlü fotomikrograf

11. TPJD Bülteni'ne gönderilecek makaleler "Şekil", "Tablo" ve "levha"lar dahil 20 SAYFA ile sınırlanmıştır.

12. Makaleler 29 . 7 x 21 cm. lik A4 boyutlarında kağıtların bir yüzüne çift aralıklı olarak daktilo edilmiş olmalıdır. Kağıtların çevresinde 2,5 cm. boşluk bırakılmalıdır. "Şekil", "Tablo" ve "Levha"lar da A4 boyutlarında olmalıdır. **A4 BOYUTLARINI GEÇEN HİÇ BİR SAYFA KABUL EDİLMEZ.**

13. Sayfa numaraları kağıtların sağ alt köşelerine kurşun kalemlle yazılmalıdır.
14. Çizimler siyah-beyaz basılacak şekilde düzenlenmelidir. Tüm çizimlerde çizgisel ölçek kullanılmalıdır.
15. TPJD Bülteni'nde yayımlanmak üzere gönderilecek makaleler Yayın Kurulu'na incelenir. Makaleler Yayın Kurulu'nun kabulü ve TPJD Yönetim Kurulu onayı ile yayımlanır.
16. Makale sahib(ler)i ile Yayın Kurulu arasında makalenin yayımı ile ilgili olarak oluşacak herhangibir problemde TPJD Yönetim Kurulu ve Yayın Kurulumun çoğunuğun vereceği ortak karar kesin ve nihai'dir.
17. Makale göndermek için TPJD üyesi olmak zorunluluğu yoktur.

**INSTRUCTIONS TO TAPG BULLETIN
AUTHORS**

1. Papers submitted for the "**TAPG BULLETIN**" should have at least one of the following characteristics :
 - a) Original study on one of the disciplines of earthscience, especially on oil, gas and geothermal energy explorations,
 - b) Study which has original results obtained by using the scientific methods in earthscience.
 - c) Critical reviews of previously published papers on especially oil, gas, and geothermal energy.
2. "**TAPG BULLETIN**" will publish in January once a year.
3. Languages of the **TAPG BULLETIN** are Turkish and English.
4. Author(s) must submit a statement indicating paper has not been previously published in any bulletin journal, etc.
5. All rights of papers reserved for the Turkish Association of Petroleum Geologists. If a paper has not been accepted by the Editorial Board it should be sent back to the author(s).

6. Submit two (2) copies of manuscript (one must be the original).
7. Papers are arranged accordingly :
 TITLE
 AUTHOR(s) and ADDRESS(es)
 ABSTRACT
 INTRODUCTION
 TEXT (with Headings, subheadings, Italic Headings)
 DISCUSSION(s)
 RESULT(s)
 ABBREVIATIONS
 ACKNOWLEDGMENTS
 APPENDIX(es)
 REFERENCES
8. "Figures" and "Tables" may place into text but "Plates" must place in the Appendix (es).

- | FIGURE | TABLE |
|--|--------------|
| All maps | Graphics |
| All sections | Mathematical |
| Correlations | Equations |
| Field photos | Plots |
| PLATES | |
| All photomicrographs | |
| 9. Papers submitted for the " TAPG BULLETIN " must not exceed 20 pages including figures, tables, and plates. | |
| 10. Abstracts should be a summary of the paper and should not exceed 300 words. Major papers and geologic notes have abstracts, but Discussion and Replies do not. | |
| 11. Manuscript must type on one side on white paper 29.7 x 21 cm., consistently double spaced (including references and figure captions), with only one space after periods. | |
| 12. In the References section, spell out all names of journals, serials, societies, etc. Do not abbreviate. | |
| 13. Illustrations should be black and white line drawings or good quality photographs. Submit figures in final size to fit one or two-column " TAPG BULLETIN " width, or broadside. | |



*actively searching for hydrocarbons
in Siirt & Hatay petroleum districts*

"best wishes to the
Turkish Association of
Petroleum Geologists"



ESSO EXPLORATION TURKEY S.A.
Cinnah Caddesi 102/6 ANKARA
Tel : 138 21 45 to 49